



TUGAS AKHIR (RC 09-1380)

**PENGEMBANGAN PERANGKAT LUNAK
MENGGUNAKAN METODA ELEMEN HINGGA
UNTUK PERANCANGAN LENTUR
BALOK BETON BERTULANG**

VINCENTIUS ARIF WICAKSONO
NRP 3107 100 081

Dosen Pembimbing
Tavio, ST, MT, Ph.D
Data Iranata, ST, MT, Ph.D
Ir. Iman Wimbadi, MS

JURUSAN TEKNIK SIPIL
Fakultas Teknik Sipil dan Perencanaan
Institut Teknologi Sepuluh Nopember
Surabaya 2011

| | |
|--------------|-----------|
| PERPUSTAKAAN | |
| ITS | |
| Periode | 14-7-2011 |
| Penulis | H |
| No Agenda | - |



RSS
624.183 423
Wic
P-1
2011

TUGAS AKHIR (RC 09-1380)

**PENGEMBANGAN PERANGKAT LUNAK
MENGGUNAKAN METODA ELEMEN HINGGA
UNTUK PERANCANGAN LENTUR
BALOK BETON BERTULANG**

VINCENTIUS ARIF WICAKSONO
NRP 3107 100 081

Dosen Pembimbing
Tavio, ST, MT, Ph.D
Data Iranata, ST, MT, Ph.D
Ir. Iman Wimbadi, MS

JURUSAN TEKNIK SIPIL
Fakultas Teknik Sipil dan Perencanaan
Institut Teknologi Sepuluh Nopember
Surabaya 2011



FINAL PROJECT (RC 09-1380)

**SOFTWARE DEVELOPMENT USING FINITE
ELEMENT METHOD FOR THE DESIGN OF BEAM
REINFORCED CONCRETE FLEXURE**

VINCENTIUS ARIF WICAKSONO
NRP 3107 100 081

Academic Supervisor
Tavio, ST, MT, Ph.D
Data Iranata, ST, MT, Ph.D
Ir. Iman Wimbadi, MS

CIVIL ENGINEERING DEPARTMENT
Faculty of Civil Engineering and Planning
Sepuluh Nopember Institute of Technology
Surabaya 2011

**PENGEMBANGAN PERANGKAT LUNAK
MENGGUNAKAN METODA ELEMEN HINGGA UNTUK
PERANCANGAN LENTUR BALOK BETON BERTULANG**

TUGAS AKHIR

Diajukan Untuk Memenuhi Salah Satu Syarat
Memperoleh Gelar Sarjana Teknik

pada

Bidang Studi Struktur

Program Studi S-1 Jurusan Teknik Sipil

Fakultas Teknik Sipil dan Perencanaan

Institut Teknologi Sepuluh Nopember

Surabaya

Oleh :

VINCENTIUS ARIF WICAKSONO

Nrp. 3107 100 081

Disetujui oleh Pembimbing Tugas Akhir :

1. **Tavio, ST, MT, Ph.D.....(Pembimbing I)**



2. **Data Iranata, ST, MT, Ph.D.....(Pembimbing II)**

3. **Ir. Iman Wimbadi, MS.....(Pembimbing III)**

SURABAYA, JUNI 2011

PENGEMBANGAN PERANGKAT LUNAK MENGGUNAKAN METODA ELEMEN HINGGA UNTUK PERANCANGAN LENTUR BALOK BETON BERTULANG

Nama Mahasiswa : Vincentius Arif
NRP : 3107 100 081
Jurusan : Teknik Sipil FTSP ITS
Dosen Pembimbing : 1. Tavio, ST, MT, Ph.D
2. Data Iranata, ST, MT, PhD
3. Ir. Iman Wimbadi, MS

ABSTRAK

Program-program analisa struktur mempunyai peranan besar dalam pekerjaan desain dan konstruksi di dunia. Namun program analisa struktur yang selama ini merupakan program komersil yang umumnya relatif mahal. Hal ini dapat menghalangi usaha penggunaan program secara luas, terutama di negara berkembang seperti di Indonesia. Karena itulah sebagai alternatif adalah dengan membuat program analisa struktur daripada menggunakan program-program komersil. Keuntungan dari program yang dibuat sendiri adalah bisa digunakan secara bebas, dapat dikembangkan secara berkesinambungan sesuai kebutuhan, dan mengikuti perkembangan peraturan terbaru.

Program bantu sederhana untuk analisa elemen struktur model space frame ini disusun dengan menggunakan program Visual Basic 6.0. Aplikasi ini menggunakan Metode Kekakuan Langsung (Direct Stiffness Method). Aplikasi ini memberikan output berupa reaksi, displacement, dan gaya-gaya dalam elemen struktur yang dianalisa dengan memperhitungkan geser pada elemen batang.

Program bantú ini juga dilengkapi oleh analisa tiap elemennya. Dalam hal ini penulis secara khusus menganalisa lentur pada balok. Dengan menggunakan kesetimbangan tegangan dan regangan didapat jarak serat tekan terjauh ke sumbu netral. Metoda Bolzano digunakan untuk proses iterasi sehingga sigma gaya horisontal harus sama dengan nol.

Sehingga didapatkan output berupa kekuatan nominal dari balok dengan Metoda Unified yang tercantum pada ACI 318-2002.

Program bantu ini juga diverifikasi dengan SAP 2000 dalam beberapa study kasus yang dilakukan. Kelebihan dari program ini dari SAP 2000 yaitu proses perhitungan yang ditampilkan serta dapat mengeluarkan output berupa gambar desain tulangan lengkap dengan jarak dan panjang penyaluran tulangannya. Namun program ini perlu pengembangan lebih lanjut dengan menambah efek beban gempa, serta proses iterasi yang lebih cepat dari Metoda Bolzano.

Kata Kunci : analisa lentur balok, balok persegi, desain tulangan, direct stiffness method, metoda Bolzano, metoda Unified, program analisa struktur, tulangan longitudinal, verifikasi, ACI 318-2002, SNI 03-2847-2002, Space frame 3D.

Analisa struktur merupakan salah satu bagian penting dalam teknologi bangunan. Analisa struktur bertujuan untuk mengetahui respon strukturnya terhadap beban dan tindakan luar yang diberikan. Analisa struktur ini dilakukan dengan menggunakan teknik numerik dan analitis. Analisis numerik merupakan teknik yang paling banyak digunakan karena teknik ini memungkinkan analisa strukturnya pada kondisi yang kompleks dan tidak mudah dilakukan dengan teknik analitis. Analisis numerik dilakukan dengan menggunakan komputer sebagai alat bantuan. Analisis numerik dilakukan dengan memodelkan strukturnya sebagai sistem yang terdiri atas elemen-elemen yang saling berinteraksi. Analisis numerik dilakukan dengan menggunakan teknik-teknik matematika dan fisika yang relevan dengan strukturnya.

Analisa struktur pada umumnya dilakukan untuk mendapatkan informasi tentang ketahanan strukturnya terhadap beban dan tindakan luar yang diberikan. Analisa struktur juga dilakukan untuk mendapatkan informasi tentang bagaimana strukturnya akan berperilaku jika terjadi suatu perubahan pada strukturnya. Analisa struktur juga dilakukan untuk mendapatkan informasi tentang bagaimana strukturnya akan berperilaku jika terjadi suatu perubahan pada strukturnya.

SOFTWARE DEVELOPMENT USING FINITE ELEMENT METHOD FOR THE DESIGN OF BEAM REINFORCED CONCRETE FLEXURAL

Name of Student : Vincentius Arif
Registration Number : 3107 100 081
Supervisor : Tavio, ST, MT, Ph.D.
Data Iranata, ST, MT, PhD
Ir. Iman Wimbadi, MS.

ABSTRACT

Structural analysis programs have a major role in the design offices and construction work in the world. However, structural analysis program that has been the commercial programs are generally relatively expensive. This can deter the use of the program widely, especially in developing countries such as Indonesia. That's why as an alternative is to make a structural analysis program instead of using commercial programs. The advantage of the program itself is made may be used freely, can be developed on an ongoing basis as needed, and keep abreast of the latest codes.

The developed program is built using Visual Basic 6.0. It adopts the Direct Stiffness Method. This application provides output in the form of reaction, displacement, and forces in structural elements are analyzed by calculating the shear at the rod element.

This software is also supplemented by an analysis of each element. In this case, the writer specifically analyzes the bending in the beam. By using equilibrium stress and strain obtained fiber tap farther distance to the neutral axis. Bolzano method is used for the iteration process, so that the sigma horizontal force must be equal to zero. So we get the output of the nominal strength of the beam with a Unified Method listed in ACI 318-2002.

This program is also verified by SAP 2000 in some case study conducted. The advantages of this program from SAP 2000 calculations show that the process and can output the output is an image complete with reinforcement design and long distance distribution the reinforcement. However this program needs further development with the added effect of earthquake loads, and iterative process that is faster than Bolzano method.

Keywords : flexure analysis, square beam, reinforcement design, direct stiffness method, Bolzano method, Unified method, structural analysis program, longitudinal reinforcement, verified, ACI 318-2002, SNI 03-2847-2002, Space frame 3D

Demikianlah penjelasan singkat mengenai teknologi analisis strukturnal menggunakan metode stiffness direkt yang diambil dari hasil kerja penulis dalam penyelesaikan tesis dan sebagainya. Penulis berharap dengan penjelasan ini dapat memberikan gambaran tentang teknologi analisis strukturnal yang digunakan dalam perancangan struktural. Dengan demikian penulis berharap bahwa penulis dapat memberikan bantuan bagi para ahli teknologi dan konstruksi bangunan dalam memahami dan memanfaatkan teknologi analisis strukturnal ini dalam perancangan bangunan. Dengan begitu penulis berharap bahwa penulis dapat memberikan kontribusi bagi perkembangan teknologi analisis strukturnal di Indonesia.

KATA PENGANTAR

Puji syukur kepada Tuhan Yang Maha Esa atas segala limpahan karunia-Nya sehingga penulis dapat menyelesaikan Tugas Akhir yang berjudul *Pengembangan Perangkat Lunak Menggunakan Metoda Elemen Hingga Untuk Perancangan Lentur Balok Beton Bertulang* dengan baik dan tepat pada waktunya.

Adapun Tugas Akhir ini dibuat dengan tujuan untuk memenuhi syarat kelulusan Program Studi S-1 Jurusan Teknik Sipil ITS Surabaya. Tugas Akhir ini terdiri dari enam bab antara lain bab pendahuluan, tinjauan pustaka, metodologi, pengoperasian program, studi kasus, dan penutup. Semua informasi yang disajikan di dalam Tugas Akhir ini diharapkan dapat memberikan konstribusi yang nyata dalam bidang ketekniksiplinan.

Dalam kesempatan ini penulis ingin menyampaikan terima kasih kepada semua pihak yang telah memberikan kontribusinya baik secara langsung maupun tak langsung atas terselesaiannya laporan tugas akhir ini antara lain :

1. Bapak Tavio, ST, MT, Ph.D selaku dosen pembimbing I yang tanpa lelah selalu memberikan arahan, dukungan, motivasi dan ilmu yang tak ternilai harganya.
2. Bapak Data Iranata, ST, MT, PhD selaku dosen pembimbing II yang memberikan pengetahuan akan metoda elemen hingga.
3. Bapak Ir. Iman Wimbadi, MS selaku dosen pembimbing III yang juga selalu memberikan arahan dan wawasan tentang lentur balok beton bertulang.
4. Bapak Bambang Piscesa, ST, MT, PhD selaku dosen yang ikut memberikan ilmu kepada penulis
5. Ir. Soewarno, MEng selaku dosen wali selama penulis kuliah di Teknik Sipil ITS.
6. Yustinus Harnanto dan Ellen Eliani selaku orang tua penulis yang selalu memberikan dorongan, motivasi, dan fasilitas yang tak ternilai harganya sehingga penulis bisa menempuh

pendidikan hingga jenjang sarjana dan menyelesaiakannya dengan baik.

7. Vivi Lestari, selaku kekasih penulis yang selalu memberikan dorongan, motivasi serta waktunya untuk membantu penulis menyelesaikan tugas akhir ini.
8. Jeffrey Hermanto dan Harfi selaku teman penulis yang membantu penulis belajar mengenai bahasa pemrograman Visual Basic 6.0.
9. Maureen Angker, Rio Limadinata, Jethro Secapramana selaku teman - teman seperjuangan penulis dan seluruh rekan - rekan mahasiswa Teknik Sipil ITS.

Penulis menyadari bahwa tugas akhir ini masih jauh dari kesempurnaan. Oleh karena itu, kritik dan saran sangat diharapkan untuk pengembangan selanjutnya. Akhir kata semoga tugas akhir ini bermanfaat dan dapat dijadikan bahan pembelajaran.

Surabaya, Juni 2011

Vincentius Arif Wicaksono

DAFTAR ISI

| | |
|-----------------------|-----|
| HALAMAN JUDUL | |
| ABSTRAK | i |
| ABSTRACT | iii |
| KATA PENGANTAR | v |
| DAFTAR ISI | vii |
| DAFTAR TABEL | ix |
| DAFTAR GAMBAR | xi |

BAB I PENDAHULUAN

| | |
|--------------------------------|---|
| 1.1. Latar Belakang..... | 1 |
| 1.2. Rumusan Permasalahan..... | 3 |
| 1.3. Batasan Masalah..... | 4 |
| 1.4. Tujuan..... | 4 |
| 1.5. Manfaat..... | 5 |

BAB II TINJAUAN PUSTAKA

| | |
|----------------------------------------------------------------------|----|
| 2.1. Metoda Elemen Hingga..... | 7 |
| 2.2. <i>Wireframe Direct Stiffness Method</i> | 9 |
| 2.3. Sistem Koordinat..... | 13 |
| 2.4. Perjanjian Tanda..... | 14 |
| 2.5. <i>Degrees of Freedom</i> | 15 |
| 2.6. <i>Stiffness Coefficients</i> | 16 |
| 2.7. Matriks Transformasi..... | 20 |
| 2.8. Matriks Beban..... | 26 |
| 2.9. Lentur pada Balok..... | 27 |
| 2.10. Metoda Batas-Batas Regangan Untuk Analisis dan Desain | 32 |
| 2.11. Penampang Tulangan Rangkap..... | 33 |
| 2.12. Panjang Penyaluran untuk Tulangan Tarik..... | 37 |
| 2.13. Panjang Penyaluran untuk Tulangan Tekan..... | 39 |

| | | |
|----------------|--------------------------------------------------|-----|
| BAB III | METODOLOGI | |
| 3.1. | Umum..... | 42 |
| 3.2. | Alur program bantu yang dibuat..... | 43 |
| | 3.2.1 <i>Flowchart</i> analisa struktur..... | 43 |
| | 3.2.2 <i>Flowchart</i> analisa lentur balok..... | 45 |
| | 3.2.3 <i>Flowchart</i> metoda Bolzano..... | 48 |
| 3.3. | Membuat program dengan Visual Basic 6.0..... | 49 |
| 3.4. | Studi literatur..... | 50 |
| BAB IV | PROSEDUR PROGRAM | |
| 4.1. | Umum..... | 51 |
| 4.2. | Komponen program..... | 51 |
| 4.3. | Pengoperasian program..... | 62 |
| BAB V | STUDI KASUS | |
| 5.1. | Kasus 1 – <i>Plane Frame 1</i> | 65 |
| 5.2. | Kasus 2 – <i>Plane Frame 2</i> | 94 |
| 5.3. | Kasus 3 – <i>Space Frame 1</i> | 117 |
| 5.4. | Kasus 4 – <i>Space Frame 2</i> | 149 |
| BAB VI | KESIMPULAN DAN SARAN | |
| 6.1 | Kesimpulan..... | 155 |
| 6.2 | Saran..... | 156 |

LAMPIRAN-LAMPIRAN

Lampiran A (*Listing Code Direct Stiffness Method*)

Lampiran B (*Listing Code The Design of Beam Reinforced Concrete Flexural*)

Lampiran C (*Listing Code Module File Manager*)

Lampiran D (Gambar-Gambar Output Studi Kasus)

DAFTAR PUSTAKA

DAFTAR TABEL

| | | |
|-----------|------------------------------------------------------------------------------|-----|
| Tabel 2.1 | <i>Example of nodal definition</i> | 11 |
| Tabel 2.2 | <i>Example of element definition</i> | 11 |
| Tabel 2.3 | <i>Degrees of freedom space frame 3D</i> | 15 |
| Tabel 5.1 | Perbandingan hasil analisa struktur SFAP untuk Studi Kasus 1..... | 91 |
| Tabel 5.2 | Perbandingan hasil analisa lentur SFAP untuk Studi Kasus 1..... | 93 |
| Tabel 5.3 | Perbandingan hasil analisa struktur SFAP untuk Studi Kasus 2..... | 114 |
| Tabel 5.4 | Perbandingan hasil analisa lentur SFAP untuk Studi Kasus 2 | 116 |
| Tabel 5.5 | Perbandingan hasil analisa struktur SFAP untuk Studi Kasus 3 | 141 |
| Tabel 5.6 | Perbandingan hasil analisa lentur SFAP untuk Studi Kasus 3 | 147 |
| Tabel 5.7 | Perbandingan hasil analisa struktur dan lentur SFAP untuk Studi Kasus 4..... | 150 |

DAFTAR GAMBAR

| | | |
|-------------|---------------------------------------------------------------------------------------------------------------|----|
| Gambar 2.1 | <i>The direct stiffness method steps</i> | 9 |
| Gambar 2.2 | <i>Discretization</i> | 11 |
| Gambar 2.3 | <i>Localization</i> | 12 |
| Gambar 2.4 | <i>Global Coordinate System in 3D Frame</i> | 14 |
| Gambar 2.5 | <i>Local Coordinate System in 3D Frame</i> | 14 |
| Gambar 2.6 | <i>Sign Convention</i> | 14 |
| Gambar 2.7 | <i>Frame element in space with twelve D.O.Fs.</i> | 15 |
| Gambar 2.8 | <i>Stiffness Coefficients for One Dimensional Element</i> | 16 |
| Gambar 2.9 | Elemen dengan <i>displacement</i> akibat rotasi, gaya dan momen positif..... | 18 |
| Gambar 2.10 | <i>Simple 3D Rotation</i> | 22 |
| Gambar 2.11 | <i>Rotation with respect to α</i> | 22 |
| Gambar 2.12 | <i>Rotation with respect to β</i> | 23 |
| Gambar 2.13 | <i>Rotation with respect to γ</i> | 23 |
| Gambar 2.14 | Beban nodal ekivalen..... | 26 |
| Gambar 2.15 | Balok beton bertulang tipikal | 27 |
| Gambar 2.16 | Distribusi tegangan dan regangan pada penampang balok tulangan tunggal..... | 29 |
| Gambar 2.17 | Zona batas regangan dan variasi faktor reduksi..... | 33 |
| Gambar 2.18 | Distribusi tegangan dan regangan pada tulangan rangkap..... | 35 |
| Gambar 2.19 | Distribusi tegangan dan regangan pada tulangan ganda..... | 36 |
| Gambar 2.20 | Panjang penyaluran pada kantilever..... | 38 |
| Gambar 3.1 | Metodologi pelaksanaan tugas akhir..... | 42 |
| Gambar 3.2 | <i>Flowchart</i> analisa struktur program SFAP..... | 44 |
| Gambar 3.3 | <i>Flowchart</i> analisa lentur balok dan panjang penyaluran sampai dengan gambar tulangan program SFAP | 47 |
| Gambar 3.4 | <i>Flowchart</i> metoda Bolzano..... | 48 |
| Gambar 4.1 | Tampilan jendela utama SFAP..... | 52 |

| | | |
|-------------|---------------------------------------------------------|-----|
| Gambar 4.2 | Komponen-komponen menu bar | 52 |
| Gambar 4.3 | Tampilan <i>General Information</i> | 53 |
| Gambar 4.4 | Tampilan <i>Define Material Properties</i> | 54 |
| Gambar 4.5 | Tampilan <i>Define Section Properties</i> | 55 |
| Gambar 4.6 | Tampilan <i>Nodal Coordinates</i> | 55 |
| Gambar 4.7 | Tampilan <i>Frame Properties</i> | 56 |
| Gambar 4.8 | Tampilan <i>Assign Joint Restraint</i> | 56 |
| Gambar 4.9 | Tampilan <i>Assign Joint Loads</i> | 57 |
| Gambar 4.10 | Tampilan <i>Distributed Frame Loads</i> | 57 |
| Gambar 4.11 | Tampilan <i>Local Force Diagram</i> | 59 |
| Gambar 4.12 | Tampilan Tabulasi <i>Input</i> | 60 |
| Gambar 4.13 | Tampilan tabulasi <i>output</i> | 61 |
| Gambar 4.14 | Tampilan <i>View Control</i> | 62 |
| Gambar 5.1 | Kasus 1 – <i>Plane Frame</i> | 65 |
| Gambar 5.2 | Tampilan <i>output</i> pada kasus 1 <i>case 1</i> | 90 |
| Gambar 5.3 | Tampilan <i>output</i> pada kasus 1 <i>case 2</i> | 90 |
| Gambar 5.4 | Kasus 2 – <i>Plane Frame 2</i> | 94 |
| Gambar 5.5 | Tampilan <i>output</i> pada kasus 2..... | 113 |
| Gambar 5.6 | Kasus 3 – <i>Space Frame 1</i> | 117 |
| Gambar 5.7 | Kasus 4 – <i>Space Frame 2</i> | 149 |
| Gambar D.1 | Studi Kasus 1 <i>Plane Frame</i> | 225 |
| Gambar D.2 | <i>Input General Information</i> kasus 1..... | 225 |
| Gambar D.3 | <i>Input Material Properties</i> kasus 1..... | 226 |
| Gambar D.4 | <i>Input Section Properties</i> kasus 1..... | 226 |
| Gambar D.5 | <i>Input Reinforced Properties</i> kasus 1..... | 227 |
| Gambar D.6 | <i>Input Nodal Coordinates</i> kasus 1..... | 227 |
| Gambar D.7 | <i>Input Frame Properties</i> kasus 1..... | 228 |
| Gambar D.8 | <i>Input Joint Restraint</i> kasus 1..... | 228 |
| Gambar D.9 | <i>Input Joint Loads</i> kasus 1..... | 229 |
| Gambar D.10 | <i>Input Distributed Loads</i> kasus 1..... | 229 |
| Gambar D.11 | <i>Output Nodal Displacement</i> kasus 1..... | 230 |
| Gambar D.12 | <i>Output Support Reaction</i> kasus 1..... | 230 |
| Gambar D.13 | <i>Output Element Force frame 1</i> kasus 1..... | 231 |
| Gambar D.14 | <i>Output Element Force frame 2</i> kasus 1..... | 232 |
| Gambar D.15 | <i>Output Element Force frame 3</i> kasus 1..... | 233 |

| | | |
|-------------|-------------------------------------------------------------|-----|
| Gambar D.16 | Output Gambar Tulangan kasus 1..... | 234 |
| Gambar D.17 | Output <i>Nodal Displacement</i> kasus 1 (SAP 2000)..... | 235 |
| Gambar D.18 | Output <i>Joint Reaction</i> kasus 1 (SAP 2000).... | 235 |
| Gambar D.19 | Output <i>Element Force frame 1</i> kasus 1 (SAP 2000)..... | 236 |
| Gambar D.20 | Output <i>Element Force frame 2</i> kasus 1 (SAP 2000)..... | 237 |
| Gambar D.21 | Output <i>Element Force frame 3</i> kasus 1 (SAP 2000)..... | 238 |
| Gambar D.22 | Studi Kasus 2 <i>Plane Frame</i> | 239 |
| Gambar D.23 | Output <i>Nodal Displacement</i> kasus 2..... | 239 |
| Gambar D.24 | Output <i>Support Reaction</i> kasus 2..... | 239 |
| Gambar D.25 | Output <i>Element Forces frame 1</i> kasus 2..... | 240 |
| Gambar D.26 | Output <i>Element Forces frame 2</i> kasus 2..... | 241 |
| Gambar D.27 | Output <i>Element Forces frame 3</i> kasus 2..... | 242 |
| Gambar D.28 | Output Gambar Tulangan kasus 2..... | 243 |
| Gambar D.29 | Output <i>Nodal Displacement</i> kasus 2 (SAP 2000)..... | 244 |
| Gambar D.30 | Output <i>Joint Reactions</i> kasus 2 (SAP 2000)... | 244 |
| Gambar D.31 | Output <i>Element Force frame 1</i> kasus 2 (SAP 2000)..... | 245 |
| Gambar D.32 | Output <i>Element Force frame 2</i> kasus 2 (SAP 2000)..... | 246 |
| Gambar D.33 | Output <i>Element Force frame 3</i> kasus 2 (SAP 2000)..... | 247 |

BAB 1

PENDAHULUAN

1.1 LATAR BELAKANG

Seiring dengan kemajuan teknologi, sebagian besar pelaku teknik sipil memanfaatkan komputer untuk menyelesaikan pekerjaan analisa struktur. Dalam prakteknya pekerjaan analisa struktur membutuhkan waktu yang lama dan tingkat keakuratan yang rendah jika menggunakan kalkulator. Kecepatan dan keakuratan yang dimiliki komputer ini dimanfaatkan oleh para ahli teknik sipil untuk menciptakan *software* analisa struktur. Beberapa *software* analisa struktur telah banyak diciptakan seperti SAP 2000, PCACOL, STAADPRO, PCABEAM, ETABS dan sebagainya.

Pada kenyataannya *software* teknik sipil yang digunakan di Indonesia sebagian besar bukan *full licensed*. Hasil yang dikeluarkan dari *software* yang bukan *full licensed* tidak seakurat *software* yang *full licensed*. Hal ini menyisakan kekhawatiran terhadap nilai yang dihasilkan dari proses *running* program. Sehingga sebagai pengguna, kita hanya bisa mendapatkan hasil dari proses *running* program tanpa bisa mengembangkan *software* tersebut. Selain itu masalah lainnya adalah semakin ketatnya peraturan tentang penggunaan aplikasi komputer berlisensi (Sumber : Undang-Undang No.19 Tahun 2002 tentang Hak Cipta). Karena ketatnya peraturan tersebut dikhawatirkan program analisa struktur tersebut akan sulit dan mahal untuk didapatkan, sedangkan proses pembangunan tidak mungkin terhenti. Untuk mengatasi permasalahan di atas, maka perlu untuk membuat suatu *software* analisa struktur.

Dalam pembuatan *software* analisa struktur tersebut, penulis menggunakan *direct stiffness method* yang merupakan bagian dari metode elemen hingga. Ada beberapa alasan mengapa *direct stiffness method* digunakan. Salah satu yang terpenting adalah pendekatannya bisa menyeluruh dan berlaku untuk semua jenis struktur. Alasan kedua adalah pendekatan ini merupakan



perangkat yang efisien dalam menjabarkan berbagai langkah dalam analisa sehingga langkah-langkah ini dapat dengan mudah diprogram pada komputer. Pemakaian matriks dalam metode ini diperlukan untuk menemukan gaya-gaya dalam pada perhitungan dengan komputer, karena himpunan bilangan yang banyak jumlahnya dapat dimanipulasi secara sederhana dan efisien. (Weaver,1996)

Keakuratan dan kecepatan yang dihasilkan *software* untuk mendapatkan gaya-gaya dalam tiap elemen digunakan juga untuk mendesain lentur, geser serta torsi tiap elemen. Karena banyaknya cakupan, penulis hanya mendetailkan desain lentur yang terjadi pada elemen horizontal (balok) sampai dengan jumlah tulangan lentur serta detail gambar pemasangan tulangan lentur yang terjadi.

Lentur elemen balok adalah akibat dari regangan deformasi yang disebabkan oleh tegangan-tegangan lentur akibat beban eksternal. Beban eksternal yang bekerja pada *software* ini hanya merupakan beban gravitasi. Dimana apabila beban ditingkatkan, balok tersebut menahan regangan dan defleksi tambahan dan mengakibatkan pembentukan retak lentur sepanjang bentang dari balok tersebut. Penambahan yang terus menerus terhadap tingkat beban mengakibatkan kegagalan elemen struktural ketika beban eksternal mencapai kapasitas elemen tersebut atau yang sering disebut keadaaan batas kegagalan terhadap lentur. Sebagai konsekuensinya, seorang *civil engineer* harus dapat mendesain irisan penampang elemen sehingga tidak mengakibatkan retak yang berlebihan pada saat beban layan dan memiliki keamanan tanpa kegagalan (Nawy,2010). Dalam program ini, *user* dapat menginputkan ukuran dari elemen balok serta ukuran tulangan ulir yang diinginkan. Dengan mengacu pada SNI 03-2847-2002 serta ACI 318M-2005 maka akan didapatkan gambar desain secara detail banyaknya tulangan yang dibutuhkan.

Software analisa struktur ini dibuat menggunakan program bantu Microsoft Visual Basic. Visual Basic 6.0 dipilih

karena tidak memerlukan program khusus untuk menampilkan jendela *window* serta cara penggunaannya berbasis visual seperti aplikasi Windows lainnya. (Dewobroto,2005)

Karena sifatnya yang *open source*, penulis mengharapkan *software* ini akan terus dikembangkan secara berkelanjutan mengikuti perkembangan peraturan yang berlaku serta adanya penambahan-penambahan, sehingga menjadi *software* yang *complex* dan memiliki nilai jual tersendiri.

1.2 RUMUSAN PERMASALAHAN

Rumusan permasalahan yang akan dibahas dalam tugas akhir ini antara lain :

1. Bagaimana menganalisa struktur *space frame* dengan menggunakan *direct stiffness method* dengan bantuan bahasa pemrograman Visual Basic sehingga dapat menghasilkan *output* berupa gaya-gaya dalam elemen?
2. Bagaimana menganalisa struktur elemen balok dari hasil gaya-gaya dalam elemen dengan bantuan bahasa pemrograman Visual Basic sehingga dapat menghasilkan *output* berupa gambar detil tulangan lentur dan panjang penyaluran pada elemen balok?
3. Apakah nilai *output* dari *software* yang telah dibuat dapat dipertanggungjawabkan kebenarannya melalui perbandingan dengan *software* analisa struktur profesional yang telah ada *serta dengan perhitungan manual*?
4. Bagaimana membuat *software* analisa struktur yang dapat dipelajari dan dikembangkan oleh semua orang?

1.3 BATASAN MASALAH

Pada penulisan Tugas Akhir ini penulis hanya membatasi permasalahan yang dibahas pada hal-hal berikut ini :

1. Struktur yang dapat dianalisa dengan *software* ini terbatas hanya pada *space frame*.
2. Beban yang dikenakan pada struktur adalah beban gravitasi berupa beban terpusat pada titik nodal dan beban terbagi rata penuh pada *frame*.
3. Metode yang digunakan adalah *direct stiffness method* yang merupakan bagian dari metode elemen hingga.
4. Analisa yang dilakukan pada elemen balok hanya berupa analisa lentur.
5. Penampang balok yang digunakan adalah penampang segiempat.
6. Program yang dibuat menggunakan bahasa pemrograman Visual Basic 6.0.
7. *Output* hasil analisa dibandingkan hanya dengan *output* dari program SAP2000.

1.4 TUJUAN

Adapun tujuan dari penyusunan tugas akhir ini antara lain :

1. Membuat *software* analisa struktur yang dapat menganalisa *space frame* dengan menggunakan *direct stiffness method* dengan program bantu Visual Basic sehingga dapat menghasilkan *output* berupa gaya-gaya dalam elemen balok.
2. Membuat *software* analisa struktur yang dapat melakukan analisa lentur dengan program bantu Visual Basic sehingga menghasilkan *output* berupa gambar detil desain tulangan lentur serta panjang penyaluran pada elemen balok.
3. Mengetahui bahwa nilai *output* dari *software* yang telah dibuat dapat dipertanggungjawabkan kebenarannya melalui perbandingan dengan *software professional* yang lain serta dengan perhitungan manual.

4. Membuat sebuah program yang *open source listing* sehingga dapat dipelajari, dikembangkan dan diperbarui oleh semua orang sesuai dengan peraturan yang berlaku saat ini.

1.5 MANFAAT

Manfaat yang bisa kita dapatkan dari penulisan Tugas Akhir ini adalah :

1. Dengan semakin lengkapnya penyusunan program analisa struktur ini, maka diharapkan akan adanya sebuah program analisa struktur alternatif, yang lebih murah dan mudah untuk didapatkan, semakin realistik untuk diupayakan.
2. Dengan adanya penyusunan program analisa struktur yang bersifat *open source* ini, *sharing knowledge* dapat mudah dilakukan sehingga penyempurnaan dari program ini dapat terlaksana.
3. Dengan adanya penyusunan program analisa struktur yang bersifat *open source* ini, penulis mengharapkan agar program ini dapat dikembangkan lebih lanjut.

BAB 2

TINJAUAN PUSTAKA

Dalam penyusunan algoritma program analisa struktur dan desain lentur elemen balok, ada beberapa teori yang harus dipahami terlebih dahulu. Mulai dari dasar-dasar teori dan konsep mengenai metoda elemen hingga dan *direct stiffness method*, pemahaman mengenai penulangan lentur balok, bahasa pemrograman Visual Basic 6.0, serta perkembangan program analisa struktur.

2.1 Metoda Elemen Hingga

Ide dasar dari digunakannya metoda elemen hingga adalah mencari solusi dari suatu bentuk struktur yang rumit dan mengubahnya menjadi bentuk yang sederhana. Karena diubah menjadi struktur yang sederhana maka hasil yang didapat hanya berupa hasil pendekatan bukan merupakan suatu hasil yang eksak. Penyelesaian yang ada selama ini juga tidak mendapatkan hasil yang eksak serta memerlukan usaha yang lama. Dengan menggunakan elemen hingga, sebagian besar pekerjaan dilakukan dengan menggunakan komputer. (Rao, 2004)

Proses ini dimulai dengan *discretization* yang berarti membagi suatu model menjadi sistem *unit* (elemen hingga) yang ekivalen dimana masing-masing unitnya saling terkoreksi dengan dua atau lebih titik elemen lainnya (*nodal points*), dan/atau garis batas (*boundary lines*), dan/atau bidang (*surfaces*). Selanjutnya dari setiap elemen hingga tersebut diformulasikan persamaannya dan menggabungkannya untuk mendapatkan solusi untuk model utuhnya. Dalam analisa struktur, solusi permasalahannya berupa *displacement* pada tiap nodalnya dan tegangan dari tiap elemen

yang membentuk struktur yang ditinjau tergantung dari beban-beban yang dikenakan. (Logan, 2006)

Secara umum metoda pelaksanaan analisa struktur dengan metoda elemen hingga adalah sebagai berikut :

- Discretization of the structure*

Tahap pertama dalam metoda elemen hingga adalah *membagi struktur menjadi beberapa elemen*. Karena dibagi menjadi beberapa elemen maka, informasi dari elemen tersebut harus jelas.

- Selection of a displacement model*

Karena *displacement* dari struktur yang kompleks tidak dapat dihitung secara eksak maka beberapa elemen *diasumsikan menjadi struktur yang sederhana*.

- Derivation of element stiffness matrices and load vector*.

Dari struktur yang sederhana tersebut, didapatkan matriks kekakuan masing-masing elemen dan memberikan vektor beban yang sesuai.

- Assemblage of element equations to obtain the overall equilibrium equation*

Karena struktur terdiri dari beberapa elemen maka matriks kekakuan masing-masing elemen dan vektor bebananya digabungkan menjadi suatu kesatuan persamaan kesetimbangan yang secara umum diformulasikan sebagai berikut :

$$[K]\vec{\Phi} = \vec{P}$$

Dimana $[K]$ adalah matriks kekakuan gabungan, $\vec{\Phi}$ adalah vektor dari *nodal displacement*, dan \vec{P} adalah vektor *nodal forces* dari struktur yang lengkap.

- Solution for the unknown nodal displacement*

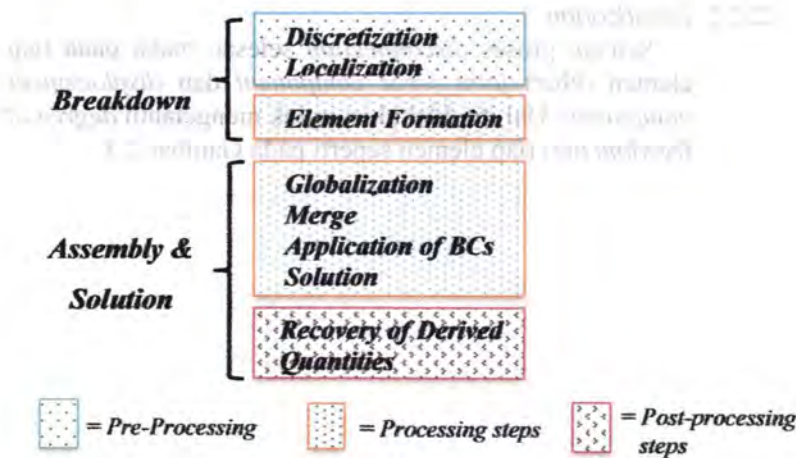
6. Computation of element strains and stresses

Setelah mengetahui *nodal displacement*, tegangan dan regangan dapat dihitung dengan menggunakan persamaan yang diperlukan. (Roa, 2004)

2.2 Wireframe Direct Stiffness Method

Direct Stiffness Method merupakan implementasi metoda elemen hingga yang paling sering digunakan. Untuk menggunakan metoda ini sistem yang akan dianalisa harus dimodelkan dalam satu perangkat elemen yang sederhana dan saling terhubung pada titik-titik nodalnya.

Langkah-langkah *Direct Stiffness Method* seperti yang terangkum dalam Gambar 2.1 mempermudah pembaca dalam memahaminya. Dua proses penting adalah *Breakdown* dan diikuti dengan *Assembly and Solution*. Proses *breakdown* dibagi menjadi tiga bagian penting yaitu : *discretization, localization and element formation*.



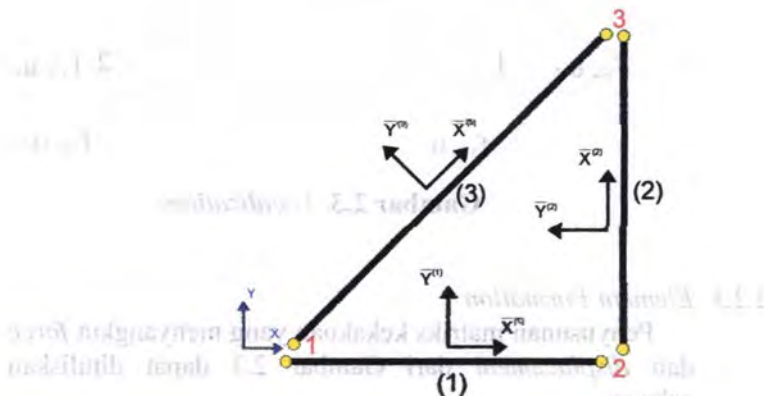
Gambar 2.1. The direct stiffness method steps

2.2.1 Discretization

Proses breakdown dimulai dari *disconnection* yaitu proses memecah struktur menjadi elemen-elemen dan memberi nama tiap elemennya seperti diilustrasikan pada Gambar 2.2. Proses pemberian nama atau identifikasi ini bertujuan untuk mengkorelasikan elemen struktur dengan variabel-variabel matematis yang akan dihitung oleh program komputer. Proses ini harus mendefinisikan tiap *nodal point* dan *member*. *Nodal point* diidentifikasikan dengan *nodal id* (nomor nodal), koordinat, *boundary conditions* (kondisi batas), dan beban-beban. Pada Tabel 2.1 terdapat contoh identifikasi *nodal id* dan *boundary condition* dimana bernilai 0 (*restrain*), sedangkan 1 (*as caused by foundation settlement*). Sedangkan untuk elemen batang diidentifikasikan dengan *id*, nodal pembatasnya, dan nomor grup. Nomor grup mendefinisikan tipe elemen dan jenis materialnya (*elastic/geometric properties*) seperti yang terdapat pada Tabel 2.2.

2.2.2 Localization

Setelah proses *disconnection* selesai, maka pada tiap elemen diberi *joint force component* dan *displacement component*. Hal itu dilakukan untuk mengetahui *degree of freedom* dari tiap elemen seperti pada Gambar 2.3

**Gambar 2.2. Discretization****Tabel 2.1. Example of nodal definition**

| Node No. | Coor. | | | B.C. | | |
|----------|-------|---|---|------|---|---|
| | X | Y | Z | X | Y | Z |
| 1 | 0 | 0 | 0 | 1 | 1 | 1 |
| 2 | 0 | 5 | 0 | 0 | 0 | 0 |
| 3 | 5 | 5 | 0 | 0 | 0 | 0 |
| 4 | 5 | 0 | 0 | 1 | 1 | 1 |

Tabel 2.2. Example of element definition

| Element No. | From Node | To Node | Group Number |
|-------------|-----------|---------|--------------|
| 1 | 1 | 2 | 1 |
| 2 | 2 | 3 | 2 |
| 3 | 3 | 4 | 1 |



Gambar 2.3. Localization

2.2.3 Element Formation

Penyusunan matriks kekakuan yang menyangkut *force* dan *displacement* dari Gambar 2.3 dapat dituliskan sebagai :

$$\begin{Bmatrix} f_{x1} \\ f_{y1} \\ f_{x2} \\ f_{y2} \end{Bmatrix} = \begin{bmatrix} k_{11} & k_{12} & k_{13} & k_{14} \\ k_{21} & k_{22} & k_{23} & k_{24} \\ k_{31} & k_{32} & k_{33} & k_{34} \\ k_{41} & k_{42} & k_{43} & k_{44} \end{bmatrix} \begin{Bmatrix} u_{x1} \\ u_{y1} \\ u_{x2} \\ u_{y2} \end{Bmatrix}$$

2.2.4 Assembly

Konversi persamaan kekakuan lokal ke persamaan kekakuan global

$$\begin{Bmatrix} f_{x1} \\ f_{y1} \\ f_{x2} \\ f_{y2} \end{Bmatrix} = \frac{AE}{L} \begin{bmatrix} c^2 & sc & -c^2 & -sc \\ sc & s^2 & -sc & -s^2 \\ -c^2 & -sc & c^2 & sc \\ -sc & -s^2 & sc & s^2 \end{bmatrix} \begin{Bmatrix} u_{x1} \\ u_{y1} \\ u_{x2} \\ u_{y2} \end{Bmatrix}$$

dimana $c = \cos \beta$

$s = \sin \beta$

Penggabungan matriks kekakuan global elemen menjadi matriks kekakuan struktur (*Direct Stiffness Method*)

$$\begin{Bmatrix} f_{x1} \\ f_{y1} \\ f_{x2} \\ f_{y2} \\ f_{x3} \\ f_{y3} \end{Bmatrix} = [K] \begin{Bmatrix} u_{x1} \\ u_{y1} \\ u_{x2} \\ u_{y2} \\ u_{x3} \\ u_{y3} \end{Bmatrix}$$

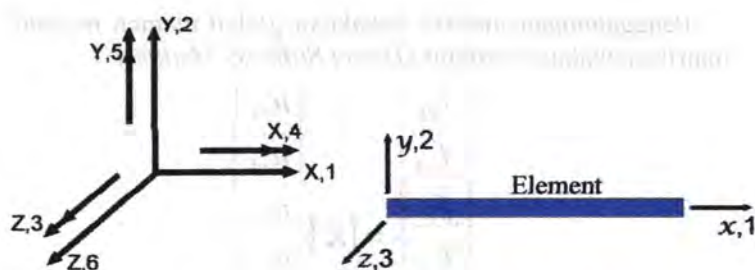
2.3 Sistem Koordinat

Dari analisa didapat *displacement nodal*, kemudian gaya-gaya dalam elemen yang berbeda masing-masing elemen tergantung tipe elemennya. *Displacement* diperoleh berdasar persamaan struktur global sedangkan arah vektor gaya-gaya dalam sesuai dengan posisi tiap elemen. Untuk itu dalam perhitungan harus dibedakan menjadi dua sistem koordinat.

Global: untuk mendeskripsikan koordinat nodal struktur, dipilih menggunakan kaidah tangan kanan dan dilabelkan dengan huruf besar seperti X, Y dan Z.

Lokal: bergantung pada posisi tiap elemen, digunakan untuk mendeskripsikan gaya dalam elemen dan disimbolkan dengan huruf kecil seperti x, y dan z.

Pada Gambar 2.4 dan 2.5 terlihat perbedaan penamaan pada koordinat global dan lokal.



Gambar 2.4. Global Coordinate System in 3D Frame

Gambar 2.5. Local Coordinate System in 3D Frame

2.4 Perjanjian Tanda

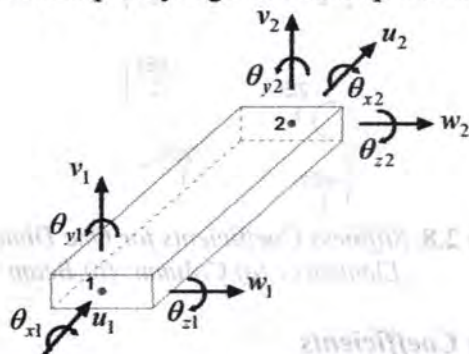
Perjanjian tanda yang digunakan dalam analisa struktur menggunakan metoda matriks berbeda dengan analisa struktur biasanya. Pada analisa struktur matriks diambil konsisten menurut sistem koordinatnya, dimana arah vektor gaya positif searah dengan sumbu positif dan momen positif berlawanan dengan arah jarum jam. Gambar 2.6 menunjukkan perbedaan antara analisa struktur biasanya dan analisa struktur matriks, dimana gambar atas merupakan analisa struktur yang biasa digunakan, sedangkan gambar bawah perjanjian tanda yang digunakan pada analisa struktur matriks.



Gambar 2.6. Sign Convention

2.5 Degrees of Freedom (D.O.F)

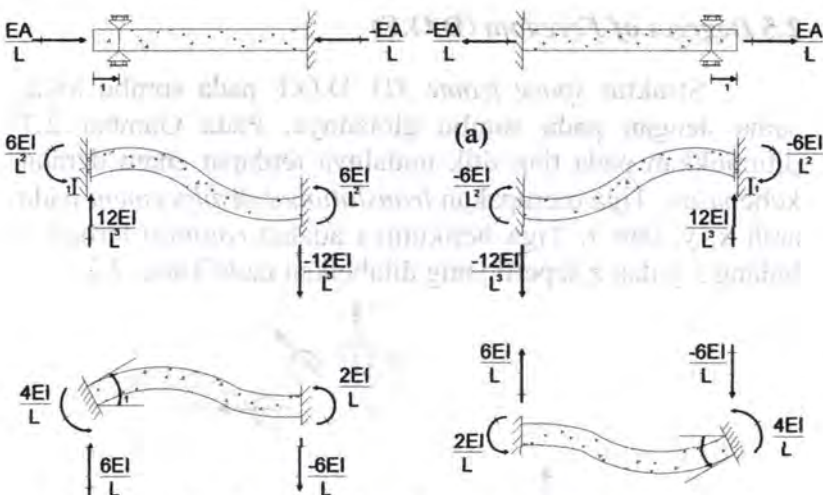
Struktur space frame 3D, D.O.F pada sumbu lokal sama dengan pada sumbu globalnya. Pada Gambar 2.7 ditunjukkan pada tiap titik nodalnya terdapat enam derajat kebebasan. Tiga merupakan *translational displacement* pada arah x, y, dan z. Tiga berikutnya adalah *rotation* terhadap bidang x,y dan z seperti yang ditabelkan pada Tabel 2.3.



Gambar 2.7. Frame element in space with twelve D.O.Fs

Tabel 2.3. Degrees of Freedom Space Frame 3D

| Type | | Node 1 | Node 2 | [k] (Lokal) | [K] (Global) |
|-------------|-----|------------------------------------------------------------|------------------------------------------------------------|----------------|-----------------|
| Frame 3D | {p} | F_{x1}, F_{y1}, F_{z1} T_{x1}, M_{y1}, M_{z1} | F_{x2}, F_{y2}, F_{z2} T_{x2}, M_{y2}, M_{z2} | 12×12 | 12×12 |
| | {δ} | u_1, v_1, w_1 $\theta_{x1}, \theta_{y1}, \theta_{z1}$ | u_2, v_2, w_2 $\theta_{x2}, \theta_{y2}, \theta_{z2}$ | | |



Gambar 2.8. Stiffness Coefficients for One Dimensional Elements : (a) Column; (b) Beam

2.6 Stiffness Coefficients

Dalam metoda kekakuan matriks, sebelum mendapatkan matriks kekakuan global $[K]$ maka perlu menyusun matriks kekakuan tiap elemen $[k]$. Gambar 2.8 merupakan gambaran nilai dari *stiffness coefficients* untuk kolom dan balok. Sebagaimana pada pasal sebelumnya pada *space frame 3D*, matriks kekakuan lokal berukuran 12×12 . Faktor yang mempengaruhi besarnya *stiffness coefficients* pada *space frame 3D*, antara lain :

1. Axial Deformation

$$\sigma = E\varepsilon$$

$$P = A\sigma = \frac{AE}{L}\delta$$

$$k = \frac{AE}{L} \quad (2.1)$$

dimana $A = \text{luas penampang}$

dimana $E = \text{Modulus Young}$ dan $\nu = \text{koefisien Poisson}$

$L = \text{panjang bentang}$

$$\delta = u_{x2} - u_{x1}$$

2. Torsional Deformation

Rotasi yang terjadi pada suatu elemen menyebabkan terjadinya torsi.

$$\gamma_{\max} d_x = d_\Phi c$$

$$\frac{d_\Phi}{d_x} = \frac{\gamma_{\max}}{c} \Rightarrow \gamma_{\max} = \frac{\tau_{\max}}{G}$$

$$\frac{d_\Phi}{d_x} = \frac{\tau_{\max}}{Gc} \Rightarrow \tau_{\max} = \frac{Tc}{J}$$

$$\frac{d_\Phi}{d_x} = \frac{T}{GJ}$$

$$T = \frac{GJ}{L} \Phi$$

$$k = \frac{GJ}{L} = \frac{\frac{GJ}{L} \Phi}{\frac{GJ}{L} \Phi + (\frac{GJ}{L} \Phi + \frac{GJ}{L})} = \frac{\frac{GJ}{L} \Phi}{\frac{2GJ}{L} \Phi} = \frac{1}{2} \quad (2.2)$$

$$G = \frac{E}{2(1+\nu)} \quad (2.3)$$

dimana $E = \text{Modulus Young}$

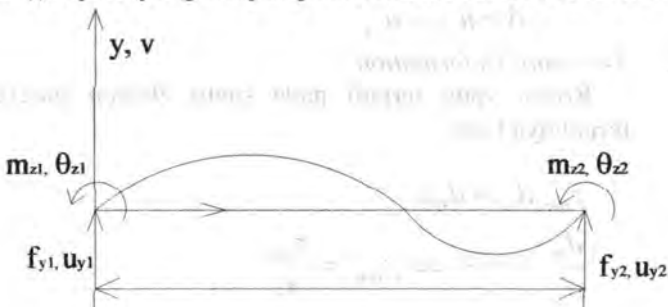
$\nu = \text{koefisien Poisson}$

$J = \text{inersia polar penampang}$

$L = \text{panjang bentang}$

3. Flexural Deformation

Hubungan gaya dan momen pada tiap ujung elemen batang menyebabkan adanya *displacement* (translasi dan rotasi), seperti yang tampak pada Gambar 2.9 di bawah ini:



Gambar 2.9. Elemen dengan *displacement* akibat rotasi, gaya dan momen positif

Nilai dari *displacement* (translasi dan rotasi) dapat dicari dengan menggunakan rumus sebagai berikut :

$$m_{z1} = \frac{2EI_z}{L}(2\theta_{z1} + \theta_{z2}) + \frac{6EI_z}{L^2}(\nu_1 - \nu_2) \quad (2.4)$$

$$m_{z2} = \frac{2EI_z}{L}(\theta_{z1} + 2\theta_{z2}) + \frac{6EI_z}{L^2}(\nu_1 - \nu_2) \quad (2.5)$$

$$f_{y1} = \frac{6EI_z}{L^2}(\theta_{z1} + \theta_{z2}) + \frac{12EI_z}{L^3}(\nu_1 - \nu_2) \quad (2.6)$$

$$f_{y2} = -\frac{6EI_z}{L^2}(\theta_{z1} + \theta_{z2}) - \frac{12EI_z}{L^3}(\nu_1 - \nu_2) \quad (2.7)$$

Dapat disimpulkan matriks kekakuan $[k]$ sebagai berikut :



$$\left\{ \begin{array}{c} f_{x1} \\ f_{y1} \\ f_{z1} \\ m_{x1} \\ m_{y1} \\ m_{z1} \\ f_{x2} \\ f_{y2} \\ f_{z2} \\ m_{x2} \\ m_{y2} \\ m_{z2} \end{array} \right\} = \left[\begin{array}{cccccccccccc} k_{xx} & 0 & 0 & 0 & 0 & 0 & -k_a & 0 & 0 & 0 & 0 & 0 \\ 0 & k_{z1} & 0 & 0 & 0 & k_{z2} & 0 & -k_{z1} & 0 & 0 & 0 & k_{z2} \\ 0 & 0 & k_{y1} & 0 & -k_{y2} & 0 & 0 & 0 & -k_{y1} & 0 & -k_{y2} & 0 \\ 0 & 0 & 0 & k_t & 0 & 0 & 0 & 0 & -k_t & 0 & 0 & 0 \\ 0 & 0 & -k_{y2} & 0 & k_{y3} & 0 & 0 & 0 & k_{y2} & 0 & k_{y4} & 0 \\ 0 & k_{z2} & 0 & 0 & 0 & k_{z3} & 0 & -k_{z2} & 0 & 0 & 0 & k_{z4} \\ -ka & 0 & 0 & 0 & 0 & 0 & k_a & 0 & 0 & 0 & 0 & 0 \\ 0 & -k_{z1} & 0 & 0 & 0 & -k_{z2} & 0 & k_{z1} & 0 & 0 & 0 & -k_{z2} \\ 0 & 0 & -k_{y1} & 0 & k_{y2} & 0 & 0 & 0 & k_{y1} & 0 & k_{y2} & 0 \\ 0 & 0 & 0 & -k_t & 0 & 0 & 0 & 0 & 0 & k_t & 0 & 0 \\ 0 & 0 & -k_{y2} & 0 & k_{y4} & 0 & 0 & 0 & k_{y2} & 0 & k_{y3} & 0 \\ 0 & k_{z2} & 0 & 0 & 0 & k_{z4} & 0 & -k_{z2} & 0 & 0 & 0 & k_{z3} \end{array} \right] \left\{ \begin{array}{c} u_{x1} \\ u_{y1} \\ u_{z1} \\ \theta_{x1} \\ \theta_{y1} \\ \theta_{z1} \\ u_{x2} \\ u_{y2} \\ u_{z2} \\ \theta_{x2} \\ \theta_{y2} \\ \theta_{z2} \end{array} \right\}$$

dimana:

$$\begin{aligned} k_a &= \frac{EA}{L} ; \quad k_{z1} = \frac{12EI_z}{L^3} ; \quad k_{z3} = \frac{4EI_z}{L} ; \quad k_{y1} = \frac{12EI_y}{L^3} ; \quad k_{y3} = \frac{4EI_y}{L} \\ k_t &= \frac{GJ}{L} ; \quad k_{z2} = \frac{6EI_z}{L^2} ; \quad k_{z4} = \frac{2EI_z}{L} ; \quad k_{y2} = \frac{6EI_y}{L^2} ; \quad k_{y4} = \frac{2EI_y}{L} \end{aligned} \quad (2.8)$$

4. Deformasi geser

Secara umum deformasi akibat geser cukup kecil, namun untuk batang dengan rasio bentang yang relatif pendek terhadap tinggi penampangnya deformasi ini tidak bisa diabaikan.

$$\Phi = \frac{12EI}{GA_s L^2} \quad (2.9)$$

Bila deformasi geser diperhitungkan maka persamaan matriks kekakuan harus dirubah:

1. Akibat translasi, koefisien pada kolom pertama dan ketiga dibagi dengan $(1 + \Phi)$
2. Akibat rotasi dan efek dari gaya geser, maka pada persamaan harus ditambah *displacement* sebesar $(-0,5\Phi L)$



Sehingga persamaan kekakuan menjadi:

$$[k] = \frac{EI_z}{L^3(1+\Phi_y)} \begin{bmatrix} 12 & 6L & -12 & 6L \\ 6L & (4+\Phi_y)L^2 & -6L & (2-\Phi_y)L^2 \\ -12 & -6L & 12 & -6L \\ 6L & (2-\Phi_y)L^2 & -6L & (4+\Phi_y)L^2 \end{bmatrix} \quad (2.10)$$

2.7 Matriks Transformasi

Persamaan kekakuan yang telah didapat sebelumnya adalah matriks untuk elemen yang sumbu batangnya (lokal) berhimpit dengan sumbu struktur utama (global). Untuk elemen dengan sumbu lokal tidak berhimpit dengan sumbu global, maka diperlukan suatu matriks transformasi untuk mengkonversikan matriks kekakuan lokal ke matriks kekakuan global elemen.

Bila $[k]$ adalah matriks kekakuan lokal elemen dan $[R]$ adalah matriks transformasi elemen, maka matriks kekakuan global $[K]$ dinyatakan sebagai berikut:

$$[K] = [R]^T [k] [R] \quad (2.11)$$

Pada *space frame 3D*, dimana memiliki 6 D.O.Fs per titik nodal, bentuk persamaan [R] adalah :

$$[R] = \begin{bmatrix} \lambda_{3 \times 3} & & & \\ & \lambda_{3 \times 3} & & \\ & & \lambda_{3 \times 3} & \\ & & & \lambda_{3 \times 3} \end{bmatrix}$$

$[\lambda]$ adalah vektor transformasi dari:

$$\begin{bmatrix} l_{xX} & l_{xY} & l_{xZ} \\ l_{yX} & l_{yY} & l_{yZ} \\ l_{zX} & l_{zY} & l_{zZ} \end{bmatrix}$$

dimana,

x, y, z = sumbu lokal elemen

X, Y, Z = sumbu global elemen

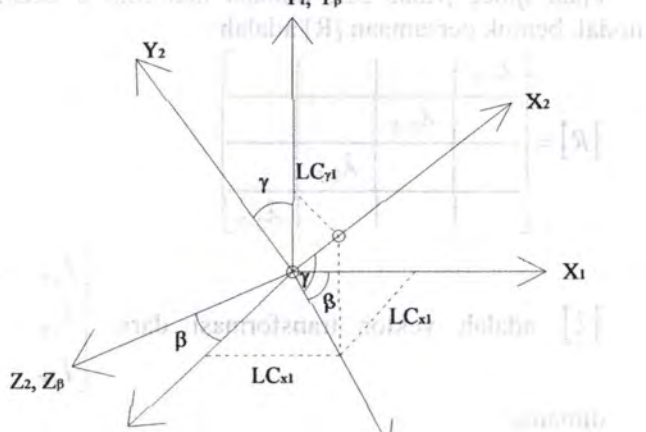
l_{ij} = adalah cosinus sudut antara sumbu i terhadap sumbu j

l_{xj} = adalah cosinus sudut antara sumbu x terhadap sumbu global j (X,Y,Z)

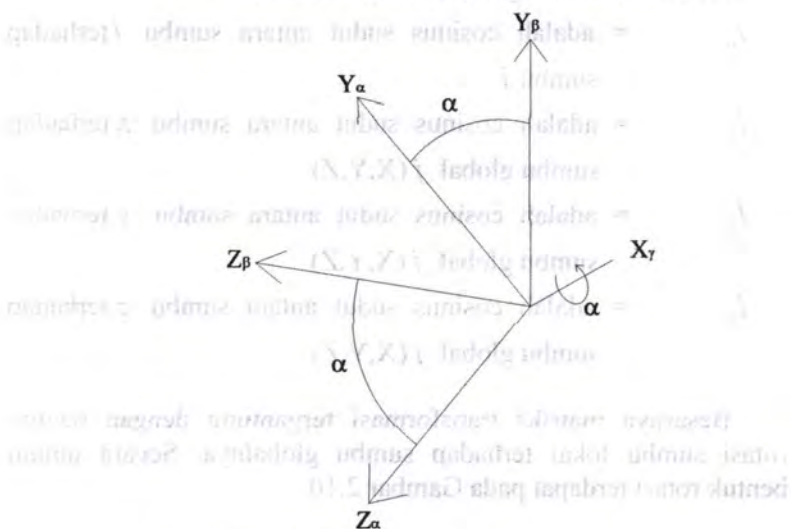
l_{yj} = adalah cosinus sudut antara sumbu y terhadap sumbu global j (X,Y,Z)

l_{zj} = adalah cosinus sudut antara sumbu z terhadap sumbu global j (X,Y,Z)

Besarnya matriks transformasi tergantung dengan bentuk rotasi sumbu lokal terhadap sumbu globalnya. Secara umum bentuk rotasi terdapat pada Gambar 2.10.

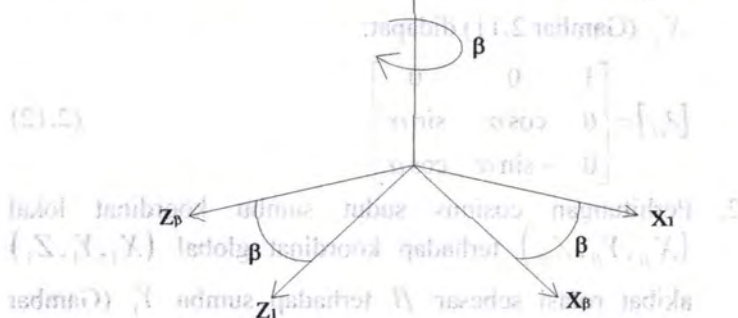


Gambar 2.10. Simple 3D Rotation

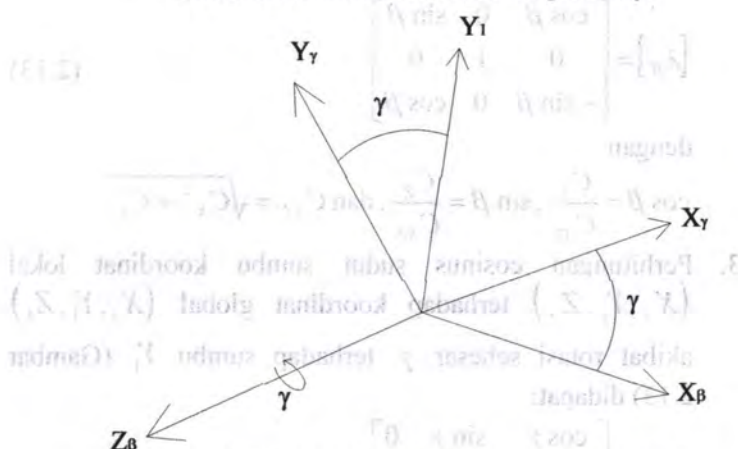


Gambar 2.11. Rotation with respect to α

(S1.2) Untuk membentuk sistem koordinat baru (Σ', I_1, I_2) dengan sumbu I_1 berputar sejajar dengan sumbu I_2 sejauh β , maka



Gambar 2.12. Rotation with respect to β



Gambar 2.13. Rotation with respect to γ

$$\begin{pmatrix} 1 & 0 & 0 \\ 0 & \cos \beta & -\sin \beta \\ 0 & \sin \beta & \cos \beta \end{pmatrix}$$

Perhitungan matriks transformasi untuk masing-masing rotasi:

1. Perhitungan cosinus sudut sumbu koordinat lokal $(X_\alpha, Y_\alpha, Z_\alpha)$ akibat rotasi sebesar α terhadap sumbu X_γ (Gambar 2.11) didapat:

$$[\lambda_\alpha] = \begin{bmatrix} 1 & 0 & 0 \\ 0 & \cos \alpha & \sin \alpha \\ 0 & -\sin \alpha & \cos \alpha \end{bmatrix} \quad (2.12)$$

2. Perhitungan cosinus sudut sumbu koordinat lokal $(X_\beta, Y_\beta, Z_\beta)$ terhadap koordinat global (X_1, Y_1, Z_1) akibat rotasi sebesar β terhadap sumbu Y_1 (Gambar 2.12) didapat:

$$[\lambda_\beta] = \begin{bmatrix} \cos \beta & 0 & \sin \beta \\ 0 & 1 & 0 \\ -\sin \beta & 0 & \cos \beta \end{bmatrix} \quad (2.13)$$

dengan

$$\cos \beta = \frac{C_x}{C_{xz}}, \sin \beta = \frac{C_z}{C_{xz}}, \text{ dan } C_{xz} = \sqrt{C_x^2 + C_z^2}$$

3. Perhitungan cosinus sudut sumbu koordinat lokal $(X_\gamma, Y_\gamma, Z_\gamma)$ terhadap koordinat global (X_1, Y_1, Z_1) akibat rotasi sebesar γ terhadap sumbu Y_1 (Gambar 2.13) didapat:

$$[\lambda_\gamma] = \begin{bmatrix} \cos \gamma & \sin \gamma & 0 \\ -\sin \gamma & \cos \gamma & 0 \\ 0 & 0 & 1 \end{bmatrix} \quad (2.14)$$

dengan $\cos \gamma = C_{xz}$ dan $\sin \gamma = C_\gamma$

Maka untuk sistem koordinat lokal dengan rotasi sebesar α , β dan γ terhadap sumbu global diperoleh vektor transformasi:

$$[\lambda] = [\lambda_\alpha \ \lambda_\gamma \ \lambda_\beta]$$

$$[\lambda] = \begin{bmatrix} C_x & C_y & C_z \\ \frac{-C_x C_r \cos \alpha - C_z \sin \alpha}{C_{xz}} & \frac{C_{xz} \cos \alpha}{C_{xz}} & \frac{-C_r C_z \cos \alpha + C_x \sin \alpha}{C_{xz}} \\ \frac{C_x C_r \sin \alpha - C_z \cos \alpha}{C_{xz}} & \frac{-C_{xz} \sin \alpha}{C_{xz}} & \frac{C_r C_z \sin \alpha + C_x \cos \alpha}{C_{xz}} \end{bmatrix} \quad (2.15)$$

dengan:

$$C_x = \frac{x_j - x_i}{L}; C_y = \frac{y_j - y_i}{L}; C_z = \frac{z_j - z_i}{L}$$

$$C_{xz} = \sqrt{C_x^2 + C_z^2}$$

$$L = \sqrt{(x_j - x_i)^2 + (y_j - y_i)^2 + (z_j - z_i)^2}$$

Untuk batang vertikal (sumbu lokal x sejajar dengan sumbu global Y) maka vektor transformasi dari persamaan sebelumnya tidak bisa digunakan karena nilai C_{xz} tidak bisa didapat. Untuk pengecualian ini digunakan:

$$[\lambda_\gamma] = \begin{bmatrix} 0 & C_Y & 0 \\ -C_Y & 0 & 0 \\ 0 & 0 & 1 \end{bmatrix}$$

dimana: $C_Y = 1$ untuk $\gamma = 90^\circ$, dan $C_Y = -1$ untuk $\gamma = 270^\circ$

Setelah dihitung rotasi terhadap λ dilakukan perhitungan rotasi terhadap sumbu x baru sebesar α , yaitu:

$$[\lambda] = [\lambda_\gamma \ \lambda_\alpha]$$

$$[\lambda] = \begin{bmatrix} 0 & C_\gamma & 0 \\ -C_\gamma \cos \alpha & 0 & \sin \alpha \\ C_\gamma \sin \alpha & 0 & \cos \alpha \end{bmatrix} \quad (2.16)$$

2.8 Matriks Beban

Beban berupa gaya luar yang bekerja pada struktur. Untuk gaya luar titik/terpusat pada nodal dengan arah sumbu global, maka gaya-gaya tersebut membentuk matriks beban secara langsung ke posisi dimana *displacement* berasesuaian terjadi:

$$[f] = [f_x \ f_y \ f_z \ m_x \ m_y \ m_z]^T$$

Untuk beban merata pada batang seperti dalam Gambar 2.14 maka perlu dicari nilai beban ekivalen pada nodal pembatas batang.

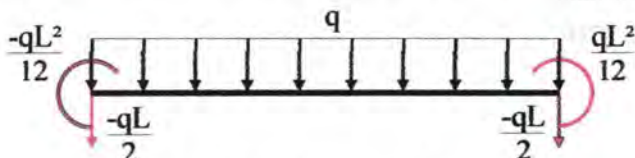
$$[p_s] = [f_{xeq} \ f_{yeq} \ f_{zeq} \ m_{xeq} \ m_{yeq} \ m_{zeq}]^T$$

Selanjutnya persamaan *equilibrium* struktur dituliskan sebagai:

$$\{U\} = [K]^{-1} \{p_s\} \quad (2.17)$$

$$\{f\} = \{f_0\} + [k]\{U\} \quad (2.18)$$

Sehingga dari sini didapat gaya serta momen pada suatu elemen.



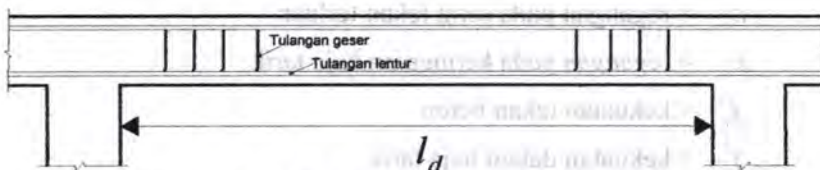
Gambar 2.14. Beban nodal ekivalen

2.9 Lentur Pada Balok

Beban-beban yang bekerja pada struktur, baik berupa beban gravitasi (berarah vertikal) maupun beban-beban lain, seperti beban angin (dapat berarah horizontal) menyebabkan adanya lentur dan deformasi pada elemen struktur. Lentur pada balok merupakan akibat dari adanya regangan yang timbul karena adanya beban luar.

Apabila bebannya bertambah, maka pada balok terjadi deformasi dan regangan tambahan yang mengakibatkan adanya retak lentur di sepanjang bentang balok. Bila bebannya semakin bertambah, pada akhirnya dapat terjadi keruntuhan elemen struktur, yaitu pada saat beban luarnya mencapai kapasitas elemen. Taraf pembebanan demikian disebut keadaan limit.

Jika suatu balok terbuat dari material yang *elastic* linier, isotropis dan homogen maka tegangan lentur maksimumnya dapat diperoleh dengan rumus lentur balok. Pada keadaan beban batas, balok beton bertulang bukanlah material yang homogen, juga tidak elastis sehingga rumus lentur balok tersebut tidak dapat digunakan untuk menghitung tegangannya. Akan tetapi, prinsip-prinsip dasar teori lentur masih dapat digunakan untuk menganalisa irisan penampang balok beton bertulang. Gambar 2.15 menunjukkan sebuah balok beton bertulang menerus yang tipikal. Jika balok tersebut dipropsikan sedemikian sehingga semua material penyusunnya mencapai kapasitas sebelum kegagalan, baik beton maupun bajanya gagal secara bersamaan di tengah bentang maka kekuatan *ultimate* dari balok tersebut tercapai.



Gambar 2.15. Balok beton bertulang tipikal

Asumsi-asumsi yang digunakan dalam menetapkan perilaku penampang adalah sebagai berikut:

1. Distribusi regangan dianggap linier. Asumsi ini berdasarkan hipotesis Bernoulli yaitu penampang yang datar sebelum mengalami lentur akan tetap datar dan tegak lurus terhadap sumbu netral setelah mengalami lentur.
2. Regangan pada baja dan beton di sekitarnya sama sebelum terjadi retak pada beton atau leleh pada baja.
3. Beton lemah terhadap tarik. Beton akan retak pada taraf pembebanan kecil, yaitu sekitar 10% dari kekuatan tekannya. Akibatnya bagian beton yang mengalami tarik pada penampang diabaikan dalam perhitungan analisis dan desain, juga tulangan tarik yang ada dianggap memikul gaya tarik tersebut.

Agar keseimbangan gaya horisontal terpenuhi, gaya tekan C pada beton dan gaya tarik T pada tulangan harus saling mengimbangi, jadi haruslah:

$$C = T \quad (2.19)$$

Symbol-simbol yang ada pada Gambar 2.16 didefinisikan sebagai berikut:

b = lebar balok pada sisi tekan

d = kedalaman balok diukur dari serat tekan terluar ke pusat luasan baja

h = kedalaman balok total

A_s = luasan baja tarik

ε_c = regangan pada serat tekan terluar

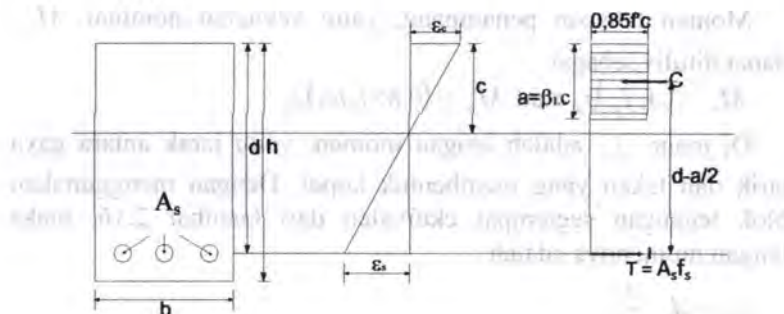
ε_s = regangan pada ketinggian baja tarik

f'_c = kekuatan tekan beton

f_s = kekuatan dalam baja tarik

f_y = kekuatan leleh tulangan tarik

c = kedalaman sumbu netral diukur dari serta-serat tekan terluar



Gambar 2.16. Distribusi tegangan dan regangan pada penampang balok tulangan tunggal

Blok tegangan ekuivalen ini mempunyai tinggi a dan tegangan tekan rata – rata sebesar $0,85f'_c$. Seperti terlihat pada Gambar 2.16, besarnya a adalah $\beta_1 c$ yang ditentukan dengan menggunakan koefisien β_1 sedemikian rupa sehingga luas blok segiempat ekuivalen kurang lebih sama dengan blok tegangan yang berbentuk parabola.

Berdasarkan penelitian yang pernah dilakukan, regangan maksimum yang diizinkan adalah 0,003. Harga ini dipakai pada ACI sebagai harga batas yang masih aman. Dengan mudah kita dapat menghitung gaya tekan C sebesar $0,85f'_c ba$, yaitu volume balok tekan pada atau dekat keadaan batas, yaitu bila baja tarik telah leleh ($\epsilon_s > \epsilon_y$). Gaya tarik T dapat dituliskan sebagai $A_s f_y$. Jadi persamaan keseimbangan (2.17) dapat dituliskan sebagai :

$$0,85f'_c ba = A_s f_y$$

$$M_n = \frac{A_s f_y}{0,85 f'_c b} \quad (2.20)$$

Momen tahapan penampang, yaitu kekuatan nominal M_n , dapat ditulis sebagai :

$$M_n = (A_s f_y) j_d \text{ atau } M_n = (0,85 f'_c b a) j_d$$

Di mana j_d adalah lengan momen, yaitu jarak antara gaya tarik dan tekan yang membentuk kopel. Dengan menggunakan blok tegangan segiempat ekuivalen dari Gambar 2.16, maka lengkap momennya adalah :

$$j_d = d - \frac{a}{2}$$

Jadi momen tahanan nominalnya adalah :

$$M_n = A_s f_y \left(d - \frac{a}{2} \right)$$

Karena $C=T$, maka persamaan momen dapat ditulis sebagai :

$$M_n = 0,85 f'_c b a \left(d - \frac{a}{2} \right) \quad (2.21)$$

Jadi persentase tulangan dinyatakan dengan $\rho = A_s / bd$, maka persamaan (2.18) dapat ditulis sebagai :

$$\alpha = \frac{\rho f_y}{0,85 f'_y}$$

Jika $r=b/d$, menjadi :

$$M_n = \rho r d^2 f_y \left(d - \frac{\rho d f_y}{1,7 f'_c} \right) \quad (2.22)$$

di mana $\omega = \rho f_y / f'_c$ sehingga Persamaan (2.22) menjadi:

$$M_n = R_n b d^2 \quad (2.23)$$

Kedalaman sumbu netral c , dapat dirumuskan dari Gambar 2.16 sebagai :

$$\frac{c}{d} = 0,003 \left(\frac{d_t - c}{c} \right)$$

Untuk regangan seimbang batas $\varepsilon_t = 0,003$ pada serat tulangan tarik terluar, maka persamaan menjadi :

$$\frac{c_b}{d_t} = \frac{0,003}{0,003 + \frac{f_y}{E_s}} \quad (2.24)$$

dimana,

c_b = kedalaman sumbu netral seimbang pada regangan batas
 $\varepsilon_t = 0,003$

d_t = kedalaman efektif ke lapis tulangan tarik terluar

Jika modulus tulangan baja lunak, E_s , diambil sebesar 200.000 MPa, maka Persamaan (2.24) menjadi :

$$\frac{c_b}{d_t} = \frac{600}{600 + f_y} \quad (2.25)$$

dan,

$$f_s = 600 \left(\frac{d_t}{c} - 1 \right) \quad (2.26)$$

Hubungan antara kedalaman blok tegangan persegi ekivalen a dan kedalaman sumbu netral c adalah

$$a = \beta_1 c \quad (2.27)$$

Harga faktor kedalaman blok tegangan β_1 adalah

$$0,85 \quad \text{untuk } 18 \text{ Mpa} < f'_c \leq 28 \text{ Mpa}$$

$$\beta_1 = 0,85 - 0,05 \left(\frac{f'_c - 28}{7} \right) \quad \text{untuk } 28 \text{ Mpa} < f'_c \leq 55 \text{ Mpa} \quad (2.28)$$

$$0,65 \quad \text{untuk } f'_c > 55 \text{ Mpa}$$

Peraturan juga menetapkan persyaratan baja minimum sebagai:

$$A_{s \min} \geq \frac{3\sqrt{f'_c}}{f_y} b_w d \geq \frac{200b_w d}{f_y} \quad (2.29)$$

Begitu pula dengan ρ_{perlu} , ditetapkan sebagai berikut:

$$\rho_{perlu} = \frac{1}{m} \left(1 - \sqrt{1 - \frac{2mR_n}{f_y}} \right) \quad (2.30)$$

dimana

$$m = \frac{f_y}{0,85f'_c}$$

$$A_{s \text{ perlu}} = \rho_{perlu} bd \quad (2.31)$$

2.10 Metoda Batas-Batas Regangan Untuk Analisis dan Desain

Dalam pendekatan ini, sering disebut dengan ‘*Unified Method*’, karena dapat diterapkan secara sama untuk analisis lentur elemen-elemen beton prategang, kekuatan lentur nominal sebuah beton tercapai bila regangan tekan neto dalam serat tekan terluar mencapai batas yang diasumsikan peraturan ACI 0,003 mm/mm. Dalam hal ini juga ditetapkan bahwa bila regangan tarik neto dalam baja tarik terluar ε , cukup besar dimana harganya sama atau lebih besar dari 0,005mm/mm maka perlakunya adalah daktail penuh. Penampang balok beton dikarakteristikkan sebagai terkontrol tarik, dengan peringatan yang cukup seperti yang ditunjukkan oleh retak dan defleksi yang berlebihan.

Pada analisa lentur biasanya terkontrol tarik. Akan tetapi, beberapa penampang, seperti yang dikenai oleh beban-beban aksial kecil, tetapi momen lentur yang besar, regangan tarik neto, ε_t , akan mempunyai sebuah harga antara atau transisi antara kedua keadaan batas regangan. Gambar 2.17 menggambarkan ketiga daerah ini demikian juga variasi dalam faktor-faktor

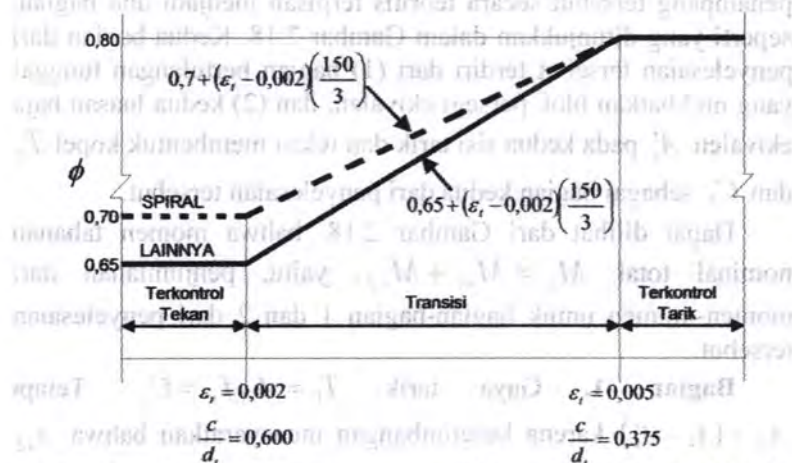
reduksi kekuatan yang dapat diterapkan pada rentang perilaku keseluruhan.

Dimana besar ε_t ditentukan dari kesetimbangan gaya pada Gambar 2.16 adalah

$$\frac{c}{d-c} = \frac{0,003}{\varepsilon_t}$$

menjadi,

$$\varepsilon_t = 0,003 \left(\frac{d}{c} - 1 \right) \quad (2.32)$$



Gambar 2.17. Zona batas regangan dan variasi faktor reduksi kekuatan ϕ dengan regangan tarik ε_t

2.11 Penampang Tulangan Rangkap

Penampang tulangan rangkap memuat tulangan baik pada muka tarik maupun tekan, biasanya di penampang pendukung saja. mereka menjadi diperlukan bilamana baik batasan-batasan arsitektural yang membatasi kedalaman web balok di bentang-tengah, atau dimensi-dimensi penampang bentang-tengah tidak cukup di dalam menahan momen negatif pendukung sekalipun

bilamana baja tarik di pendukung ditingkatkan secara mencukupi. Dalam kasus-kasus seperti itu, sekitar sepertiga sampai setengah batang bawah pada bentang-bentang diperpanjang dan diangkur dengan baik pada pendukung-pendukung yang bekerja sebagai tulangan tekan. Panjang penyaluran batang harus dibuat dengan baik dan baja tekan dan tarik di penampang pendukung diikat dengan baik dengan sengkang-sengkang tertutup untuk mencegah tekuk (*buckling*) batang-batang tekan pada pendukung.

Di dalam analisis atau desain balok-balok dengan tulangan tekan A'_s , analisis tersebut dibagi sedemikian sehingga penampang tersebut secara teoritis terpisah menjadi dua bagian, seperti yang ditunjukkan dalam Gambar 2.18. Kedua bagian dari penyelesaian tersebut terdiri dari (1) bagian bertulangan tunggal yang melibatkan blok persegi ekivalen, dan (2) kedua luasan baja ekivalen A'_s pada kedua sisi tarik dan tekan membentuk kopel T_2 dan C_2 sebagai bagian kedua dari penyelesaian tersebut.

Dapat dilihat dari Gambar 2.18, bahwa momen tahanan nominal total $M_n = M_{n1} + M_{n2}$, yaitu, penjumlahan dari momen-momen untuk bagian-bagian 1 dan 2 dari penyelesaian tersebut.

Bagian 1. Gaya tarik $T_1 = A_{s1}f_y = C_1$. Tetapi $A_{s1} = (A_s - A'_s)$ karena kesetimbangan mensyaratkan bahwa A_{s2} pada sisi tarik diimbangi dengan sebuah A'_s ekivalen pada sisi tekan. Karena itu momen tahanan nominal

$$M_{n1} = (A_s - A'_s)f_y \left(d - \frac{a}{2} \right) \quad (2.33)$$

$$\text{dimana } a = \frac{(A_s - A'_s)f_y}{0,85f'_c b} \quad (2.34)$$

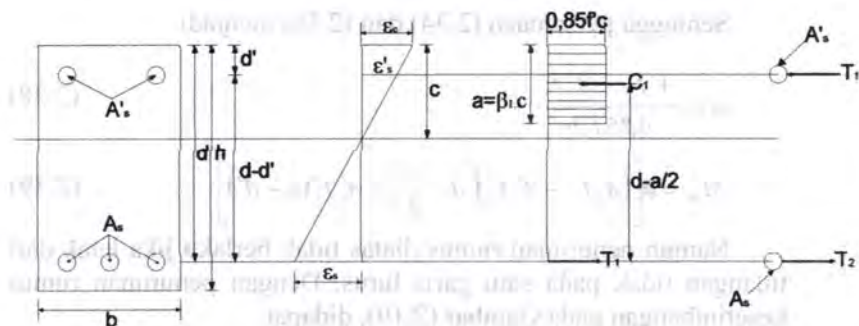
Bagian 2.

$$A'_s = A_{s2} = (A_s - A_{s1})$$

$$T_2 = C_2 = A_{s2} f_y$$

Dengan mengambil momen terhadap tulangan tarik, kita mempunyai persamaan :

$$M_{n2} = A_{s2} f_y (d - d') \quad (2.35)$$



Gambar 2.18. Distribusi tegangan dan regangan pada tulangan rangkap

Dengan menambahkan momen-momen untuk bagian-bagian 1 dan 2 menghasilkan :

$$M_n = (A_s - A'_s) f_y \left(d - \frac{a}{2} \right) + A'_s f_y (d - d')$$

Kekuatan momen desain

$$M_u = \phi \left[(A_s - A'_s) f_y \left(d - \frac{a}{2} \right) + A'_s f_y (d - d') \right] \quad (2.36)$$

Persamaan ini berlaku hanya jika A'_s meleleh. Jika tidak, balok tersebut harus diperlakukan sebagai sebuah balok bertulangan tunggal dengan mengabaikan baja tekan, atau seseorang harus mendapatkan tegangan aktual f'_s dalam tulangan

tekan A'_s dan menggunakan gaya aktual di dalam persamaan kesetimbangan momen.

Jika A'_s tidak meleleh atau $\varepsilon'_s < \varepsilon_y$ maka, f'_s dihitung sebagai berikut

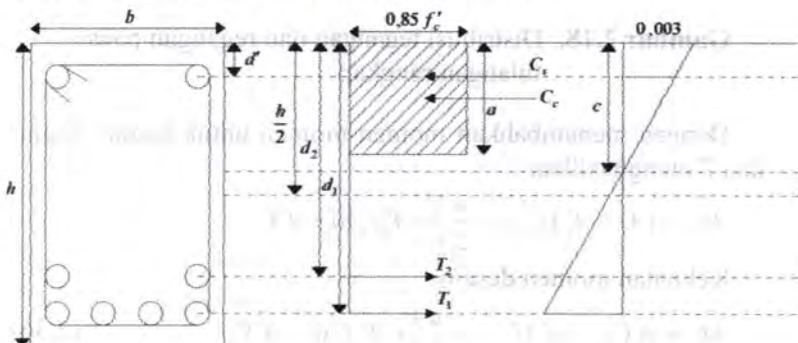
$$f'_s = 600 \left[1 - \frac{0,85 \beta_1 f'_c d'}{(\rho - \rho') f_y d} \right] \quad (2.37)$$

Sehingga persamaan (2.34) dan (2.36) menjadi

$$a = \frac{A_s f_y - A'_s f'_s}{0,85 f'_c b} \quad (2.38)$$

$$M_u = \phi \left[(A_s f_y - A'_s f'_s) \left(d - \frac{a}{2} \right) + A'_s f'_s (d - d') \right] \quad (2.39)$$

Namun penurunan rumus diatas tidak berlaku jika letak dari tulangan tidak pada satu garis lurus. Dengan penurunan rumus kesetimbangan pada Gambar (2.19), didapat



Gambar 2.19. Distribusi tegangan dan regangan pada tulangan ganda

$$\sum H = 0 \quad (2.40)$$

$$-C_c + C_s + T_1 + T_2 = 0$$

Dimana :

$$C_c = 0,85 \times f'_c \times b \times a$$

$$C_s = A'_s \times f'_s$$

$$f'_s = E_s \times \varepsilon'_s$$

$$\varepsilon'_s = -\frac{(c - \text{decking}) \times 0,003}{c}$$

$$T_1 = A_{s1} \times f_s$$

$$T_2 = A_{s2} \times f_s$$

$$f_s = E_s \times \varepsilon_s$$

$$\varepsilon_s = \frac{0,003 \times d}{c} - 0,003$$

Dicari nilai c sehingga persamaan kesetimbangan menjadi 0, nilai c dicari dengan menggunakan metoda Bolzano yang merupakan salah satu *numerical method*.

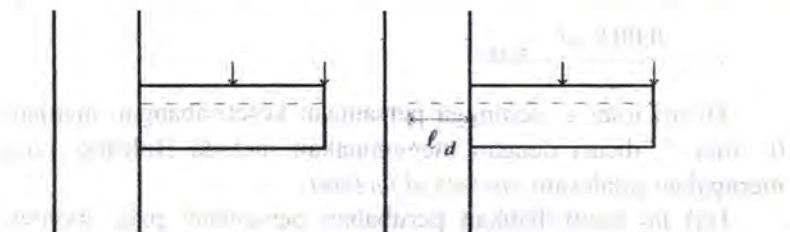
Hal ini menyebabkan perubahan persamaan pada momen nominal pada balok (Persamaan 2.36) menjadi :

$$M_n = C_c \left(\frac{h}{2} - \frac{a}{2} \right) + C_s \left(\frac{h}{2} - d' \right) + T_1 \left(d - \frac{h}{2} \right) + T_2 \left(d - \frac{h}{2} - 25 \right) \quad (2.41)$$

2.12 Panjang Penyaluran Untuk Tulangan Tarik

Untuk pembahasan ini, lihat balok kantilever dalam Gambar 2.20. Terlihat bahwa baik momen maksimum dalam balok maupun tegangan maksimum dalam tulangan tarik terjadi pada permukaan tumpuan. Secara teoritis, pada jarak yang pendek masuk ke dalam tumpuan momen adalah nol sehingga tulangan tidak lagi diperlukan. Kondisi ini diperlihatkan dalam Gambar 2.20(a). Tentu saja jika tulangan dihentikan pada permukaan tumpuan, balok akan runtuh.

Tegangan tulangan harus ditransfer ke beton oleh lekatan antara baja dan beton sebelum tulangan dapat dipotong. Dalam hal ini tulangan harus diperpanjang dengan jarak tertentu masuk ke dalam tumpuan dan masuk ke balok untuk mengangkur tulangan atau meningkatkan kekuatannya. Jarak ini disebut panjang penyaluran (ℓ_d) dan diperlihatkan dalam Gambar 2.20(b). Panjang penyaluran dapat didefinisikan sebagai panjang maksimum dari tulangan terbenam yang diperlukan sehingga tulangan dapat diberikan tegangan mencapai titik leleh ditambah jarak ekstra untuk menjamin kekuatan dari batang. Hal yang sama dapat dilakukan untuk tulangan-tulangan dalam kondisi lain dan jenis yang lain.



Gambar 2.20. Kantilever (a) Tanpa panjang penyaluran; (b) Dengan panjang penyaluran ℓ_d .

Panjang penyaluran ℓ_d , dinyatakan dalam diameter d_b untuk batang ulir dan kawat ulir dalam kondisi tarik, harus ditentukan berdasarkan SNI 2847-2002 Pasal 14.2 yaitu

$$\frac{\ell_d}{d_b} = \frac{9f_y}{10\sqrt{f'_c}} \left(\frac{c + K_{tr}}{d_b} \right) \quad (2.42)$$

tetapi ℓ_d tidak boleh kurang dari 300mm serta nilai $\left(\frac{c + K_{tr}}{d_b} \right)$ tidak boleh lebih dari 2,5.

Dimana :

K_{tr} = faktor indeks tulangan transversal

| | |
|-----------------------------|---------------------------------------|
| α (<i>alpha</i>) | = faktor lokasi tulangan |
| β (<i>beta</i>) | = faktor pelapisan (<i>coating</i>) |
| γ (<i>gamma</i>) | = faktor ukuran tulangan |
| λ (<i>lambda</i>) | = faktor beton agregat ringan |
| c | = jarak atau dimensi selimut |
| d_b | = diameter tulangan longitudinal |

$$K_{tr} = \frac{A_{tr} f_y}{10sn} \quad (2.43)$$

Dimana :

- A_{tr} = luas penampang total semua tulangan transversal dengan jarak pusat ke pusat s dan kekuatan leleh f_y .
- n = jumlah tulangan atau kawat dalam bidang belah.
- s = jarak antar tulangan longitudinal

2.13 Panjang Penyaluran Untuk Tulangan Tekan

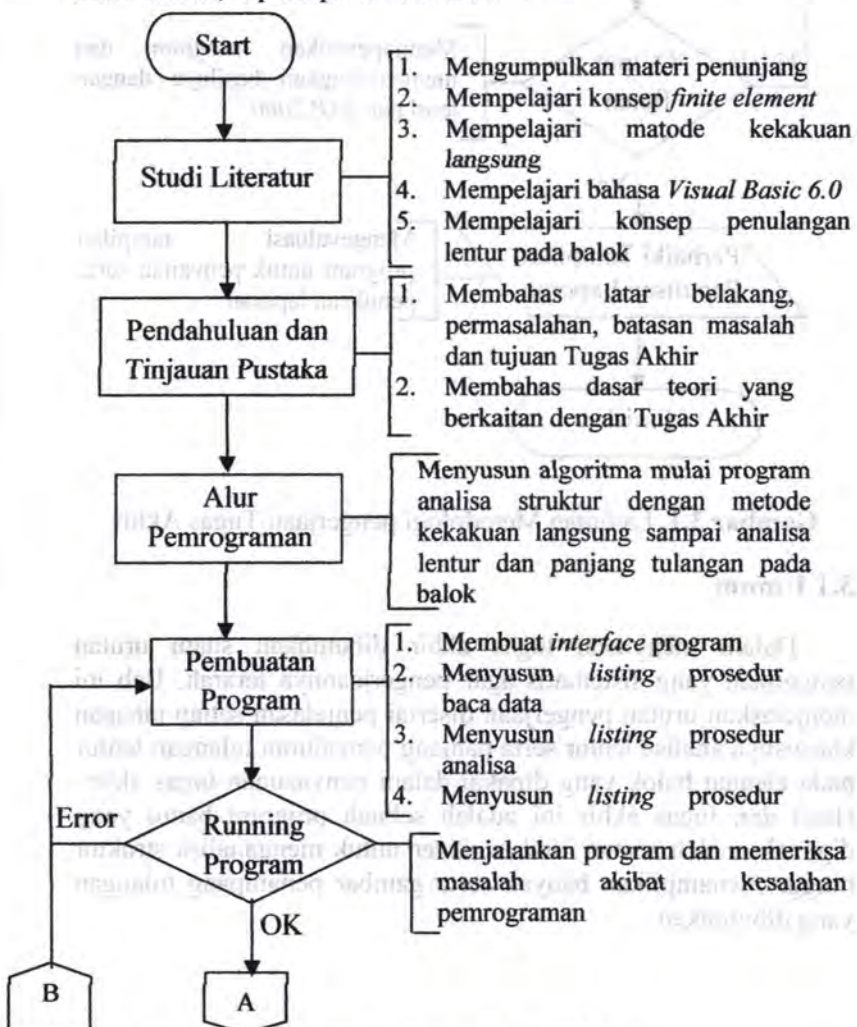
Tidak tersedia cukup informasi dan eksperimental tentang tegangan lekatan dan panjang penyaluran untuk baja tekan. Tetapi jelas bahwa panjang penyaluran akan lebih kecil dibandingkan tulangan tarik. Salah satu sebab adalah tidak adanya retak yang akan menyebabkan gelincir. Alasan lain, ada daya dukung pada ujung tulangan dalam beton yang juga akan membantu penyaluran beban.

Peraturan SNI 2847-2002 menyatakan bahwa panjang penyaluran dasar minimum yang disediakan untuk batang tekan tidak boleh kurang dari nilai yang dihitung dari persamaan berikut:

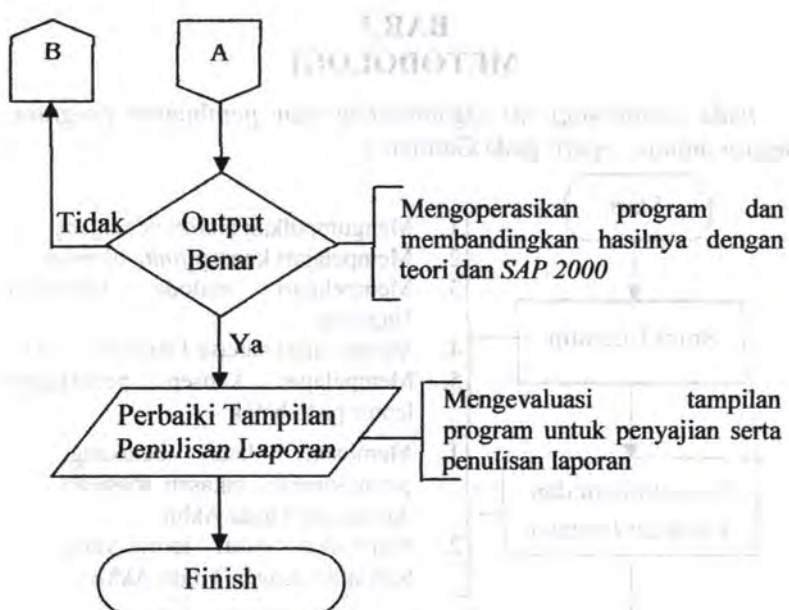
$$\ell_d = \frac{d_b f_y}{4\sqrt{f'_c}} \geq 0,04 d_b f_y \quad (2.44)$$

BAB 3 METODOLOGI

Pada metodologi ini digambarkan alur pembuatan program secara umum, seperti pada Gambar 3.1.



Gambar 3.1. Metodologi penggerjaan Tugas Akhir



Gambar 3.1. Lanjutan Metodologi penggerjaan Tugas Akhir

3.1 Umum

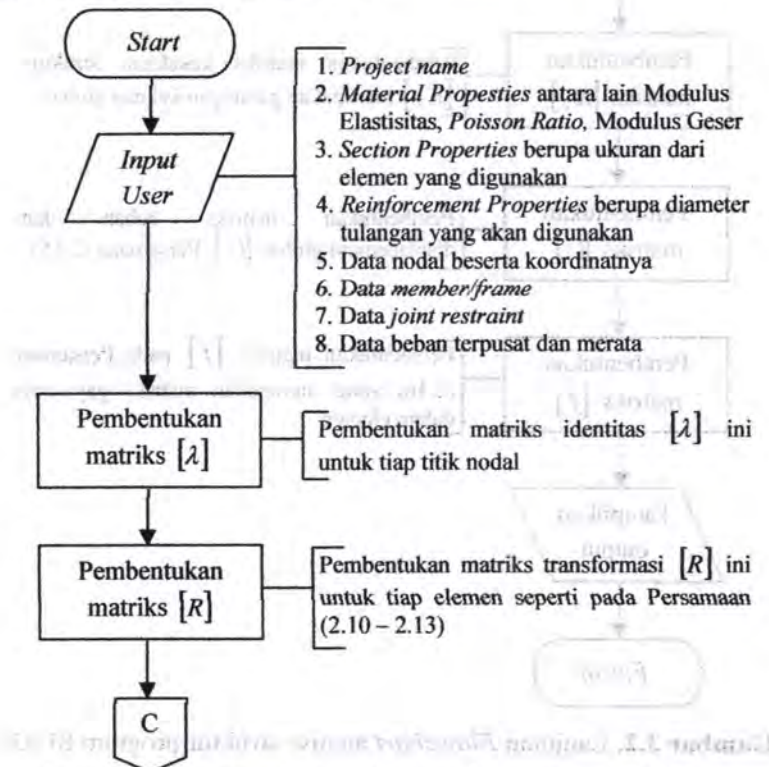
Dalam menyusun tugas akhir dibutuhkan suatu urutan penggerjaan yang sistematis agar penggerjaannya terarah. Bab ini menjelaskan urutan penggerjaan disertai penjelasan setiap tahapan khususnya analisa lentur serta panjang penyaluran tulangan lentur pada elemen balok yang dipakai dalam penyusunan tugas akhir. Hasil dari tugas akhir ini adalah sebuah program bantu yang digunakan oleh semua *civil engineer* untuk menganalisa struktur hingga menampilkan banyak serta gambar penampang tulangan yang dibutuhkan.

3.2 Alur program bantu yang dibuat

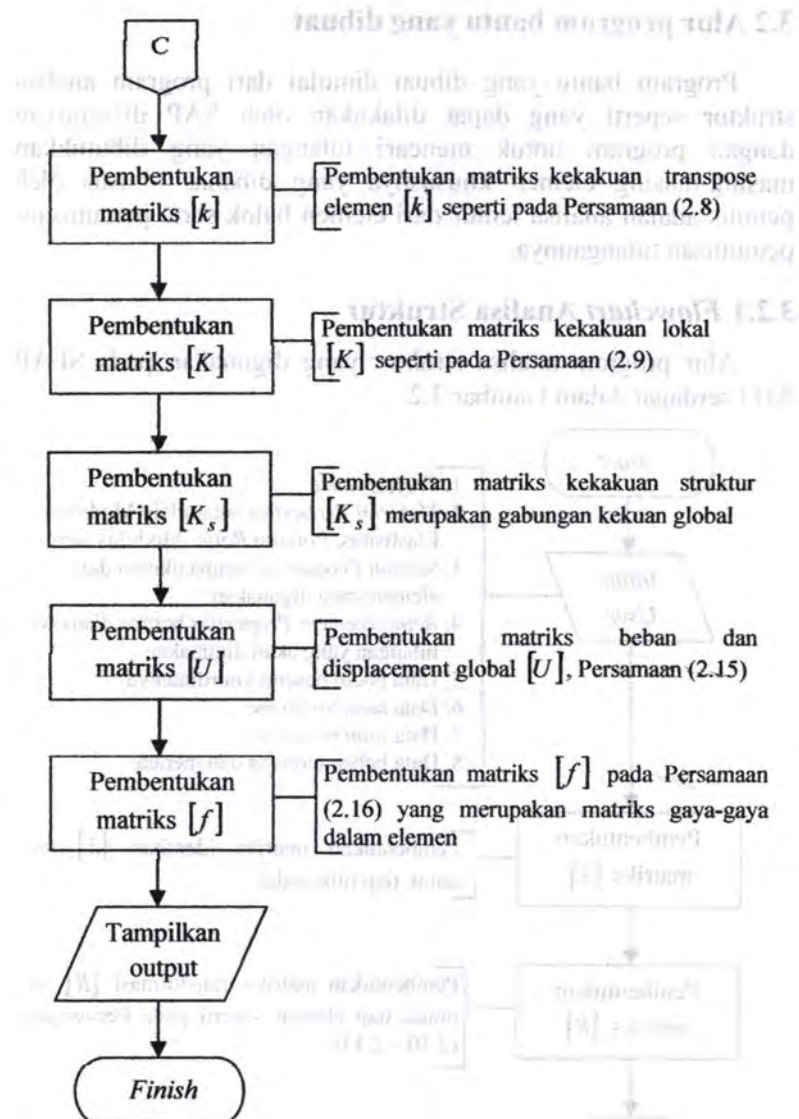
Program bantu yang dibuat dimulai dari program analisa struktur seperti yang dapat dilakukan oleh SAP dilanjutkan dengan program untuk mencari tulangan yang dibutuhkan masing-masing elemen khususnya yang dibahas khusus oleh penulis adalah analisa lentur dari elemen balok serta pemutusan-pemutusan tulangannya.

3.2.1 Flowchart Analisa Struktur

Alur program analisa struktur yang digunakan pada SFAP 2011 terdapat dalam Gambar 3.2.



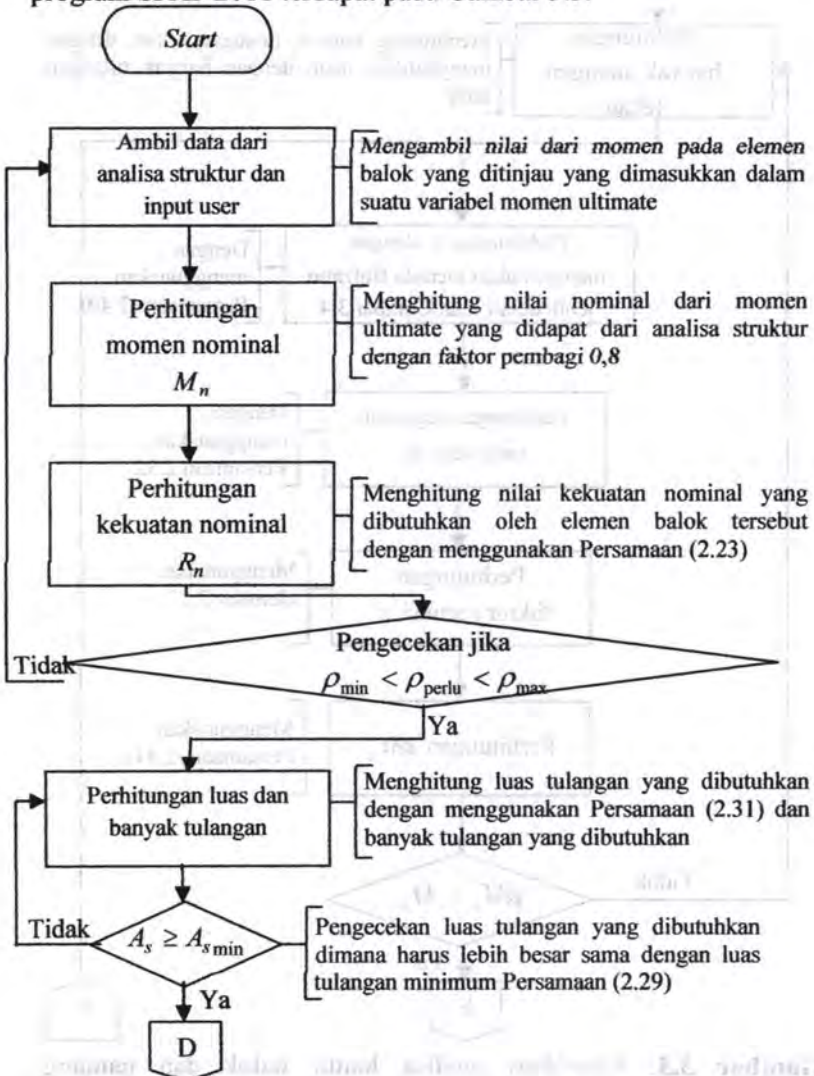
Gambar 3.2. Flowchart analisa struktur program SFAP



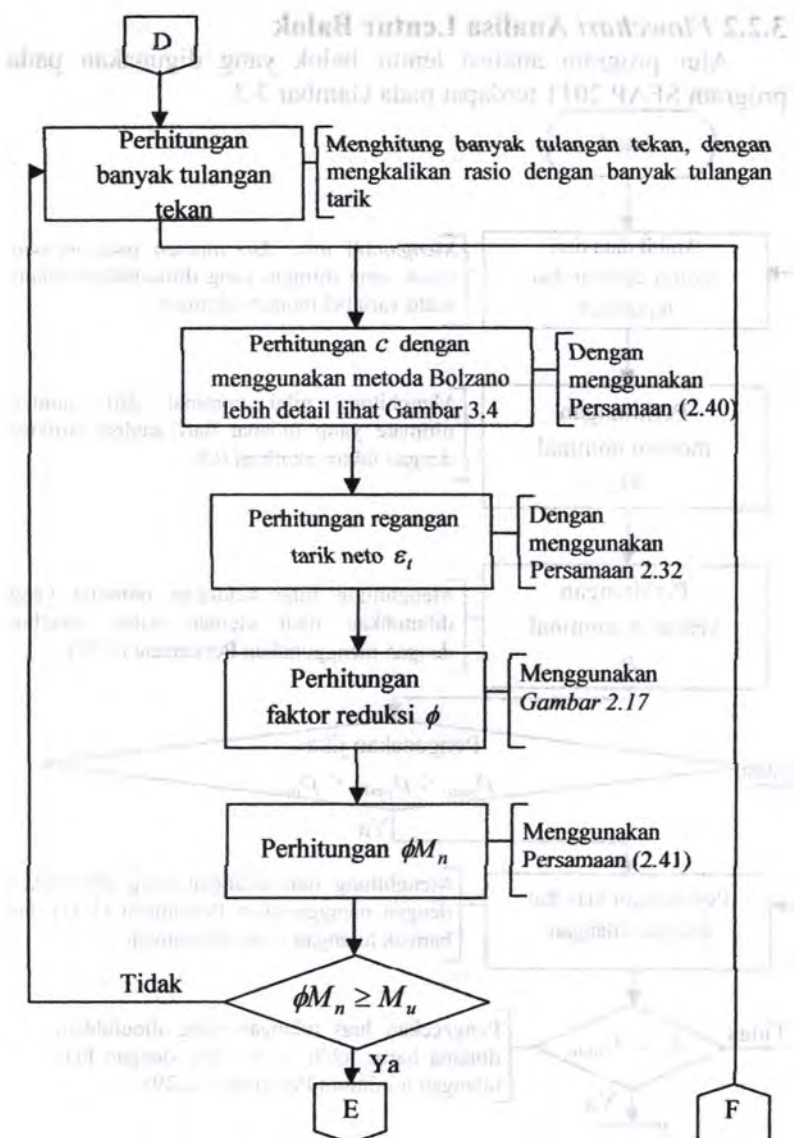
Gambar 3.2. Lanjutan Flowchart analisa struktur program SFAP

3.2.2 Flowchart Analisa Lentur Balok

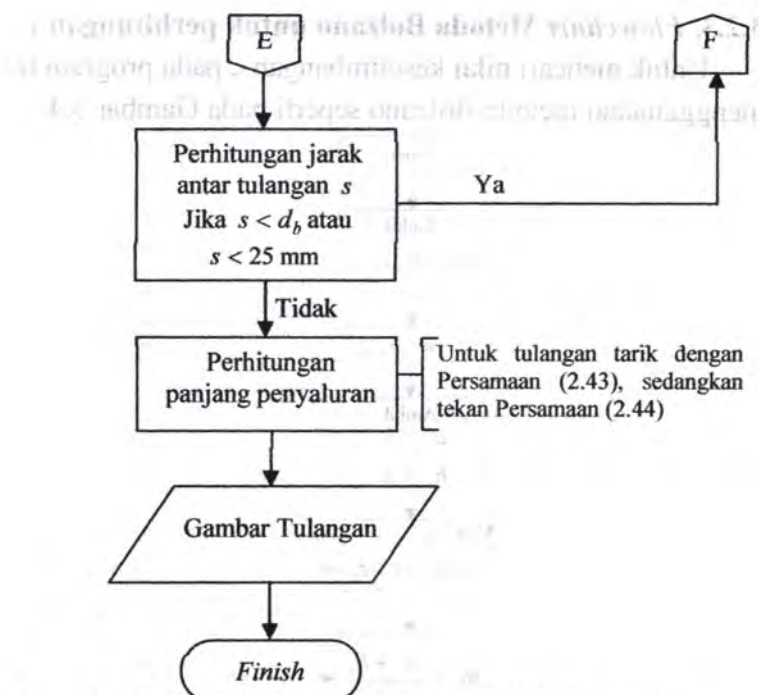
Alur program analisa lentur balok yang digunakan pada program SFAP 2011 terdapat pada Gambar 3.3.



Gambar 3.3. Flowchart analisa lentur balok dan panjang penyaluran sampai dengan gambar tulangan program SFAP



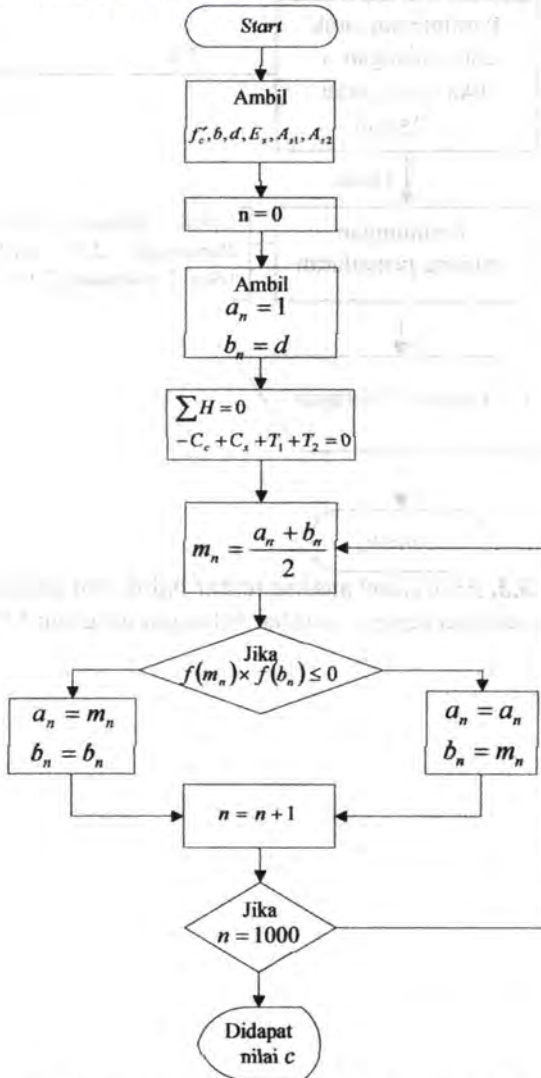
Gambar 3.3. Flowchart analisa lentur balok dan panjang penyaluran sampai dengan gambar tulangan program SFAP



Gambar 3.3. Flowchart analisa lentur balok dan panjang penyaluran sampai dengan gambar tulangan program SFAP

3.2.3. Flowchart Metoda Bolzano untuk perhitungan c

Untuk mencari nilai kesetimbangan c pada program ini menggunakan metoda Bolzano seperti pada Gambar 3.4.



Gambar 3.4. Flowchart metoda Bolzano untuk mencari c

3.3 Membuat Program dengan Visual Basic 6.0

Langkah awal yang dilakukan pada tahap ini adalah mempelajari dasar-dasar pemrograman dengan Visual Basic 6.0. Setelah mempelajari bahasa pemrograman ini, kemudian dilanjutkan dengan membuat *listing* program sederhana untuk memecahkan masalah analisa struktur hingga menampilkan gambar pemasangan tulangan lentur beserta jarak-jaraknya secara 2D. Secara umum langkah-langkahnya dirangkum sebagai berikut:

1. Membuat *listing* program untuk penyelesaian masalah analisa struktur.
2. Membuat *listing* program untuk penyelesaian analisa lentur elemen balok dan panjang penyaluran.
3. Membuat rencana *desain interface*.
4. Pengecekan kelengkapan menu untuk proses *input* sampai *output* berupa tabel dan gambar.
5. Melakukan *running program* untuk pengecekan apakah ketika *di-compile* semua *listing* sudah benar.
6. Melakukan verifikasi, untuk program analisa struktur verifikasi dilakukan dengan program SAP 2000 dan perhitungan manual, sedangkan untuk analisa lentur diverifikasi dengan hitungan manual.

Program ini telah dibuat dan dijalankan untuk *running program* dengan menggunakan *notebook* dengan spesifikasi :

- Toshiba L510
- Windows 7 Home Premium
- Intel Core 2 Duo CPU T6600 2.20GHz
- Memory (RAM) 2.00 GB
- 32-bit Operating System

3.4 Studi Literatur

Pada tahap ini dilakukan studi literatur mengenai analisa struktur menggunakan *direct stiffness method*, analisa lentur balok beton bertulang dengan semua aturan-aturan yang digunakan di Indonesia. Literatur-literatur yang digunakan antara lain:

1. Cook, R.D.; Malkus, D.S.; Plesha, M.E.; dan Witt, R.J., **“Concepts and Applications of Finite Element Analysis”**. John Wiley & Sons, Inc, Edisi ke-4, 2001, 736 halaman.
2. Dewobroto, W, **“Aplikasi Sains dan Teknik dengan Visual Basic 6.0”**.PT. Elex Media Komputindo, Jakarta, 2003, 317 halaman.
3. Reddy, J.N., **“Solutions Manual for An Introduction to The Finite Element Method”**, Mc-Graw Hill International Edition, New York, 2005, 423 halaman.
4. Liu, G.R.; dan Quek, S.S., **“The Finite Element Method: A Practical Course”**, Butterworth Heinemann, 2003, 365 halaman.
5. Logan, D, **“A First Course in the Finite Element Method”**, SDC Publication, Edisi ke-4, 2007, 818 halaman.
6. McCormac, J, **“Design of Reinforced Concrete”**, John Wiley & Sons, Inc, Edisi ke-7, 2006, 717 halaman.
7. Nawy, E.G.; Tavio; dan Kusuma, B., **“Beton Bertulang Sebuah Pendekatan Mendasar Jilid 1”**, ITS Press, Surabaya, 2010, 893 halaman.
8. Nilson, A.H.; Darwin, D.; dan Dolan, C.W., **“Design of Concrete Structures”**, The McGraw-Hill Companies, Edisi ke-13, 2004, 783 halaman.
9. Purwono, R.; Tavio; Imran, I.; dan Raka, I.G.P., **“Tata Cara Perhitungan Struktur Beton untuk Bangunan Gedung (SNI 03-2847-2002) Dilengkapi Penjelasan (S-2002)”**, ITS Press, Surabaya, 2007, 408 halaman.
10. Weaver, W. dan Gere, J.M., **“Analisa Matriks untuk Struktur Rangka”**, Erlangga, Jakarta, 2007, 428 halaman.

BAB 4

PROSEDUR PROGRAM

4.1. Umum

Program bantu untuk menganalisa struktur sampai dengan menentukan banyaknya tulangan yang digunakan pada tiap-tiap elemen. Pada elemen balok, penulangan didasarkan pada analisa lentur dan torsi. Sedangkan pada elemen kolom, penulangan didasarkan pada analisa lentur dan geser. Program analisa struktur ini diberi nama SFAP (*Space Frame Analysis Program*).

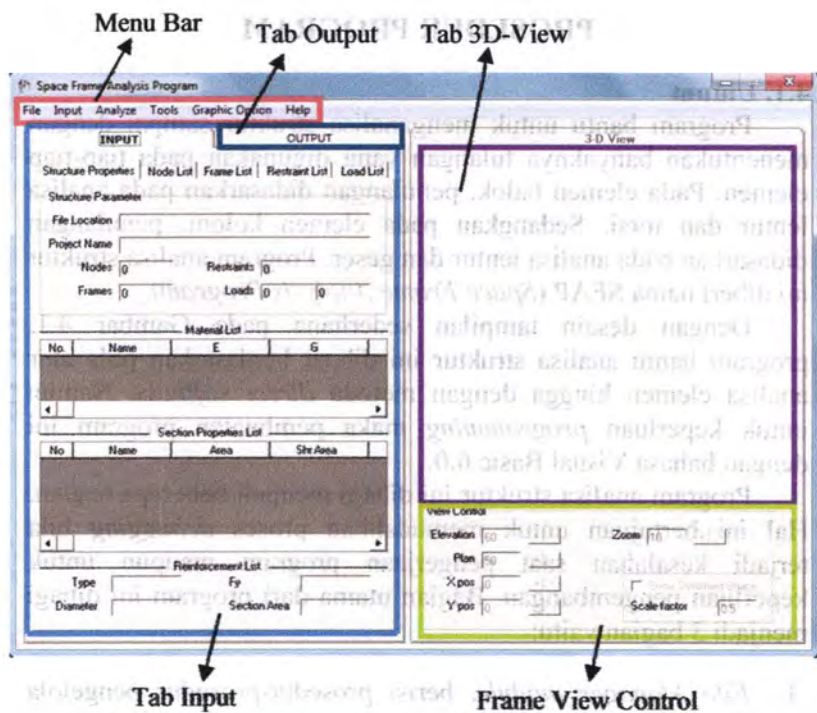
Dengan desain tampilan sederhana pada Gambar 4.1, program bantu analisa struktur ini dibuat berdasarkan pola alur analisa elemen hingga dengan metoda *direct stiffness*. Namun untuk keperluan *programming* maka pembuatan program ini dengan bahasa Visual Basic 6.0.

Program analisa struktur ini dibagi menjadi beberapa bagian. Hal ini bertujuan untuk memudahkan proses *debugging* bila terjadi kesalahan saat penggeraan program maupun untuk keperluan pengembangan. Bagian utama dari program ini dibagi menjadi 3 bagian yaitu:

1. *File Manager module*, berisi prosedur-prosedur pengelola file, input dan output data, pengatur format tabel dan form.
2. *Direct Stiffness module*, berisi kode-kode untuk analisa data input yang diberikan oleh *File Manager*.
3. *3D Drawing module*, berisi kode-kode untuk *plotting* 3D model struktur yang dianalisa.

4.2. Komponen Program

Sebelum menggunakan SFAP, sebaiknya terlebih dahulu mengenal bagian-bagian programnya. Setelah program dibuka, akan muncul tampilan jendela utama SFAP seperti Gambar 4.1.



Gambar 4.1. Tampilan jendela utama SFAP

1. Menu Bar

Terdiri dari enam menu utama, Gambar 4.2, yang terdiri dari File, Input, Analyze, Tools, GraphicOption, Help. Dimana masing-masing berisikan sub-menu yaitu:

File Input Analyze Tools Graphic Option Help

Gambar 4.2. Komponen-komponen menu bar

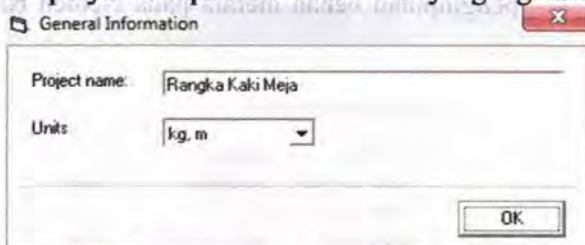
➤ **File**

Terdiri dari *New* (bila ingin membuat *project* baru), *Open* (bila ingin membuka dari file *project* yang telah ada), *Export to Microsoft Excel* (bila ingin mengekspor *project* dari SFAP menuju perhitungan *Excel*), *Exit* (untuk keluar dari SFAP)

➤ **Input**

Merupakan suatu menu yang sangat kompleks, terdiri dari beberapa sub-menu yaitu:

- *General Information*, (Gambar 4.3), berisi identifikasi awal proyek berupa nama dan satuan yang digunakan.

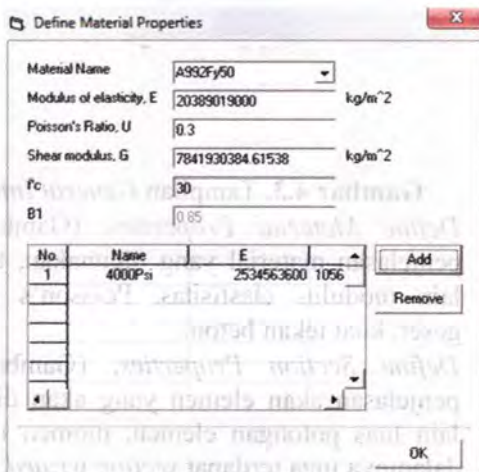


Gambar 4.3. Tampilan General Information

- *Define Material Properties*, (Gambar 4.4), berisi penjelasan material yang digunakan, termasuk antara lain modulus elastisitas, Poisson's rasio, modulus geser, kuat tekan beton.
- *Define Section Properties*, (Gambar 4.5), berisi penjelasan akan elemen yang akan digunakan antara lain luas potongan elemen, momen inersia, torsi, di dalamnya juga terdapat *section wizard*.
- *Assign Reinforcement List*, berisi penjelasan akan tulangan yang digunakan dalam analisa elemennya termasuk dimensi tulangan dan kekuatan leleh tulangan.
- *Nodal Coordinates*, (Gambar 4.6), berisi penginputan koordinat titik-titik nodal pada arah *x*, *y* dan *z*.

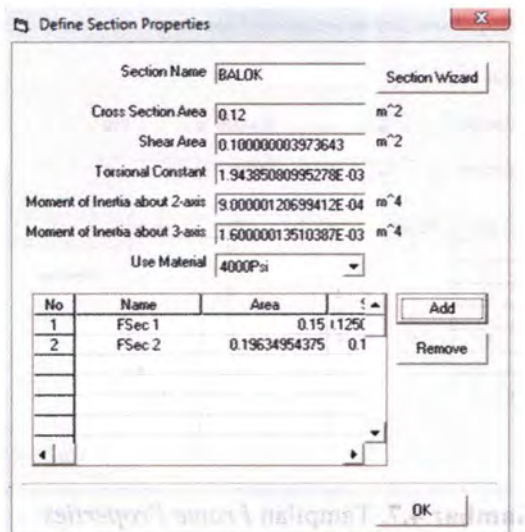


- *Frame Properties*, (Gambar 4.7), berisi penginputan jenis *frame* yang akan digunakan untuk menghubungkan antara dua titik nodal.
- *Assign Joint Restraint*, (Gambar 4.8), berisi penginputan jenis perletakkan yang akan digunakan pada tiap titik nodal.
- *Assign Joint Loads*, (Gambar 4.9), berisi penginputan beban terpusat maupun momen pada titik-titik nodal baik pada arah *x*, *y* dan *z*.
- *Distributed Frame Loads*, (Gambar 4.10), berisi penginputan beban merata pada elemen baik *x*, *y* dan *z*.

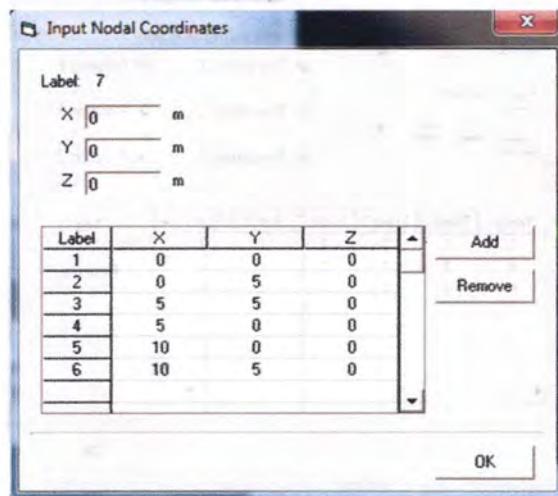


Gambar 4.4. Tampilan Define Material Properties

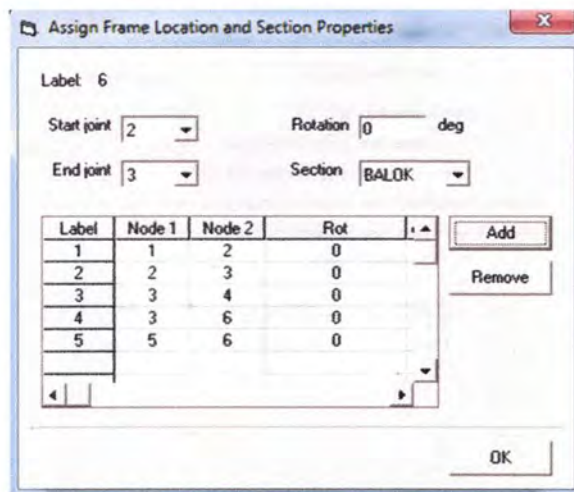
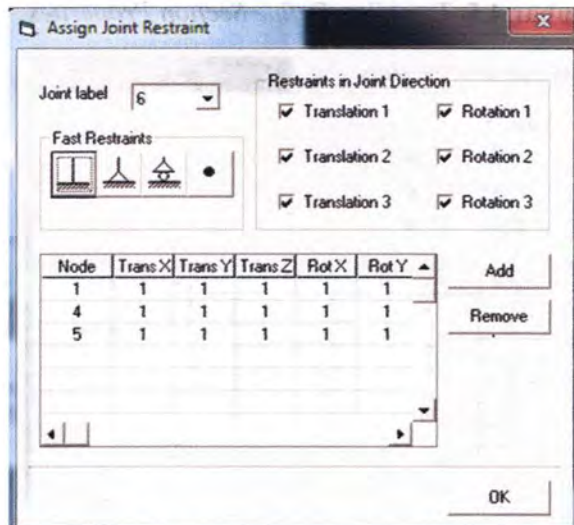


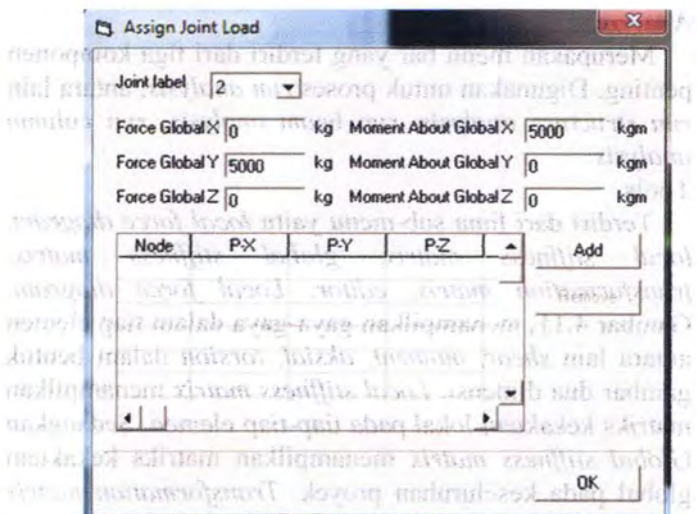


Gambar 4.5. Tampilan *Define Section Properties*

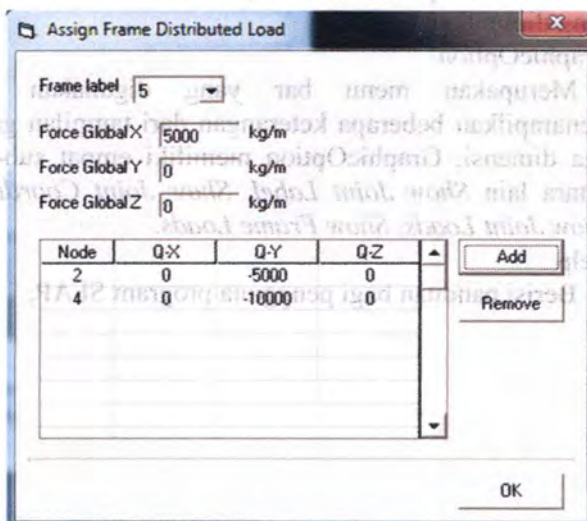


Gambar 4.6. Tampilan *Nodal Coordinates*

Gambar 4.7. Tampilan *Frame Properties*Gambar 4.8. Tampilan *Assign Joint Restraint*



Gambar 4.9. Tampilan Assign Joint Loads



Gambar 4.10. Tampilan Distributed Frame Loads

➤ Analyze

Merupakan menu bar yang terdiri dari tiga komponen penting. Digunakan untuk proses *run analysis*, antara lain *run structure analysis*, *run beam analysis*, *run column analysis*.

➤ Tools

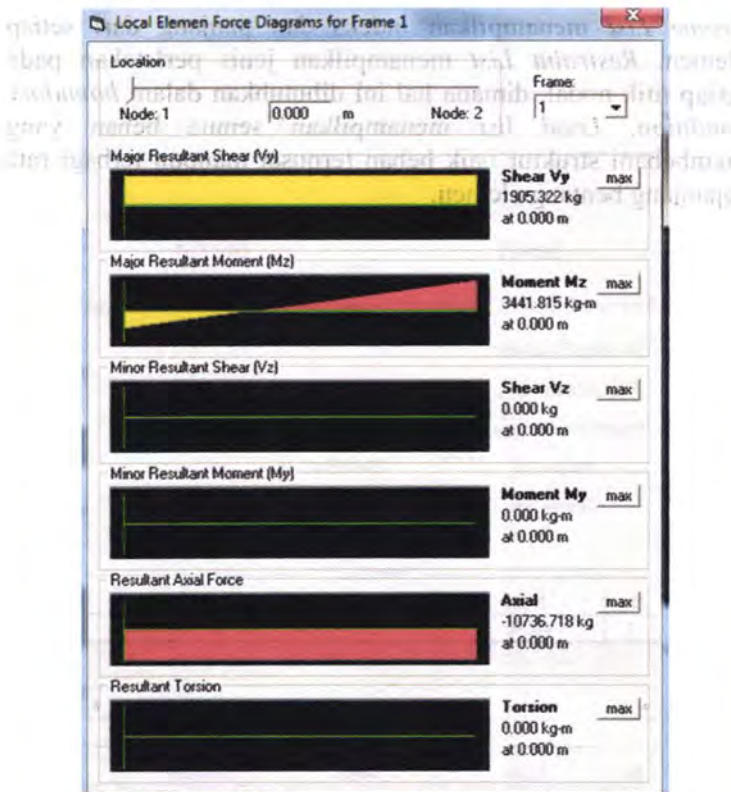
Terdiri dari lima sub-menu yaitu *local force diagram*, *local stiffness matrix*, *global stiffness matrix*, *transformation matrix*, *editor*. *Local force diagram*, Gambar 4.11, menampilkan gaya-gaya dalam tiap elemen antara lain *shear*, *moment*, *aksial*, *torsion* dalam bentuk gambar dua dimensi. *Local stiffness matrix* menampilkan matriks kekakuan lokal pada tiap-tiap elemen. Sedangkan *Global stiffness matrix* menampilkan matriks kekakuan global pada keseluruhan proyek. *Transformation matrix* menampilkan matriks transformasi tiap-tiap elemen. *Editor* menampilkan bentuk *file save* dari semua data yang diinputkan.

➤ GraphicOption

Merupakan menu bar yang digunakan untuk menampilkan beberapa keterangan dari tampilan gambar tiga dimensi. GraphicOption memiliki empat sub-menu antara lain *Show Joint Label*, *Show Joint Coordinates*, *Show Joint Loads*, *Show Frame Loads*.

➤ Help

Berisi panduan bagi pengguna program SFAP.



Gambar 4.11. Tampilan Local Force Diagram

2. Tabulasi Input

Dalam tabulasi ini ditampilkan semua data yang telah diinput sebelumnya oleh *user*. Seperti pada Gambar 4.12, dimana di dalam tabulasi ini terdapat lima tabulasi kecil, antara lain *Structure Properties*, *Node List*, *Frame List*, *Restraint List*, *Load List*.

Structure Properties menginformasikan nama serta material penyusun dari setiap elemen. *Node List* menampilkan informasi letak titik-titik koordinat dalam sumbu *x*, *y* dan *z* yang sebelumnya diinputkan dalam *input nodal coordinate*.

Frame List menampilkan indeks dan panjang dari setiap elemen. *Restraint List* menampilkan jenis perletakan pada setiap titik nodal, dimana hal ini dibutuhkan dalam *boundary condition*. *Load list* menampilkan semua beban yang membebani struktur baik beban terpusat maupun terbagi rata sepanjang bentang elemen.

| INPUT | | OUTPUT | |
|------------------------------------------------------------------------------------------------------------------------------------------------------------|----------------------------------|--------------|---------------------------------------------------------------|
| Structure Properties Node List Frame List Restraint List Load List | | | |
| Structure Parameter | | | |
| File Location <input type="text" value="C:\Users\TOSHIBA\Documents\PORTAL14MEI201"/> | | | |
| Project Name <input type="text" value="14mei2011"/> | | | |
| Nodes | <input type="text" value="6"/> | Restraints | <input type="text" value="3"/> |
| Frames | <input type="text" value="5"/> | Loads | <input type="text" value="0"/> <input type="text" value="2"/> |
| Material List | | | |
| No. | Name | E | G |
| 1 | 4000Psi | 2534563600 | 1056068166.66666 |
| <input type="button" value="◀"/> <input type="button" value="▶"/> | | | |
| Section Properties List | | | |
| No | Name | Area | Shr Area |
| 1 | BALOK | 0.15 | 1.125000004967054 500 |
| 2 | KOLOM | 0.25 | 1.2083333333333333 833 |
| <input type="button" value="◀"/> <input type="button" value="▶"/> | | | |
| Reinforcement List | | | |
| Type | <input type="text" value="D-3"/> | Fy | <input type="text" value="400"/> |
| Diameter | <input type="text" value="15"/> | Section Area | <input type="text" value="176.7145867E-003"/> |

Gambar 4.12. Tampilan Tabulasi Input

3. Tabulasi Output

Dalam tabulasi ini menampilkan hasil dari analisa struktur. Seperti dengan program bantu SAP, *output* dari proses analisa struktur ini antara lain *displacement*, reaksi-reaksi pada perletakan serta gaya-gaya pada tiap elemen. *Displacement* yang dihasilkan berupa translasi dan rotasi dalam arah *x*, *y* dan *z*. Sedangkan reaksi pada perletakan dan tiap elemen berupa gaya dalam serta momen dalam arah *x*, *y* dan *z*. Pada *support reaction* yang ditampilkan adalah titik-titik nodal yang berada pada perletakkan, sedangkan *element forces* yang ditampilkan adalah setiap elemennya.

| INPUT | | OUTPUT | |
|-------------------|------------------|----------------|---------|
| Node Displacement | Support Reaction | Element Forces | |
| Node | | Trans X | Trans Y |
| 1 | | 0. | 0. |
| 2 | 0.00006529749 | -0.00002639169 | |
| 3 | 0. | 0. | |
| 4 | 0.00048507336 | -0.00002575328 | |
| 5 | 0. | 0. | |
| 6 | 0.00005560305 | -0.00002686275 | |
| 7 | 0. | 0. | |
| 8 | 0.00047223011 | -0.00002750116 | |

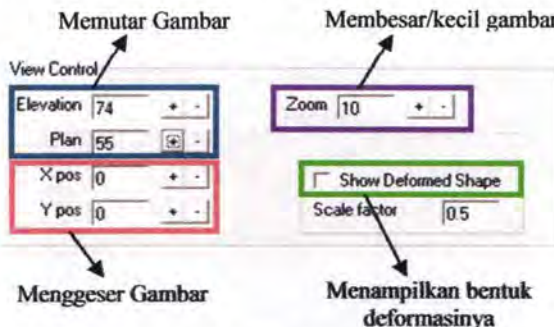
Gambar 4.13. Tampilan tabulasi *output*

4. Tabulasi 3D

Bentuk tabulasi kosong dimana akan menampilkan bentuk struktur yang diinginkan. Gambar yang dihasilkan dapat dilengkapi dengan berbagai unsurnya seperti informasi nomor titik nodal, nomor elemen, beban yang bekerja. Semua gambar yang ditampilkan dalam bentuk tiga dimensi dengan layar *background* hitam sehingga tampilan terlihat jelas.

5. Frame View Control

Bagian yang tidak dapat dipisahkan dari tabulasi 3D. Dimana *Frame View Control* merupakan pengatur tampilan gambar, sehingga gambar dapat diputar arah *x*, *y*, digeser ke kanan dan kiri, diperbesar dan diperkecil. Serta dapat menampilkan bentuk deformasi struktur. Gambar 4.14 menampilkan pengaturan pada *View Control*.



Gambar 4.14. Tampilan *View Control*

4.3. Pengoperasian program

Software SFAP merupakan program bantu untuk teknik sipil. Suatu *software* analisa struktur yang dilengkapi dengan perhitungan penulangan untuk balok dan kolom sesuai dengan peraturan yang berlaku saat ini yaitu berdasarkan SNI 2847-2002 dan ACI 318-05. Dalam pengoperasian *software* ini ada beberapa tahapan utama yang harus dilakukan yaitu:

4.3.1. Proses *Input*

Ketika masuk jendela utama dalam *software* SFAP, lakukan semua proses input data pada bagian menu bar *Input*. Dalam melakukan proses input, *user* hendaknya melakukan secara berurutan tanpa melewatkkan salah satu bagian inputan.

Pertama, *General Information*, masukkan nama *project* serta satuan yang diinginkan. Pada *software* ini satuan masih umum yaitu menggunakan metrik (kilogram, meter)

Kedua, *Define Material Properties*, masukkan nama material, modulus elastisitas, poisson rasio, modulus geser yang diinginkan. Jika ingin mengambil dari material yang telah disediakan hanya perlu klik pada material yang diinginkan, dimana material yang tersedia adalah *4000Psi* dan *A992Fy50*, kemudian klik pada button *Add*.

Ketiga, *Define Section Properties*, masukkan nama elemen, kemudian klik pada button *Section Wizard*, sehingga *user* hanya perlu memasukkan ukuran dari elemen dan material yang digunakan pada elemen tersebut.

Keempat, *Assign Reinforcement List*, masukkan diameter tulangan dan kuat leleh tulangan (f_y). Dimana untuk balok dan kolom dapat memiliki diameter yang berbeda.

Kelima, masukkan koordinat seluruh titik nodal pada *Nodal Coordinates*. Kemudian untuk menghubungkan antara titik-titik nodal tersebut dibutuhkan *frame* atau elemen. masukkan seluruh elemen yang digunakan serta jenis elemen yang digunakan pada *Frame Properties*. Untuk mengatur perletakkan, *user* perlu memasukkan pada *Assign Joint Restraint*.

Keenam, masukkan semua beban baik beban terpusat pada *Assign Joint Loads* serta beban merata pada *Distributed Frame Loads*.

4.3.2. Proses *Running*

Setelah semua proses *input* selesai, maka *user* dapat memulai proses *running* program. Proses ini terdiri dari tiga bagian yaitu *Run Analysis*, *Run Beam Analysis* dan *Run Column Analysis*. Namun *Run Beam Analysis* dan *Run Column Analysis* dapat berjalan setelah *user* melakukan *Run Analysis*.

Hasil *output* dari proses *Run Analysis* adalah berupa *displacement* dari seluruh titik nodal serta elemen, gaya serta momen yang diterima oleh seluruh titik nodal dan elemen. Dimana semua *output* dari proses ini terdapat dalam tabulasi *output*, seperti yang dijelaskan dalam poin 4.2.

Hasil *output* dari proses *Run Beam Analysis* adalah berupa jumlah dan gambar tulangan yang dibutuhkan dilengkapi dengan keterangan jarak antar tulangan yang digunakan serta nilai momen *ultimate* dan momen nominal penampang yang digunakan.

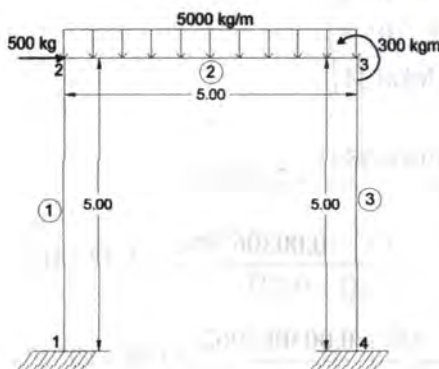
BAB 5

STUDI KASUS

Untuk mengetahui kebenaran dan ketelitian program bantu analisa struktur ini dalam melakukan proses perhitungan, maka diperlukan uji perbandingan *output* program terhadap perhitungan manual dan program bantu professional lain seperti SAP2000 v.14.

5.1. Kasus 1 – *Plane Frame* 1

Diambil contoh sederhana *plane frame* ini disebabkan agar perhitungan juga dapat dibandingkan dengan perhitungan manual dengan bantuan *Microsoft Excel* serta bentuk *plane frame* ini memiliki dua bentuk elemen yaitu balok dan kolom. Dimana pada kasus 1 ini struktur dikenakan beban aksial, vertikal dan momen serta pengaruh geser diperhitungkan.



Gambar 5.1. Kasus 1 – *Plane Frame*

Diketahui:

Modulus Young, $E = 2 \times 10^9 \text{ kg/m}^2$

Poisson Ratio, $\nu = 0,2$

Dimensi balok $= 300 \times 500 \text{ mm}$

Dimensi kolom $= 500 \text{ mm (diameter)}$

Diameter tulangan longitudinal dan geser = $D - 19$ dan $\varnothing 10$

Kuat leleh tulangan, f_y = 400 MPa

Decking = 40 mm

5.1.1. Perhitungan manual

- Perhitungan analisa struktur

Elemen 1

Pada elemen 1, sudut antara sumbu global struktur X dan sumbu lokal elemen x adalah 90° , sehingga:

Matriks transformasi $[R]$:

$$[R] = \begin{bmatrix} 0 & 1 & 0 & 0 & 0 & 0 \\ -1 & 0 & 0 & 0 & 0 & 0 \\ 0 & 0 & 1 & 0 & 0 & 0 \\ 0 & 0 & 0 & 0 & 1 & 0 \\ 0 & 0 & 0 & -1 & 0 & 0 \\ 0 & 0 & 0 & 0 & 0 & 1 \end{bmatrix}$$

Matriks kekakuan lokal $[k]$:

Dimana:

$$\frac{EA}{L} = \frac{2 \times 10^9 \times 0,196349541}{5} = 7,85 \times 10^7$$

$$\frac{12EI}{L^3(1 + \Phi_y)} = \frac{12 \times 2 \times 10^9 \times 0,003067962}{5^3 \times (1 + 0,02)} = 5,77 \times 10^5$$

$$\frac{6EI}{L^2(1 + \Phi)} = \frac{6 \times 2 \times 10^9 \times 0,003067962}{5^2 \times (1 + 0,02)} = 1,44 \times 10^6$$

$$\frac{(4 + \Phi_y)EI}{L(1 + \Phi_y)} = \frac{(4 + 0,02) \times 2 \times 10^9 \times 0,003067962}{5 \times (1 + 0,02)} = 4,84 \times 10^6$$

$$\frac{(2 - \Phi_y)EI}{L(1 + \Phi_y)} = \frac{(2 - 0,02) \times 2 \times 10^9 \times 0,003067962}{5 \times (1 + 0,02)} = 2,38 \times 10^6$$

$$[k] = \begin{bmatrix} 78539816,34 & 0 & 0 & -78539816,34 & 0 & 0 \\ 0 & 577498,65 & 1443746,62 & 0 & -577498,65 & 1443746,62 \\ 0 & 1443746,62 & 4836551,19 & 0 & -1443746,62 & 2382181,93 \\ -78539816,34 & 0 & 0 & 78539816,34 & 0 & 0 \\ 0 & -577498,65 & -1443746,62 & 0 & 577498,65 & -1443746,62 \\ 0 & 1443746,62 & 2382181,93 & 0 & -1443746,62 & 4836551,19 \end{bmatrix}$$

Matriks kekakuan global $[K] = [R]^T [k] R$

$$[K] = \begin{bmatrix} 577498,65 & 0 & -1443746,62 & -577498,65 & 0 & -1443746,62 \\ 0 & 78539816,34 & 0 & 0 & -78539816,34 & 0 \\ -1443746,62 & 0 & 4836551,19 & 1443746,62 & 0 & 2382181,93 \\ -577498,65 & 0 & 1443746,62 & 577498,65 & 0 & 1443746,62 \\ 0 & -78539816,34 & 0 & 0 & 78539816,34 & 0 \\ -1443746,62 & 0 & 2382181,93 & 1443746,62 & 0 & 4836551,19 \end{bmatrix}$$

Elemen 2

Pada elemen 2, sudut antara sumbu global struktur X dan sumbu lokal elemen x adalah 0° , sehingga:

Matriks transformasi $[R]$:

$$[R] = \begin{bmatrix} 1 & 0 & 0 & 0 & 0 & 0 \\ 0 & 1 & 0 & 0 & 0 & 0 \\ 0 & 0 & 1 & 0 & 0 & 0 \\ 0 & 0 & 0 & 1 & 0 & 0 \\ 0 & 0 & 0 & 0 & 1 & 0 \\ 0 & 0 & 0 & 0 & 0 & 1 \end{bmatrix}$$

Matriks kekakuan lokal $[k]$:

Dimana:

$$\frac{EA}{L} = \frac{2 \times 10^9 \times 0,15}{5} = 600000000$$

$$\frac{12EI}{L^3(1+\Phi_y)} = \frac{12 \times 2 \times 10^9 \times 0,003125}{5^3 \times (1+0,0288)} = 583203,75$$

$$\frac{6EI}{L^2(1+\Phi)} = \frac{6 \times 2 \times 10^9 \times 0,003125}{5^2 \times (1+0,0288)} = 1458009,38$$

$$\frac{(4+\Phi_y)EI}{L(1+\Phi_y)} = \frac{(4+0,0288) \times 2 \times 10^9 \times 0,003125}{5 \times (1+0,0288)} = 4895023,49$$

$$\frac{(2-\Phi_y)EI}{L(1+\Phi_y)} = \frac{(2-0,0288) \times 2 \times 10^9 \times 0,003125}{5 \times (1+0,0288)} = 2395023,41$$

$$[k] = \begin{bmatrix} 60000000 & 0 & 0 & -60000000 & 0 & 0 \\ 0 & 583203,75 & 1458009,38 & 0 & -583203,75 & 1458009,38 \\ 0 & 1458009,38 & 4895023,49 & 0 & -1458009,38 & 2395023,41 \\ -60000000 & 0 & 0 & 60000000 & 0 & 0 \\ 0 & -583203,75 & -1458009,38 & 0 & 583203,75 & -1458009,38 \\ 0 & 1458009,38 & 2395023,41 & 0 & -1458009,38 & 4895023,49 \end{bmatrix}$$

Matriks kekakuan global $[K] = [R]^T [k] R$

$$[K] = \begin{bmatrix} 60000000 & 0 & 0 & -60000000 & 0 & 0 \\ 0 & 583203,75 & 1458009,38 & 0 & -583203,75 & 1458009,38 \\ 0 & 1458009,38 & 4895023,49 & 0 & -1458009,38 & 2395023,41 \\ -60000000 & 0 & 0 & 60000000 & 0 & 0 \\ 0 & -583203,75 & -1458009,38 & 0 & 583203,75 & -1458009,38 \\ 0 & 1458009,38 & 2395023,41 & 0 & -1458009,38 & 4895023,49 \end{bmatrix}$$

Elemen 3

Pada elemen 3, sudut antara sumbu global struktur X dan sumbu lokal elemen x adalah 270° , sehingga:

Matriks transformasi $[R]$:

$$[R] = \begin{bmatrix} 0 & -1 & 0 & 0 & 0 & 0 \\ 1 & 0 & 0 & 0 & 0 & 0 \\ 0 & 0 & 1 & 0 & 0 & 0 \\ 0 & 0 & 0 & 0 & -1 & 0 \\ 0 & 0 & 0 & 1 & 0 & 0 \\ 0 & 0 & 0 & 0 & 0 & 1 \end{bmatrix}$$

Matriks kekakuan lokal $[k]$:

Dimana:

$$\frac{EA}{L} = \frac{2 \times 10^9 \times 0,196349541}{5} = 78539816,34$$

$$\frac{12EI}{L^3(1+\Phi_y)} = \frac{12 \times 2 \times 10^9 \times 0,003067962}{5^3 \times (1+0,02)} = 577498,65$$

$$\frac{6EI}{L^2(1+\Phi)} = \frac{6 \times 2 \times 10^9 \times 0,003067962}{5^2 \times (1+0,02)} = 1443746,62$$

$$\frac{(4+\Phi_y)EI}{L(1+\Phi_y)} = \frac{(4+0,02) \times 2 \times 10^9 \times 0,003067962}{5 \times (1+0,02)} = 4836551,19$$

$$\frac{(2-\Phi_y)EI}{L(1+\Phi_y)} = \frac{(2-0,02) \times 2 \times 10^9 \times 0,003067962}{5 \times (1+0,02)} = 2382181,93$$

$$[k] = \begin{bmatrix} 78539816,34 & 0 & 0 & -78539816,34 & 0 & 0 \\ 0 & 577498,65 & 1443746,62 & 0 & -577498,65 & 1443746,62 \\ 0 & 1443746,62 & 4836551,19 & 0 & -1443746,62 & 2382181,93 \\ -78539816,34 & 0 & 0 & 78539816,34 & 0 & 0 \\ 0 & -577498,65 & -1443746,62 & 0 & 577498,65 & -1443746,62 \\ 0 & 1443746,62 & 2382181,93 & 0 & -1443746,62 & 4836551,19 \end{bmatrix}$$

Matriks kekakuan global $[K] = [R]^T [k] R$

$$[K] = \begin{bmatrix} 577498,65 & 0 & 1443746,62 & -577498,65 & 0 & 1443746,62 \\ 0 & 78539816,34 & 0 & 0 & -78539816,34 & 0 \\ 1443746,62 & 0 & 4836551,19 & -1443746,62 & 0 & 2382181,93 \\ -577498,65 & 0 & -1443746,62 & 577498,65 & 0 & -1443746,62 \\ 0 & -78539816,34 & 0 & 0 & 78539816,34 & 0 \\ 1443746,62 & 0 & 2382181,93 & -1443746,62 & 0 & 4836551,19 \end{bmatrix}$$

Setelah dilakukan *boundary condition*, dan penggabungan matriks ketiga elemen tersebut maka dihasilkan $[K_S]$ sebagai berikut:

$$[K_S] = \begin{bmatrix} 60577498,65 & 0 & 1443746,62 & -60000000 & 0 & 0 \\ 0 & 79123020,09 & 1458009,38 & 0 & -583203,75 & 1458009,38 \\ 1443746,62 & 1458009,38 & 9731574,68 & 0 & -1458009,38 & 2395023,41 \\ -60000000 & 0 & 0 & 60577498,65 & 0 & 1443746,62 \\ 0 & -583203,75 & -1458009,38 & 0 & 79123020,09 & -1458009,38 \\ 0 & 1458009,38 & 2395023,41 & 1443746,62 & -1458009,38 & 9731574,68 \end{bmatrix}$$

Matriks displacement global didapat dari $\{U\} = [K_S]^{-1} \{P\}$ yaitu:

$$\begin{Bmatrix} d_{2x} \\ d_{2y} \\ \phi_2 \\ d_{3x} \\ d_{3y} \\ \phi_3 \end{Bmatrix} = \begin{bmatrix} 60577498,65 & 0 & 1443746,62 & -60000000 & 0 & 0 \\ 0 & 79123020,09 & 1458009,38 & 0 & -583203,75 & 1458009,38 \\ 1443746,62 & 1458009,38 & 9731574,68 & 0 & -1458009,38 & 2395023,41 \\ -60000000 & 0 & 0 & 60577498,65 & 0 & 1443746,62 \\ 0 & -583203,75 & -1458009,38 & 0 & 79123020,09 & -1458009,38 \\ 0 & 1458009,38 & 2395023,41 & 1443746,62 & -1458009,38 & 9731574,68 \end{bmatrix}^{-1} \begin{Bmatrix} 500 \\ -12500 \\ -10416,7 \\ 0 \\ -12500 \\ 10716,7 \end{Bmatrix}$$

Penyelesaian persamaan menghasilkan *displacement global*:

$$\begin{Bmatrix} d_{2x} \\ d_{2y} \\ \phi_2 \\ d_{3x} \\ d_{3y} \\ \phi_3 \end{Bmatrix} = \begin{Bmatrix} 0,00059 \\ -0,00016 \\ -0,0015 \\ 0,00055 \\ -0,00016 \\ 0,0014 \end{Bmatrix}$$

Sehingga didapatkan pada reaksi perletakan:

$$\begin{Bmatrix} F_{X1} \\ F_{Y1} \\ M_{Z1} \\ F_{X4} \\ F_{Y4} \\ M_{Z4} \end{Bmatrix} = \begin{Bmatrix} 1823,7 \\ 12337,7 \\ -2717,8 \\ -2323,7 \\ 12662,3 \\ 4106,4 \end{Bmatrix}$$

Sedangkan pada tiap elemennya sebagai berikut:

| Elemen 1 | Elemen 2 | Elemen 3 |
|-----------------------------------------------------------------------------------------------------------------------------------------------------------------------------------------|---------------------------------------------------------------------------------------------------------------------------------------------------------------------------------------|---------------------------------------------------------------------------------------------------------------------------------------------------------------------------------------|
| $\begin{Bmatrix} f_{x1} \\ f_{y1} \\ m_{z1} \\ f_{x2} \\ f_{y2} \\ m_{z2} \end{Bmatrix} = \begin{Bmatrix} 12337,7 \\ -1823,7 \\ -2717,8 \\ -12337,7 \\ 1823,7 \\ -6400,8 \end{Bmatrix}$ | $\begin{Bmatrix} f_{x2} \\ f_{y2} \\ m_{z2} \\ f_{x3} \\ f_{y3} \\ m_{z3} \end{Bmatrix} = \begin{Bmatrix} 2323,7 \\ 12337,7 \\ 6400,8 \\ -2323,7 \\ 12662,3 \\ -7212,1 \end{Bmatrix}$ | $\begin{Bmatrix} f_{x3} \\ f_{y3} \\ m_{z3} \\ f_{x4} \\ f_{y4} \\ m_{z4} \end{Bmatrix} = \begin{Bmatrix} 12662,3 \\ 2323,7 \\ 7512,1 \\ -12662,3 \\ -2323,7 \\ 4106,4 \end{Bmatrix}$ |

- Perhitungan analisa balok lentur

Case 1:

Apabila *user* menginginkan menggunakan tulangan ganda maka perhitungan tulangan pada elemen 2 adalah :

➢ Ujung tepi kiri :

$$M_u = 4,51 \times 10^7 \text{ N mm}$$

$$M_n = 5,64 \times 10^7 \text{ N mm}$$

$$d = 500 - 50 - \frac{19}{2} = 440,5 \text{ mm}$$

$$R_n = \frac{M_n}{bd^2} = \frac{5,64 \times 10^7}{300 \times 440,5^2} = 1,05 \text{ N/mm}^2$$

$$m = \frac{f_y}{0,85 f'_c} = \frac{400}{0,85 \times 17,4} = 27,04$$

$$\rho_{\text{perlu}} = 0,0028$$

$$\rho_{\text{min}} = 0,0035$$

$$\rho_{\text{max}} = 0,014$$

Gunakan $\rho = 0,0035$ maka $A_{s\text{perlu}} = 462,525 \text{ mm}^2$

maka tulangan tarik yang digunakan 2 D19

Asumsi *user* memberi input pada rasio sebesar 0,5 maka banyaknya tulangan tekan yang dibutuhkan sebanyak satu buah, namun dalam peraturan banyak tulangan tidak boleh satu maka menjadi 2 D19.

Dengan proses iterasi pada kesetimbangan gaya didapatkan :

$$c = 53,771 \text{ mm}$$

$$\sum H = 0$$

$$-C_c + A'_s f'_s + A_s f_s$$

$$\begin{aligned}
 & -(0,85 \times f'_c \times b \times a) + \left(2 \times \frac{1}{4} \times \pi \times 19^2 \times f'_s \right) + \left(2 \times \frac{1}{4} \times \pi \times 19^2 \times f_s \right) \\
 & - (0,85 \times 17,4 \times 300 \times 45,705) + (567,0575 \times -42,0784) + (567,0575 \times 400) \\
 \sum H = 0 \quad (\text{terbukti})
 \end{aligned}$$

$$\begin{aligned}
 M_n &= C_c \left(\frac{h}{2} - \frac{a}{2} \right) + A'_s f'_s \left(\frac{h}{2} - d' \right) + A_s f_s \left(d - \frac{h}{2} \right) \\
 &= 202961,116 \left(\frac{500}{2} - \frac{45,705}{2} \right) + 23860,9 \left(\frac{500}{2} - 59,5 \right) + 226823 \left(440,5 - \frac{500}{2} \right) \\
 &= 93.857.355
 \end{aligned}$$

Nilai ϕ diambil dari Gambar 2.17 didapat 0,8 sehingga
 $\phi M_n = 75.085.883 \text{ N mm} = 75,09 \text{ KN m}$

Jarak antar tulangan

$$s = \frac{300 - 100 - 2 \times 19}{1} = 162 \text{ mm}$$

$$s' = \frac{300 - 100 - 2 \times 19}{1} = 162 \text{ mm}$$

Panjang penyaluran

$$\text{Tarik} = \frac{l_d}{d_b} = \frac{9f_y}{10\sqrt{f'_c}} \left(\frac{\alpha\beta\gamma\lambda}{c + K_{tr}} \right)$$

$$\frac{l_d}{19} = \frac{9 \times 400}{10 \times \sqrt{17,4}} \left(\frac{1 \times 1 \times 0,8 \times 1}{53,771 + 70} \right)$$

$$l_d = 201,4 \text{ mm}$$

$$\text{Tekan} = \begin{cases} l_d = \frac{d_b f_y}{4\sqrt{f'_c}} = \frac{19 \times 400}{4 \times \sqrt{17,4}} = 455,5 \text{ mm (menentukan)} \\ l_d = 0,04 d_b f_y = 0,04 \times 19 \times 400 = 304 \text{ mm} \end{cases}$$

➤ Tengah bentang :

$$M_u = 8,64 \times 10^7 \text{ N mm}$$

$$M_n = 1,08 \times 10^8 \text{ N mm}$$

$$d = 500 - 50 - \frac{19}{2} = 440,5 \text{ mm}$$

$$R_n = \frac{M_n}{bd^2} = \frac{1,08 \times 10^8}{300 \times 440,5^2} = 1,89 \text{ N/mm}^2$$

$$m = \frac{f_y}{0,85f'_c} = \frac{400}{0,85 \times 17,4} = 27,04$$

$$\rho_{\text{perlu}} = 0,005$$

$$\rho_{\min} = 0,0035$$

$$\rho_{\max} = 0,014$$

Gunakan $\rho = 0,005$ maka $A_{s\text{ perlu}} = 660,75 \text{ mm}^2$ maka tulangan tarik yang digunakan 3 D19

Asumsi *user* memberi input pada rasio sebesar 0,5 maka banyaknya tulangan tekan yang dibutuhkan 2 D19.

Dengan proses iterasi pada kesetimbangan gaya didapat

$$c = 67,134 \text{ mm}$$

$$\sum H = 0$$

$$-C_c + A'_s f'_s + A_s f_s$$

$$-(0,85 \times f'_c \times b \times a) + \left(2 \times \frac{1}{4} \times \pi \times 19^2 \times f'_s \right) + \left(2 \times \frac{1}{4} \times \pi \times 19^2 \times f_s \right)$$

$$-(0,85 \times 17,4 \times 300 \times 57,0639) + (567,0575 \times -153,133) + (850,59 \times 400)$$

$$\sum H = 0 \text{ (terbukti)}$$

$$\begin{aligned}
 M_n &= C_c \left(\frac{h}{2} - \frac{a}{2} \right) + A'_s f'_s \left(\frac{h}{2} - d' \right) + A_s f_s \left(d - \frac{h}{2} \right) \\
 &= 253400,4 \left(\frac{500}{2} - \frac{57,06}{2} \right) + 86835 \left(\frac{500}{2} - 59,5 \right) + 340234,5 \left(440,5 - \frac{500}{2} \right) \\
 &= 137.476.815
 \end{aligned}$$

Nilai ϕ diambil dari Gambar 2.17 didapat 0,8 sehingga
 $\phi M_n = 109.981.451,6 \text{ N mm} = 109,98 \text{ KN m}$

Jarak antar tulangan

$$s = \frac{300 - 100 - 3 \times 19}{2} = 71,5 \text{ mm}$$

$$s' = 300 - 100 - 2 \times 19 = 162 \text{ mm}$$

Panjang penyaluran

$$\text{Tarik} = \frac{l_d}{d_b} = \frac{9f_y}{10\sqrt{f'_c}} \frac{\alpha\beta\gamma\lambda}{\left(\frac{c + K_{tr}}{d_b} \right)}$$

$$\frac{l_d}{19} = \frac{9 \times 400}{10 \times \sqrt{17,4}} \frac{1 \times 1 \times 0,8 \times 1}{\left(\frac{53,771 + 158,62}{19} \right)}$$

$$l_d = 117,35 \text{ mm} = 120 \text{ mm}$$

$$\text{Tekan} = \begin{cases} l_d = \frac{d_b f_y}{4\sqrt{f'_c}} = \frac{19 \times 400}{4 \times \sqrt{17,4}} = 455,5 \text{ mm (menentukan)} \\ l_d = 0,04 d_b f_y = 0,04 \times 19 \times 400 = 304 \text{ mm} \end{cases}$$

➤ Ujung tepi kanan :

$$M_u = 5,26 \times 10^7 \text{ N mm}$$

$$M_n = 6,58 \times 10^7 \text{ N mm}$$

$$d = 500 - 50 - \frac{19}{2} = 440,5 \text{ mm}$$

$$R_n = \frac{M_n}{bd^2} = \frac{6,58 \times 10^7}{300 \times 440,5^2} = 1,22 \text{ N/mm}^2$$

$$m = \frac{f_y}{0,85f'_c} = \frac{400}{0,85 \times 17,4} = 27,04$$

$$\rho_{\text{perlu}} = 0,0032$$

$$\rho_{\min} = 0,0035$$

$$\rho_{\max} = 0,014$$

Gunakan $\rho = 0,0035$ maka $A_{s\text{ perlu}} = 462,525 \text{ mm}^2$ maka tulangan tarik yang digunakan 2 D19

Asumsi *user* memberi input pada rasio sebesar 0,5 maka banyaknya tulangan tekan yang dibutuhkan sebanyak satu buah, namun dalam peraturan banyak tulangan tidak boleh satu maka menjadi 2 D19.

Dengan proses iterasi pada kesetimbangan gaya didapatkan :

$$c = 53,771 \text{ mm}$$

$$\sum H = 0$$

$$-C_c + A'_s f'_s + A_s f_s$$

$$-(0,85 \times f'_c \times b \times a) + \left(2 \times \frac{1}{4} \times \pi \times 19^2 \times f'_s \right) + \left(2 \times \frac{1}{4} \times \pi \times 19^2 \times f_s \right)$$

$$-(0,85 \times 17,4 \times 300 \times 45,705) + (567,0575 \times -42,0784) + (567,0575 \times 400)$$

$$\sum H = 0 \text{ (terbukti)}$$

$$\begin{aligned}
 M_n &= C_c \left(\frac{h}{2} - \frac{a}{2} \right) + A'_s f'_s \left(\frac{h}{2} - d' \right) + A_s f_s \left(d - \frac{h}{2} \right) \\
 &= 202961,116 \left(\frac{500}{2} - \frac{45,705}{2} \right) + 23860,9 \left(\frac{500}{2} - 59,5 \right) + 226823 \left(440,5 - \frac{500}{2} \right) \\
 &= 93.857.355
 \end{aligned}$$

Nilai ϕ diambil dari Gambar 2.17 didapat 0,8 sehingga

$$\phi M_n = 75.085.883 \text{ N mm} = 75,09 \text{ KN m}$$

Jarak antar tulangan

$$s = \frac{300 - 100 - 2 \times 19}{1} = 162 \text{ mm}$$

$$s' = \frac{300 - 100 - 2 \times 19}{1} = 162 \text{ mm}$$

Panjang penyaluran

$$\text{Tarik} = \frac{l_d}{d_b} = \frac{9f_y}{10\sqrt{f'_c}} \left(\frac{\alpha\beta\gamma\lambda}{c + K_{tr}} \right)$$

$$\frac{l_d}{19} = \frac{9 \times 400}{10 \times \sqrt{17,4}} \left(\frac{53,771 + 70}{19} \right)$$

$$l_d = 201,4 \text{ mm}$$

$$\text{Tekan} = \begin{cases} l_d = \frac{d_b f_y}{4\sqrt{f'_c}} = \frac{19 \times 400}{4 \times \sqrt{17,4}} = 455,5 \text{ mm (menentukan)} \\ l_d = 0,04 d_b f_y = 0,04 \times 19 \times 400 = 304 \text{ mm} \end{cases}$$

Case 2:

Apabila *user* tidak menginginkan adanya tulangan rangkap maka perhitungan menjadi:

➤ Ujung tepi kiri :

$$M_u = 4,51 \times 10^7 \text{ N mm}$$

$$M_n = 5,64 \times 10^7 \text{ N mm}$$

$$d = 500 - 50 - \frac{19}{2} = 440,5 \text{ mm}$$

$$R_n = \frac{M_n}{bd^2} = \frac{5,64 \times 10^7}{300 \times 440,5^2} = 1,05 \text{ N/mm}^2$$

$$m = \frac{f_y}{0,85 f'_c} = \frac{400}{0,85 \times 17,4} = 27,04$$

$$\rho_{\text{perlu}} = 0,0028$$

$$\rho_{\min} = 0,0035$$

$$\rho_{\max} = 0,014$$

Gunakan $\rho = 0,0035$ maka $A_{s\text{perlu}} = 462,525 \text{ mm}^2$

maka tulangan tarik yang digunakan 2 D19

Dengan proses iterasi pada kesetimbangan gaya didapatkan :

$$c = 60,093 \text{ mm}$$

$$\sum H = 0$$

$$-C_c + A'_s f'_s + A_s f_s$$

$$-(0,85 \times f'_c \times b \times a) + \left(0 \times \frac{1}{4} \times \pi \times 19^2 \times f'_s \right) + \left(2 \times \frac{1}{4} \times \pi \times 19^2 \times f_s \right)$$

$$-(0,85 \times 17,4 \times 300 \times 51,079) + (0 \times -100,774) + (567,0575 \times 400)$$

$$\sum H = 0 \text{ (terbukti)}$$

$$\begin{aligned}
 M_n &= C_c \left(\frac{h}{2} - \frac{a}{2} \right) + A'_s f_s' \left(\frac{h}{2} - d' \right) + A_s f_s \left(d - \frac{h}{2} \right) \\
 &= 226823,8 \left(\frac{500}{2} - \frac{51,08}{2} \right) + 0 \left(\frac{500}{2} - 59,5 \right) + 226823,8 \left(440,5 - \frac{500}{2} \right) \\
 &= 94.122.757
 \end{aligned}$$

Nilai ϕ diambil dari Gambar 2.17 didapat 0,8 sehingga

$$\phi M_n = 94.122.757 \text{ N mm} = 75,30 \text{ KN m}$$

Jarak antar tulangan

$$s = \frac{300 - 100 - 2 \times 19}{1} = 162 \text{ mm}$$

Panjang penyaluran

$$\text{Tarik} = \frac{l_d}{d_b} = \frac{9f_y}{10\sqrt{f'_c}} \left(\frac{\alpha\beta\gamma\lambda}{\frac{c + K_{tr}}{d_b}} \right)$$

$$\frac{l_d}{19} = \frac{9 \times 400}{10 \times \sqrt{17,4}} \left(\frac{1 \times 1 \times 0,8 \times 1}{\frac{60,093 + 70}{19}} \right)$$

$$l_d = 191,5 \text{ mm} = 200 \text{ mm}$$

➤ Tengah bentang :

$$M_u = 8,64 \times 10^7 \text{ N mm}$$

$$M_n = 1,08 \times 10^8 \text{ N mm}$$

$$d = 500 - 50 - \frac{19}{2} = 440,5 \text{ mm}$$

$$R_n = \frac{M_n}{bd^2} = \frac{1,08 \times 10^8}{300 \times 440,5^2} = 1,89 \text{ N/mm}^2$$

$$m = \frac{f_y}{0,85 f'_c} = \frac{400}{0,85 \times 17,4} = 27,04$$

$$\rho_{\text{perlu}} = 0,005$$

$$\rho_{\text{min}} = 0,0035$$

Gunakan $\rho = 0,005$ maka $A_{s\text{ perlu}} = 660,75 \text{ mm}^2$ maka tulangan tarik yang digunakan 3 D19

Dengan proses iterasi pada kesetimbangan gaya didapatkan :

$$c = 90,14 \text{ mm}$$

$$\sum H = 0$$

$$-C_c + A'_s f'_s + A_s f_s$$

$$-(0,85 \times f'_c \times b \times a) + \left(0 \times \frac{1}{4} \times \pi \times 19^2 \times f'_s\right) + \left(2 \times \frac{1}{4} \times \pi \times 19^2 \times f_s\right)$$

$$-(0,85 \times 17,4 \times 300 \times 76,619) + (0 \times -267,184) + (850,5862 \times 400)$$

$$\sum H = 0 \text{ (terbukti)}$$

$$\begin{aligned} M_n &= C_c \left(\frac{h}{2} - \frac{a}{2} \right) + A'_s f'_s \left(\frac{h}{2} - d' \right) + A_s f_s \left(d - \frac{h}{2} \right) \\ &= 340237,6 \left(\frac{500}{2} - \frac{76,62}{2} \right) + 0 \left(\frac{500}{2} - 59,5 \right) + 340234,5 \left(440,5 - \frac{500}{2} \right) \\ &= 136.839.733 \end{aligned}$$

Nilai ϕ diambil dari Gambar 2.17 didapat 0,8 sehingga

$$\phi M_n = 109.471.786 \text{ N mm} = 109,47 \text{ KN m}$$

Jarak antar tulangan

$$s = \frac{300 - 100 - 3 \times 19}{2} = 71,5 \text{ mm}$$

Panjang penyaluran

$$\text{Tarik} = \frac{l_d}{d_b} = \frac{9f_y}{10\sqrt{f'_c}} \left(\frac{\alpha\beta\gamma\lambda}{\frac{c+K_{tr}}{d_b}} \right)$$

$$\frac{l_d}{19} = \frac{9 \times 400}{10 \times \sqrt{17,4}} \left(\frac{1 \times 1 \times 0,8 \times 1}{\frac{90,14 + 158,62}{19}} \right)$$

$$l_d = 100 \text{ mm}$$

➤ Ujung tepi kanan :

$$M_a = 5,26 \times 10^7 \text{ N mm}$$

$$M_n = 6,58 \times 10^7 \text{ N mm}$$

$$d = 500 - 50 - \frac{19}{2} = 440,5 \text{ mm}$$

$$R_n = \frac{M_n}{bd^2} = \frac{6,58 \times 10^7}{300 \times 440,5^2} = 1,22 \text{ N/mm}^2$$

$$m = \frac{f_y}{0,85f'_c} = \frac{400}{0,85 \times 17,4} = 27,04$$

$$\rho_{\text{perlu}} = 0,0032$$

$$\rho_{\text{min}} = 0,0035$$

$$\rho_{\text{max}} = 0,014$$

Gunakan $\rho = 0,0035$ maka $A_{s\text{ perlu}} = 462,525 \text{ mm}^2$ maka tulangan tarik yang digunakan 2 D19

Dengan proses iterasi pada kesetimbangan gaya didapatkan :

$$c = 60,093 \text{ mm}$$

$$\sum H = 0$$

$$-C_c + A'_s f'_s + A_s f_s$$

$$-(0,85 \times f'_c \times b \times a) + \left(0 \times \frac{1}{4} \times \pi \times 19^2 \times f'_s \right) + \left(2 \times \frac{1}{4} \times \pi \times 19^2 \times f_s \right)$$

$$-(0,85 \times 17,4 \times 300 \times 51,079) + (0 \times -100,774) + (567,0575 \times 400)$$

$\sum H = 0$ (terbukti)

$$\begin{aligned} M_n &= C_c \left(\frac{h}{2} - \frac{a}{2} \right) + A'_s f'_s \left(\frac{h}{2} - d' \right) + A_s f_s \left(d - \frac{h}{2} \right) \\ &= 226823,8 \left(\frac{500}{2} - \frac{51,08}{2} \right) + 0 \left(\frac{500}{2} - 59,5 \right) + 226823,8 \left(440,5 - \frac{500}{2} \right) \\ &= 94.122.757 \end{aligned}$$

Nilai ϕ diambil dari Gambar 2.17 didapat 0,8 sehingga

$$\phi M_n = 94.122.757 \text{ N mm} = 75,30 \text{ KN m}$$

Jarak antar tulangan

$$s = \frac{300 - 100 - 2 \times 19}{1} = 162 \text{ mm}$$

Panjang penyaluran

$$\text{Tarik} = \frac{l_d}{d_b} = \frac{9f_y}{10\sqrt{f'_c}} \left(\frac{\alpha\beta\gamma\lambda}{c + K_{tr}} \right)$$

$$\frac{l_d}{19} = \frac{9 \times 400}{10 \times \sqrt{17,4}} \left(\frac{1 \times 1 \times 0,8 \times 1}{\frac{60,093 + 70}{19}} \right)$$

$$l_d = 191,5 \text{ mm} = 200 \text{ mm}$$

5.1.2. Perhitungan dengan SAP2000 (lengkap lihat Lampiran)

Dengan menginputkan data-data yang ada, maka *output* yang ditampilkan pada program bantu profesional SAP2000 yaitu:

Displacement pada joint atau titik nodal:

| Joint | U_1 | U_2 | U_3 | R_1 | R_2 | R_3 |
|-------|---------|-------|----------|-------|---------|-------|
| 1 | 0 | 0 | 0 | 0 | 0 | 0 |
| 2 | 0,00059 | 0 | -0,00016 | 0 | -0,0015 | 0 |
| 3 | 0 | 0 | 0 | 0 | 0 | 0 |
| 4 | 0,00055 | 0 | -0,00016 | 0 | 0,0014 | 0 |

Reaksi pada perletakan:

| Joint | F_1 | F_2 | F_3 | M_1 | M_2 | M_3 |
|-------|---------|-------|---------|-------|---------|-------|
| 1 | 1823,7 | 0 | 12337,7 | 0 | -2717,8 | 0 |
| 3 | -2323,7 | 0 | 12662,3 | 0 | 4106,4 | 0 |

Reaksi pada masing-masing elemen:

| Elemen 1 | Elemen 2 | Elemen 3 |
|--------------------------------------------------------------------------------------------------------------------------|--------------------------------------------------------------------------------------------------------------------------|--------------------------------------------------------------------------------------------------------------------------|
| $\begin{Bmatrix} f_{x1} \\ f_{y1} \\ m_{z1} \end{Bmatrix} = \begin{Bmatrix} 12337,7 \\ -1823,7 \\ -2717,8 \end{Bmatrix}$ | $\begin{Bmatrix} f_{x1} \\ f_{y1} \\ m_{z1} \end{Bmatrix} = \begin{Bmatrix} 2323,7 \\ 12337,7 \\ 6400,8 \end{Bmatrix}$ | $\begin{Bmatrix} f_{x1} \\ f_{y1} \\ m_{z1} \end{Bmatrix} = \begin{Bmatrix} 12662,3 \\ 2323,7 \\ 7512,1 \end{Bmatrix}$ |
| $\begin{Bmatrix} f_{x2} \\ f_{y2} \\ m_{z2} \end{Bmatrix}$ | $\begin{Bmatrix} f_{x2} \\ f_{y2} \\ m_{z2} \end{Bmatrix} = \begin{Bmatrix} -12337,7 \\ 1823,7 \\ -6400,8 \end{Bmatrix}$ | $\begin{Bmatrix} f_{x2} \\ f_{y2} \\ m_{z2} \end{Bmatrix} = \begin{Bmatrix} -2323,7 \\ 12662,3 \\ -7212,1 \end{Bmatrix}$ |
| $\begin{Bmatrix} f_{x2} \\ f_{y2} \\ m_{z2} \end{Bmatrix}$ | $\begin{Bmatrix} f_{x2} \\ f_{y2} \\ m_{z2} \end{Bmatrix} = \begin{Bmatrix} -12662,3 \\ -2323,7 \\ 4106,4 \end{Bmatrix}$ | $\begin{Bmatrix} f_{x2} \\ f_{y2} \\ m_{z2} \end{Bmatrix}$ |

5.1.3. Perhitungan dengan SFAP

Terbagi menjadi dua proses yaitu proses *input* dan proses *output*. Dimana proses *input* itu adalah:

Input 1: General Information (Input > General Information)

Project name : *Plane Frame*

Units : kg, m

Input 2: Material Properties (Input > Define Material Properties)

Material name : Concrete
Modulus of elasticity : 2000000000
Poisson's ratio : 0.2

Input 3: Section Properties (Input > Define Section Properties)

Section name : Beam
Section wizard
Select frame section : Rectangular
Depth : 0.5
Width : 0.3
Section name : Column
Section wizard
Select frame section : Circular
Diameter : 0.5

Input 4: Reinforcement Properties (Input > Assign Reinforcement List>Beam)

Type : D-19
 f_y : 400
 f_{yv} : 400
Ratio : 0,5 (pada case 1) dan 0 (pada case 2)

Input 5: Reinforcement Properties (Input > Assign Reinforcement List>Column)

Diameter of bar : 19
Decking : 40
 f_y : 400
 E_s : 200000

Input 6: Nodal Coordinates (Input > Nodal Coordinates)

Nodal 1: X = 0; Y = 0; Z = 0
Nodal 2: X = 0; Y = 5; Z = 0
Nodal 3: X = 5; Y = 5; Z = 0
Nodal 4: X = 5; Y = 0; Z = 0

*Input 7: Frame Properties (Input > Frame Properties)**Frame 1: Start joint: 1; End joint: 2; Section: Column**Frame 2: Start joint: 2; End joint: 3; Section: Beam**Frame 3: Start joint: 3; End joint: 4; Section: Column**Input 8: Joint Restraint (Input > Assign Joint Restraint)**Label 1: Fast Restraint : Fixed**Label 4: Fast Restraint : Fixed**Input 9: Joint Loads (Input > Assign Joint Loads)**Joint label 2: Force global X : 500**Joint label 3: Moment global Z : 300**Input 10: Distributed Loads (Input > Distributed Frame Loads)**Frame label 2: Force global Y : -5000*Proses *output*: (lengkap lihat Lampiran)*Output 1: Nodal Displacement**Nodal 2: Translation X = 0.00059 m**Translation Y = -0.00016 m**Rotation Z = -0.0015 rad**Nodal 3: Translation X = 0.00055 m**Translation Y = -0.00016 m**Rotation Z = 0.0014 rad**Output 2: Support Reaction**Nodal 1: F_x = 1823.7 kg* *F_y = 12337.7 kg* *M_z = -2717.8 kgm**Nodal 4: F_x = -2323.7 kg* *F_y = 12662.3 kg* *M_z = 4106.4 kgm*

Output 3: Element Force

| | | |
|-----------------|----------|---------------|
| <i>Frame 1:</i> | f_{x1} | = 12337.7 kg |
| | f_{y1} | = -1823.7 kg |
| | m_{z1} | = -2717.8 kgm |
| | f_{x2} | = -12337.7 kg |
| | f_{y2} | = 1823.7 kg |
| | m_{z2} | = -6400.8 kgm |
| <i>Frame 2:</i> | f_{x1} | = 2323.7 kg |
| | f_{y1} | = 12337.7 kg |
| | m_{z1} | = 6400.8 kgm |
| | f_{x2} | = -2323.7 kg |
| | f_{y2} | = 12662.3 kg |
| | m_{z2} | = -7212.1 kgm |
| <i>Frame 3:</i> | f_{x1} | = 12662.3 kg |
| | f_{y1} | = 2323.7 kg |
| | m_{z1} | = 7512.1 kgm |
| | f_{x2} | = -12662.3 kg |
| | f_{y2} | = -2323.7 kg |
| | m_{z2} | = 4106.4 kgm |

*Output 4: Beam Reinforcement**Case 1*

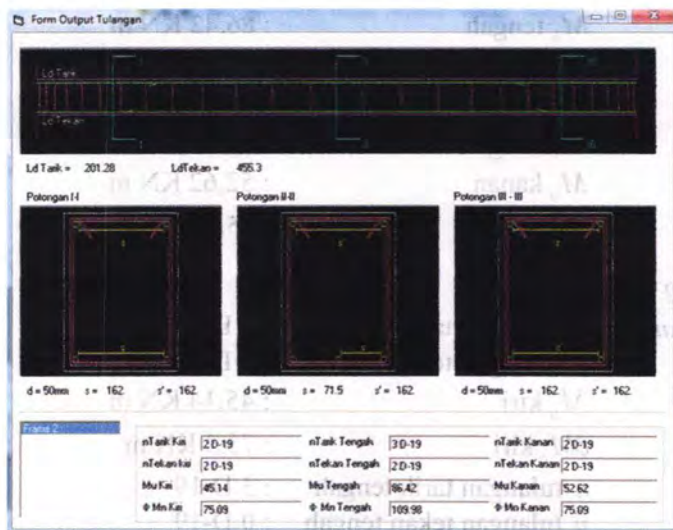
| | | |
|-----------------|---------------------------|--------------|
| <i>Frame 2:</i> | n tulangan tarik kiri | : 2 D-19 |
| | n tulangan tekan kiri | : 2 D-19 |
| | M_u kiri | : 45,14 KN m |
| | ϕM_n kiri | : 75,09 KN m |
| | n tulangan tarik tengah | : 3 D-19 |
| | n tulangan tekan tengah | : 2 D-19 |

| | |
|--------------------------|---------------|
| M_u tengah | : 86,42 KN m |
| ϕM_n tengah | : 109,98 KN m |
| n tulangan tarik kanan | : 2 D-19 |
| n tulangan tekan kanan | : 2 D-19 |
| M_u kanan | : 52,62 KN m |
| ϕM_n kanan | : 75,09 KN m |

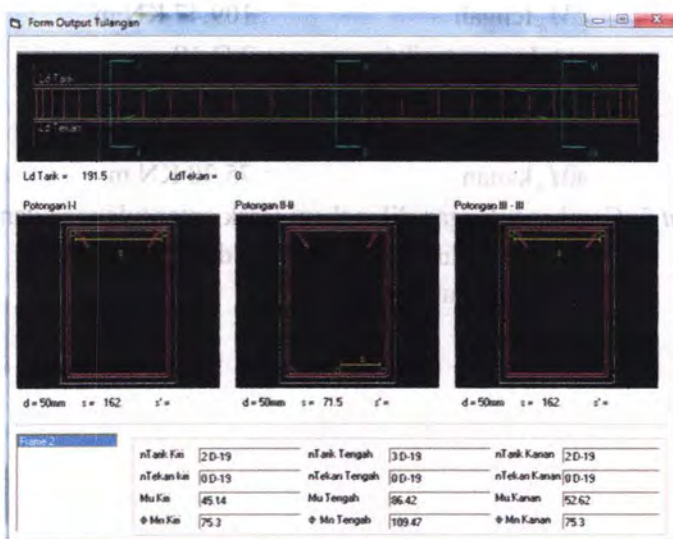
Case 2

| | |
|-----------------------------------------|---------------|
| <i>Frame 2:</i> n tulangan tarik kiri | : 2 D-19 |
| n tulangan tekan kiri | : 0 D-19 |
| M_u kiri | : 45,14 KN m |
| ϕM_n kiri | : 75,3 KN m |
| n tulangan tarik tengah | : 3 D-19 |
| n tulangan tekan tengah | : 0 D-19 |
| M_u tengah | : 86,42 KN m |
| ϕM_n tengah | : 109,47 KN m |
| n tulangan tarik kanan | : 2 D-19 |
| n tulangan tekan kanan | : 0 D-19 |
| M_u kanan | : 52,62 KN m |
| ϕM_n kanan | : 75,30 KN m |

Output 5: Gambar tulangan dilengkapi jarak antar tulangan dan panjang penyaluran sebagaimana ditunjukkan pada Gambar 5.2. dan Gambar 5.3



Gambar 5.2. Tampilan output pada kasus 1 case 1



Gambar 5.3. Tampilan output pada kasus 1 case 2

Tabel 5.1. Perbandingan hasil SFAP dengan hitungan manual dan program SAP 2000 kasus 1

| Analisa Struktur | Parameter | SFAP | Manual | SAP 2000 | Selisih |
|-------------------|---------------|---------------|---------------|---------------|---------|
| Displacement | d_{x2} | 0,00059 m | 0,00059 m | 0,00059 m | 0 |
| | d_{y2} | -0,00016 m | -0,00016 m | -0,00016 m | 0 |
| | θ_{z2} | -0,0015 rad | -0,0015 rad | -0,0015 rad | 0 |
| | d_{x3} | 0,00055 m | 0,00055 m | 0,00055 m | 0 |
| | d_{y3} | -0,00016 m | -0,00016 m | -0,00016 m | 0 |
| | θ_{z3} | 0,0014 rad | 0,0014 rad | 0,0014 rad | 0 |
| Reaksi Perletakan | F_{x1} | 1.823,7 kg | 1.823,7 kg | 1.823,7 kg | 0 |
| | F_{y1} | 12.337,7 kg | 12.337,7 kg | 12.337,7 kg | 0 |
| | M_{z1} | -2.717,8 kg m | -2.717,8 kg m | -2.717,8 kg m | 0 |
| | F_{x4} | -2.323,7 kg | -2.323,7 kg | -2.323,7 kg | 0 |
| | F_{y4} | 12.662,3 kg | 12.662,3 kg | 12.662,3 kg | 0 |
| | M_{z4} | 4.106,4 kg m | 4.106,4 kg m | 4.106,4 kg m | 0 |
| Reaksi Elemen | 1 | f_{x1} | 12.337,7 kg | 12.337,7 kg | 0 |
| | | f_{y1} | -1.823,7 kg | -1.823,7 kg | 0 |
| | | m_{z1} | -2.717,8 kg m | -2.717,8 kg m | 0 |
| | | f_{x2} | -12.337,7 kg | -12.337,7 kg | 0 |
| | | f_{y2} | 1.823,7 kg | 1.823,7 kg | 0 |
| | | m_{z2} | -6.400,8 kg m | -6.400,8 kg m | 0 |

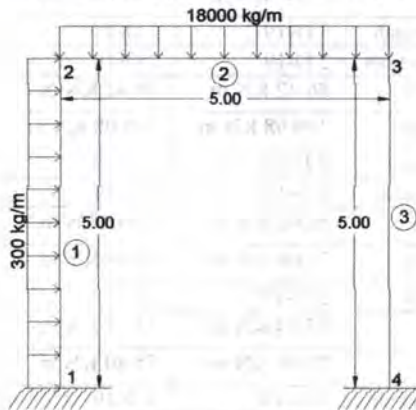
| Analisa Struktur | Parameter | SFAP | Manual | SAP 2000 | Selisih |
|--------------------|-----------|---------------|---------------|---------------|---------|
| Reaksi Elemen 2 | f_{x1} | 2.323,7 kg | 2.323,7 kg | 2.323,7 kg | 0 |
| | f_{y1} | 12.337,7 kg | 12.337,7 kg | 12.337,7 kg | 0 |
| | m_{z1} | 6.400,8 kg m | 6.400,8 kg m | 6.400,8 kg m | 0 |
| | f_{x2} | -2.323,7 kg | -2.323,7 kg | -2.323,7 kg | 0 |
| | f_{y2} | 12.662,3 kg | 12.662,3 kg | 12.662,3 kg | 0 |
| | m_{z2} | -7.212,1 kg m | -7.212,1 kg m | -7.212,1 kg m | 0 |
| 3 | f_{x1} | 12.662,3 kg | 12.662,3 kg | 12.662,3 kg | 0 |
| | f_{y1} | 2.323,7 kg | 2.323,7 kg | 2.323,7 kg | 0 |
| | m_{z1} | 7.512,1 kg m | 7.512,1 kg m | 7.512,1 kg m | 0 |
| | f_{x2} | -12.662,3 kg | -12.662,3 kg | -12.662,3 kg | 0 |
| | f_{y2} | -2.323,7 kg | -2.323,7 kg | -2.323,7 kg | 0 |
| | m_{z2} | 4.106,4 kg m | 4.106,4 kg m | 4.106,4 kg m | 0 |

Tabel 5.2. Perbandingan hasil SFAP dengan hitungan manual kasus 1

| Analisa Lentur | Parameter | SFAP | Manual | Selisih |
|---------------------------|-------------------|-------------|-------------|---------|
| <i>Frame 2 case 1</i> | n Tarik Kiri | 2 D-19 | 2 D-19 | 0 |
| | n Tekan Kiri | 2 D-19 | 2 D-19 | 0 |
| | M_u Kiri | 45,14 KN m | 45,14 KN m | 0 |
| | ϕM_n Kiri | 75,09 KN m | 75,09 KN m | 0 |
| | n Tarik Tengah | 3 D-19 | 3 D-19 | 0 |
| | n Tekan Tengah | 2 D-19 | 2 D-19 | 0 |
| | M_u Tengah | 86,42 KN m | 86,42 KN m | 0 |
| | ϕM_n Tengah | 109,98 KN m | 109,98 KN m | 0 |
| | n Tarik Kanan | 2 D-19 | 2 D-19 | 0 |
| | n Tekan Kanan | 2 D-19 | 2 D-19 | 0 |
| <i>Frame 2 case 2</i> | M_u Kanan | 52,62 KN m | 52,62 KN m | 0 |
| | ϕM_n Kanan | 75,09 KN m | 75,09 KN m | 0 |
| | n Tarik Kiri | 2 D-19 | 2 D-19 | 0 |
| | M_u Kiri | 45,14 KN m | 45,14 KN m | 0 |
| | ϕM_n Kiri | 75,30 KN m | 75,30 KN m | 0 |
| | n Tarik Tengah | 3 D-19 | 3 D-19 | 0 |
| | M_u Tengah | 86,42 KN m | 86,42 KN m | 0 |
| | ϕM_n Tengah | 109,47 KN m | 109,47 KN m | 0 |
| | n Tarik Kanan | 2 D-19 | 2 D-19 | 0 |
| | M_u Kanan | 52,62 KN m | 52,62 KN m | 0 |
| | ϕM_n Kanan | 75,30 KN m | 75,30 KN m | 0 |

5.2. Kasus 2 – *Plane Frame 2*

Diambil contoh sederhana *plane frame* ini disebabkan agar perhitungan juga dapat dibandingkan dengan perhitungan manual dengan bantuan *Microsoft Excel* serta bentuk *plane frame* ini memiliki dua bentuk elemen yaitu balok dan kolom. Dimana pada kasus 2 (*Gambar 5.4*) ini pengaruh geser diperhitungkan.



Gambar 5.4. Kasus 2 – *Plane Frame 2*

Diketahui:

$$\text{Modulus } \textit{Young}, E = 2 \times 10^{10} \text{ kg/m}^2$$

$$\text{Poisson Ratio}, \nu = 0,2$$

$$\text{Dimensi balok} = 300 \times 500 \text{ mm}$$

$$\text{Dimensi kolom} = 500 \text{ mm (diameter)}$$

$$\text{Diameter tulangan longitudinal dan geser} = D - 24 \text{ dan } \varnothing 10$$

$$\text{Kuat leleh tulangan, } f_y = 400 \text{ MPa}$$

$$\text{Decking} = 40 \text{ mm}$$

5.2.1. Perhitungan Manual

- Perhitungan analisa struktur

Elemen 1

Pada elemen 1, sudut antara sumbu global struktur X dan sumbu lokal elemen x adalah 90° , sehingga:

Matriks transformasi $[R]$:

$$[R] = \begin{bmatrix} 0 & 1 & 0 & 0 & 0 & 0 \\ -1 & 0 & 0 & 0 & 0 & 0 \\ 0 & 0 & 1 & 0 & 0 & 0 \\ 0 & 0 & 0 & 0 & 1 & 0 \\ 0 & 0 & 0 & -1 & 0 & 0 \\ 0 & 0 & 0 & 0 & 0 & 1 \end{bmatrix}$$

Matriks kekakuan lokal $[k]$:

Dimana:

$$\frac{EA}{L} = \frac{2 \times 10^9 \times 0,196349541}{5} = 78539816,34$$

$$\frac{12EI}{L^3(1+\Phi_y)} = \frac{12 \times 2 \times 10^9 \times 0,003067962}{5^3 \times (1+0,02)} = 577498,65$$

$$\frac{6EI}{L^2(1+\Phi)} = \frac{6 \times 2 \times 10^9 \times 0,003067962}{5^2 \times (1+0,02)} = 1443746,62$$

$$\frac{(4+\Phi_y)EI}{L(1+\Phi_y)} = \frac{(4+0,02) \times 2 \times 10^9 \times 0,003067962}{5 \times (1+0,02)} = 4836551,19$$

$$\frac{(2-\Phi_y)EI}{L(1+\Phi_y)} = \frac{(2-0,02) \times 2 \times 10^9 \times 0,003067962}{5 \times (1+0,02)} = 2382181,93$$

$$[k] = \begin{bmatrix} 78539816,34 & 0 & 0 & -78539816,34 & 0 & 0 \\ 0 & 577498,65 & 1443746,62 & 0 & -577498,65 & 1443746,62 \\ 0 & 1443746,62 & 4836551,19 & 0 & -1443746,62 & 2382181,93 \\ -78539816,34 & 0 & 0 & 78539816,34 & 0 & 0 \\ 0 & -577498,65 & -1443746,62 & 0 & 577498,65 & -1443746,62 \\ 0 & 1443746,62 & 2382181,93 & 0 & -1443746,62 & 4836551,19 \end{bmatrix}$$

Matriks kekakuan global $[K] = [R]^T [k] R$

$$[K] = \begin{bmatrix} 577498,65 & 0 & -1443746,62 & -577498,65 & 0 & -1443746,62 \\ 0 & 78539816,34 & 0 & 0 & -78539816,34 & 0 \\ -1443746,62 & 0 & 4836551,19 & 1443746,62 & 0 & 2382181,93 \\ -577498,65 & 0 & 1443746,62 & 577498,65 & 0 & 1443746,62 \\ 0 & -78539816,34 & 0 & 0 & 78539816,34 & 0 \\ -1443746,62 & 0 & 2382181,93 & 1443746,62 & 0 & 4836551,19 \end{bmatrix}$$

Elemen 2

Pada elemen 2, sudut antara sumbu global struktur X dan sumbu lokal elemen x adalah 0° , sehingga:

Matriks transformasi $[R]$:

$$[R] = \begin{bmatrix} 1 & 0 & 0 & 0 & 0 & 0 \\ 0 & 1 & 0 & 0 & 0 & 0 \\ 0 & 0 & 1 & 0 & 0 & 0 \\ 0 & 0 & 0 & 1 & 0 & 0 \\ 0 & 0 & 0 & 0 & 1 & 0 \\ 0 & 0 & 0 & 0 & 0 & 1 \end{bmatrix}$$

Matriks kekakuan lokal $[k]$:

Dimana:

$$\frac{EA}{L} = \frac{2 \times 10^9 \times 0,15}{5} = 60000000$$

$$\frac{12EI}{L^3(1+\Phi_y)} = \frac{12 \times 2 \times 10^9 \times 0,003125}{5^3 \times (1+0,0288)} = 583203,75$$

$$\frac{6EI}{L^2(1+\Phi)} = \frac{6 \times 2 \times 10^9 \times 0,003125}{5^2 \times (1+0,0288)} = 1458009,38$$

$$\frac{(4+\Phi_y)EI}{L(1+\Phi_y)} = \frac{(4+0,0288) \times 2 \times 10^9 \times 0,003125}{5 \times (1+0,0288)} = 4895023,49$$

$$\frac{(2-\Phi_y)EI}{L(1+\Phi_y)} = \frac{(2-0,0288) \times 2 \times 10^9 \times 0,003125}{5 \times (1+0,0288)} = 2395023,41$$

$$[k] = \begin{bmatrix} 60000000 & 0 & 0 & -60000000 & 0 & 0 \\ 0 & 583203,75 & 1458009,38 & 0 & -583203,75 & 1458009,38 \\ 0 & 1458009,38 & 4895023,49 & 0 & -1458009,38 & 2395023,41 \\ -60000000 & 0 & 0 & 60000000 & 0 & 0 \\ 0 & -583203,75 & -1458009,38 & 0 & 583203,75 & -1458009,38 \\ 0 & 1458009,38 & 2395023,41 & 0 & -1458009,38 & 4895023,49 \end{bmatrix}$$

Matriks kekakuan global $[K] = [R]^T [k] R$

$$[K] = \begin{bmatrix} 60000000 & 0 & 0 & -60000000 & 0 & 0 \\ 0 & 583203,75 & 1458009,38 & 0 & -583203,75 & 1458009,38 \\ 0 & 1458009,38 & 4895023,49 & 0 & -1458009,38 & 2395023,41 \\ -60000000 & 0 & 0 & 60000000 & 0 & 0 \\ 0 & -583203,75 & -1458009,38 & 0 & 583203,75 & -1458009,38 \\ 0 & 1458009,38 & 2395023,41 & 0 & -1458009,38 & 4895023,49 \end{bmatrix}$$

Elemen 3

Pada elemen 3, sudut antara sumbu global struktur X dan sumbu lokal elemen x adalah 270° , sehingga:

Matriks transformasi $[R]$:

$$[R] = \begin{bmatrix} 0 & -1 & 0 & 0 & 0 & 0 \\ 1 & 0 & 0 & 0 & 0 & 0 \\ 0 & 0 & 1 & 0 & 0 & 0 \\ 0 & 0 & 0 & 0 & -1 & 0 \\ 0 & 0 & 0 & 1 & 0 & 0 \\ 0 & 0 & 0 & 0 & 0 & 1 \end{bmatrix}$$

Matriks kekakuan lokal $[k]$:

Dimana:

$$\frac{EA}{L} = \frac{2 \times 10^9 \times 0,196349541}{5} = 78539816,34$$

$$\frac{12EI}{L^3(1+\Phi_y)} = \frac{12 \times 2 \times 10^9 \times 0,003067962}{5^3 \times (1+0,02)} = 577498,65$$

$$\frac{6EI}{L^2(1+\Phi)} = \frac{6 \times 2 \times 10^9 \times 0,003067962}{5^2 \times (1+0,02)} = 1443746,62$$

$$\frac{(4+\Phi_y)EI}{L(1+\Phi_y)} = \frac{(4+0,02) \times 2 \times 10^9 \times 0,003067962}{5 \times (1+0,02)} = 4836551,19$$

$$\frac{(2-\Phi_y)EI}{L(1+\Phi_y)} = \frac{(2-0,02) \times 2 \times 10^9 \times 0,003067962}{5 \times (1+0,02)} = 2382181,93$$

$$[k] = \begin{bmatrix} 78539816,34 & 0 & 0 & -78539816,34 & 0 & 0 \\ 0 & 577498,65 & 1443746,62 & 0 & -577498,65 & 1443746,62 \\ 0 & 1443746,62 & 4836551,19 & 0 & -1443746,62 & 2382181,93 \\ -78539816,34 & 0 & 0 & 78539816,34 & 0 & 0 \\ 0 & -577498,65 & -1443746,62 & 0 & 577498,65 & -1443746,62 \\ 0 & 1443746,62 & 2382181,93 & 0 & -1443746,62 & 4836551,19 \end{bmatrix}$$

Matriks kekakuan global $[K] = [R]^T [k] R$

$$[K] = \begin{bmatrix} 577498,65 & 0 & 1443746,62 & -577498,65 & 0 & 1443746,62 \\ 0 & 78539816,34 & 0 & 0 & -78539816,34 & 0 \\ 1443746,62 & 0 & 4836551,19 & -1443746,62 & 0 & 2382181,93 \\ -577498,65 & 0 & -1443746,62 & 577498,65 & 0 & -1443746,62 \\ 0 & -78539816,34 & 0 & 0 & 78539816,34 & 0 \\ 1443746,62 & 0 & 2382181,93 & -1443746,62 & 0 & 4836551,19 \end{bmatrix}$$

Setelah dilakukan *boundary condition*, dan penggabungan matriks ketiga elemen tersebut maka dihasilkan $[K_S]$ sebagai berikut:

$$[K_S] = \begin{bmatrix} 60577498,65 & 0 & 1443746,62 & -60000000 & 0 & 0 \\ 0 & 79123020,09 & 1458009,38 & 0 & -583203,75 & 1458009,38 \\ 1443746,62 & 1458009,38 & 9731574,68 & 0 & -1458009,38 & 2395023,41 \\ -60000000 & 0 & 0 & 60577498,65 & 0 & 1443746,62 \\ 0 & -583203,75 & -1458009,38 & 0 & 79123020,09 & -1458009,38 \\ 0 & 1458009,38 & 2395023,41 & 1443746,62 & -1458009,38 & 9731574,68 \end{bmatrix}$$

Matriks displacement global didapat dari $\{U\} = [K_S]^{-1}\{P\}$ yaitu:

$$\begin{bmatrix} d_{2x} \\ d_{2y} \\ \phi_2 \\ d_{3x} \\ d_{3y} \\ \phi_3 \end{bmatrix} = \begin{bmatrix} 60577498,65 & 0 & 1443746,62 & -60000000 & 0 & 0 \\ 0 & 79123020,09 & 1458009,38 & 0 & -583203,75 & 1458009,38 \\ 1443746,62 & 1458009,38 & 9731574,68 & 0 & -1458009,38 & 2395023,41 \\ -60000000 & 0 & 0 & 60577498,65 & 0 & 1443746,62 \\ 0 & -583203,75 & -1458009,38 & 0 & 79123020,09 & -1458009,38 \\ 0 & 1458009,38 & 2395023,41 & 1443746,62 & -1458009,38 & 9731574,68 \end{bmatrix}^{-1} \begin{bmatrix} 750 \\ -45000 \\ -36875 \\ 0 \\ -45000 \\ 37500 \end{bmatrix}$$

Penyelesaian persamaan menghasilkan *displacement global*:

$$\begin{Bmatrix} d_{2x} \\ d_{2y} \\ \phi_2 \\ d_{3x} \\ d_{3y} \\ \phi_3 \end{Bmatrix} = \begin{Bmatrix} 0,0009 \\ -0,00057 \\ -0,0052 \\ 0,00077 \\ -0,00058 \\ 0,005 \end{Bmatrix}$$

Sehingga didapatkan pada reaksi perletakan:

$$\begin{Bmatrix} F_{X1} \\ F_{Y1} \\ M_{Z1} \\ F_{X4} \\ F_{Y4} \\ M_{Z4} \end{Bmatrix} = \begin{Bmatrix} 6174,3 \\ 44786,5 \\ -10358,8 \\ -7674,3 \\ 45213,5 \\ 13041,1 \end{Bmatrix}$$

Sedangkan pada tiap elemennya sebagai berikut:

| Elemen 1 | Elemen 2 | Elemen 3 |
|-------------------------------------------------------------------------------------------------------------------------------------------------------------------------------------------|-----------------------------------------------------------------------------------------------------------------------------------------------------------------------------------------|-----------------------------------------------------------------------------------------------------------------------------------------------------------------------------------------|
| $\begin{Bmatrix} f_{x1} \\ f_{y1} \\ m_{z1} \\ f_{x2} \\ f_{y2} \\ m_{z2} \end{Bmatrix} = \begin{Bmatrix} 44786,5 \\ -6174,3 \\ -10358,8 \\ -44786,5 \\ 7674,3 \\ -24262,7 \end{Bmatrix}$ | $\begin{Bmatrix} f_{x2} \\ f_{y2} \\ m_{z2} \\ f_{x3} \\ f_{y3} \\ m_{z3} \end{Bmatrix} = \begin{Bmatrix} 7674,3 \\ 44786,5 \\ 24262,7 \\ -7674,3 \\ 45213,5 \\ -25330,3 \end{Bmatrix}$ | $\begin{Bmatrix} f_{x3} \\ f_{y3} \\ m_{z3} \\ f_{x4} \\ f_{y4} \\ m_{z4} \end{Bmatrix} = \begin{Bmatrix} 45213,5 \\ 7674,3 \\ 25330,4 \\ -45213,5 \\ -7674,3 \\ 13041,1 \end{Bmatrix}$ |

- Perhitungan analisa balok lentur

Apabila *user* menginginkan menggunakan tulangan ganda maka perhitungan tulangan pada elemen 2 adalah :

➢ Ujung tepi kiri :

$$M_u = 1,74 \times 10^8 \text{ N mm}$$

$$M_n = 2,174 \times 10^8 \text{ N mm}$$

$$d = 500 - 50 - \frac{24}{2} = 437,5 \text{ mm}$$

$$R_n = \frac{M_n}{bd^2} = \frac{2,35 \times 10^8}{300 \times 437,5^2} = 4,09 \text{ N/mm}^2$$

$$m = \frac{f_y}{0,85 f'_c} = \frac{400}{0,85 \times 17,4} = 27,04$$

$$\rho_{\text{perlu}} = 0,011$$

$$\rho_{\text{min}} = 0,0035$$

Gunakan $\rho = 0,011$ maka $A_{s\text{perlu}} = 1462,5 \text{ mm}^2$ maka tulangan tarik yang digunakan 4 D-24. Asumsi *user* memberi input pada rasio sebesar 0,5 maka banyaknya tulangan tekan yang dibutuhkan sebanyak 2 D-24.

Dengan proses iterasi pada kesetimbangan gaya didapatkan :

$$c = 112,094 \text{ mm}$$

$$\sum H = 0$$

$$-C_c + A'_s f'_s + A_s f_s$$

$$-\left(0,85 \times f'_c \times b \times a\right) + \left(2 \times \frac{1}{4} \times \pi \times 24^2 \times f'_s\right) + \left(4 \times \frac{1}{4} \times \pi \times 24^2 \times f_s\right)$$

$$-\left(0,85 \times 17,4 \times 300 \times 95,28\right) + \left(904,78 \times -332,37\right) + \left(1809,56 \times 400\right)$$

$$\sum H = 0 \text{ (terbukti)}$$

$$\begin{aligned}
 M_n &= C_c \left(\frac{h}{2} - \frac{a}{2} \right) + A'_s f'_s \left(\frac{h}{2} - d' \right) + A_s f_s \left(d - \frac{h}{2} \right) \\
 &= 423104 \left(\frac{500}{2} - \frac{95,28}{2} \right) + 300719 \left(\frac{500}{2} - 62 \right) + 723823 \left(438 - \frac{500}{2} \right) \\
 &= 278.233.227
 \end{aligned}$$

Nilai ϕ diambil dari Gambar 2.17 didapat 0,8 sehingga
 $\phi M_n = 222.586.581 \text{ N mm} = 222,59 \text{ KN m}$

Jarak antar tulangan

$$s = \frac{300 - 100 - 4 \times 24}{3} = 34,7 \text{ mm}$$

$$s' = \frac{300 - 100 - 2 \times 24}{1} = 152 \text{ mm}$$

Panjang penyaluran

$$\text{Tarik} = \frac{l_d}{d_b} = \frac{9f_y}{10\sqrt{f'_c}} \frac{\alpha\beta\gamma\lambda}{\left(\frac{c+K_{tr}}{d_b}\right)}$$

$$\frac{l_d}{24} = \frac{9 \times 400}{10 \times \sqrt{17,4}} \frac{1 \times 1 \times 1 \times 1}{\left(\frac{112,094 + 521,5}{24} \right)}$$

$$l_d = 78,46 \text{ mm}$$

$$\text{Tekan} = \begin{cases} l_d = \frac{d_b f_y}{4\sqrt{f'_c}} = \frac{24 \times 400}{4 \times \sqrt{17,4}} = 575,35 \text{ mm (menentukan)} \\ l_d = 0,04 d_b f_y = 0,04 \times 24 \times 400 = 384 \text{ mm} \end{cases}$$

➤ Tengah bentang :

$$M_u = 3,08 \times 10^8 \text{ N mm}$$

$$M_n = 3,85 \times 10^8 \text{ N mm}$$

$$d = 500 - 50 - \frac{24}{2} = 438 \text{ mm}$$

$$R_n = \frac{M_n}{bd^2} = \frac{3,85 \times 10^8}{300 \times 438^2} = 6,7 \text{ N/mm}^2$$

$$m = \frac{f_y}{0,85 f'_c} = \frac{400}{0,85 \times 17,4} = 27,04$$

$$\rho_{\text{perlu}} = 0,0256$$

$$\rho_{\text{min}} = 0,0035$$

Gunakan $\rho = 0,0256$ maka $A_{s \text{ perlu}} = 3368,3 \text{ mm}^2$ maka tulangan tarik yang digunakan 8 D-24. Asumsi user memberi input pada rasio sebesar 0,5 maka banyaknya tulangan tekan yang dibutuhkan sebanyak 4 D-24.

Karena apabila 8 tulangan jarak antar tulangan tidak memenuhi, maka dihitung sampai jarak antar tulangan memenuhi dan dibuat dalam dua baris sehingga ditemukan tulangan dalam dua baris tiap baris terdapat empat tulangan.

Dengan proses iterasi pada kesetimbangan gaya didapatkan :

$$c = 191,764 \text{ mm}$$

$$\sum H = 0$$

$$-C_c + A'_s f'_s + A_{s1} f_{s1} + A_{s2} f_{s2}$$

$$-\left(0,85 \times f'_c \times b \times a\right) + \left(4 \times \frac{1}{4} \times \pi \times 24^2 \times f'_s\right) + 2\left(4 \times \frac{1}{4} \times \pi \times 24^2 \times f_{s1}\right)$$

$$-(0,85 \times 17,4 \times 300 \times 163) + (1809,557 \times -400) + 2(1809,56 \times 400)$$

$$\sum H = 0 \text{ (terbukti)}$$



$$\begin{aligned}
 M_n &= C_c \left(\frac{h}{2} - \frac{a}{2} \right) + A'_s f'_s \left(\frac{h}{2} - d' \right) + A_s f_s \left(d - \frac{h}{2} \right) \\
 &= 423104 \left(\frac{500}{2} - \frac{95,28}{2} \right) + 300719 \left(\frac{500}{2} - 62 \right) + 723823 \left(438 - \frac{500}{2} \right) + \\
 &\quad 723823 \left(438 - \frac{500}{2} - 25 \right) \\
 &= 503.419.003
 \end{aligned}$$

Nilai ϕ diambil dari Gambar 2.17 didapat 0,742 sehingga
 $\phi M_n = 373.843.292 \text{ N mm} = 373,84 \text{ KN m}$

Jarak antar tulangan

$$s = \frac{300 - 100 - 4 \times 24}{3} = 34,7 \text{ mm}$$

$$s' = \frac{300 - 100 - 4 \times 24}{3} = 34,7 \text{ mm}$$

Panjang penyaluran

$$\text{Tarik} = \frac{l_d}{d_b} = \frac{9f_y}{10\sqrt{f'_c}} \left(\frac{\alpha\beta\gamma\lambda}{c + K_{tr}} \right)$$

$$\frac{l_d}{24} = \frac{9 \times 400}{10 \times \sqrt{17,4}} \left(\frac{1 \times 1 \times 1 \times 1}{24} \right)$$

$$l_d = 47,66 \text{ mm}$$

$$\text{Tekan} = \begin{cases} l_d = \frac{d_b f_y}{4 \sqrt{f'_c}} = \frac{24 \times 400}{4 \times \sqrt{17,4}} = 575,35 \text{ mm (menentukan)} \\ l_d = 0,04 d_b f_y = 0,04 \times 24 \times 400 = 384 \text{ mm} \end{cases}$$

➤ Ujung tepi kanan :

$$M_u = 1,83 \times 10^8 \text{ N mm}$$

$$M_n = 2,29 \times 10^8 \text{ N mm}$$

$$d = 500 - 50 - \frac{24}{2} = 438 \text{ mm}$$

$$R_n = \frac{M_n}{bd^2} = \frac{2,29 \times 10^8}{300 \times 438^2} = 3,98 \text{ N/mm}^2$$

$$m = \frac{f_y}{0,85f'_c} = \frac{400}{0,85 \times 17,4} = 27,04$$

$$\rho_{\text{perlu}} = 0,012$$

$$\rho_{\text{min}} = 0,0035$$

Gunakan $\rho = 0,012$ maka $A_{s,\text{perlu}} = 1556,8 \text{ mm}^2$ maka tulangan tarik yang digunakan 4 D-24. Asumsi user memberi input pada rasio sebesar 0,5 maka banyaknya tulangan tekan yang dibutuhkan sebanyak 2 D-24.

Dengan proses iterasi pada kesetimbangan gaya didapatkan :

$$c = 112,094 \text{ mm}$$

$$\sum H = 0$$

$$-C_c + A'_s f'_s + A_s f_s$$

$$-(0,85 \times f'_c \times b \times a) + \left(2 \times \frac{1}{4} \times \pi \times 24^2 \times f'_s \right) + \left(4 \times \frac{1}{4} \times \pi \times 24^2 \times f_s \right)$$

$$-(0,85 \times 17,4 \times 300 \times 95,28) + (904,78 \times -332,37) + (1809,56 \times 400)$$

$$\sum H = 0 \text{ (terbukti)}$$

$$M_n = C_c \left(\frac{h}{2} - \frac{a}{2} \right) + A'_s f'_s \left(\frac{h}{2} - d' \right) + A_s f_s \left(d - \frac{h}{2} \right)$$

$$= 423104 \left(\frac{500}{2} - \frac{95,28}{2} \right) + 300719 \left(\frac{500}{2} - 62 \right) + 723823 \left(438 - \frac{500}{2} \right)$$

$$= 278.233.227$$

Nilai ϕ diambil dari Gambar 2.17 didapat 0,8 sehingga
 $\phi M_n = 222.586.581 \text{ N mm} = 222,59 \text{ KN m}$

Jarak antar tulangan

$$s = \frac{300 - 100 - 4 \times 24}{3} = 34,7 \text{ mm}$$

$$s' = \frac{300 - 100 - 2 \times 24}{1} = 152 \text{ mm}$$

Panjang penyaluran

$$\text{Tarik} = \frac{l_d}{d_b} = \frac{9f_y}{10\sqrt{f'_c}} \left(\frac{\alpha\beta\gamma\lambda}{c + K_{tr}} \right)$$

$$\frac{l_d}{24} = \frac{9 \times 400}{10 \times \sqrt{17,4}} \left(\frac{1 \times 1 \times 1 \times 1}{\frac{112,094 + 521,5}{24}} \right)$$

$$l_d = 78,46 \text{ mm}$$

$$\text{Tekan} = \begin{cases} l_d = \frac{d_b f_y}{4\sqrt{f'_c}} = \frac{24 \times 400}{4 \times \sqrt{17,4}} = 575,35 \text{ mm (menentukan)} \\ l_d = 0,04 d_b f_y = 0,04 \times 24 \times 400 = 384 \text{ mm} \end{cases}$$

5.2.2. Perhitungan dengan SAP2000 (lengkap lihat Lampiran)

Dengan menginputkan data-data yang ada, maka *output* yang ditampilkan pada program bantu profesional SAP2000 yaitu:

Displacement pada joint atau titik nodal:

| Joint | U_1 | U_2 | U_3 | R_1 | R_2 | R_3 |
|-------|---------|-------|----------|-------|---------|-------|
| 1 | 0 | 0 | 0 | 0 | 0 | 0 |
| 2 | 0,0009 | 0 | -0,00057 | 0 | -0,0052 | 0 |
| 3 | 0 | 0 | 0 | 0 | 0 | 0 |
| 4 | 0,00077 | 0 | -0,00058 | 0 | 0,005 | 0 |

Reaksi pada perletakan:

| Joint | F_1 | F_2 | F_3 | M_1 | M_2 | M_3 |
|-------|---------|-------|---------|-------|----------|-------|
| 1 | 6174,3 | 0 | 44786,5 | 0 | -10358,8 | 0 |
| 3 | -7674,3 | 0 | 45213,5 | 0 | 13041,1 | 0 |

Reaksi pada masing-masing elemen:

| Elemen 1 | Elemen 2 | Elemen 3 |
|---------------------------------------------------------------------------------------------------------------------------|---------------------------------------------------------------------------------------------------------------------------|---------------------------------------------------------------------------------------------------------------------------|
| $\begin{pmatrix} f_{x1} \\ f_{y1} \\ m_{z1} \end{pmatrix} = \begin{pmatrix} 44786,5 \\ -6174,3 \\ -10358,8 \end{pmatrix}$ | $\begin{pmatrix} f_{x1} \\ f_{y1} \\ m_{z1} \end{pmatrix} = \begin{pmatrix} 7674,3 \\ 44786,5 \\ 24262,7 \end{pmatrix}$ | $\begin{pmatrix} f_{x1} \\ f_{y1} \\ m_{z1} \end{pmatrix} = \begin{pmatrix} 45213,5 \\ 7674,3 \\ 25330,3 \end{pmatrix}$ |
| $\begin{pmatrix} f_{x2} \\ f_{y2} \\ m_{z2} \end{pmatrix} = \begin{pmatrix} -44786,5 \\ 7674,3 \\ -24262,7 \end{pmatrix}$ | $\begin{pmatrix} f_{x2} \\ f_{y2} \\ m_{z2} \end{pmatrix} = \begin{pmatrix} -7674,3 \\ 45213,5 \\ -25330,3 \end{pmatrix}$ | $\begin{pmatrix} f_{x2} \\ f_{y2} \\ m_{z2} \end{pmatrix} = \begin{pmatrix} -45213,5 \\ -7674,3 \\ 13041,1 \end{pmatrix}$ |

5.2.3. Perhitungan dengan SFAP

Terbagi menjadi dua proses yaitu proses *input* dan proses *output*. Dimana proses *input* itu adalah: (Gambar lihat lampiran)

Input 1: General Information (Input > General Information)

Project name : Plane Frame2

Units : kg, m

Input 2: Material Properties (Input > Define Material Properties)

Material name : Concrete

Modulus of elasticity : 2000000000

Poisson's ratio : 0.2

Input 3: Section Properties (Input > Define Section Properties)

Section name : Beam

Section wizard

Select frame section : Rectangular

Depth : 0.5

Width : 0.3

Section name : Column

Section wizard

Select frame section : Circular

Diameter : 0.5

Input 4: Reinforcement Properties (Input > Assign Reinforcement List>Beam)

Type : D-24

f_y : 400

f_{yy} : 400

Ratio : 0,5

Input 5: Reinforcement Properties (Input > Assign Reinforcement List>Column)

Diameter of bar : 19

Decking : 40

f_y : 400

E_s : 200000

Input 6: Nodal Coordinates (Input > Nodal Coordinates)

Nodal 1: X = 0; Y = 0; Z = 0

Nodal 2: X = 0; Y = 5; Z = 0

Nodal 3: X = 5; Y = 5; Z = 0

Nodal 4: X = 5; Y = 0; Z = 0

*Input 7: Frame Properties (Input > Frame Properties)**Frame 1: Start joint: 1; End joint: 2; Section: Column**Frame 2: Start joint: 2; End joint: 3; Section: Beam**Frame 3: Start joint: 3; End joint: 4; Section: Column**Input 8: Joint Restraint (Input > Assign Joint Restraint)**Label 1: Fast Restraint : Fixed**Label 4: Fast Restraint : Fixed**Input 9: Distributed Load (Input > Distributed Frame Loads)**Frame label 1: Force global X : 300**Frame label 2: Force global Y : -18000*

Proses output: (lengkap lihat Lampiran)

*Output 1: Nodal Displacement**Nodal 2: Translation X = 0,0009 m**Translation Y = -0,00057 m**Rotation Z = -0,0052 rad**Nodal 3: Translation X = 0,00077 m**Translation Y = -0,00058 m**Rotation Z = 0,005 rad**Output 2: Support Reaction**Nodal 1: F_x = 6.174,3 kg* *F_y = 44.786,5 kg* *M_z = -10.358,8 kgm**Nodal 4: F_x = -7.674,3 kg* *F_y = 45.213,5 kg* *M_z = 13.041,1 kgm*

Output 3: Element Force

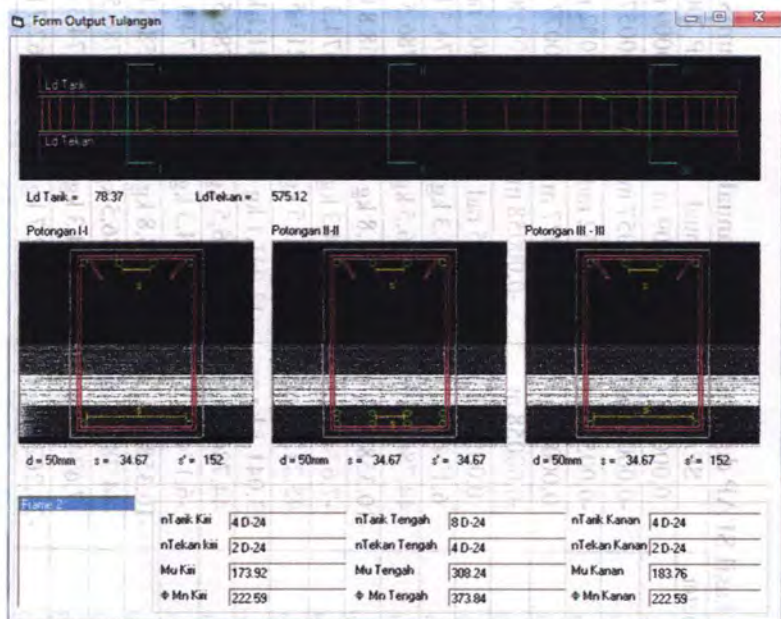
| | | |
|-----------------|----------|-----------------|
| <i>Frame 1:</i> | f_{x1} | = 44.786,5 kg |
| | f_{y1} | = -6.174,3 kg |
| | m_{z1} | = -10.358,8 kgm |
| | f_{x2} | = -44.786,5 kg |
| | f_{y2} | = 7.674,3 kg |
| | m_{z2} | = -24.262,7 kgm |
| <i>Frame 2:</i> | f_{x1} | = 7.674,3 kg |
| | f_{y1} | = 44.786,5 kg |
| | m_{z1} | = 24.262,7 kgm |
| | f_{x2} | = -7.674,3 kg |
| | f_{y2} | = 45.213,5 kg |
| | m_{z2} | = -25.330,3 kgm |
| <i>Frame 3:</i> | f_{x1} | = 45.213,5 kg |
| | f_{y1} | = 7.674,3 kg |
| | m_{z1} | = 25.330,3 kgm |
| | f_{x2} | = -45.213,5 kg |
| | f_{y2} | = -7.674,3 kg |
| | m_{z2} | = 13.041,1 kgm |

*Output 4: Beam Reinforcement**Case 1*

| | | |
|-----------------|---------------------------|---------------|
| <i>Frame 2:</i> | n tulangan tarik kiri | : 4 D-24 |
| | n tulangan tekan kiri | : 2 D-24 |
| | M_u kiri | : 173,92 KN m |
| | ϕM_n kiri | : 222,59 KN m |
| | n tulangan tarik tengah | : 8 D-24 |
| | n tulangan tekan tengah | : 4 D-24 |
| | M_u tengah | : 308,24 KN m |

| | |
|--------------------------|---------------|
| ϕM_n tengah | : 373,84 KN m |
| n tulangan tarik kanan | : 4 D-24 |
| n tulangan tekan kanan | : 2 D-24 |
| M_u kanan | : 183,76 KN m |
| ϕM_n kanan | : 222,59 KN m |

Output 5: Gambar tulangan dilengkapi jarak antar tulangan dan panjang penyaluran sebagaimana ditunjukkan pada Gambar 5.5.



Gambar 5.5. Tampilan *output* pada kasus 2

Tabel 5.3. Perbandingan hasil SFAP dengan hitungan manual dan program SAP 2000 kasus 2

| Analisa Struktur | Parameter | SFAP | Manual | SAP 2000 | Selisih |
|--------------------|----------------|----------------|----------------|----------------|---------|
| Displacement | d_{x_2} | 0,0009 m | 0,0009 m | 0,0009 m | 0 |
| | d_{y_2} | -0,00057 m | -0,00057 m | -0,00057 m | 0 |
| | θ_{z_2} | -0,0052 rad | -0,0052 rad | -0,0052 rad | 0 |
| | d_{x_3} | 0,00077 m | 0,00077 m | 0,00077 m | 0 |
| | d_{y_3} | -0,00058 m | -0,00058 m | -0,00058 m | 0 |
| | θ_{z_3} | 0,005 rad | 0,005 rad | 0,005 rad | 0 |
| Reaksi Perletakan | F_{x_1} | 6.174,3 kg | 6.174,3 kg | 6.174,3 kg | 0 |
| | F_{y_1} | 44.786,5 kg | 44.786,5 kg | 44.786,5 kg | 0 |
| | M_{z_1} | -10.358,8 kg m | -10.358,8 kg m | -10.358,8 kg m | 0 |
| | F_{x_4} | -7.674,3 kg | -7.674,3 kg | -7.674,3 kg | 0 |
| | F_{y_4} | 45.213,5 kg | 45.213,5 kg | 45.213,5 kg | 0 |
| | M_{z_4} | 13.041,1 kg m | 13.041,1 kg m | 13.041,1 kg m | 0 |
| Reaksi Elemen 1 | f_{x_1} | 44.786,5 kg | 44.786,5 kg | 44.786,5 kg | 0 |
| | f_{y_1} | -6.174,3 kg | -6.174,3 kg | -6.174,3 kg | 0 |
| | m_{z_1} | -10.358,8 kg m | -10.358,8 kg m | -10.358,8 kg m | 0 |
| | f_{x_2} | -44.786,5 kg | -44.786,5 kg | -44.786,5 kg | 0 |
| | f_{y_2} | 7.674,3 kg | 7.674,3 kg | 7.674,3 kg | 0 |
| | m_{z_2} | -24.262,7 kg m | -24.262,7 kg m | -24.262,7 kg m | 0 |

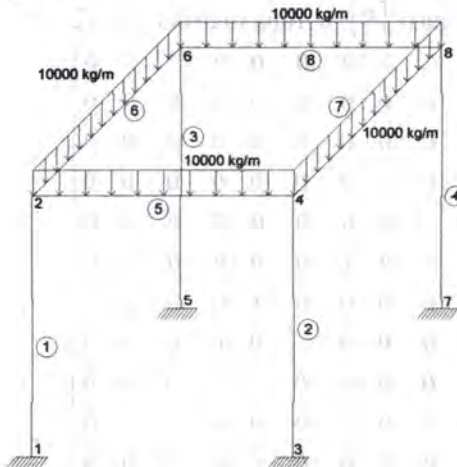
| Analisa Struktur | | Parameter | SFAP | Manual | SAP 2000 | Selisih |
|------------------|---|-----------|----------------|----------------|----------------|---------|
| Reaksi Elemen | 2 | f_{x1} | 7.674,3 kg | 7.674,3 kg | 7.674,3 kg | 0 |
| | | f_{y1} | 44.786,5 kg | 44.786,5 kg | 44.786,5 kg | 0 |
| | | m_{z1} | 24.262,7 kg m | 24.262,7 kg m | 24.262,7 kg m | 0 |
| | | f_{x2} | -7.674,3 kg | -7.674,3 kg | -7.674,3 kg | 0 |
| | | f_{y2} | 45.213,5 kg | 45.213,5 kg | 45.213,5 kg | 0 |
| | | m_{z2} | -25.330,3 kg m | -25.330,3 kg m | -25.330,3 kg m | 0 |
| | 3 | f_{x1} | 45.213,5 kg | 45.213,5 kg | 45.213,5 kg | 0 |
| | | f_{y1} | 7.674,3 kg | 7.674,3 kg | 7.674,3 kg | 0 |
| | | m_{z1} | 25.330,3 kg m | 25.330,3 kg m | 25.330,3 kg m | 0 |
| | | f_{x2} | -45.213,5 kg | -45.213,5 kg | -45.213,5 kg | 0 |
| | | f_{y2} | -7.674,3 kg | -7.674,3 kg | -7.674,3 kg | 0 |
| | | m_{z2} | 13.041,1 kg m | 13.041,1 kg m | 13.041,1 kg m | 0 |

Tabel 5.4. Perbandingan hasil SFAP dengan hitungan manual
kasus 2

| Analisa Lentur | Parameter | SFAP | Manual | Selisih |
|----------------|-------------------|-------------|-------------|---------|
| Frame 2 | n Tarik Kiri | 4 D-24 | 4 D-24 | 0 |
| | n Tekan Kiri | 2 D-24 | 2 D-24 | 0 |
| | M_u Kiri | 173,92 KN m | 173,92 KN m | 0 |
| | ϕM_n Kiri | 222,59 KN m | 222,59 KN m | 0 |
| | n Tarik Tengah | 8 D-24 | 8 D-24 | 0 |
| | n Tekan Tengah | 4 D-24 | 4 D-24 | 0 |
| | M_u Tengah | 308,24 KN m | 308,24 KN m | 0 |
| | ϕM_n Tengah | 373,84 KN m | 373,84 KN m | 0 |
| | n Tarik Kanan | 4 D-24 | 4 D-24 | 0 |
| | n Tekan Kanan | 2 D-24 | 2 D-24 | 0 |
| | M_u Kanan | 183,76 KN m | 183,76 KN m | 0 |
| | ϕM_n Kanan | 222,59 KN m | 222,59 KN m | 0 |

5.3. Kasus 3 – Space Frame 1

Diambil contoh sederhana *space frame* ini disebabkan agar perhitungan juga dapat dibandingkan dengan perhitungan manual dengan bantuan *Microsoft Excel* dengan beban yang diberikan hanya berupa beban merata vertikal serta pengaruh geser diperhitungkan.



Gambar 5.6. Kasus 3 – Space Frame 1

Diketahui:

Kuat tekan beton, f'_c = 30 MPa

Poisson Ratio, ν = 0,2

Dimensi balok = 400×600 mm

Dimensi kolom = 600×600 mm

Diameter tulangan longitudinal dan geser = D-13 dan Ø10

Kuat leleh tulangan, f_y = 400 MPa

Decking = 40 mm

5.3.1. Perhitungan manual

- Perhitungan analisa struktur

Elemen 1, 2, 3, dan 4

Pada elemen 1, 2, 3, dan 4, sudut antara sumbu global struktur X dan sumbu lokal elemen x adalah 90° , sehingga:

Matriks transformasi $[R]$: berupa matriks 12×12

$$[R] = \begin{bmatrix} 0 & 1 & 0 & 0 & 0 & 0 & 0 & 0 & 0 & 0 & 0 & 0 \\ -1 & 0 & 0 & 0 & 0 & 0 & 0 & 0 & 0 & 0 & 0 & 0 \\ 0 & 0 & 1 & 0 & 0 & 0 & 0 & 0 & 0 & 0 & 0 & 0 \\ 0 & 0 & 0 & 0 & 1 & 0 & 0 & 0 & 0 & 0 & 0 & 0 \\ 0 & 0 & 0 & -1 & 0 & 0 & 0 & 0 & 0 & 0 & 0 & 0 \\ 0 & 0 & 0 & 0 & 0 & 1 & 0 & 0 & 0 & 0 & 0 & 0 \\ 0 & 0 & 0 & 0 & 0 & 0 & 0 & 1 & 0 & 0 & 0 & 0 \\ 0 & 0 & 0 & 0 & 0 & 0 & -1 & 0 & 0 & 0 & 0 & 0 \\ 0 & 0 & 0 & 0 & 0 & 0 & 0 & 0 & 0 & 1 & 0 & 0 \\ 0 & 0 & 0 & 0 & 0 & 0 & 0 & 0 & 0 & 0 & 0 & -1 \\ 0 & 0 & 0 & 0 & 0 & 0 & 0 & 0 & 0 & 0 & 0 & 1 \end{bmatrix}$$

$$I_z = I_y = \frac{1}{12} \times 0,6^4 = 0,0108$$

$$\Phi_z = \frac{12EI_z}{GA_{shr}L^2} = \frac{12 \times 2,625 \times 10^9 \times 0,0108}{1,09 \times 10^9 \times 0,3 \times 5^2} = 0,04$$

$$\Phi_y = \frac{12EI_y}{GA_{shr}L^2} = \frac{12 \times 2,625 \times 10^9 \times 0,0108}{1,09 \times 10^9 \times 0,3 \times 5^2} = 0,04$$

$$k_a = \frac{EA}{L} = \frac{2,625 \times 10^9 \times 0,36}{5} = 1,9 \times 10^8$$

$$k_t = \frac{GJ}{L} = \frac{1,09 \times 10^9 \times 0,018}{5} = 4 \times 10^6$$

$$k_{z1} = \frac{12EI_z}{L^3(1+\Phi_y)} = \frac{12 \times 2,625 \times 10^9 \times 0,0108}{5^3 \times (1+0,04)} = 2,6 \times 10^6$$

$$k_{z2} = \frac{6EI_z}{L^2(1+\Phi_y)} = \frac{6 \times 2,625 \times 10^9 \times 0,0108}{5^2 \times (1+0,04)} = 6,5 \times 10^6$$

$$k_{z3} = \frac{(4+\Phi_y)EI_z}{L(1+\Phi_y)} = \frac{(4+0,04) \times 2,625 \times 10^9 \times 0,0108}{5 \times (1+0,04)} = 2,2 \times 10^7$$

$$k_{z4} = \frac{(2-\Phi_y)EI_z}{L(1+\Phi_y)} = \frac{(2-0,04) \times 2,625 \times 10^9 \times 0,0108}{5 \times (1+0,04)} = 1,1 \times 10^7$$

$$k_{y1} = \frac{12EI_y}{L^3(1+\Phi_z)} = \frac{12 \times 2,625 \times 10^9 \times 0,0108}{5^3 \times (1+0,04)} = 2,6 \times 10^6$$

$$k_{y2} = \frac{6EI_y}{L^2(1+\Phi_z)} = \frac{6 \times 2,625 \times 10^9 \times 0,0108}{5^2 \times (1+0,04)} = 6,5 \times 10^6$$

$$k_{y3} = \frac{(4+\Phi_z)EI_y}{L(1+\Phi_z)} = \frac{(4+0,04) \times 2,625 \times 10^9 \times 0,0108}{5 \times (1+0,04)} = 2,2 \times 10^7$$

$$k_{y4} = \frac{(2-\Phi_z)EI_y}{L(1+\Phi_z)} = \frac{(2-0,04) \times 2,625 \times 10^9 \times 0,0108}{5 \times (1+0,04)} = 1,1 \times 10^7$$

Sehingga matriks kekakuan lokal $[k]$ elemen 1, 2, 3, dan 4 serta matriks $[K]$ nya adalah sebagai berikut:

$$[k] = \begin{bmatrix} 1,9 \times 10^8 & 0 & 0 & 0 & 0 & 0 & -1,9 \times 10^8 & 0 & 0 & 0 & 0 & 0 \\ 0 & 2,6 \times 10^6 & 0 & 0 & 0 & 6,5 \times 10^6 & 0 & -2,6 \times 10^6 & 0 & 0 & 0 & 6,5 \times 10^6 \\ 0 & 0 & 2,6 \times 10^6 & 0 & -6,5 \times 10^6 & 0 & 0 & 0 & -2,6 \times 10^6 & 0 & -6,5 \times 10^6 & 0 \\ 0 & 0 & 0 & 4 \times 10^6 & 0 & 0 & 0 & 0 & 0 & -4 \times 10^6 & 0 & 0 \\ 0 & 0 & -6,5 \times 10^6 & 0 & 2,2 \times 10^7 & 0 & 0 & 0 & 6,5 \times 10^6 & 0 & 1,1 \times 10^7 & 0 \\ 0 & 6,5 \times 10^6 & 0 & 0 & 0 & 2,2 \times 10^7 & 0 & -6,5 \times 10^6 & 0 & 0 & 0 & 1,1 \times 10^7 \\ -1,9 \times 10^8 & 0 & 0 & 0 & 0 & 0 & 1,9 \times 10^8 & 0 & 0 & 0 & 0 & 0 \\ 0 & -2,6 \times 10^6 & 0 & 0 & 0 & -6,5 \times 10^6 & 0 & 2,6 \times 10^6 & 0 & 0 & 0 & -6,5 \times 10^6 \\ 0 & 0 & -2,6 \times 10^6 & 0 & 6,5 \times 10^6 & 0 & 0 & 0 & 2,6 \times 10^6 & 0 & 6,5 \times 10^6 & 0 \\ 0 & 0 & 0 & -4 \times 10^6 & 0 & 0 & 0 & 0 & 0 & 4 \times 10^6 & 0 & 0 \\ 0 & 0 & -6,5 \times 10^6 & 0 & 1,1 \times 10^7 & 0 & 0 & 0 & 6,5 \times 10^6 & 0 & 2,2 \times 10^7 & 0 \\ 0 & 6,5 \times 10^6 & 0 & 0 & 0 & 1,1 \times 10^7 & 0 & -6,5 \times 10^6 & 0 & 0 & 0 & 2,2 \times 10^7 \end{bmatrix}$$

$$[K] = \begin{bmatrix} 2,6 \times 10^6 & 0 & 0 & 0 & 0 & -6,5 \times 10^6 & -2,6 \times 10^6 & 0 & 0 & 0 & 0 & -6,5 \times 10^6 \\ 0 & 1,9 \times 10^8 & 0 & 0 & 0 & 0 & 0 & -1,9 \times 10^8 & 0 & 0 & 0 & 0 \\ 0 & 0 & 2,6 \times 10^6 & 6,5 \times 10^6 & 0 & 0 & 0 & 0 & -2,6 \times 10^6 & 6,5 \times 10^6 & 0 & 0 \\ 0 & 0 & 6,5 \times 10^6 & 2,2 \times 10^7 & 0 & 0 & 0 & 0 & -6,5 \times 10^6 & 1,1 \times 10^7 & 0 & 0 \\ 0 & 0 & 0 & 0 & 4,0 \times 10^4 & 0 & 0 & 0 & 0 & 0 & -4 \times 10^6 & 0 \\ -6,5 \times 10^6 & 0 & 0 & 0 & 0 & 2,2 \times 10^7 & 6,5 \times 10^6 & 0 & 0 & 0 & 0 & 1,1 \times 10^7 \\ -2,6 \times 10^6 & 0 & 0 & 0 & 0 & 6,5 \times 10^6 & 2,6 \times 10^6 & 0 & 0 & 0 & 0 & 6,5 \times 10^6 \\ 0 & -1,9 \times 10^8 & 0 & 0 & 0 & 0 & 0 & 1,9 \times 10^8 & 0 & 0 & 0 & 0 \\ 0 & 0 & -2,6 \times 10^6 & -6,5 \times 10^6 & 0 & 0 & 0 & 0 & 2,6 \times 10^6 & -6,5 \times 10^6 & 0 & 0 \\ 0 & 0 & 6,5 \times 10^6 & 1,1 \times 10^7 & 0 & 0 & 0 & 0 & -6,5 \times 10^6 & 2,2 \times 10^7 & 0 & 0 \\ 0 & 0 & 0 & 0 & -4,0 \times 10^6 & 0 & 0 & 0 & 0 & 0 & 4 \times 10^6 & 0 \\ -6,5 \times 10^6 & 0 & 0 & 0 & 0 & 1,1 \times 10^7 & 6,5 \times 10^6 & 0 & 0 & 0 & 0 & 2,2 \times 10^7 \end{bmatrix}$$

Elemen 5 dan 8

Pada elemen 5 dan 8, sudut antara sumbu global struktur X dan sumbu lokal elemen x adalah 90° diputar terhadap sumbu Y sehingga:

Matriks transformasi $[R]$: berupa matriks 12×12

$$[R] = \begin{bmatrix} 0 & 0 & 1 & 0 & 0 & 0 & 0 & 0 & 0 & 0 & 0 & 0 \\ 0 & 1 & 0 & 0 & 0 & 0 & 0 & 0 & 0 & 0 & 0 & 0 \\ -1 & 0 & 0 & 0 & 0 & 0 & 0 & 0 & 0 & 0 & 0 & 0 \\ 0 & 0 & 0 & 0 & 0 & 1 & 0 & 0 & 0 & 0 & 0 & 0 \\ 0 & 0 & 0 & 0 & 1 & 0 & 0 & 0 & 0 & 0 & 0 & 0 \\ 0 & 0 & 0 & -1 & 0 & 0 & 0 & 0 & 0 & 0 & 0 & 0 \\ 0 & 0 & 0 & 0 & 0 & 0 & 0 & 0 & 1 & 0 & 0 & 0 \\ 0 & 0 & 0 & 0 & 0 & 0 & 0 & 1 & 0 & 0 & 0 & 0 \\ 0 & 0 & 0 & 0 & 0 & 0 & -1 & 0 & 0 & 0 & 0 & 0 \\ 0 & 0 & 0 & 0 & 0 & 0 & 0 & 0 & 0 & 0 & 0 & 1 \\ 0 & 0 & 0 & 0 & 0 & 0 & 0 & 0 & 0 & 0 & 1 & 0 \\ 0 & 0 & 0 & 0 & 0 & 0 & 0 & 0 & 0 & -1 & 0 & 0 \end{bmatrix}$$

$$I_z = \frac{1}{12} \times 0,4 \times 0,6^3 = 0,0072$$

$$I_y = \frac{1}{12} \times 0,6 \times 0,4^3 = 0,0032$$

$$\Phi_z = \frac{12EI_z}{GA_{sh}L^2} = \frac{12 \times 2,625 \times 10^9 \times 0,0072}{1,09 \times 10^9 \times 0,2 \times 5^2} = 0,04$$

$$\Phi_y = \frac{12EI_y}{GA_{sh}L^2} = \frac{12 \times 2,625 \times 10^9 \times 0,0032}{1,09 \times 10^9 \times 0,2 \times 5^2} = 0,02$$

$$k_a = \frac{EA}{L} = \frac{2,625 \times 10^9 \times 0,24}{5} = 1,3 \times 10^8$$

$$k_t = \frac{GJ}{L} = \frac{1,09 \times 10^9 \times 0,0075}{5} = 1,6 \times 10^6$$

$$k_{z1} = \frac{12EI_z}{L^3(1+\Phi_y)} = \frac{12 \times 2,625 \times 10^9 \times 0,0072}{5^3 \times (1+0,02)} = 1,7 \times 10^6$$

$$k_{z2} = \frac{6EI_z}{L^2(1+\Phi_y)} = \frac{6 \times 2,625 \times 10^9 \times 0,0072}{5^2 \times (1+0,02)} = 4,4 \times 10^6$$

$$k_{z3} = \frac{(4+\Phi_y)EI_z}{L(1+\Phi_y)} = \frac{(4+0,02) \times 2,625 \times 10^9 \times 0,0072}{5 \times (1+0,02)} = 1,5 \times 10^7$$

$$k_{z4} = \frac{(2-\Phi_y)EI_z}{L(1+\Phi_y)} = \frac{(2-0,02) \times 2,625 \times 10^9 \times 0,0072}{5 \times (1+0,02)} = 7,1 \times 10^6$$

$$k_{y1} = \frac{12EI_y}{L^3(1+\Phi_z)} = \frac{12 \times 2,625 \times 10^9 \times 0,0032}{5^3 \times (1+0,04)} = 7,9 \times 10^5$$

$$k_{y2} = \frac{6EI_y}{L^2(1+\Phi_z)} = \frac{6 \times 2,625 \times 10^9 \times 0,0032}{5^2 \times (1+0,04)} = 2,0 \times 10^6$$

$$k_{y3} = \frac{(4+\Phi_z)EI_y}{L(1+\Phi_z)} = \frac{(4+0,04) \times 2,625 \times 10^9 \times 0,0032}{5 \times (1+0,04)} = 6,6 \times 10^6$$

$$k_{y4} = \frac{(2-\Phi_z)EI_y}{L(1+\Phi_z)} = \frac{(2-0,04) \times 2,625 \times 10^9 \times 0,0032}{5 \times (1+0,04)} = 3,3 \times 10^6$$

Sehingga matriks kekakuan lokal $[k]$ elemen 5 dan 8 serta matriks $[K]$ nya adalah sebagai berikut:

$$[k] = \begin{bmatrix} 1,3 \times 10^8 & 0 & 0 & 0 & 0 & 0 & -1,3 \times 10^8 & 0 & 0 & 0 & 0 & 0 \\ 0 & 1,7 \times 10^6 & 0 & 0 & 0 & 4,4 \times 10^6 & 0 & -1,7 \times 10^6 & 0 & 0 & 0 & 4,4 \times 10^6 \\ 0 & 0 & 7,9 \times 10^5 & 0 & -2,0 \times 10^6 & 0 & 0 & 0 & -7,9 \times 10^5 & 0 & -2,0 \times 10^6 & 0 \\ 0 & 0 & 0 & 1,6 \times 10^6 & 0 & 0 & 0 & 0 & 0 & -1,6 \times 10^6 & 0 & 0 \\ 0 & 0 & -2,0 \times 10^5 & 0 & 6,6 \times 10^6 & 0 & 0 & 0 & 2,0 \times 10^6 & 0 & 3,3 \times 10^6 & 0 \\ 0 & 4,4 \times 10^6 & 0 & 0 & 0 & 1,5 \times 10^7 & 0 & -4,4 \times 10^6 & 0 & 0 & 0 & 7,1 \times 10^6 \\ -1,3 \times 10^8 & 0 & 0 & 0 & 0 & 0 & 1,3 \times 10^8 & 0 & 0 & 0 & 0 & 0 \\ 0 & -1,7 \times 10^6 & 0 & 0 & 0 & -4,4 \times 10^6 & 0 & 1,7 \times 10^6 & 0 & 0 & 0 & -4,4 \times 10^6 \\ 0 & 0 & -7,9 \times 10^5 & 0 & 2,0 \times 10^6 & 0 & 0 & 0 & 7,9 \times 10^5 & 0 & 2,0 \times 10^6 & 0 \\ 0 & 0 & 0 & -1,6 \times 10^6 & 0 & 0 & 0 & 0 & 0 & 1,6 \times 10^6 & 0 & 0 \\ 0 & 0 & -2,0 \times 10^5 & 0 & 3,3 \times 10^6 & 0 & 0 & 0 & 2,0 \times 10^6 & 0 & 6,6 \times 10^6 & 0 \\ 0 & 4,4 \times 10^6 & 0 & 0 & 0 & 7,1 \times 10^6 & 0 & -4,4 \times 10^6 & 0 & 0 & 0 & 1,5 \times 10^7 \end{bmatrix}$$

$$[K] = \begin{bmatrix} 7,9 \times 10^5 & 0 & 0 & 0 & 2,0 \times 10^6 & 0 & -7,9 \times 10^5 & 0 & 0 & 0 & 2,0 \times 10^6 & 0 \\ 0 & 1,7 \times 10^6 & 0 & -4,4 \times 10^6 & 0 & 0 & 0 & -1,7 \times 10^6 & 0 & -4,4 \times 10^6 & 0 & 0 \\ 0 & 0 & 1,3 \times 10^8 & 0 & 0 & 0 & 0 & 0 & -1,3 \times 10^8 & 0 & 0 & 0 \\ 0 & -4,4 \times 10^6 & 0 & 1,5 \times 10^7 & 0 & 0 & 0 & 4,4 \times 10^6 & 0 & 7,1 \times 10^6 & 0 & 0 \\ 2,0 \times 10^6 & 0 & 0 & 0 & 6,6 \times 10^6 & 0 & -2,0 \times 10^6 & 0 & 0 & 0 & 3,3 \times 10^6 & 0 \\ 0 & 0 & 0 & 0 & 0 & 1,6 \times 10^6 & 0 & 0 & 0 & 0 & 0 & -1,6 \times 10^6 \\ -7,9 \times 10^5 & 0 & 0 & 0 & -2,0 \times 10^6 & 0 & 7,9 \times 10^5 & 0 & 0 & 0 & -2,0 \times 10^6 & 0 \\ 0 & -1,7 \times 10^6 & 0 & 4,4 \times 10^6 & 0 & 0 & 0 & 1,7 \times 10^6 & 0 & 4,4 \times 10^6 & 0 & 0 \\ 0 & 0 & -1,3 \times 10^8 & 0 & 0 & 0 & 0 & 0 & 1,3 \times 10^8 & 0 & 0 & 0 \\ 0 & -4,4 \times 10^6 & 0 & 7,1 \times 10^6 & 0 & 0 & 0 & 4,4 \times 10^6 & 0 & 1,5 \times 10^7 & 0 & 0 \\ 2,0 \times 10^6 & 0 & 0 & 0 & 3,3 \times 10^6 & 0 & -2,0 \times 10^6 & 0 & 0 & 0 & 6,6 \times 10^6 & 0 \\ 0 & 0 & 0 & 0 & 0 & 1,6 \times 10^6 & 0 & 0 & 0 & 0 & 0 & 1,6 \times 10^6 \end{bmatrix}$$

Elemen 6 dan 7

Pada elemen 6 dan 7, sudut antara sumbu global struktur X dan sumbu lokal elemen x adalah 0° diputar terhadap sumbu X sehingga:

Matriks transformasi $[R]$: berupa matriks 12×12

$$[R] = \begin{bmatrix} 1 & 0 & 0 & 0 & 0 & 0 & 0 & 0 & 0 & 0 & 0 & 0 \\ 0 & 1 & 0 & 0 & 0 & 0 & 0 & 0 & 0 & 0 & 0 & 0 \\ 0 & 0 & 1 & 0 & 0 & 0 & 0 & 0 & 0 & 0 & 0 & 0 \\ 0 & 0 & 0 & 1 & 0 & 0 & 0 & 0 & 0 & 0 & 0 & 0 \\ 0 & 0 & 0 & 0 & 1 & 0 & 0 & 0 & 0 & 0 & 0 & 0 \\ 0 & 0 & 0 & 0 & 0 & 1 & 0 & 0 & 0 & 0 & 0 & 0 \\ 0 & 0 & 0 & 0 & 0 & 0 & 1 & 0 & 0 & 0 & 0 & 0 \\ 0 & 0 & 0 & 0 & 0 & 0 & 0 & 1 & 0 & 0 & 0 & 0 \\ 0 & 0 & 0 & 0 & 0 & 0 & 0 & 0 & 1 & 0 & 0 & 0 \\ 0 & 0 & 0 & 0 & 0 & 0 & 0 & 0 & 0 & 1 & 0 & 0 \\ 0 & 0 & 0 & 0 & 0 & 0 & 0 & 0 & 0 & 0 & 1 & 0 \\ 0 & 0 & 0 & 0 & 0 & 0 & 0 & 0 & 0 & 0 & 0 & 1 \end{bmatrix}$$

$$I_z = \frac{1}{12} \times 0,4 \times 0,6^3 = 0,0072$$

$$I_y = \frac{1}{12} \times 0,6 \times 0,4^3 = 0,0032$$

$$\Phi_z = \frac{12EI_z}{GA_{shz}L^2} = \frac{12 \times 2,625 \times 10^9 \times 0,0072}{1,09 \times 10^9 \times 0,2 \times 5^2} = 0,04$$

$$\Phi_y = \frac{12EI_y}{GA_{shy}L^2} = \frac{12 \times 2,625 \times 10^9 \times 0,0032}{1,09 \times 10^9 \times 0,2 \times 5^2} = 0,02$$

$$k_a = \frac{EA}{L} = \frac{2,625 \times 10^9 \times 0,24}{5} = 1,3 \times 10^8$$

$$k_t = \frac{GJ}{L} = \frac{1,09 \times 10^9 \times 0,0075}{5} = 1,6 \times 10^6$$

$$k_{z1} = \frac{12EI_z}{L^3(1+\Phi_y)} = \frac{12 \times 2,625 \times 10^9 \times 0,0072}{5^3 \times (1+0,02)} = 1,7 \times 10^6$$

$$k_{z2} = \frac{6EI_z}{L^2(1+\Phi_y)} = \frac{6 \times 2,625 \times 10^9 \times 0,0072}{5^2 \times (1+0,02)} = 4,4 \times 10^6$$

$$k_{z3} = \frac{(4+\Phi_y)EI_z}{L(1+\Phi_y)} = \frac{(4+0,02) \times 2,625 \times 10^9 \times 0,0072}{5 \times (1+0,02)} = 1,5 \times 10^7$$

$$k_{z4} = \frac{(2-\Phi_y)EI_z}{L(1+\Phi_y)} = \frac{(2-0,02) \times 2,625 \times 10^9 \times 0,0072}{5 \times (1+0,02)} = 7,1 \times 10^6$$

$$k_{y1} = \frac{12EI_y}{L^3(1+\Phi_z)} = \frac{12 \times 2,625 \times 10^9 \times 0,0032}{5^3 \times (1+0,04)} = 7,9 \times 10^5$$

$$k_{y2} = \frac{6EI_y}{L^2(1+\Phi_z)} = \frac{6 \times 2,625 \times 10^9 \times 0,0032}{5^2 \times (1+0,04)} = 2,0 \times 10^6$$

$$k_{y3} = \frac{(4+\Phi_z)EI_y}{L(1+\Phi_z)} = \frac{(4+0,04) \times 2,625 \times 10^9 \times 0,0032}{5 \times (1+0,04)} = 6,6 \times 10^6$$

$$k_{y4} = \frac{(2-\Phi_z)EI_y}{L(1+\Phi_z)} = \frac{(2-0,04) \times 2,625 \times 10^9 \times 0,0032}{5 \times (1+0,04)} = 3,3 \times 10^6$$

Sehingga matriks kekakuan lokal $[k]$ elemen 6 dan 7 serta matriks $[K]$ nya adalah sebagai berikut:

$$[k] = \begin{bmatrix} 1,3 \times 10^8 & 0 & 0 & 0 & 0 & 0 & -1,3 \times 10^8 & 0 & 0 & 0 & 0 & 0 \\ 0 & 1,7 \times 10^6 & 0 & 0 & 0 & 4,4 \times 10^6 & 0 & -1,7 \times 10^6 & 0 & 0 & 0 & 4,4 \times 10^6 \\ 0 & 0 & 7,9 \times 10^5 & 0 & -2,0 \times 10^6 & 0 & 0 & 0 & -7,9 \times 10^5 & 0 & -2,0 \times 10^6 & 0 \\ 0 & 0 & 0 & 1,6 \times 10^6 & 0 & 0 & 0 & 0 & 0 & -1,6 \times 10^6 & 0 & 0 \\ 0 & 0 & -2,0 \times 10^6 & 0 & 6,6 \times 10^6 & 0 & 0 & 0 & 2,0 \times 10^6 & 0 & 3,3 \times 10^6 & 0 \\ 0 & 4,4 \times 10^6 & 0 & 0 & 0 & 1,5 \times 10^7 & 0 & -4,4 \times 10^6 & 0 & 0 & 0 & 7,1 \times 10^6 \\ -1,3 \times 10^8 & 0 & 0 & 0 & 0 & 0 & 1,3 \times 10^8 & 0 & 0 & 0 & 0 & 0 \\ 0 & -1,7 \times 10^6 & 0 & 0 & 0 & -4,4 \times 10^6 & 0 & 1,7 \times 10^6 & 0 & 0 & 0 & -4,4 \times 10^6 \\ 0 & 0 & -7,9 \times 10^5 & 0 & 2,0 \times 10^6 & 0 & 0 & 0 & 7,9 \times 10^5 & 0 & 2,0 \times 10^6 & 0 \\ 0 & 0 & 0 & -1,6 \times 10^6 & 0 & 0 & 0 & 0 & 0 & 1,6 \times 10^6 & 0 & 0 \\ 0 & 0 & -2,0 \times 10^6 & 0 & 3,3 \times 10^6 & 0 & 0 & 0 & 2,0 \times 10^6 & 0 & 6,6 \times 10^6 & 0 \\ 0 & 4,4 \times 10^6 & 0 & 0 & 0 & 7,1 \times 10^6 & 0 & -4,4 \times 10^6 & 0 & 0 & 0 & 1,5 \times 10^7 \end{bmatrix}$$

Setelah semua matriks $[K]$ tiap elemen dijumlahkan dan dilakukan *boundary condition* maka menghasilkan matriks 24×24 . Matriks *displacement* didapatkan dengan melakukan perkalian matriks $[K]^{-1} \times \{p_s\}$ sehingga dihasilkan sebagai berikut :

$$[K]^{-1} \times \begin{pmatrix} 0 & 1,8 \times 10^{-5} & d_{x2} \\ -5 \times 10^4 & -2,6 \times 10^{-4} & d_{y2} \\ 0 & -1,8 \times 10^{-5} & d_{z2} \\ -2,083 \times 10^4 & -7,1 \times 10^{-4} & \theta_{x2} \\ 0 & 0 & \theta_{y2} \\ -2,083 \times 10^4 & -7,1 \times 10^{-4} & \theta_{z2} \\ 0 & 1,8 \times 10^{-5} & d_{x4} \\ -5 \times 10^4 & -2,6 \times 10^{-4} & d_{y4} \\ 0 & 1,8 \times 10^{-5} & d_{z4} \\ 2,083 \times 10^4 & 7,1 \times 10^{-4} & \theta_{x4} \\ 0 & 0 & \theta_{y4} \\ -2,083 \times 10^4 & -7,1 \times 10^{-4} & \theta_{z4} \\ 0 & -1,8 \times 10^{-5} & d_{x6} \\ -5 \times 10^4 & -2,6 \times 10^{-4} & d_{y6} \\ 0 & -1,8 \times 10^{-5} & d_{z6} \\ -2,083 \times 10^4 & -7,1 \times 10^{-4} & \theta_{x6} \\ 0 & 0 & \theta_{y6} \\ 2,083 \times 10^4 & 7,1 \times 10^{-4} & \theta_{z6} \\ 0 & -1,8 \times 10^{-5} & d_{x8} \\ -5 \times 10^4 & -2,6 \times 10^{-4} & d_{y8} \\ 0 & 1,8 \times 10^{-5} & d_{z8} \\ 2,083 \times 10^4 & 7,1 \times 10^{-4} & \theta_{x8} \\ 0 & 0 & \theta_{y8} \\ 2,083 \times 10^4 & 7,1 \times 10^{-4} & \theta_{z8} \end{pmatrix}$$

Dengan demikian gaya-gaya pada tiap-tiap elemen didapat. Hasil dari gaya-gaya dalam tiap elemen itu ditabelkan sebagai berikut:

| <i>Frame</i> Reaksi | 1 | 2 | 3 | 4 | 5 | 6 | 7 | 8 |
|------------------------|---------------------|---------------------|---------------------|---------------------|---------------------|---------------------|---------------------|---------------------|
| f_{x1} | 5×10^4 | 5×10^4 | 5×10^4 | 5×10^4 | $4,58 \times 10^3$ | $4,58 \times 10^3$ | $4,58 \times 10^3$ | $4,58 \times 10^3$ |
| f_{y1} | $-4,58 \times 10^3$ | $-4,58 \times 10^3$ | $4,58 \times 10^3$ | $4,58 \times 10^3$ | $2,5 \times 10^4$ | $2,5 \times 10^4$ | $2,5 \times 10^4$ | $2,5 \times 10^4$ |
| f_{z1} | $4,58 \times 10^3$ | $-4,58 \times 10^3$ | $4,58 \times 10^3$ | $-4,58 \times 10^3$ | 0 | 0 | 0 | 0 |
| m_{x1} | 0 | 0 | 0 | 0 | 0 | 0 | 0 | 0 |
| m_{y1} | $-7,44 \times 10^3$ | $7,44 \times 10^3$ | $-7,44 \times 10^3$ | $7,44 \times 10^3$ | 0 | 0 | 0 | 0 |
| m_{z1} | $-7,44 \times 10^3$ | $-7,44 \times 10^3$ | $7,44 \times 10^3$ | $7,44 \times 10^3$ | $1,55 \times 10^4$ | $1,55 \times 10^4$ | $1,55 \times 10^4$ | $1,55 \times 10^4$ |
| f_{x2} | -5×10^4 | -5×10^4 | -5×10^4 | -5×10^4 | $-4,58 \times 10^3$ | $-4,58 \times 10^3$ | $-4,58 \times 10^3$ | $-4,58 \times 10^3$ |
| f_{y2} | $4,58 \times 10^3$ | $4,58 \times 10^3$ | $-4,58 \times 10^3$ | $-4,58 \times 10^3$ | $2,5 \times 10^4$ | $2,5 \times 10^4$ | $2,5 \times 10^4$ | $2,5 \times 10^4$ |
| f_{z2} | $-4,58 \times 10^3$ | $4,58 \times 10^3$ | $-4,58 \times 10^3$ | $4,58 \times 10^3$ | 0 | 0 | 0 | 0 |
| m_{x2} | 0 | 0 | 0 | 0 | 0 | 0 | 0 | 0 |
| m_{y2} | $-1,55 \times 10^4$ | $1,55 \times 10^4$ | $-1,55 \times 10^4$ | $1,55 \times 10^4$ | 0 | 0 | 0 | 0 |
| m_{z2} | $-1,55 \times 10^4$ | $-1,55 \times 10^4$ | $1,55 \times 10^4$ | $1,55 \times 10^4$ | $-1,55 \times 10^4$ | $-1,55 \times 10^4$ | $-1,55 \times 10^4$ | $-1,55 \times 10^4$ |

- Perhitungan analisa balok lentur

Pada model struktur *space frame* ini yang merupakan elemen balok adalah elemen 5, 6, 7, dan 8. Dimana semua momennya besarnya sama sehingga kebutuhan akan tulangannya juga sama besar. Apabila *user* menginginkan menggunakan tulangan ganda maka perhitungan tulangan pada elemen balok adalah :

➤ Ujung tepi kiri :

$$M_u = 1,05 \times 10^8 \text{ N mm}$$

$$M_n = 1,31 \times 10^8 \text{ N mm}$$

$$d = 600 - 50 - \frac{13}{2} = 543,5 \text{ mm}$$

$$R_n = \frac{M_n}{bd^2} = \frac{1,31 \times 10^8}{400 \times 543,5^2} = 1,1 \text{ N/mm}^2$$

$$m = \frac{f_y}{0,85 f'_c} = \frac{400}{0,85 \times 30} = 15,69$$

$$\rho_{\text{perlu}} = 0,0028$$

$$\rho_{\text{min}} = 0,0035$$

Gunakan $\rho = 0,0028$ maka $A_{s\text{ perlu}} = 608,72 \text{ mm}^2$ maka tulangan tarik yang digunakan 5 D-13. Asumsi *user* memberi input pada rasio sebesar 0,5 maka banyaknya tulangan tekan yang dibutuhkan sebanyak 3 D-13.

Dengan proses iterasi pada kesetimbangan gaya didapatkan :

$$c = 38,6818 \text{ mm}$$

$$\sum H = 0$$

$$-C_c + A'_s f'_s + A_s f_s$$

$$-(0,85 \times f'_c \times b \times a) + \left(3 \times \frac{1}{4} \times \pi \times 13^2 \times f'_s \right) + \left(5 \times \frac{1}{4} \times \pi \times 13^2 \times f_s \right)$$

$$-(0,85 \times 30 \times 400 \times 32,88) + (398,2 \times 175,56) + (663,66 \times 400)$$

$\sum H = 0$ (terbukti)

$$\begin{aligned} M_n &= C_c \left(\frac{h}{2} - \frac{a}{2} \right) + A'_s f'_s \left(\frac{h}{2} - d' \right) + A_s f_s \left(d - \frac{h}{2} \right) \\ &= 335371 \left(\frac{600}{2} - \frac{32,88}{2} \right) + 69907 \left(\frac{600}{2} - 56,5 \right) + 265464,6 \left(543,5 - \frac{600}{2} \right) \\ &= 176.760.883 \end{aligned}$$

Nilai ϕ diambil dari Gambar 2.17 didapat 0,8 sehingga

$$\phi M_n = 141.408.706 \text{ N mm} = 141,41 \text{ KN m}$$

Jarak antar tulangan

$$s = \frac{400 - 100 - 5 \times 13}{4} = 58,75 \text{ mm}$$

$$s' = \frac{400 - 100 - 3 \times 13}{2} = 130,5 \text{ mm}$$

Panjang penyaluran

$$\text{Tarik} = \frac{l_d}{d_b} = \frac{9f_y}{10\sqrt{f'_c}} \left(\frac{\alpha\beta\gamma\lambda}{c + K_{tr}} \right)$$

$$\frac{l_d}{13} = \frac{9 \times 400}{10 \times \sqrt{30}} \left(\frac{1 \times 1 \times 0,8 \times 1}{38,682 + 90,37} \right)$$

$$l_d = 68,86 \text{ mm}$$

$$\text{Tekan} = \begin{cases} l_d = \frac{d_b f_y}{4\sqrt{f'_c}} = \frac{13 \times 400}{4 \times \sqrt{30}} = 237,35 \text{ mm (menentukan)} \\ l_d = 0,04 d_b f_y = 0,04 \times 13 \times 400 = 208 \text{ mm} \end{cases}$$

➢ Tengah bentang :

$$M_u = 1,546 \times 10^8 \text{ N mm}$$

$$M_n = 1,9325 \times 10^8 \text{ N mm}$$

$$d \equiv 600 - 50 - \frac{13}{2} \equiv 543,5 \text{ mm}$$

$$R_n = \frac{M_n}{bd^2} = \frac{1,9325 \times 10^8}{400 \times 543,5^2} = 1,6 \text{ N/mm}^2$$

$$m = \frac{f_y}{0,85f'_c} = \frac{400}{0,85 \times 30} = 15,67$$

$$\rho_{\text{perlu}} = 0,0041$$

$$\rho_{\text{min}} = 0,0035$$

Gunakan $\rho = 0,0041$ maka $A_{s\text{ perlu}} = 899,7 \text{ mm}^2$ maka tulangan tarik yang digunakan 7 D-13. Asumsi user memberi input pada rasio sebesar 0,5 maka banyaknya tulangan tekan yang dibutuhkan sebanyak 4 D-13.

Dengan proses iterasi pada kesetimbangan gaya didapatkan :

$$c = 46,033 \text{ mm}$$

$$\sum H = 0$$

$$-C_c + A'_s f'_s + A_{s1} f_{s1} + A_{s2} f_{s2}$$

$$-(0,85 \times f'_c \times b \times a) + \left(4 \times \frac{1}{4} \times \pi \times 13^2 \times f'_s \right) + \left(7 \times \frac{1}{4} \times \pi \times 13^2 \times f_{s1} \right)$$

$$-(0,85 \times 30 \times 400 \times 39,13) + (530,93 \times 51,7) + (929,126 \times 400)$$

$$\sum H = 0 \text{ (terbukti)}$$

$$\begin{aligned}
 M_n &= C_c \left(\frac{h}{2} - \frac{a}{2} \right) + A'_s f'_s \left(\frac{h}{2} - d' \right) + A_s f_s \left(d - \frac{h}{2} \right) \\
 &= 399104 \left(\frac{600}{2} - \frac{39,13}{2} \right) + 27453,9 \left(\frac{600}{2} - 56,5 \right) + 371650,4 \left(543,5 - \frac{600}{2} \right) \\
 &= 209.105.116
 \end{aligned}$$

Nilai ϕ diambil dari Gambar 2.17 didapat 0,8 sehingga
 $\phi M_n = 167.284.133 \text{ N mm} = 167,28 \text{ KN m}$

Jarak antar tulangan

$$s = \frac{400 - 100 - 7 \times 13}{6} = 34,83 \text{ mm}$$

$$s' = \frac{400 - 100 - 4 \times 13}{3} = 82,67 \text{ mm}$$

Panjang penyaluran

$$\text{Tarik} = \frac{l_d}{d_b} = \frac{9f_y}{10\sqrt{f'_c}} \frac{\alpha\beta\gamma\lambda}{\left(\frac{c + K_{tr}}{d_b} \right)}$$

$$\frac{l_d}{13} = \frac{9 \times 400}{10 \times \sqrt{30}} \frac{1 \times 1 \times 0,8 \times 1}{\left(\frac{46,033 + 152,43}{13} \right)}$$

$$l_d = 44,77 \text{ mm}$$

$$\text{Tekan} = \begin{cases} l_d = \frac{d_b f_y}{4\sqrt{f'_c}} = \frac{13 \times 400}{4 \times \sqrt{30}} = 237,35 \text{ mm (menentukan)} \\ l_d = 0,04 d_b f_y = 0,04 \times 13 \times 400 = 208 \text{ mm} \end{cases}$$

➤ Ujung tepi kanan :

$$M_u = 1,0462 \times 10^8 \text{ N mm}$$

$$M_n = 1,30775 \times 10^8 \text{ N mm}$$

$$d = 600 - 50 - \frac{13}{2} = 543,5 \text{ mm}$$

$$R_n = \frac{M_n}{bd^2} = \frac{1,30775 \times 10^8}{400 \times 543,5^2} = 1,1 \text{ N/mm}^2$$

$$m = \frac{f_y}{0,85f'_c} = \frac{400}{0,85 \times 30} = 15,69$$

$$\rho_{\text{perlu}} = 0,0028$$

$$\rho_{\min} = 0,0035$$

Gunakan $\rho = 0,0028$ maka $A_{s\text{ perlu}} = 611,3 \text{ mm}^2$ maka tulangan tarik yang digunakan 5 D-13. Asumsi user memberi input pada rasio sebesar 0,5 maka banyaknya tulangan tekan yang dibutuhkan sebanyak 3 D-24.

Dengan proses iterasi pada kesetimbangan gaya didapatkan :

$$c = 38,6818 \text{ mm}$$

$$\sum H = 0$$

$$-C_c + A'_s f'_s + A_s f_s$$

$$-\left(0,85 \times f'_c \times b \times a\right) + \left(3 \times \frac{1}{4} \times \pi \times 13^2 \times f'_s\right) + \left(5 \times \frac{1}{4} \times \pi \times 13^2 \times f_s\right)$$

$$-(0,85 \times 30 \times 400 \times 32,88) + (398,2 \times 175,56) + (663,66 \times 400)$$

$$\sum H = 0 \text{ (terbukti)}$$

$$\begin{aligned}
 M_n &= C_c \left(\frac{h}{2} - \frac{a}{2} \right) + A'_s f'_s \left(\frac{h}{2} - d' \right) + A_s f_s \left(d - \frac{h}{2} \right) \\
 &= 335371 \left(\frac{600}{2} - \frac{32,88}{2} \right) + 69906,8 \left(\frac{600}{2} - 56,5 \right) + 265464,6 \left(543,5 - \frac{600}{2} \right) \\
 &= 176.760.883
 \end{aligned}$$

Nilai ϕ diambil dari Gambar 2.17 didapat 0,8 sehingga
 $\phi M_n = 141.408.706 \text{ N mm} = 141,41 \text{ KN m}$

Jarak antar tulangan

$$s = \frac{400 - 100 - 5 \times 13}{4} = 58,75 \text{ mm}$$

$$s' = \frac{400 - 100 - 3 \times 13}{2} = 130,5 \text{ mm}$$

Panjang penyaluran

$$\begin{aligned}
 \text{Tarik} &= \frac{l_d}{d_b} = \frac{9 f_y}{10 \sqrt{f'_c}} \frac{\alpha \beta \gamma \lambda}{\left(\frac{c + K_{tr}}{d_b} \right)} \\
 l_d &= \frac{9 \times 400}{10 \times \sqrt{30}} \left(\frac{1 \times 1 \times 0,8 \times 1}{38,682 + 90,37} \right) \\
 l_d &= 68,86 \text{ mm}
 \end{aligned}$$

$$\text{Tekan} = \begin{cases} l_d = \frac{d_b f_y}{4 \sqrt{f'_c}} = \frac{13 \times 400}{4 \times \sqrt{30}} = 237,35 \text{ mm (menentukan)} \\ l_d = 0,04 d_b f_y = 0,04 \times 13 \times 400 = 208 \text{ mm} \end{cases}$$

5.3.2. Perhitungan dengan SAP2000 (lengkap lihat Lampiran)

Dengan menginputkan data-data yang ada, maka *output* yang ditampilkan pada program bantu professional SAP2000 yaitu:

Displacement pada *joint* atau titik nodal:

| | u_1 (m) | u_2 (m) | u_3 (m) | θ_1 (rad) | θ_2 (rad) | θ_3 (rad) |
|---|-----------|-----------|-----------|------------------|------------------|------------------|
| 1 | 0 | 0 | 0 | 0 | 0 | 0 |
| 2 | 0,000018 | 0,000018 | -0,00026 | -0,00071 | 0,00071 | 0 |
| 3 | 0 | 0 | 0 | 0 | 0 | 0 |
| 4 | 0,000018 | -0,000018 | -0,00026 | 0,00071 | 0,00071 | 0 |
| 5 | 0 | 0 | 0 | 0 | 0 | 0 |
| 6 | -0,000018 | 0,000018 | -0,00026 | -0,00071 | -0,00071 | 0 |
| 7 | 0 | 0 | 0 | 0 | 0 | 0 |
| 8 | -0,000018 | -0,000018 | -0,00026 | 0,00071 | -0,00071 | 0 |

Reaksi pada perletakan:

| | F_1 (kg) | F_2 (kg) | F_3 (kg) | M_1 (kgm) | M_2 (kgm) | M_3 (kgm) |
|---|------------|------------|------------|-------------|-------------|-------------|
| 1 | 4.582,7 | 4.582,7 | 50.000 | -7.438,2 | 7.438,2 | 0 |
| 2 | 0 | 0 | 0 | 0 | 0 | 0 |
| 3 | 4.582,7 | -4.582,7 | 50.000 | 7.438,2 | 7.438,2 | 0 |
| 4 | 0 | 0 | 0 | 0 | 0 | 0 |
| 5 | -4.582,7 | 4.582,7 | 50.000 | -7.438,2 | -7.438,2 | 0 |
| 6 | 0 | 0 | 0 | 0 | 0 | 0 |
| 7 | -4.582,7 | -4.582,7 | 50.000 | 7.438,2 | -7.438,2 | 0 |
| 8 | 0 | 0 | 0 | 0 | 0 | 0 |

Reaksi pada masing-masing elemen:

| Elemen 1 | Elemen 2 |
|----------|-----------|
| f_{x1} | 50.000 |
| f_{y1} | -4.582,7 |
| f_{z1} | 4.582,7 |
| m_{y1} | -7.438,2 |
| m_{z1} | -7.438,2 |
| f_{x2} | -50.000 |
| f_{y2} | 4.582,7 |
| f_{z2} | -4.582,7 |
| m_{y2} | -15.475,3 |
| m_{z2} | 15.475,3 |

Reaksi pada masing-masing elemen:

| Elemen 3 | Elemen 4 | Elemen 5 |
|-----------------------------------------------------------------------------------------------------------------------------------------------------------------|---------------------------------------------------------------------------------------------------------------------------------------------------------------|--------------------------------------------------------------------------------------------------------------------------------------------------|
| $\begin{cases} f_{x1} \\ f_{y1} \\ f_{z1} \\ m_{y1} \\ m_{z1} \end{cases} = \begin{cases} 50.000 \\ 4.582,7 \\ 4.582,7 \\ -7.438,2 \\ 7.438,2 \end{cases}$ | $\begin{cases} f_{x1} \\ f_{y1} \\ f_{z1} \\ m_{y1} \\ m_{z1} \end{cases} = \begin{cases} 50.000 \\ 4.582,7 \\ -4.582,7 \\ 7.438,2 \\ 7.438,2 \end{cases}$ | $\begin{cases} f_{x1} \\ f_{y1} \\ f_{z1} \\ m_{y1} \\ m_{z1} \end{cases} = \begin{cases} 4.582,7 \\ 25.000 \\ 0 \\ 0 \\ 15.475,3 \end{cases}$ |
| $\begin{cases} f_{x2} \\ f_{y2} \\ f_{z2} \\ m_{y2} \\ m_{z2} \end{cases} = \begin{cases} -50.000 \\ -4.582,7 \\ -4.582,7 \\ -15.475,3 \\ 15.475,3 \end{cases}$ | $\begin{cases} f_{x2} \\ f_{y2} \\ f_{z2} \\ m_{y2} \\ m_{z2} \end{cases} = \begin{cases} -50.000 \\ -4.582,7 \\ 4.582,7 \\ 15.475,3 \\ 15.475,3 \end{cases}$ | $\begin{cases} f_{x2} \\ f_{y2} \\ f_{z2} \\ m_{y2} \\ m_{z2} \end{cases} = \begin{cases} -4.582,7 \\ 25.000 \\ 0 \\ 0 \\ -15.475,3 \end{cases}$ |
| Elemen 6 | Elemen 7 | Elemen 8 |
| $\begin{cases} f_{x1} \\ f_{y1} \\ f_{z1} \\ m_{y1} \\ m_{z1} \end{cases} = \begin{cases} 4.582,7 \\ 25.000 \\ 0 \\ 0 \\ 15.475,3 \end{cases}$ | $\begin{cases} f_{x1} \\ f_{y1} \\ f_{z1} \\ m_{y1} \\ m_{z1} \end{cases} = \begin{cases} 4.582,7 \\ 25.000 \\ 0 \\ 0 \\ 15.475,3 \end{cases}$ | $\begin{cases} f_{x1} \\ f_{y1} \\ f_{z1} \\ m_{y1} \\ m_{z1} \end{cases} = \begin{cases} 4.582,7 \\ 25.000 \\ 0 \\ 0 \\ 15.475,3 \end{cases}$ |
| $\begin{cases} f_{x2} \\ f_{y2} \\ f_{z2} \\ m_{y2} \\ m_{z2} \end{cases} = \begin{cases} -4.582,7 \\ 25.000 \\ 0 \\ 0 \\ -15.475,3 \end{cases}$ | $\begin{cases} f_{x2} \\ f_{y2} \\ f_{z2} \\ m_{y2} \\ m_{z2} \end{cases} = \begin{cases} -4.582,7 \\ 25.000 \\ 0 \\ 0 \\ -15.475,3 \end{cases}$ | $\begin{cases} f_{x2} \\ f_{y2} \\ f_{z2} \\ m_{y2} \\ m_{z2} \end{cases} = \begin{cases} -4.582,7 \\ 25.000 \\ 0 \\ 0 \\ -15.475,3 \end{cases}$ |

5.3.3. Perhitungan dengan SFAP

Terbagi menjadi dua proses yaitu proses *input* dan proses *output*. Dimana proses *input* itu adalah: (Gambar lihat lampiran)

Input 1: General Information (Input > General Information)

Project name : Space Frame2
Units : kg, m

Input 2: Material Properties (Input > Define Material Properties)

Material name : Concrete

Modulus of elasticity : 2000000000

Poisson's ratio : 0.2

Input 3: Section Properties (Input > Define Section Properties)

Section name : Beam

Section wizard

Select frame section : Rectangular

Depth : 0.6

Width : 0.4

Section name : Column

Section wizard

Select frame section : Rectangular

Depth : 0.6

Width : 0.6

Input 4: Reinforcement Properties (Input > Assign Reinforcement List>Beam)

Type : D-13

f_y : 400

f_{yy} : 400

Ratio : 0,5

Input 5: Reinforcement Properties (Input > Assign Reinforcement List>Column)

Diameter of bar : 19

Decking : 40

f_y : 400

E_s : 200000

Input 6: Nodal Coordinates (Input > Nodal Coordinates)

Nodal 1: X = 0; Y = 0; Z = 0

Nodal 2: X = 0; Y = 5; Z = 0

Nodal 3: X = 0; Y = 0; Z = 5

Nodal 4: X = 0; Y = 5; Z = 5

Nodal 5: X = 5; Y = 0; Z = 0

Nodal 6: X = 5; Y = 5; Z = 0

Nodal 7: X = 5; Y = 0; Z = 5

Nodal 8: X = 5; Y = 5; Z = 5

Input 7: Frame Properties (Input > Frame Properties)

Frame 1: Start joint: 1; End joint: 2; Section: Column

Frame 2: Start joint: 3; End joint: 4; Section: Column

Frame 3: Start joint: 5; End joint: 6; Section: Column

Frame 4: Start joint: 7; End joint: 8; Section: Column

Frame 5: Start joint: 2; End joint: 4; Section: Beam

Frame 6: Start joint: 2; End joint: 6; Section: Beam

Frame 7: Start joint: 4; End joint: 8; Section: Beam

Frame 8: Start joint: 6; End joint: 8; Section: Beam

Input 8: Joint Restraint (Input > Assign Joint Restraint)

Label 1: Fast Restraint : Fixed

Label 3: Fast Restraint : Fixed

Label 5: Fast Restraint : Fixed

Label 7: Fast Restraint : Fixed

Input 9: Distributed Load (Input > Distributed Frame Loads)

Frame label 5: Force global Y : -10000

Frame label 6: Force global Y : -10000

Frame label 7: Force global Y : -10000

Frame label 8: Force global Y : -10000

Proses *output*: (lengkap lihat Lampiran)

Output 1 : Displacement

| Node | u_x | u_y | u_z | θ_x | θ_z |
|------|-----------|----------|-----------|------------|------------|
| 2 | 0,000018 | -0,00026 | 0,000018 | 0,00071 | -0,00071 |
| 4 | 0,000018 | -0,00026 | -0,000018 | -0,00071 | -0,00071 |
| 6 | -0,000018 | -0,00026 | 0,000018 | 0,00071 | 0,00071 |
| 8 | -0,000018 | -0,00026 | -0,000018 | -0,00071 | 0,00071 |

Output 2 : Support Reaction

| Node | F_x | F_y | F_z | M_x | M_z |
|------|----------|--------|----------|----------|----------|
| 1 | 4.582,7 | 50.000 | 4.582,7 | 7.438,2 | -7.438,2 |
| 3 | 4.582,7 | 50.000 | -4.582,7 | -7.438,2 | -7.438,2 |
| 5 | -4.582,7 | 50.000 | 4.582,7 | 7.438,2 | 7.438,2 |
| 7 | -4.582,7 | 50.000 | -4.582,7 | -7.438,2 | 7.438,2 |

Output 3 : Element Forces

| Elemen 1 | | Elemen 2 | |
|----------|-----------|----------|-----------|
| f_{x1} | 50.000 | f_{x1} | 50.000 |
| f_{y1} | -4.582,7 | f_{y1} | -4.582,7 |
| f_{z1} | 4.582,7 | f_{z1} | -4.582,7 |
| m_{y1} | -7.438,2 | m_{y1} | 7.438,2 |
| m_{z1} | -7.438,2 | m_{z1} | -7.438,2 |
| f_{x2} | -50.000 | f_{x2} | -50.000 |
| f_{y2} | 4.582,7 | f_{y2} | 4.582,7 |
| f_{z2} | -4.582,7 | f_{z2} | 4.582,7 |
| m_{y2} | -15.475,3 | m_{y2} | 15.475,3 |
| m_{z2} | -15.475,3 | m_{z2} | -15.475,3 |

| Elemen 3 | | Elemen 4 | | Elemen 5 | |
|----------|------------|----------|------------|----------|------------|
| | | | | | |
| f_{x1} | 50.000 | f_{x1} | 50.000 | f_{x1} | 4.582,7 |
| f_{y1} | 4.582,7 | f_{y1} | 4.582,7 | f_{y1} | 25.000 |
| f_{z1} | 4.582,7 | f_{z1} | -4.582,7 | f_{z1} | 0 |
| m_{y1} | -7.438,2 | m_{y1} | 7.438,2 | m_{y1} | 0 |
| m_{z1} | = 7.438,2 | m_{z1} | = 7.438,2 | m_{z1} | = 15.475,3 |
| f_{x2} | -50.000 | f_{x2} | -50.000 | f_{x2} | -4.582,7 |
| f_{y2} | -4.582,7 | f_{y2} | -4.582,7 | f_{y2} | 25.000 |
| f_{z2} | -4.582,7 | f_{z2} | 4.582,7 | f_{z2} | 0 |
| m_{y2} | -15.475,3 | m_{y2} | 15.475,3 | m_{y2} | 0 |
| m_{z2} | 15.475,3 | m_{z2} | 15.475,3 | m_{z2} | -15.475,3 |
| Elemen 6 | | Elemen 7 | | Elemen 8 | |
| | | | | | |
| f_{x1} | 4.582,7 | f_{x1} | 4.582,7 | f_{x1} | 4.582,7 |
| f_{y1} | 25.000 | f_{y1} | 25.000 | f_{y1} | 25.000 |
| f_{z1} | 0 | f_{z1} | 0 | f_{z1} | 0 |
| m_{y1} | 0 | m_{y1} | 0 | m_{y1} | 0 |
| m_{z1} | = 15.475,3 | m_{z1} | = 15.475,3 | m_{z1} | = 15.475,3 |
| f_{x2} | -4.582,7 | f_{x2} | -4.582,7 | f_{x2} | -4.582,7 |
| f_{y2} | 25.000 | f_{y2} | 25.000 | f_{y2} | 25.000 |
| f_{z2} | 0 | f_{z2} | 0 | f_{z2} | 0 |
| m_{y2} | 0 | m_{y2} | 0 | m_{y2} | 0 |
| m_{z2} | -15.475,3 | m_{z2} | -15.475,3 | m_{z2} | -15.475,3 |

Tabel 5.5. Perbandingan hasil SFAP dengan hitungan manual dan program SAP 2000 kasus 3

| Analisa Struktur | Parameter | SFAP | Manual | SAP 2000 | Selisih |
|------------------|---------------|-----------|-----------|-----------|---------|
| Displacement | u_{x2} | 0,000018 | 0,000018 | 0,000018 | 0 |
| | u_{y2} | -0,000026 | -0,000026 | -0,000026 | 0 |
| | u_{z2} | 0,000018 | 0,000018 | 0,000018 | 0 |
| | θ_{x2} | 0,00071 | 0,00071 | 0,00071 | 0 |
| | θ_{z2} | -0,00071 | -0,00071 | -0,00071 | 0 |
| | u_{x4} | 0,000018 | 0,000018 | 0,000018 | 0 |
| | u_{y4} | -0,000026 | -0,000026 | -0,000026 | 0 |
| | u_{z4} | -0,000018 | -0,000018 | -0,000018 | 0 |
| | θ_{x4} | -0,00071 | -0,00071 | -0,00071 | 0 |
| | θ_{z4} | -0,00071 | -0,00071 | -0,00071 | 0 |
| | u_{x6} | -0,000018 | -0,000018 | -0,000018 | 0 |
| | u_{y6} | -0,000026 | -0,000026 | -0,000026 | 0 |
| | u_{z6} | 0,000018 | 0,000018 | 0,000018 | 0 |
| | θ_{x6} | 0,00071 | 0,00071 | 0,00071 | 0 |
| | θ_{z6} | 0,00071 | 0,00071 | 0,00071 | 0 |
| | u_{x8} | -0,000018 | -0,000018 | -0,000018 | 0 |
| | u_{y8} | -0,000026 | -0,000026 | -0,000026 | 0 |
| | u_{z8} | -0,000018 | -0,000018 | -0,000018 | 0 |
| | θ_{x8} | -0,00071 | -0,00071 | -0,00071 | 0 |
| | θ_{z8} | 0,00071 | 0,00071 | 0,00071 | 0 |

| Analisa Struktur | Parameter | SFAP | Manual | SAP 2000 | Selisih |
|-------------------------|-----------|----------|----------|----------|---------|
| <i>Support Reaction</i> | F_{x1} | 4.582,7 | 4.582,7 | 4.582,7 | 0 |
| | F_{y1} | 50.000 | 50.000 | 50.000 | 0 |
| | F_{z1} | 4.582,7 | 4.582,7 | 4.582,7 | 0 |
| | M_{z1} | 7.438,2 | 7.438,2 | 7.438,2 | 0 |
| | M_{z1} | -7.438,2 | -7.438,2 | -7.438,2 | 0 |
| | F_{x3} | 4.582,7 | 4.582,7 | 4.582,7 | 0 |
| | F_{y3} | 50.000 | 50.000 | 50.000 | 0 |
| | F_{z3} | -4.582,7 | -4.582,7 | -4.582,7 | 0 |
| | M_{x3} | -7.438,2 | -7.438,2 | -7.438,2 | 0 |
| | M_{z3} | -7.438,2 | -7.438,2 | -7.438,2 | 0 |
| | F_{x5} | -4.582,7 | -4.582,7 | -4.582,7 | 0 |
| | F_{y5} | 50.000 | 50.000 | 50.000 | 0 |
| | F_{z5} | 4.582,7 | 4.582,7 | 4.582,7 | 0 |
| | M_{x5} | 7.438,2 | 7.438,2 | 7.438,2 | 0 |
| | M_{z5} | 7.438,2 | 7.438,2 | 7.438,2 | 0 |
| | F_{x7} | -4.582,7 | -4.582,7 | -4.582,7 | 0 |
| | F_{y7} | 50.000 | 50.000 | 50.000 | 0 |
| | F_{z7} | -4.582,7 | -4.582,7 | -4.582,7 | 0 |
| | M_{x7} | -7.438,2 | -7.438,2 | -7.438,2 | 0 |
| | M_{z7} | 7.438,2 | 7.438,2 | 7.438,2 | 0 |

| Analisa Struktur | Parameter | SFAP | Manual | SAP 2000 | Selisih |
|---------------------------|-----------|-----------|-----------|-----------|---------|
| Element Forces Frame 1 | f_{x1} | 50.000 | 50.000 | 50.000 | 0 |
| | f_{y1} | -4.582,7 | -4.582,7 | -4.582,7 | 0 |
| | f_{z1} | 4.582,7 | 4.582,7 | 4.582,7 | 0 |
| | m_{y1} | -7.438,2 | -7.438,2 | -7.438,2 | 0 |
| | m_{z1} | -7.438,2 | -7.438,2 | -7.438,2 | 0 |
| | f_{x2} | -50.000 | -50.000 | -50.000 | 0 |
| | f_{y2} | 4.582,7 | 4.582,7 | 4.582,7 | 0 |
| | f_{z2} | -4.582,7 | -4.582,7 | -4.582,7 | 0 |
| | m_{y2} | -15.475,3 | -15.475,3 | -15.475,3 | 0 |
| | m_{z2} | -15.475,3 | -15.475,3 | -15.475,3 | 0 |
| Element Forces Frame 2 | f_{x1} | 50.000 | 50.000 | 50.000 | 0 |
| | f_{y1} | -4.582,7 | -4.582,7 | -4.582,7 | 0 |
| | f_{z1} | -4.582,7 | -4.582,7 | -4.582,7 | 0 |
| | m_{y1} | 7.438,2 | 7.438,2 | 7.438,2 | 0 |
| | m_{z1} | -7.438,2 | -7.438,2 | -7.438,2 | 0 |
| | f_{x2} | -50.000 | -50.000 | -50.000 | 0 |
| | f_{y2} | 4.582,7 | 4.582,7 | 4.582,7 | 0 |
| | f_{z2} | 4.582,7 | 4.582,7 | 4.582,7 | 0 |
| | m_{y2} | 15.475,3 | 15.475,3 | 15.475,3 | 0 |
| | m_{z2} | -15.475,3 | -15.475,3 | -15.475,3 | 0 |

| Analisa Struktur | Parameter | SFAP | Manual | SAP 2000 | Selisih |
|-----------------------------------|-----------|-----------|-----------|-----------|---------|
| <i>Element Forces Frame 3</i> | f_{x1} | 50.000 | 50.000 | 50.000 | 0 |
| | f_{y1} | 4.582,7 | 4.582,7 | 4.582,7 | 0 |
| | f_{z1} | 4.582,7 | 4.582,7 | 4.582,7 | 0 |
| | m_{y1} | -7.438,2 | -7.438,2 | -7.438,2 | 0 |
| | m_{z1} | 7.438,2 | 7.438,2 | 7.438,2 | 0 |
| | f_{x2} | -50.000 | -50.000 | -50.000 | 0 |
| | f_{y2} | -4.582,7 | -4.582,7 | -4.582,7 | 0 |
| | f_{z2} | -4.582,7 | -4.582,7 | -4.582,7 | 0 |
| | m_{y2} | -15.475,3 | -15.475,3 | -15.475,3 | 0 |
| | m_{z2} | 15.475,3 | 15.475,3 | 15.475,3 | 0 |
| <i>Element Forces Frame 4</i> | f_{x1} | 50.000 | 50.000 | 50.000 | 0 |
| | f_{y1} | 4.582,7 | 4.582,7 | 4.582,7 | 0 |
| | f_{z1} | -4.582,7 | -4.582,7 | -4.582,7 | 0 |
| | m_{y1} | 7.438,2 | 7.438,2 | 7.438,2 | 0 |
| | m_{z1} | 7.438,2 | 7.438,2 | 7.438,2 | 0 |
| | f_{x2} | -50.000 | -50.000 | -50.000 | 0 |
| | f_{y2} | -4.582,7 | -4.582,7 | -4.582,7 | 0 |
| | f_{z2} | 4.582,7 | 4.582,7 | 4.582,7 | 0 |
| | m_{y2} | 15.475,3 | 15.475,3 | 15.475,3 | 0 |
| | m_{z2} | 15.475,3 | 15.475,3 | 15.475,3 | 0 |

| Analisa Struktur | Parameter | SFAP | Manual | SAP 2000 | Selisih |
|---------------------------|-----------|-----------|-----------|-----------|---------|
| Element Forces Frame 5 | f_{x1} | 4.582,7 | 4.582,7 | 4.582,7 | 0 |
| | f_{y1} | 25.000 | 25.000 | 25.000 | 0 |
| | f_{z1} | 0 | 0 | 0 | 0 |
| | m_{y1} | 0 | 0 | 0 | 0 |
| | m_{z1} | 15.475,3 | 15.475,3 | 15.475,3 | 0 |
| | f_{x2} | -4.582,7 | -4.582,7 | -4.582,7 | 0 |
| | f_{y2} | 25.000 | 25.000 | 25.000 | 0 |
| | f_{z2} | 0 | 0 | 0 | 0 |
| | m_{y2} | 0 | 0 | 0 | 0 |
| | m_{z2} | -15.475,3 | -15.475,3 | -15.475,3 | 0 |
| Element Forces Frame 6 | f_{x1} | 4.582,7 | 4.582,7 | 4.582,7 | 0 |
| | f_{y1} | 25.000 | 25.000 | 25.000 | 0 |
| | f_{z1} | 0 | 0 | 0 | 0 |
| | m_{y1} | 0 | 0 | 0 | 0 |
| | m_{z1} | 15.475,3 | 15.475,3 | 15.475,3 | 0 |
| | f_{x2} | -4.582,7 | -4.582,7 | -4.582,7 | 0 |
| | f_{y2} | 25.000 | 25.000 | 25.000 | 0 |
| | f_{z2} | 0 | 0 | 0 | 0 |
| | m_{y2} | 0 | 0 | 0 | 0 |
| | m_{z2} | -15.475,3 | -15.475,3 | -15.475,3 | 0 |

| Analisa Struktur | Parameter | SFAP | Manual | SAP 2000 | Selisih |
|-----------------------------------|-----------|-----------|-----------|-----------|---------|
| <i>Element Forces Frame 7</i> | f_{x1} | 4.582,7 | 4.582,7 | 4.582,7 | 0 |
| | f_{y1} | 25.000 | 25.000 | 25.000 | 0 |
| | f_{z1} | 0 | 0 | 0 | 0 |
| | m_{y1} | 0 | 0 | 0 | 0 |
| | m_{z1} | 15.475,3 | 15.475,3 | 15.475,3 | 0 |
| | f_{x2} | -4.582,7 | -4.582,7 | -4.582,7 | 0 |
| | f_{y2} | 25.000 | 25.000 | 25.000 | 0 |
| | f_{z2} | 0 | 0 | 0 | 0 |
| | m_{y2} | 0 | 0 | 0 | 0 |
| | m_{z2} | -15.475,3 | -15.475,3 | -15.475,3 | 0 |
| <i>Element Forces Frame 8</i> | f_{x1} | 4.582,7 | 4.582,7 | 4.582,7 | 0 |
| | f_{y1} | 25.000 | 25.000 | 25.000 | 0 |
| | f_{z1} | 0 | 0 | 0 | 0 |
| | m_{y1} | 0 | 0 | 0 | 0 |
| | m_{z1} | 15.475,3 | 15.475,3 | 15.475,3 | 0 |
| | f_{x2} | -4.582,7 | -4.582,7 | -4.582,7 | 0 |
| | f_{y2} | 25.000 | 25.000 | 25.000 | 0 |
| | f_{z2} | 0 | 0 | 0 | 0 |
| | m_{z2} | -15.475,3 | -15.475,3 | -15.475,3 | 0 |

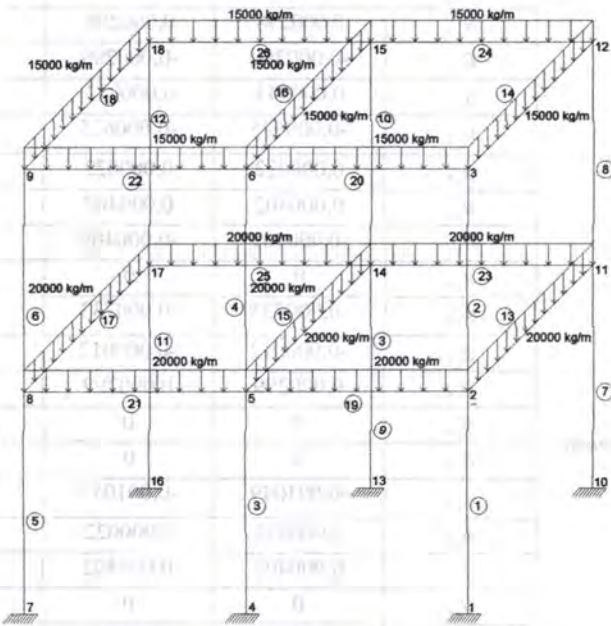
Tabel 5.6. Perbandingan hasil SFAP dengan hitungan manual
kasus 3

| Analisa Lentur | Parameter | SFAP | Manual | Selisih |
|----------------|-------------------|-------------|-------------|---------|
| Frame 5 | n Tarik Kiri | 5 D-13 | 5 D-13 | 0 |
| | n Tekan Kiri | 3 D-13 | 3 D-13 | 0 |
| | M_u Kiri | 104,62 KN m | 104,62 KN m | 0 |
| | ϕM_n Kiri | 141,41 KN m | 141,41 KN m | 0 |
| | n Tarik Tengah | 7 D-13 | 7 D-13 | 0 |
| | n Tekan Tengah | 4 D-13 | 4 D-13 | 0 |
| | M_u Tengah | 154,59 KN m | 154,59 KN m | 0 |
| | ϕM_n Tengah | 167,28 KN m | 167,28 KN m | 0 |
| | n Tarik Kanan | 5 D-13 | 5 D-13 | 0 |
| | n Tekan Kanan | 3 D-13 | 3 D-13 | 0 |
| Frame 6 | M_u Kanan | 104,62 KN m | 104,62 KN m | 0 |
| | ϕM_n Kanan | 141,41 KN m | 141,41 KN m | 0 |
| | n Tarik Kiri | 5 D-13 | 5 D-13 | 0 |
| | n Tekan Kiri | 3 D-13 | 3 D-13 | 0 |
| | M_u Kiri | 104,62 KN m | 104,62 KN m | 0 |
| | ϕM_n Kiri | 141,41 KN m | 141,41 KN m | 0 |
| | n Tarik Tengah | 7 D-13 | 7 D-13 | 0 |
| | n Tekan Tengah | 4 D-13 | 4 D-13 | 0 |
| | M_u Tengah | 154,59 KN m | 154,59 KN m | 0 |
| | ϕM_n Tengah | 167,28 KN m | 167,28 KN m | 0 |
| Frame 6 | n Tarik Kanan | 5 D-13 | 5 D-13 | 0 |
| | n Tekan Kanan | 3 D-13 | 3 D-13 | 0 |
| | M_u Kanan | 104,62 KN m | 104,62 KN m | 0 |
| | ϕM_n Kanan | 141,41 KN m | 141,41 KN m | 0 |
| | n Tarik Kiri | 5 D-13 | 5 D-13 | 0 |
| | n Tekan Kiri | 3 D-13 | 3 D-13 | 0 |
| | M_u Kiri | 104,62 KN m | 104,62 KN m | 0 |
| | ϕM_n Kiri | 141,41 KN m | 141,41 KN m | 0 |
| | n Tarik Tengah | 7 D-13 | 7 D-13 | 0 |
| | n Tekan Tengah | 4 D-13 | 4 D-13 | 0 |
| Frame 6 | M_u Tengah | 154,59 KN m | 154,59 KN m | 0 |
| | ϕM_n Tengah | 167,28 KN m | 167,28 KN m | 0 |
| | n Tarik Kanan | 5 D-13 | 5 D-13 | 0 |
| | n Tekan Kanan | 3 D-13 | 3 D-13 | 0 |
| | M_u Kanan | 104,62 KN m | 104,62 KN m | 0 |
| | ϕM_n Kanan | 141,41 KN m | 141,41 KN m | 0 |
| | n Tarik Kiri | 5 D-13 | 5 D-13 | 0 |
| | n Tekan Kiri | 3 D-13 | 3 D-13 | 0 |
| | M_u Kiri | 104,62 KN m | 104,62 KN m | 0 |
| | ϕM_n Kiri | 141,41 KN m | 141,41 KN m | 0 |
| Frame 6 | n Tarik Tengah | 7 D-13 | 7 D-13 | 0 |
| | n Tekan Tengah | 4 D-13 | 4 D-13 | 0 |
| | M_u Tengah | 154,59 KN m | 154,59 KN m | 0 |
| | ϕM_n Tengah | 167,28 KN m | 167,28 KN m | 0 |
| | n Tarik Kanan | 5 D-13 | 5 D-13 | 0 |
| | n Tekan Kanan | 3 D-13 | 3 D-13 | 0 |
| | M_u Kanan | 104,62 KN m | 104,62 KN m | 0 |
| | ϕM_n Kanan | 141,41 KN m | 141,41 KN m | 0 |
| | n Tarik Kiri | 5 D-13 | 5 D-13 | 0 |
| | n Tekan Kiri | 3 D-13 | 3 D-13 | 0 |
| Frame 6 | M_u Kiri | 104,62 KN m | 104,62 KN m | 0 |
| | ϕM_n Kiri | 141,41 KN m | 141,41 KN m | 0 |
| | n Tarik Tengah | 7 D-13 | 7 D-13 | 0 |
| | n Tekan Tengah | 4 D-13 | 4 D-13 | 0 |
| | M_u Tengah | 154,59 KN m | 154,59 KN m | 0 |
| | ϕM_n Tengah | 167,28 KN m | 167,28 KN m | 0 |
| | n Tarik Kanan | 5 D-13 | 5 D-13 | 0 |
| | n Tekan Kanan | 3 D-13 | 3 D-13 | 0 |
| | M_u Kanan | 104,62 KN m | 104,62 KN m | 0 |
| | ϕM_n Kanan | 141,41 KN m | 141,41 KN m | 0 |

| Analisa Lentur | Parameter | SFAP | Manual | Selisih |
|----------------|-------------------|-------------|-------------|---------|
| Frame 7 | n Tarik Kiri | 5 D-13 | 5 D-13 | 0 |
| | n Tekan Kiri | 3 D-13 | 3 D-13 | 0 |
| | M_u Kiri | 104,62 KN m | 104,62 KN m | 0 |
| | ϕM_n Kiri | 141,41 KN m | 141,41 KN m | 0 |
| | n Tarik Tengah | 7 D-13 | 7 D-13 | 0 |
| | n Tekan Tengah | 4 D-13 | 4 D-13 | 0 |
| | M_u Tengah | 154,59 KN m | 154,59 KN m | 0 |
| | ϕM_n Tengah | 167,28 KN m | 167,28 KN m | 0 |
| | n Tarik Kanan | 5 D-13 | 5 D-13 | 0 |
| | n Tekan Kanan | 3 D-13 | 3 D-13 | 0 |
| | M_u Kanan | 104,62 KN m | 104,62 KN m | 0 |
| | ϕM_n Kanan | 141,41 KN m | 141,41 KN m | 0 |
| Frame 8 | n Tarik Kiri | 5 D-13 | 5 D-13 | 0 |
| | n Tekan Kiri | 3 D-13 | 3 D-13 | 0 |
| | M_u Kiri | 104,62 KN m | 104,62 KN m | 0 |
| | ϕM_n Kiri | 141,41 KN m | 141,41 KN m | 0 |
| | n Tarik Tengah | 7 D-13 | 7 D-13 | 0 |
| | n Tekan Tengah | 4 D-13 | 4 D-13 | 0 |
| | M_u Tengah | 154,59 KN m | 154,59 KN m | 0 |
| | ϕM_n Tengah | 167,28 KN m | 167,28 KN m | 0 |
| | n Tarik Kanan | 5 D-13 | 5 D-13 | 0 |
| | n Tekan Kanan | 3 D-13 | 3 D-13 | 0 |
| | M_u Kanan | 104,62 KN m | 104,62 KN m | 0 |
| | ϕM_n Kanan | 141,41 KN m | 141,41 KN m | 0 |

5.4. Kasus 4 – Space Frame 2

Diambil contoh *space frame* ini untuk menverifikasi apakah software yang dibuat ini mampu untuk menghitung gedung bertingkat. Pengecekan hanya dilakukan dengan program SAP 2000 tanpa hitungan manual.



Gambar 5.7. Kasus 4 – Space Frame 2

Diketahui:

Kuat tekan beton, f'_c = 30 MPa

Poisson Ratio, ν = 0,2

Dimensi balok = 300×500 mm

Dimensi kolom = 500×500 mm

Diameter tulangan longitudinal dan geser = D-13 dan Ø10

Kuat leleh tulangan, f_y = 400 MPa

Tabel 5.7. Perbandingan hasil SFAP dengan hitungan manual dan program SAP 2000 kasus 4 (lengkap lihat Lampiran)

| Analisa Struktur | Parameter | SFAP | SAP 2000 | Selisih |
|------------------|---------------|-----------|-----------|---------|
| Displacement | u_{x2} | -0,000023 | -0,000023 | 0 |
| | u_{y2} | -0,000473 | -0,000473 | 0 |
| | u_{z2} | -0,000012 | -0,000012 | 0 |
| | θ_{x2} | 0,000298 | 0,000298 | 0 |
| | θ_{z2} | -0,000299 | -0,000299 | 0 |
| | u_{x3} | 0,000043 | 0,000043 | 0 |
| | u_{y3} | -0,000675 | -0,000675 | 0 |
| | u_{z3} | 0,000022 | 0,000022 | 0 |
| | θ_{x3} | 0,000402 | 0,000402 | 0 |
| | θ_{z3} | -0,000409 | -0,000409 | 0 |
| | u_{x5} | 0 | 0 | 0 |
| | u_{y5} | -0,000733 | -0,000733 | 0 |
| | u_{z5} | -0,000012 | -0,000012 | 0 |
| | θ_{x5} | 0,000299 | 0,000299 | 0 |
| | θ_{z5} | 0 | 0 | 0 |
| | u_{x6} | 0 | 0 | 0 |
| | u_{y6} | -0,001049 | -0,001049 | 0 |
| | u_{z6} | 0,000022 | 0,000022 | 0 |
| | θ_{x6} | 0,000402 | 0,000402 | 0 |
| | θ_{z6} | 0 | 0 | 0 |
| | u_{x8} | 0,000023 | 0,000023 | 0 |
| | u_{y8} | -0,000473 | -0,000473 | 0 |
| | u_{z8} | -0,000012 | -0,000012 | 0 |
| | θ_{x8} | 0,000298 | 0,000298 | 0 |
| | θ_{z8} | 0,000299 | 0,000299 | 0 |
| | u_{x9} | -0,000043 | -0,000043 | 0 |
| | u_{y9} | -0,000675 | -0,000675 | 0 |
| | u_{z9} | 0,000022 | 0,000022 | 0 |
| | θ_{x9} | 0,000402 | 0,000402 | 0 |
| | θ_{z9} | 0 | 0 | 0 |

| Analisa Struktur | Parameter | SFAP | SAP 2000 | Selisih |
|------------------|----------------|------------|------------|---------|
| Displacement | u_{x11} | -0,000023 | -0,000023 | 0 |
| | u_{y11} | -0,000473 | -0,000473 | 0 |
| | u_{z11} | 0,000012 | -0,000023 | 0 |
| | θ_{x11} | -0,000299 | -0,000473 | 0 |
| | θ_{z11} | -0,000299 | 0,000012 | 0 |
| | u_{x12} | 0,000043 | -0,000299 | 0 |
| | u_{y12} | -0,000675 | -0,000299 | 0 |
| | u_{z12} | -0,000022 | 0,000043 | 0 |
| | θ_{x12} | -0,000402 | -0,000675 | 0 |
| | θ_{z12} | -0,000409 | -0,000022 | 0 |
| | u_{x14} | 0 | -0,000402 | 0 |
| | u_{y14} | -0,000733 | -0,000409 | 0 |
| | u_{z14} | 0,000012 | 0 | 0 |
| | θ_{x14} | -0,000299 | -0,000733 | 0 |
| | θ_{z14} | 0 | 0,000012 | 0 |
| | u_{x15} | 0 | -0,000299 | 0 |
| | u_{y15} | -0,00105 | 0 | 0 |
| | u_{z15} | -0,000022 | 0 | 0 |
| | θ_{x15} | -0,000402 | -0,00105 | 0 |
| | θ_{z15} | 0 | -0,000022 | 0 |
| | u_{x17} | 0,000023 | -0,000402 | 0 |
| | u_{y17} | -0,000473 | 0 | 0 |
| | u_{z17} | 0,000012 | 0,000023 | 0 |
| | θ_{x17} | -0,000299 | -0,000473 | 0 |
| | θ_{z17} | 0,000299 | 0,000012 | 0 |
| | u_{x18} | -0,0000427 | -0,000299 | 0 |
| | u_{y18} | -0,000675 | 0,000299 | 0 |
| | u_{z18} | -0,000022 | -0,0000427 | 0 |
| | θ_{x18} | -0,000402 | -0,000675 | 0 |
| | θ_{z18} | 0,000409 | -0,000022 | 0 |

| Analisa Struktur | Parameter | SFAP | SAP 2000 | Selisih |
|------------------|-----------|------------|------------|---------|
| Support Reaction | F_{x1} | 2.645,71 | 2.645,71 | 0 |
| | F_{y1} | 103.554,94 | 103.554,94 | 0 |
| | F_{z1} | 2.590,32 | 2.590,32 | 0 |
| | M_{x1} | 2.522,97 | 2.522,97 | 0 |
| | M_{z1} | -2.608,41 | -2.608,41 | 0 |
| | F_{x4} | 0 | 0 | 0 |
| | F_{y4} | 160.390,12 | 160.390,12 | 0 |
| | F_{z4} | 2.590,32 | 2.590,32 | 0 |
| | M_{x4} | 2.522,97 | 2.522,97 | 0 |
| | M_{z4} | 0 | 0 | 0 |
| | F_{x7} | -2.645,71 | -2.645,71 | 0 |
| | F_{y7} | 103.554,94 | 103.554,94 | 0 |
| | F_{z7} | 2.590,32 | 2.590,32 | 0 |
| | M_{x7} | 2.522,97 | 2.522,97 | 0 |
| | M_{z7} | 2.608,41 | 2.608,41 | 0 |
| | F_{x10} | 2.645,71 | 2.645,71 | 0 |
| | F_{y10} | 103.554,94 | 103.554,94 | 0 |
| | F_{z10} | -2.590,32 | -2.590,32 | 0 |
| | M_{x10} | -2.522,97 | -2.522,97 | 0 |
| | M_{z10} | -2.608,41 | -2.608,41 | 0 |
| | F_{x13} | 0 | 0 | 0 |
| | F_{y13} | 160.390,12 | 160.390,12 | 0 |
| | F_{z13} | -2.590,32 | -2.590,32 | 0 |
| | M_{x13} | -2.522,97 | -2.522,97 | 0 |
| | M_{z13} | 0 | 0 | 0 |
| | F_{x16} | -2.645,71 | -2.645,71 | 0 |
| | F_{y16} | 103.554,94 | 103.554,94 | 0 |
| | F_{z16} | -2.590,32 | -2.590,32 | 0 |
| | M_{x16} | -2.522,97 | -2.522,97 | 0 |
| | M_{z16} | 2.608,41 | 2.608,41 | 0 |

Untuk reaksi pada elemen selengkanya lihat lampiran

| Analisa Struktur | Parameter | SFAP | SAP 2000 | Selisih |
|--------------------------------|-----------|-------------|-------------|---------|
| <i>Element Forces Frame 1</i> | f_{x1} | 103.554,94 | 103.554,94 | 0 |
| | f_{y1} | -2.645,71 | -2.645,71 | 0 |
| | f_{z1} | 2.590,32 | 2.590,32 | 0 |
| | m_{y1} | -2.522,97 | -2.522,97 | 0 |
| | m_{z1} | -2.608,41 | -2.608,41 | 0 |
| | f_{x2} | -103.554,94 | -103.554,94 | 0 |
| | f_{y2} | 2.645,71 | 2.645,71 | 0 |
| | f_{z2} | -2.590,32 | -2.590,32 | 0 |
| | m_{y2} | -5.247,99 | -5.247,99 | 0 |
| | m_{z2} | -5.328,73 | -5.328,73 | 0 |
| <i>Element Forces Frame 13</i> | f_{x1} | -3.133,09 | -3.133,09 | 0 |
| | f_{y1} | 30.000,00 | 30.000,00 | 0 |
| | f_{z1} | 0 | 0 | 0 |
| | m_{y1} | 0 | 0 | 0 |
| | m_{z1} | 13.364,99 | 13.364,99 | 0 |
| | f_{x2} | 3.133,09 | 3.133,09 | 0 |
| | f_{y2} | 30.000,00 | 30.000,00 | 0 |
| | f_{z2} | 0 | 0 | 0 |
| | m_{y2} | 0 | 0 | 0 |
| | m_{z2} | -13.364,99 | -13.364,99 | 0 |
| <i>Element Forces Frame 19</i> | f_{x1} | -2.960,39 | -2.960,39 | 0 |
| | f_{y1} | 29.365,80 | 29.365,80 | 0 |
| | f_{z1} | 0 | 0 | 0 |
| | m_{y1} | 0 | 0 | 0 |
| | m_{z1} | 13.232,61 | 13.232,61 | 0 |
| | f_{x2} | 2.960,39 | 2.960,39 | 0 |
| | f_{y2} | 30.634,20 | 30.634,20 | 0 |
| | f_{z2} | 0 | 0 | 0 |
| | m_{y2} | 0 | 0 | 0 |
| | m_{z2} | -15.135,21 | -15.135,21 | 0 |

| Analisa Lentur | Parameter | SFAP | Manual | Selisih |
|-----------------|-------------------|-------------|-------------|---------|
| <i>Frame 13</i> | n Tarik Kiri | 5 D-13 | 5 D-13 | 0 |
| | n Tekan Kiri | 3 D-13 | 3 D-13 | 0 |
| | M_u Kiri | 89,08 KN m | 89,08 KN m | 0 |
| | ϕM_n Kiri | 99,24 KN m | 99,24 KN m | 0 |
| | n Tarik Tengah | 5 D-13 | 5 D-13 | 0 |
| | n Tekan Tengah | 3 D-13 | 3 D-13 | 0 |
| | M_u Tengah | 89,52 KN m | 89,52 KN m | 0 |
| | ϕM_n Tengah | 99,24 KN m | 99,24 KN m | 0 |
| | n Tarik Kanan | 5 D-13 | 5 D-13 | 0 |
| | n Tekan Kanan | 3 D-13 | 3 D-13 | 0 |
| <i>Frame 19</i> | M_u Kanan | 89,08 KN m | 89,08 KN m | 0 |
| | ϕM_n Kanan | 99,24 KN m | 99,24 KN m | 0 |
| | n Tarik Kiri | 5 D-13 | 5 D-13 | 0 |
| | n Tekan Kiri | 3 D-13 | 3 D-13 | 0 |
| | M_u Kiri | 88,72 KN m | 88,72 KN m | 0 |
| | ϕM_n Kiri | 99,24 KN m | 99,24 KN m | 0 |
| | n Tarik Tengah | 5 D-13 | 5 D-13 | 0 |
| | n Tekan Tengah | 3 D-13 | 3 D-13 | 0 |
| | M_u Tengah | 81,5 KN m | 81,5 KN m | 0 |
| | ϕM_n Tengah | 99,24 KN m | 99,24 KN m | 0 |
| | n Tarik Kanan | 6 D-13 | 6 D-13 | 0 |
| | n Tekan Kanan | 3 D-13 | 3 D-13 | 0 |
| | M_u Kanan | 105,50 KN m | 105,50 KN m | 0 |
| | ϕM_n Kanan | 108,60 KN m | 108,60 KN m | 0 |

BAB 6

PENUTUP

6.1 Kesimpulan

Setelah membandingkan hasil perhitungan dari program *SFAP 2011* dengan *SAP 2000* dan hitungan manual dalam beberapa kasus, maka dapat diambil kesimpulan sebagai berikut :

1. Dari beberapa contoh studi kasus yang telah dianalisa pada bab sebelumnya, maka untuk mendapatkan gaya-gaya dalam pada suatu struktur dapat dilakukan dengan menggunakan aplikasi program bantu *SFAP 2011*. Selain itu, hasil perhitungan telah divalidasi dengan program *SAP 2000* dan hitungan manual ternyata menghasilkan perhitungan yang sama persis.
2. Dari beberapa contoh studi kasus yang telah dianalisa pada bab sebelumnya, maka untuk mendapatkan tulangan longitudinal yang diperlukan pada elemen balok dalam suatu struktur yang kompleks dapat dilakukan dengan menggunakan aplikasi program bantu *SFAP 2011*. Selain itu, hasil perhitungan telah divalidasi dengan hitungan manual ternyata menghasilkan perhitungan yang sama persis.
3. Dari beberapa contoh studi kasus yang telah dianalisa pada bab sebelumnya, maka untuk mengetahui gambar desain dari tulangan longitudinal yang dibutuhkan dapat dilakukan dengan menggunakan aplikasi program bantu *SFAP 2011*.
4. Kelemahan dari verifikasi keperluan tulangan longitudinal yang diperlukan pada elemen balok adalah belum adanya program bantu sejenis yang menganalisa hingga komponen lentur dari suatu elemen struktur hingga menampilkan gambar desain dari tulangan longitudinal yang dibutuhkan.
5. Dalam analisa lentur pada hitungan manual dan hitungan pada program SFAP terdapat sedikit selisih disebabkan karena pada hitungan manual angka di belakang koma yang dihitung dibulatkan.

6.2 Saran

Setelah melakukan analisa struktur serta perencanaan tulangan longitudinal dengan menggunakan program SFAP 2011 di atas maka penulis memberikan beberapa saran antara lain :

1. Perlu digunakan metoda iterasi yang lebih cepat dari metoda Bolzano dalam mendapatkan nilai titik kesetimbangan gaya agar siapapun user program ini tidak perlu menunggu beberapa waktu saat menjalankan program tersebut.
2. Perlu dikembangkan lagi sehingga menjadi suatu program yang dapat digunakan pada kondisi apapun sebab pada pengerjaan tugas akhir ini tidak memperhitungkan beban gempa serta bentuk balok lain selain persegi.
3. Diperlukan suatu studi analisis lentur dengan program bantu yang lain karena verifikasi hanya dilakukan dengan hitungan manual.

DAFTAR PUSTAKA

Cook, R.D.; Malkus, D.S.; Plesha, M.E.; dan Witt, R.J., **“Concepts and Applications of Finite Element Analysis”**. John Wiley & Sons, Inc, Edisi ke-4, 2001, 736 halaman.

Dewobroto, W, **“Aplikasi Sains dan Teknik dengan Visual Basic 6.0”**.PT. Elex Media Komputindo, Jakarta, 2003, 317 halaman..

Reddy, J.N., **“Solutions Manual for An Introduction to The Finite Element Method”**, Mc-Graw Hill International Edition, New York, 2005, 423 halaman.

Liu, G.R.; dan Quek, S.S., **“The Finite Element Method: A Practical Course”**, Butterworth Heinemann, 2003, 365 halaman.

Logan, D, **“A First Course in the Finite Element Method”**, SDC Publication, Edisi ke-4, 2007, 818 halaman.

McCormac, J, **“Design of Reinforced Concrete”**, John Wiley & Sons, Inc, Edisi ke-7, 2006, 717 halaman.

Nawy, E.G.; Tavio; dan Kusuma, B., **“Beton Bertulang Sebuah Pendekatan Mendasar Jilid 1”**, ITS Press, Surabaya, 2010, 893 halaman.

Nilson, A.H.; Darwin, D.; dan Dolan, C.W., **“Design of Concrete Structures”**, The McGraw-Hill Companies, Edisi ke-13, 2004, 783 halaman.

Purwono, R.; Tavio; Imran, I.; dan Raka, I.G.P., **“Tata Cara Perhitungan Struktur Beton untuk Bangunan Gedung (SNI**

03-2847-2002) Dilengkapi Penjelasan (S-2002)", ITS Press, Surabaya, 2007, 408 halaman.

Weaver, W. dan Gere, J.M., "Analisa Matriks untuk Struktur Rangka", Erlangga, Jakarta, 2007, 428 halaman.

Wong, S. dan G. C. S. Wong, "Structural Analysis Using Matrix Method", McGraw-Hill, New York, 1992, 456 halaman.

Yap, Y. T., "Structural Analysis Using Matrix Method", McGraw-Hill, New York, 1992, 456 halaman.

Zienkiewicz, O.C. dan Gere, R.G., "Finite Element Method", McGraw-Hill, London, 1977, 742 halaman.

Zienkiewicz, O.C. dan Gere, R.G., "Finite Element Method", P.D.C. Publishing, London, 2007, 818 halaman.

Zienkiewicz, O.C. dan Gere, R.G., "Introduction to Finite Element Method", McGraw-Hill, London, 2005, 313 halaman.

Zienkiewicz, O.C. dan Gere, R.G., "Introduction to Finite Element Method", McGraw-Hill, London, 2005, 313 halaman.

Zienkiewicz, O.C. dan Gere, R.G., "Introduction to Finite Element Method", McGraw-Hill, London, 2005, 313 halaman.

Zienkiewicz, O.C. dan Gere, R.G., "Introduction to Finite Element Method", McGraw-Hill, London, 2005, 313 halaman.

Lampiran A
LISTING CODE
DIRECT STIFFNESS METHOD

Halaman ini sengaja dikosongkan

Option Base 1

Pendefinisan seluruh variabel yang digunakan dalam perhitungan struktur

Type data_node 'Nodal Coordinates Data

X As Double

Y As Double

Z As Double

End Type**Type data_frame**

ji As Integer 'Start joint

jk As Integer 'End joint

Lf As Double 'Frame length

Alpha As Double 'Local Axes Angle (rad)

secprop As Integer 'Frame Section

type As Integer 'Section type: 1 Rectangular 2 Circular 3 Square

BorR As Double 'B if rectangular or R if circular

d As Double

ec As Double

End Type**Type data_material**

mname As String 'Material Name

E As Double 'Young's Modulus

G As Double 'Shear Modulus

f1 As Double

B As Double

End Type**Type data_tulangan**

type As Integer

d As Double

a As Double

fy As Double

decking As Double

fyv As Double

dv1 As Integer

fy2 As Integer

Es As Double

```

dia As Integer
ratio As Double
End Type

Type data_sectionproperties
    sname As String 'Section Name
    Af As Double 'Section area
    Ashr As Double 'Shear area
    I2 As Double 'Moment of inertia about 2-axis
    I3 As Double 'Moment of inertia about 2-axis
    Jx As Double 'Moment of inertia about 1-axis
    mat As Integer 'Section material
    type As Integer 'Section type: 1 Rectangular 2 Circular 3 Square
    BorR As Double 'B if rectangular or R if circular
    d As Double
    ec As Double
End Type

Type data_reinforcementforce
    frame As Integer
    ntarik As Integer 'n Tulangan Tarik
    ntekan As Integer 'n Tulangan Tekan
    Mn As Double
    phiMnTekan As Double
    nTarikKiri As Integer 'n Tulangan Tarik Kiri
    nTekanKiri As Integer 'n Tulangan Tekan Kiri
    mnKiri As Double
    phiMnTekanKiri As Double
    nTarikKanan As Integer 'n Tulangan Tarik Kanan
    nTekanKanan As Integer 'n Tulangan Tekan Kanan
    mnKanan As Double
    phiMnTekanKanan As Double
    B As Double
    ldTarik As Double
    ldTekan As Double
End Type

```

```

Public Title As String 'Project Title
Public material() As data_material 'Array data material
Public section() As data_sectionproperties 'Array section
properties
Public node() As data_node 'Array data node
Public frame() As data_frame 'Array data frame
Public tulangan As data_tulangan 'data tulangan
Public beamRed() As data_reinforcementforce 'data beam
reinforcement force
Public No, jm, jsp, jn, jf, js, jc, jbr, id(), idm() As Integer
Public jl, jl1, jl2, jl3, jl4, fl, fl1, fl2, fl3, fl4 As Integer
Public BM, BMR As Integer 'Bandwidth global matrix,Bandwidth
global reduced matrix
Public jrl() As Integer 'Joint Restraint List
Public M_trans() As Double, M_transf() As Double, M_temp()
As Double
Public M_kLokal() As Double, M_kGlobale() As Double,
M_kGlobals() As Double
Public M_JLoad() As Double, M_JLoad1() As Double,
M_JLoad2() As Double, M_JLoad3() As Double, M_JLoad4() As
Double
Public M_FLoad() As Double, M_FLoad1() As Double,
M_FLoad2() As Double, M_FLoad3() As Double, M_FLoad4()
As Double
Public M_IclFLoadEq() As Double, M_FLoadEq() As Double
Public disp() As Double, frmdisp() As Double
Public localeforce() As Double, globalforce() As Double
Public fy, fc, Es, fcmax, b11, ec, d1, D_tul, Alpha As Double
Public kg, meter, newton As Double
Public labelM, labelKg As String
Public M_kGlobalsR() As Double
Public M_LoadR() As Double
Public dispR() As Double

Dim Ao, bo, mo, tes As Double

```

Prosedur perhitungan matriks transformasi

Sub TransformMatrix()

ReDim M_trans(12, 12, jf) As Double

'-----clean matriks-----'

For i = 1 To 12

For j = 1 To 12

For k = 1 To jf

M_trans(i, j, k) = 0#

Next k

Next j

Next i

'-----'

For i = 1 To jf

With frame(i)

alpharad = .Alpha * 3.14159265358979 / 180 'alpha in

radian

l = (node(jk).X - node(ji).X) / .Lf

m = (node(jk).Y - node(ji).Y) / .Lf

n = (node(jk).Z - node(ji).Z) / .Lf

If l = 0 And n = 0 Then

O = -m * Cos(alpharad)

P = 0

q = Sin(alpharad)

r = m * Sin(alpharad)

S = 0

T = Cos(alpharad)

Else

d = Sqr(l * l + n * n)

O = (-l * m * Cos(alpharad) - n * Sin(alpharad)) / d

P = d * Cos(alpharad)

q = (-m * n * Cos(alpharad) + l * Sin(alpharad)) / d

r = (l * m * Sin(alpharad) - n * Cos(alpharad)) / d

S = (-d * Sin(alpharad))

T = (m * n * Sin(alpharad) + l * Cos(alpharad)) / d

```

End If
For tt = 1 To 4
    M_trans((-2 + (tt * 3)), (-2 + (tt * 3)), i) = l
    M_trans((-2 + (tt * 3)), (-1 + (tt * 3)), i) = m
    M_trans((-2 + (tt * 3)), (0 + (tt * 3)), i) = n
    M_trans((-1 + (tt * 3)), (-2 + (tt * 3)), i) = o
    M_trans((-1 + (tt * 3)), (-1 + (tt * 3)), i) = p
    M_trans((-1 + (tt * 3)), (0 + (tt * 3)), i) = q
    M_trans((0 + (tt * 3)), (-2 + (tt * 3)), i) = r
    M_trans((0 + (tt * 3)), (-1 + (tt * 3)), i) = s
    M_trans((0 + (tt * 3)), (0 + (tt * 3)), i) = t
Next tt
End With
progress "Calculating Transform Matrix...", jf, i
Next i
End Sub

```

Prosedur perhitungan beban nodal ekivalen akibat beban merata pd batang (frame load)

```

Sub FrameLoadProc()
    ReDim M_lclFLoadEq(12, jf) As Double
    ReDim M_temp(12) As Double
    ReDim M_trans(12, 12) As Double
    ReDim id(12)
    For i = 1 To jf
        'global>>local frame load
        For ti = 1 To 3
            Sum = 0
            For tj = 1 To 3
                Sum = Sum + M_trans(ti, tj, i) * M_FLoad(tj, i)
            Next tj
            M_temp(ti) = Sum
        Next ti
        With frame(i)
            'equivalent load for qx
            pxi = M_temp(1) * .Lf / 2
        End With
    Next i
End Sub

```

```

pxk = pxi
'equivalent load for qy
pyi = M_temp(2) * Lf / 2
pyk = pyi
mzi = M_temp(2) * Lf^2 / 12
mzk = -mzi
'equivalent load for qz
pzi = M_temp(3) * Lf / 2
pzk = pzi
myi = -M_temp(3) * Lf^2 / 12
myk = -myi
'Local Frame load matrix
M_lclFLoadEq(1, i) = pxi
M_lclFLoadEq(2, i) = pyi
M_lclFLoadEq(3, i) = pzi
M_lclFLoadEq(4, i) = mxi
M_lclFLoadEq(5, i) = myi
M_lclFLoadEq(6, i) = mzi
M_lclFLoadEq(7, i) = ppx
M_lclFLoadEq(8, i) = pyk
M_lclFLoadEq(9, i) = pzk
M_lclFLoadEq(10, i) = mxk
M_lclFLoadEq(11, i) = myk
M_lclFLoadEq(12, i) = mz

'transformation transpose
For ti = 1 To 12
    For tj = 1 To 12
        M_trans(tj, ti) = M_trans(ti, tj, i)
    Next tj
Next ti
'Global Frame load matrix
For ti = 1 To 12
    Sum = 0
    For tj = 1 To 12

```

```

Sum = Sum + M_transt(ti, tj) * M_lclFLoadEq(tj, i)
Next tj
M_temp(ti) = Sum
Next ti
'superpositioning
id(1) = 6 * .ji - 5
id(2) = 6 * .ji - 4
id(3) = 6 * .ji - 3
id(4) = 6 * .ji - 2
id(5) = 6 * .ji - 1
id(6) = 6 * .ji
id(7) = 6 * .jk - 5
id(8) = 6 * .jk - 4
id(9) = 6 * .jk - 3
id(10) = 6 * .jk - 2
id(11) = 6 * .jk - 1
id(12) = 6 * .jk
For mi = 1 To 12
    M_FLoadEq(id(mi)) = M_FLoadEq(id(mi)) + M_temp(mi)
Next mi
End With
Next i
End Sub

Prosedur perhitungan matriks kekakuan
Sub StiffnessMatrix()
    ReDim M_transt(12, 12) As Double
    ReDim M_temp(12, 12) As Double
    ReDim M_kLokal(12, 12, jf) As Double
    ReDim M_kGlobale(12, 12) As Double
    ReDim id(12)
    '-----clean matriks-----
    For i = 1 To 12
        For j = 1 To 12
            For k = 1 To jf
                M_kLokal(i, j, k) = 0

```

```

Next k
Next j
Next i
For i = 1 To BM
For j = 1 To BM
M_kGlobals(i, j) = 0
Next j
Next i
'-----  

For i = 1 To jf
With frame(i)
'transformation
For ti = 1 To 12
For tj = 1 To 12
M_transt(tj, ti) = M_trans(ti, tj, i)
Next tj
Next ti  

'local stiffness matrix
If section(.secprop).Ashr < 0 Then
  phiz = 12 * material(section(.secprop).mat).E *
  section(.secprop).I2 / (material(section(.secprop).mat).G *
  section(.secprop).Ashr * .Lf ^ 2)
  phiy = 12 * material(section(.secprop).mat).E *
  section(.secprop).I3 / (material(section(.secprop).mat).G *
  section(.secprop).Ashr * .Lf ^ 2)
End If
  ka = material(section(.secprop).mat).E *
  section(.secprop).Af / .Lf
  kt = material(section(.secprop).mat).G * section(.secprop).Jx
  / .Lf
  kz1 = 12 * material(section(.secprop).mat).E *
  section(.secprop).I3 / (.Lf ^ 3 * (1 + phiy))
  kz2 = 6 * material(section(.secprop).mat).E *

```

```

section(.secprop).I3 / (.Lf ^ 2 * (1 + phiy))
kz3 = (4 + phiy) * material(section(.secprop).mat).E *
section(.secprop).I3 / (.Lf * (1 + phiy))
kz4 = (2 - phiy) * material(section(.secprop).mat).E *
section(.secprop).I3 / (.Lf * (1 + phiy))
ky1 = 12 * material(section(.secprop).mat).E *
section(.secprop).I2 / (.Lf ^ 3 * (1 + phiz))
ky2 = 6 * material(section(.secprop).mat).E *
section(.secprop).I2 / (.Lf ^ 2 * (1 + phiz))
ky3 = (4 + phiz) * material(section(.secprop).mat).E *
section(.secprop).I2 / (.Lf * (1 + phiz))
ky4 = (2 - phiz) * material(section(.secprop).mat).E *
section(.secprop).I2 / (.Lf * (1 + phiz))
M_kLokal(1, 1, i) = ka
M_kLokal(1, 7, i) = -ka
M_kLokal(2, 2, i) = kz1
M_kLokal(2, 6, i) = kz2
M_kLokal(2, 8, i) = -kz1
M_kLokal(2, 12, i) = kz2
M_kLokal(3, 3, i) = ky1
M_kLokal(3, 5, i) = -ky2
M_kLokal(3, 9, i) = -ky1
M_kLokal(3, 11, i) = -ky2
M_kLokal(4, 4, i) = kt
M_kLokal(4, 10, i) = -kt
M_kLokal(5, 3, i) = -ky2
M_kLokal(5, 5, i) = ky3
M_kLokal(5, 9, i) = ky2
M_kLokal(5, 11, i) = ky4
M_kLokal(6, 2, i) = kz2
M_kLokal(6, 6, i) = kz3
M_kLokal(6, 8, i) = -kz2
M_kLokal(6, 12, i) = kz4
M_kLokal(7, 1, i) = -ka
M_kLokal(7, 7, i) = ka

```

```

M_kLokal(8, 2, i) = -kz1
M_kLokal(8, 6, i) = -kz2
M_kLokal(8, 8, i) = kz1
M_kLokal(8, 12, i) = -kz2
M_kLokal(9, 3, i) = -ky1
M_kLokal(9, 5, i) = ky2
M_kLokal(9, 9, i) = ky1
M_kLokal(9, 11, i) = ky2
M_kLokal(10, 4, i) = -kt
M_kLokal(10, 10, i) = kt
M_kLokal(11, 3, i) = -ky2
M_kLokal(11, 5, i) = ky4
M_kLokal(11, 9, i) = ky2
M_kLokal(11, 11, i) = ky3
M_kLokal(12, 2, i) = kz2
M_kLokal(12, 6, i) = kz4
M_kLokal(12, 8, i) = -kz2
M_kLokal(12, 12, i) = kz3

```

'global element stiffness matrix

For ti = 1 To 12

For tj = 1 To 12

Sum = 0

For tk = 1 To 12

Sum = Sum + M_trans(ti, tk) * M_kLokal(tk, tj, i)

Next tk

M_temp(ti, tj) = Sum

Next tj

Next ti

For ti = 1 To 12

For tj = 1 To 12

Sum = 0

For tk = 1 To 12

Sum = Sum + M_temp(ti, tk) * M_trans(tk, tj, i)

Next tk

```

M_kGlobale(ti, tj) = Sum
    Next tj
    Next ti
'superpositioning >> Global Structure Stiffness Matrix
id(1) = 6 * ji - 5
id(2) = 6 * ji - 4
id(3) = 6 * ji - 3
id(4) = 6 * ji - 2
id(5) = 6 * ji - 1
id(6) = 6 * ji
id(7) = 6 * jk - 5
id(8) = 6 * jk - 4
id(9) = 6 * jk - 3
id(10) = 6 * jk - 2
id(11) = 6 * jk - 1
id(12) = 6 * jk
For mi = 1 To 12
    For mj = 1 To 12
        M_kGlobals(id(mi), id(mj)) = M_kGlobals(id(mi),
            id(mj)) + M_kGlobale(mi, mj)
        Next mj
    Next mi
End With
progress "Calculating Stiffness Matrix...", jf, i
Next i
End Sub

Prosedur reduksi matriks kekakuan dan beban berdasar kondisi batas yg diinputkan
Sub Boundary_cond()
    'indexing reduced matrix
    BMR = 0
    For i = 1 To BM
        If jrl(i) = 0 Then
            BMR = BMR + 1

```

```

End If
Next i
ReDim idm(BMR) As Integer
m = 0
For i = 1 To BM
    If jrl(i) = 0 Then
        m = m + 1
        idm(m) = i
    End If
Next i

'reducing matrix
ReDim M_kGlobalsR(BMR, BMR) As Double
ReDim M_LoadR(BMR) As Double
ReDim M_temp(BM) As Double
For m = 1 To BMR
    M_LoadR(m) = M_JLoad(idm(m)) + M_FLoadEq(idm(m))
    For n = 1 To BMR
        M_kGlobalsR(m, n) = M_kGlobals(idm(m), idm(n))
    Next n
    progress "Applying Boundary Condition...", BMR, m
    Next m
End Sub

Prosedur analisa
Sub Analysis()
    structureparam
    tableformat
    viewdata

    TransformMatrix
    FrameLoadProc
    StiffnessMatrix
    Boundary_cond
    Call gauss_jordan(M_kGlobalsR, M_LoadR, dispR, BMR)
    LocalForces

```

```

GlobalForces
'TODO: Call Function to Calculate Tulangan Balok
Call formsetting(True)
viewresult
cekColumn
torsireinforcement
beamreinforcement
preplot
plotgraph

progress "Analysis Complete", 1, 1
FormLoading.Command1.Visible = True
End Sub

Prosedur perhitungan gaya (sb lokal batang)
Sub LocalForces()
ReDim disp(BM) As Double
ReDim frmdisp(12, jf) As Double
ReDim localeforce(12, jf) As Double
ReDim M_temp(12)

'all node displacement
idmred = BMR + 1
For i = 1 To BM
    idmn = BM - i + 1
    If jrl(idmn) = 0 Then
        idmred = idmred - 1
        disp(idmn) = dispR(idmred)
    Else
        disp(idmn) = 0#
    End If
Next i
For i = 1 To jf
    With frame(i)
        id(1) = 6 * .ji - 5
    End With
End Sub

```

```

id(2) = 6 * .ji - 4
id(3) = 6 * .ji - 3
id(4) = 6 * .ji - 2
id(5) = 6 * .ji - 1
id(6) = 6 * .ji
id(7) = 6 * .jk - 5
id(8) = 6 * .jk - 4
id(9) = 6 * .jk - 3
id(10) = 6 * .jk - 2
id(11) = 6 * .jk - 1
id(12) = 6 * .jk
For j = 1 To 12
    frmdisp(j, i) = disp(id(j)) 'displacement vector per element
Next j
End With
'{f}=[k][T]{D}
For ti = 1 To 12
    Sum = 0
    For tj = 1 To 12
        Sum = Sum + M_trans(ti, tj, i) * frmdisp(tj, i)
    Next tj
    M_temp(ti) = Sum
Next ti
For ti = 1 To 12
    Sum = 0
    For tj = 1 To 12
        Sum = Sum + M_kLokal(ti, tj, i) * M_temp(tj)
    Next tj
    localeforce(ti, i) = Sum - M_lclFLoadEq(ti, i)
Next ti
Next i
End Sub

```

Prosedur perhitungan gaya (sb global)

```

Sub GlobalForces()
ReDim globalforce(BM)

```

```
'{F}=[Ks]{D}
For ti = 1 To BM
    Sum = 0
    For tj = 1 To BM
        Sum = Sum + M_kGlobals(ti, tj) * disp(tj)
    Next tj
    globalforce(ti) = Sum - M_FLoadEq(ti)
```

Next ti
End Sub

Prosedur perhitungan penyelesaian persamaan linier dg metode gauss
Sub gauss_jordan(c() As Double, V() As Double, X() As Double,
n As Integer)

```
ReDim X(n) As Double
For k = 1 To n
    If c(k, k) = 0 Then GoTo 220

    'normalization
200:   For j = k + 1 To n
            c(k, j) = c(k, j) / c(k, k)
        Next j
        V(k) = V(k) / c(k, k)
        If i = n Then GoTo 300 Else GoTo 250
```

```
'pivoting
220:   For i = k + 1 To n
            If c(i, k) <> 0 Then GoTo 230
        Next i
```

'matrix is singular
GoTo 300

```
230:   For j = k + 1 To n
            T = c(k, j)
            c(k, j) = c(i, j)
            c(i, j) = T
        Next j
        T = V(k)
```

```

V(k) = V(i)
V(i) = T
GoTo 200

'elimination
250: For i = 1 To n
    If i = k Then GoTo 265
    For j = k + 1 To n
        c(i, j) = c(i, j) - c(i, k) * c(k, j)
    Next j
    V(i) = V(i) - c(i, k) * V(k)
265: Next i
    progress "Solving Equations..." & "(" & k & "/" & n & ")"
    n, k
    Next k
    X = V
    Exit Sub
300:
MsgBox ("Warning: Structure is unstable")
End Sub

Prosedur perhitungan gaya dalam elemen
Sub ElemenForces(ByVal member As Integer, ByVal location As
Single, VY, MZ, VZ, MY, FX, MX)
    i = member
    l = location

    'global2local frame load
    For ti = 1 To 3
        Sum = 0
        For tj = 1 To 3
            Sum = Sum + M_trans(ti, tj, i) * M_FLoad(tj, i)
        Next tj
        M_temp(ti) = Sum
    Next ti

```

```
'Calculation for element force/stress diagram
VY = -localeforce(2, i) - l * M_temp(2)
MZ = -localeforce(6, i) + localeforce(2, i) * l + 0.5 * l ^ 2 *
M_temp(2)
VZ = -localeforce(3, i) - l * M_temp(3)
MY = localeforce(5, i) + localeforce(3, i) * l + 0.5 * l ^ 2 *
M_temp(3)
FX = -localeforce(1, i) - l * M_temp(1)
Mx = -localeforce(4, i)
End Sub
```

Lampiran B

**LISTING CODE
THE DESIGN OF BEAM REINFORCED
CONCRETE FLEXURAL**



Perhitungan tulangan lentur pada elemen balok

Sub beamReinforcement()

```

tes = 1
Dim rasionya As Double
raisionya = Val(MainForm.Text14.text)
jbr = 0
Dim x1, y1, z1, x2, y2, z2, nTekanTemp As Integer

For i = 1 To jf
    x1 = node(frame(i).ji).X
    y1 = node(frame(i).ji).Y
    z1 = node(frame(i).ji).Z
    x2 = node(frame(i).jk).X
    y2 = node(frame(i).jk).Y
    z2 = node(frame(i).jk).Z
    If section(frame(i).secprop).type = 1 Or
        section(frame(i).secprop).type = 3 And x1 <> x2 And
        y1 = y2 And z1 = z2 Then
        jbr = jbr + 1
    End If
Next i
If jbr <> 0 Then
    ReDim beamRe(jbr) As data_reinforcementforce
    Dim countBeam As Integer
    countBeam = 1
    For i = 1 To jf
        x1 = node(frame(i).ji).X
        y1 = node(frame(i).ji).Y
        z1 = node(frame(i).ji).Z
        x2 = node(frame(i).jk).X
        y2 = node(frame(i).jk).Y
        z2 = node(frame(i).jk).Z
        If section(frame(i).secprop).type = 1 Or
            section(frame(i).secprop).type = 3 And x1 <> x2 And
            y1 = y2 And z1 = z2 Then

```

'Calculate Tulangan Balok TENGAH

```

Dim length As Double
length = frame(i).Lf
length = length / 2
Call ElemenForces(i, length, VY, MZ, VZ, MY, FX, MX)
Dim mz1, mz2 As Double 'Bandingkan Mz dan My di tengah sebagai Mn
mz1 = Abs(MZ) 'Abs(localeforce(6, i))
mz2 = Abs(MY) 'Abs(localeforce(12, i))
If mz1 < mz2 Then
    mz1 = mz2
End If
mz1 = mz1 * 9800

Dim Rn, Mn, B, d, m, fy, fc, pperlu, AsPerlu, a, teT As Double
Dim idMat, ntarik, ntekan, dimensi As Integer
dimensi = tulangan.type + 13
Mn = mz1 / 0.8
B = section(frame(i).secprop).BorR * 1000
d = (section(frame(i).secprop).d * 1000) - 50 - (0.5 * dimensi)
Rn = Mn / (B * d * d)
fy = tulangan.fy
idMat = section(frame(i).secprop).mat
fc = material(idMat).f1
m = fy / (0.85 * fc)
If (2 * m * Rn) / fy > 1 Then
    MsgBox ("Perbesar Diameter Penampang")
Else
    teT = (2 * m * Rn) / fy
    pperlu = (1 - Sqr(1 - teT)) / m
    AsPerlu = pperlu * B * d

```

```

Val(MainForm.ListFrame.TextMatrix(i, 25))
a = tulangan.a
If AsPerlu / a = Int(AsPerlu / a) Then
    ntarik = AsPerlu / a
Else
    ntarik = Int(AsPerlu / a) + 1
End If
If ntarik < 2 Then ntarik = 2
MainForm.ListFrame.TextMatrix(i, 22) = (Int((ntarik -
1) / 4) + 1) * 4
Dim X, keluar As Integer
Dim temp, A1s, A2s, P1, P2, b1, d1 As Double
Dim Es, E1s, F1s, aKecil, MnTekan, esI As Double
Dim ratio, et, c, phii As Double
X = 2
d1 = 50 + dimensi / 2
b1 = material(idMat).B
Es = 200000
keluar = 0
temp = rasionya * ntarik
If temp = Int(temp) Then
    ntekhan = temp
Else
    ntekhan = Int(temp) + 1
End If
If ntekhan = 1 Then
    ntekhan = ntekhan + 1
End If
Dim ind As Integer
Ao = 1
bo = d
For ind = 1 To 1000
    Call cariMn(fc, B, Ao, bo, ntekhan, dimensi, Es,
    ntarik, d, 0)

```

```

Next ind
es1 = ((mo - 50) * 0.003 / mo) * -1
fs1 = es1 * Es
fs2 = (Es * ((0.003 * d / mo) - 0.003))
If fs1 < -400 Then fs1 = -400
If fs2 > 400 Then fs2 = 400
MnTekan = Abs(0.85 * fc * B * 0.85 * mo) * (H / 2 -
0.85 * mo / 2) + Abs(ntekan * phi * dimensi ^ 2 * fs1
/ 4) * (H / 2 - d1) + Abs(ntarik * phi * dimensi ^ 2 *
fs2 / 4) * (d - H / 2)
et = 0.003 * (d / mo - 1)
If et <= 0.002 Then
    phii = 0.65
ElseIf et >= 0.005 Then
    phii = 0.8
Else
    phii = 0.65 + (et - 0.002) * (150 / 3)
End If
If phii * MnTekan - mz1 >= 0 Then
    With beamRe(countBeam)
        .frame = i
        If ntekan = 1 Then
            ntekan = ntekan + 1
        End If
        Dim str, nUp, nDown As Double
        str = (B - 100 - ntarik * dimensi) / (ntarik - 1)
        If str < dimensi Or str <= 25 Then
            d1 = 50 + dimensi
            'Hitung nUp & nDown
            nUp = 2
            nDown = ntarik - 2
            str = (B - 100 - nDown * dimensi) /
            (nDown - 1)
            Do Until str >= dimensi And str >= 25
                nDown = nDown - 1
        End If
    End With
End If

```

```

nUp = nUp + 1
str = (B - 100 - nDown * dimensi) /
(nDown - 1)
Loop
Ao = 1
bo = d
For ind = 1 To 1000
Call cariMn(fc, B, Ao, bo, ntekan, dimensi,
Es, ntarik, d, nUp)
Next ind
es1 = ((mo - 50) * 0.003 / mo) * -1
fs1 = es1 * Es
fs2 = (Es * ((0.003 * d / mo) - 0.003))
If fs1 < -400 Then fs1 = -400
If fs2 > 400 Then fs2 = 400
MnTekan = Abs(0.85 * fc * B * 0.85 * mo) *
(H / 2 - 0.85 * mo / 2) + Abs(ntekan * phi *
dimensi ^ 2 * fs1 / 4) * (H / 2 - d1) +
Abs((ntarik - nUp) * phi * dimensi ^ 2 * fs2 /
4) * (d - H / 2) + Abs(nUp * phi * dimensi ^ 2
* fs2 / 4) * (d - H / 2 - 25)
End If
.ntarik = ntarik
.ntekan = ntekan
.Mn = mz1
.phiMnTekan = phii * MnTekan
.B = B
Dim ktr, ld, Pi, gamma As Double
Pi = 4 * Atn(1)
ktr = (ntarik * 0.25 * Pi * dimensi * dimensi *
fy) / (10 * str * ntarik)
If dimensi >= 22 Then
    gamma = 1
Else
    gamma = 0.8

```

```

End If
ld = (9 * fy * 1 * 1 * gamma * 1 * dimensi) /
(10 * Sqr(fc) * ((mo + ktr) / dimensi))
.ldTarik = ld
.ldTarikTengah = ld
If rasionya <> 0 Then
    ldTkn1 = dimensi * fy / (4 * Sqr(fc))
    ldTkn2 = 0.04 * dimensi * fy
    If ldTkn1 > ldTkn2 Then
        ldTekan = ldTkn1
        ldTekanTengah = ldTkn1
    Else
        ldTekan = ldTkn2
        ldTekanTengah = ldTkn2
    End If
Else: ldTekan = 0
End If
End With
Else
    MsgBox ("(Center) Enlarge the ratio or load too
big")
End If
End If

'Calculate Tulangan Balok KIRI
length = 0.5 * section(frame(i).secprop).BorR
Call ElemenForces(i, length, VY, MZ, VZ, MY, FX, Mx)
'Bandingkan Mz dan My di kiri sebagai Mn
mz1 = Abs(MZ) 'Abs(localeforce(6, i))
mz2 = Abs(MY) 'Abs(localeforce(12, i))
If mz1 < mz2 Then
    mz1 = mz2
End If
dimensi = tulangan.type + 13
mz1 = mz1 * 9800

```

```

Mn = mz1 / 0.8
B = section(frame(i).secprop).BorR * 1000
d = (section(frame(i).secprop).d * 1000) - 50 - (0.5 *
dimensi)
Rn = Mn / (B * d * d)
fy = tulangan.fy
idMat = section(frame(i).secprop).mat
fc = material(idMat).f1
m = fy / (0.85 * fc)
If (2 * m * Rn) / fy > 1 Then
    pperlu = 0
Else
    teT = (2 * m * Rn) / fy
    pperlu = (1 - Sqr(1 - teT)) / m
    AsPerlu = pperlu * B * d +
    Val(MainForm.ListFrame.TextMatrix(i, 23))
    a = tulangan.a
    If AsPerlu / a = Int(AsPerlu / a) Then
        ntarik = AsPerlu / a
    Else
        ntarik = Int(AsPerlu / a) + 1
    End If
    If ntarik < 2 Then ntarik = 2
    MainForm.ListFrame.TextMatrix(i, 19) = (Int((ntarik -
    1) / 4) + 1) * 4
    X = 2
    d1 = 50 + dimensi / 2
    b1 = material(idMat).B
    Es = 200000
    keluar = 0
    temp = rasionya * ntarik
    If temp = Int(temp) Then
        ntekan = temp
    Else
        ntekan = Int(temp) + 1
    End If
End If

```

```

End If
If ntek = 1 Then
    ntek = ntek + 1
End If
Ao = 1
bo = d
For ind = 1 To 1000
    Call cariMn(fc, B, Ao, bo, ntek, dimensi, Es,
    ntarik, d, 0)
Next ind
es1 = ((mo - 50) * 0.003 / mo) * -1
fs1 = es1 * Es
fs2 = (Es * ((0.003 * d / mo) - 0.003))
If fs1 < -400 Then fs1 = -400
If fs2 > 400 Then fs2 = 400
MnTekan = Abs(0.85 * fc * B * 0.85 * mo) * (H / 2 -
    0.85 * mo / 2) + Abs(ntek * phi * dimensi ^ 2 * fs1
    / 4) * (H / 2 - d1) + Abs(ntarik * phi * dimensi ^ 2 *
    fs2 / 4) * (d - H / 2)
et = 0.003 * (d / mo - 1)
If et <= 0.002 Then
    phii = 0.65
ElseIf et >= 0.005 Then
    phii = 0.8
Else
    phii = 0.65 + (et - 0.002) * (150 / 3)
End If
If phii * MnTekan - mz1 >= 0 Or ntek = 1 Then
    With beamRe(countBeam)
        .frame = i
        If ntek = 1 Then
            ntek = ntek + 1
        End If
        str = (B - 100 - ntarik * dimensi) / (ntarik - 1)
        If str < dimensi Or str <= 25 Then

```

```

d1 = 50 + dimensi
'Hitung nUp & nDown
nUp = 2
nDown = ntarik - 2
str = (B - 100 - nDown * dimensi) /
(nDown - 1)
Do Until str >= dimensi And str >= 25
    nDown = nDown - 1
    nUp = nUp + 1
    str = (B - 100 - nDown * dimensi) /
(nDown - 1)
Loop
Ao = 1
bo = d
For ind = 1 To 1000
    Call cariMn(fc, B, Ao, bo, ntek, dimensi,
    Es, ntarik, d, nUp)
    Next ind
    es1 = ((mo - 50) * 0.003 / mo) * -1
    fs1 = es1 * Es
    fs2 = (Es * ((0.003 * d / mo) - 0.003))
    If fs1 < -400 Then fs1 = -400
    If fs2 > 400 Then fs2 = 400
    MnTekan = Abs(0.85 * fc * B * 0.85 * mo) *
    (H / 2 - 0.85 * mo / 2) + Abs(ntek * phi *
    dimensi ^ 2 * fs1 / 4) * (H / 2 - d1) +
    Abs((ntarik - nUp) * phi * dimensi ^ 2 * fs2 /
    4) * (d - H / 2) + Abs(nUp * phi * dimensi ^ 2
    * fs2 / 4) * (d - H / 2)
End If
.nTarikKiri = ntarik
.nTekanKiri = ntek
.mnKiri = mz1
.phiMnTekanKiri = phii * MnTekan
Pi = 4 * Atn(1)

```

```

ktr = (ntarik * 0.25 * Pi * dimensi * dimensi *
fy) / (10 * str * ntarik)
If dimensi >= 22 Then
    gamma = 1
Else
    gamma = 0.8
End If
ld = (9 * fy * 1 * 1 * gamma * 1 * dimensi) /
(10 * Sqr(fc) * ((mo + ktr) / dimensi))
.ldTarik = ld
.ldTarikKiri = ld
If rasionya <> 0 Then
    ldTkn1 = dimensi * fy / (4 * Sqr(fc))
    ldTkn2 = 0.04 * dimensi * fy
    If ldTkn1 > ldTkn2 Then
        .ldTekan = ldTkn1
        .ldTekanKiri = ldTkn1
    Else
        .ldTekan = ldTkn2
        .ldTekanKiri = ldTkn2
    End If
    Else: .ldTekan = 0
End If
End With
keluar = 1
Else
    MsgBox ("(Left) Enlarge the ratio or load too big")
End If
End If

```

'Calculate Tulangan Balok KANAN

```

length = frame(i).Lf - (0.5 * section(frame(i).secprop).BorR)
Call ElemenForces(i, length, VY, MZ, VZ, MY, FX, Mx)
'Bandingkan Mz dan My di kiri sebagai Mn
mz1 = Abs(MZ) 'Abs(localeforce(6, i))

```

```

mz2 = Abs(MY) 'Abs(localeforce(12, i))
If mz1 < mz2 Then
    mz1 = mz2
End If
mz1 = mz1 * 9800
Mn = mz1 / 0.8
dimensi = tulangan.type + 13
B = section(frame(i).secprop).BorR * 1000
d = (section(frame(i).secprop).d * 1000) - 50 - (0.5 *
dimensi)
Rn = Mn / (B * d * d)
fy = tulangan.fy
idMat = section(frame(i).secprop).mat
fc = material(idMat).f1
m = fy / (0.85 * fc)
If (2 * m * Rn) / fy > 1 Then
    pperlu = 0
Else
    teT = (2 * m * Rn) / fy
    pperlu = (1 - Sqr(1 - teT)) / m
    AsPerlu = pperlu * B * d +
    Val(MainForm.ListFrame.TextMatrix(i, 24))
    a = tulangan.a
    If AsPerlu / a = Int(AsPerlu / a) Then
        ntarik = AsPerlu / a
    Else
        ntarik = Int(AsPerlu / a) + 1
    End If
    If ntarik < 2 Then ntarik = 2
    MainForm.ListFrame.TextMatrix(i, 20) = (Int((ntarik -
    1) / 4) + 1) * 4
    X = 2
    d1 = 50 + dimensi / 2
    b1 = material(idMat).B
    Es = 200000

```

```

temp = rasionya * ntarik
If temp = Int(temp) Then
    ntekan = temp
Else
    ntekan = Int(temp) + 1
End If
If ntekan = 1 Then
    ntekan = ntekan + 1
End If
Ao = 1
bo = d
For ind = 1 To 1000
    Call cariMn(fc, B, Ao, bo, ntekan, dimensi, Es,
    ntarik, d, 0)
Next ind
es1 = ((mo - 50) * 0.003 / mo) * -1
fs1 = es1 * Es
fs2 = (Es * ((0.003 * d / mo) - 0.003))
If fs1 < -400 Then fs1 = -400
If fs2 > 400 Then fs2 = 400
MnTekan = Abs(0.85 * fc * B * 0.85 * mo) * (H / 2 -
    0.85 * mo / 2) + Abs(ntekan * phi * dimensi ^ 2 * fs1
    / 4) * (H / 2 - d1) + Abs(ntarik * phi * dimensi ^ 2 *
    fs2 / 4) * (d - H / 2)
et = 0.003 * (d / mo - 1)
If et <= 0.002 Then
    phii = 0.65
ElseIf et >= 0.005 Then
    phii = 0.8
Else
    phii = 0.65 + (et - 0.002) * (150 / 3)
End If
If phii * MnTekan - mz1 >= 0 Or ntekan = 1 Then
    With beamRe(countBeam)
        .frame = i

```

```

str = (B - 100 - ntarik * dimensi) / (ntarik - 1)
If str < dimensi Or str <= 25 Then
    d1 = 50 + dimensi
    'Hitung nUp & nDown
    nUp = 2
    nDown = ntarik - 2
    str = (B - 100 - nDown * dimensi) / (nDown - 1)
    Do Until str >= dimensi And str >= 25
        nDown = nDown - 1
        nUp = nUp + 1
        str = (B - 100 - nDown * dimensi) /
            (nDown - 1)
    Loop
    Ao = 1
    bo = d
    For ind = 1 To 1000
        Call cariMn(fc, B, Ao, bo, ntek, dimensi,
                    Es, ntarik, d, nUp)
        Next ind
        es1 = ((mo - 50) * 0.003 / mo) * -1
        fs1 = es1 * Es
        fs2 = (Es * ((0.003 * d / mo) - 0.003))
        If fs1 < -400 Then fs1 = -400
        If fs2 > 400 Then fs2 = 400
        MnTekan = Abs(0.85 * fc * B * 0.85 * mo) *
            (H / 2 - 0.85 * mo / 2) + Abs(ntek * phi *
            dimensi ^ 2 * fs1 / 4) * (H / 2 - d1) +
            Abs((ntarik - nUp) * phi * dimensi ^ 2 * fs2 / 4)
            * (d - H / 2) + Abs(nUp * phi * dimensi ^ 2 *
            fs2 / 4) * (d - H / 2)
        End If
        .nTarikKanan = ntarik
        .nTekanKanan = ntek
        .mnKanan = mz1
        .phiMnTekanKanan = phii * MnTekan
    
```

```

Pi = 4 * Atan(1)
ktr = (ntarik * 0.25 * Pi * dimensi * dimensi *
fy) / (10 * str * ntarik)
If dimensi >= 22 Then
    gamma = 1
Else
    gamma = 0.8
End If
ld = (9 * fy * 1 * 1 * gamma * 1 * dimensi) /
(10 * Sqr(fc) * ((mo + ktr) / dimensi))
.ldTariK = ld
.ldTariKanan = ld
If rasionya <> 0 Then
    ldTkn1 = dimensi * fy / (4 * Sqr(fc))
    ldTkn2 = 0.04 * dimensi * fy
    If ldTkn1 > ldTkn2 Then
        .ldTekan = ldTkn1
        .ldTekanKanan = ldTkn1
    Else
        .ldTekan = ldTkn2
        .ldTekanKanan = ldTkn2
    End If
    Else: .ldTekan = 0
    End If
End With
countBeam = countBeam + 1
keluar = 1
Else
    X = X + 1
    nTekanTemp = ntekana
End If
End If
End If
Next i

```

With MainForm.ListBeamReinforcement

```

.Rows = jbr + 1
For i = 1 To jbr
    .TextMatrix(i, 0) = beamRe(i).frame
    .TextMatrix(i, 1) = beamRe(i).ntarik
    .TextMatrix(i, 2) = beamRe(i).ntekan
    .TextMatrix(i, 3) = CStr(beamRe(i).ntarik) + " D-" +
        CStr(tulangan.type + 13)
    .TextMatrix(i, 4) = CStr(beamRe(i).ntekan) + " D-" +
        CStr(tulangan.type + 13)
    .TextMatrix(i, 5) = FormatNumber(beamRe(i).Mn, 3,
        vbUseDefault, vbUseDefault, vbUseDefault)
    .TextMatrix(i, 6) = FormatNumber(beamRe(i).phiMnTekan,
        3, vbUseDefault, vbUseDefault, vbUseDefault)
    .TextMatrix(i, 7) = beamRe(i).nTarikKiri
    .TextMatrix(i, 8) = beamRe(i).nTekanKiri
    .TextMatrix(i, 9) = CStr(beamRe(i).nTarikKiri) + " D-" +
        CStr(tulangan.type + 13)
    .TextMatrix(i, 10) = CStr(beamRe(i).nTekanKiri) + " D-" +
        CStr(tulangan.type + 13)
    .TextMatrix(i, 11) = FormatNumber(beamRe(i).mnKiri, 3,
        vbUseDefault, vbUseDefault, vbUseDefault)
    .TextMatrix(i, 12) =
        FormatNumber(beamRe(i).phiMnTekanKiri, 3,
        vbUseDefault, vbUseDefault, vbUseDefault)
    .TextMatrix(i, 13) = beamRe(i).nTarikKanan
    .TextMatrix(i, 14) = beamRe(i).nTekanKanan
    .TextMatrix(i, 15) = CStr(beamRe(i).nTarikKanan) + " D-" +
        CStr(tulangan.type + 13)
    .TextMatrix(i, 16) = CStr(beamRe(i).nTekanKanan) + " D-" +
        CStr(tulangan.type + 13)
    .TextMatrix(i, 17) = FormatNumber(beamRe(i).mnKanan, 3,
        vbUseDefault, vbUseDefault, vbUseDefault)
    .TextMatrix(i, 18) =

```

```

FormatNumber(beamRe(i).phiMnTekanKanan, 3,
vbUseDefault, vbUseDefault, vbUseDefault)
.TextMatrix(i, 19) = beamRe(i).B
.TextMatrix(i, 20) = beamRe(i).ldTarik
.TextMatrix(i, 21) = beamRe(i).ldTekan
.TextMatrix(i, 22) = beamRe(i).ldTarikKiri
.TextMatrix(i, 23) = beamRe(i).ldTekanKiri
.TextMatrix(i, 24) = beamRe(i).ldTarikTengah
.TextMatrix(i, 25) = beamRe(i).ldTekanTengah
.TextMatrix(i, 26) = beamRe(i).ldTarikKanan
.TextMatrix(i, 27) = beamRe(i).ldTekanKanan
Next i
End With
Else
MainForm.mnAFlexure.Enabled = False
MainForm.mnATorsi.Enabled = False
End If
End Sub

Perhitungan dengan metoda Bolzano mencari nilai c
Sub cariC(fc, B, Ao, bo, ntekan, dimensi, Es, ntarik, d, nUp)
    Dim ind As Integer
    Dim ci, cy, cek, m1, m2, Cc, cs, ttt, fs1, fs2, es1 As Double

    mo = (Ao + bo) / 2
    ci = mo
    es1 = ((ci - 50) * 0.003 / ci) * -1
    fs1 = es1 * Es
    fs2 = (Es * ((0.003 * d / ci) - 0.003))
    If fs1 < -400 Then fs1 = -400
    If fs2 > 400 Then fs2 = 400
    m1 = -(0.85 * fc * B * 0.85 * ci) + (ntekan * phi * dimensi ^ 2
    * fs1 / 4) + ((ntarik - nUp) * phi * dimensi ^ 2 * fs2 / 4) + (nUp
    * phi * dimensi ^ 2 * fs2 / 4)

```

```
cy = bo
fs1 = ((cy - 50) * 0.003 / cy * Es) * -1
fs2 = (Es * ((0.003 * d / cy) - 0.003))
If fs1 < -400 Then fs1 = -400
If fs2 > 400 Then fs2 = 400
m2 = -(0.85 * fc * B * 0.85 * cy) + (ntekan * phi * dimensi ^ 2
* fs1 / 4) +((ntarik - nUp) * phi * dimensi ^ 2 * fs2 / 4) + (nUp
* phi * dimensi ^ 2 * fs2 / 4)

If tes = 1000 Then tes = 0
tes = tes + 1
If m1 * m2 <= 0 Then
    Ao = mo
Else:
    bo = mo
End If
End Sub
```

Lampiran C

LISTING CODE MODUL FILE MANAGER

Pendefinisian seluruh variabel yang digunakan dalam perhitungan struktur

Public filedata As New FileSystemObject

Public filestream As TextStream

Public str, xfile As String

Public tabletoexport As MSFlexGrid

Public objWorkbook, objExcel

Fungsi untuk membuka file

Function openfile() As String

With MainForm.CommonDialog1

.CancelError = True

On Error GoTo errhandler

.Filter = "SFAP Input File (*.sif)|*.sif|Text File (*.txt)|*.txt|All Files (*.*)|*.*"

.ShowOpen

openfile = .FileName

End With

errhandler:

End Function

Fungsi untuk menyimpan file

Function savefile() As String

With MainForm.CommonDialog1

.CancelError = True

On Error GoTo errhandler

.Filter = "SFAP File (*.sif)|*.sif|All Files (*.*)|*.*"

.Flags = cdlOFNOverwritePrompt

.ShowSave

savefile = .FileName

End With

errhandler:

End Function

Prosedur membaca data

Sub dataread(success As Boolean)

success = True

On Error GoTo inputerrorhandler

Open xfile For Input As #1

Input #1, Title

Input #1, sep

Input #1, jm, jsp, jn, jf, js

FormLoading.Show

ReDim material(jm) As data_material

ReDim section(jsp) As data_sectionproperties

ReDim node(jn) As data_node

ReDim frame(jf) As data_frame

BM = 6 * jm

ReDim M_kGlobals(BM, BM) As Double

ReDim jrl(BM) As Integer

ReDim M_JLoad(BM) As Double

ReDim M_FLoadEq(BM) As Double

Input #1, sep

'material properties

For i = 1 To jm

With material(i)

Input #1, No, .mname, .E, .G, .f1, .B

End With

progress "Read Material Properties...", jm, i

Next i

Input #1, sep

'section properties

For i = 1 To jsp

With section(i)

**Input #1, No, .sname, .Af, .Ashr, .I3, .I2, .Jx, .mat, .type,
.BorR, .d, .ec**

End With

progress "Read Section Properties...", jsp, i

Next i

Input #1, sep

'node coordinate

For i = 1 To jn

With node(i)

Input #1, No, .X, .Y, .Z

End With

progress "Read Node Coordinates..", jn, i

Next i

Input #1, sep

'frame properties

For i = 1 To jf

With frame(i)

Input #1, No, .ji, .jk, .Alpha, .secprop, .type, .BorR, .d, .ec

lx = node(.jk).X - node(.ji).X

ly = node(.jk).Y - node(.ji).Y

lz = node(.jk).Z - node(.ji).Z

.Lf = Sqr(lx * lx + ly * ly + lz * lz)

End With

progress "Read Frame Properties..", jf, i

Next i

Input #1, sep

'joint restraint

For i = 1 To js

Input #1, nodal, xdx, xdy, xdz, xtx, xty, xtz

jrl(6 * nodal - 5) = xdx

jrl(6 * nodal - 4) = xdy

jrl(6 * nodal - 3) = xdz

jrl(6 * nodal - 2) = xtx

jrl(6 * nodal - 1) = xty

jrl(6 * nodal) = xtz

progress "Read Joint Restraint..", js, i

Next i

Input #1, sep

'joint loads

Input #1, jl

For i = 1 To jl

Input #1, nodal, PX, PY, PZ, Mx, MY, MZ

M_JLoad(6 * nodal - 5) = PX

M_JLoad(6 * nodal - 4) = PY

M_JLoad(6 * nodal - 3) = PZ

M_JLoad(6 * nodal - 2) = Mx

M_JLoad(6 * nodal - 1) = MY

M_JLoad(6 * nodal) = MZ

progress "Read Joint Loads...", jl, i

Next i

Input #1, sep

'frame loads

ReDim M_FLoad(3, jf)

Input #1, fl

For i = 1 To fl

Input #1, member, qx, qy, qz

M_FLoad(1, member) = qx

M_FLoad(2, member) = qy

M_FLoad(3, member) = qz

progress "Read Frame Loads...", fl, i

Next i

Input #1, sep

With tulangan

Input #1, .type, .d, .a, .fy, .decking, .fyv, .dv1, .dia, .fy2, .Es, .rasio

End With

success = True

Lampiran C

Close #1
Exit Sub

inputerrorhandler:
success = False
Close #1
End Sub

Prosedur tampilkan data input pada tabel jendela utama SFAP

Sub viewdata()

On Error Resume Next

With MainForm.ListMaterial

For i = 1 To jm

On Error Resume Next

.TextMatrix(i, 0) = i
 .TextMatrix(i, 1) = material(i).mname
 .TextMatrix(i, 2) = material(i).E
 .TextMatrix(i, 3) = material(i).G
 .TextMatrix(i, 4) = material(i).fl
 .TextMatrix(i, 5) = material(i).B

Next i

End With

With MainForm.ListFrameSect

For i = 1 To jpg

.TextMatrix(i, 1) = section(i).sname
 .TextMatrix(i, 2) = section(i).Af
 .TextMatrix(i, 3) = section(i).Ashr
 .TextMatrix(i, 4) = section(i).I3
 .TextMatrix(i, 5) = section(i).I2
 .TextMatrix(i, 6) = section(i).Jx
 .TextMatrix(i, 7) = material(section(i).mat).mname
 .TextMatrix(i, 8) = section(i).mat
 .TextMatrix(i, 9) = section(i).type
 .TextMatrix(i, 10) = section(i).BorR
 .TextMatrix(i, 11) = section(i).d
 .TextMatrix(i, 12) = section(i).ec

```

    Next i
End With
With MainForm.ListNode
    For i = 1 To jn
        On Error Resume Next
        .TextMatrix(i, 1) = node(i).X
        .TextMatrix(i, 2) = node(i).Y
        .TextMatrix(i, 3) = node(i).Z
    Next i
End With
With MainForm.ListFrame
    For i = 1 To jf
        On Error Resume Next
        .TextMatrix(i, 1) = frame(i).ji
        .TextMatrix(i, 2) = frame(i).jk
        .TextMatrix(i, 3) = frame(i).Lf
        .TextMatrix(i, 4) = frame(i).Alpha
        .TextMatrix(i, 5) = section(frame(i).secprop).sname
        .TextMatrix(i, 6) = frame(i).secprop
        .TextMatrix(i, 7) = frame(i).type
        .TextMatrix(i, 8) = frame(i).BorR
        .TextMatrix(i, 9) = frame(i).d
        .TextMatrix(i, 10) = frame(i).ec
    Next i
End With

No = 0
For i = 1 To jn
    j1 = 6 * i - 5
    j2 = 6 * i - 4
    j3 = 6 * i - 3
    j4 = 6 * i - 2
    j5 = 6 * i - 1
    j6 = 6 * i
    njn = jrl(j1) + jrl(j2) + jrl(j3) + jrl(j4) + jrl(j5) + jrl(j6)

```

```

If njn <> 0 Then          (0)Bendul.M = i2 / (Minimum/20),  

No = No + 1                   (dapat hasil)  

With MainForm.ListRestraint   (Baris)  

.TextMatrix(No, 0) = No  

.TextMatrix(No, 1) = i  

.TextMatrix(No, 2) = jrl(j1)  (Hasil dari list JointLoad)  

.TextMatrix(No, 3) = jrl(j2)  (Hasil)  

.TextMatrix(No, 4) = jrl(j3)  (Hasil = jadul)  

.TextMatrix(No, 5) = jrl(j4)  (Hasil = jadul)  

.TextMatrix(No, 6) = jrl(j5)  (Hasil)  

.TextMatrix(No, 7) = jrl(j6)  (Hasil = jadul)  

End With                  (Hasil = (R, 0, 0)/Untuk hasil)  

End If                      (Hasil = (R, 0, 0)/Untuk hasil)  

Next i                      (Hasil = (R, 0, 0)/Untuk hasil)  

No = 0  

For i = 1 To jn           (Hasil = (R, 0, 0)/Untuk hasil)  

j1 = 6 * i - 5  

j2 = 6 * i - 4  

j3 = 6 * i - 3  

j4 = 6 * i - 2  

j5 = 6 * i - 1  

j6 = 6 * i  

nld = M_JLoad(j1) + M_JLoad(j2) + M_JLoad(j3) +  

M_JLoad(j4) + M_JLoad(j5) + M_JLoad(j6)  

If nld <> 0 Then          (Hasil = (R, 0, 0)/Untuk hasil)  

No = No + 1  

With MainForm.ListJointLoad   (Hasil = (R, 0, 0)/Untuk hasil)  

.TextMatrix(No, 0) = No  

.TextMatrix(No, 1) = i  

.TextMatrix(No, 2) = M_JLoad(j1)  

.TextMatrix(No, 3) = M_JLoad(j2)  

.TextMatrix(No, 4) = M_JLoad(j3)  

.TextMatrix(No, 5) = M_JLoad(j4)  

.TextMatrix(No, 6) = M_JLoad(j5)

```

```

.TextMatrix(No, 7) = M_JLoad(j6)
End With
End If
Next i

With MainForm.ListFrameLoad
No = 0
For i = 1 To jf
If M_FLoad(1, i) + M_FLoad(2, i) + M_FLoad(3, i) <> 0
Then
No = No + 1
.TextMatrix(No, 0) = No
.TextMatrix(No, 1) = i
.TextMatrix(No, 2) = M_FLoad(1, i)
.TextMatrix(No, 3) = M_FLoad(2, i)
.TextMatrix(No, 4) = M_FLoad(3, i)
End If
Next i
End With

With MainForm
.txtTulanganTypeIndex.text = tulangan.type
.txtTulanganD.text = tulangan.d
.txtTulanganA.text = tulangan.a
.txtTulanganType.text = "D-" + CStr(tulangan.type + 1)
.txtFy.text = tulangan.fy
.Text8.text = tulangan.decking
.Text9.text = tulangan.dv1
.Text10.text = tulangan.fyv
.Text11.text = tulangan.dia
.Text12.text = tulangan.fy2
.Text13.text = tulangan.Es
.Text14.text = tulangan.rasio
End With
End Sub

```

Prosedur tampilkan data output pada tabel jendela utama SFAP
Sub viewresult()

With MainForm.ListDisplacement

For i = 1 To jn

.TextMatrix(i, 0) = i

j1 = 6 * i - 5

j2 = 6 * i - 4

j3 = 6 * i - 3

j4 = 6 * i - 2

j5 = 6 * i - 1

j6 = 6 * i

.TextMatrix(i, 1) = Format(disp(j1), "#0.##########")

.TextMatrix(i, 2) = Format(disp(j2), "#0.##########")

.TextMatrix(i, 3) = Format(disp(j3), "#0.##########")

.TextMatrix(i, 4) = Format(disp(j4), "#0.##########")

.TextMatrix(i, 5) = Format(disp(j5), "#0.##########")

.TextMatrix(i, 6) = Format(disp(j6), "#0.##########")

Next i

End With

Dim fyMax, mzKiri, mzTengah, mzKanan, mMinZ, mMinY,
mMin As Double

fMax = 0

mmax = 0

mmax2 = 0

fzmax = 0

mzKiri = 0

mzTengah = 0

mzKanan = 0

mMin = 99999999999#

mMinY = 99999999999#

mMinZ = 99999999999#

fyMax = 0

With MainForm.ListElementForces

For i = 1 To jf

```

.TextMatrix(i, 0) = i
For j = 1 To 12
    .TextMatrix(i, j) = FormatNumber(localeforce(j, i), 3,
        vbUseDefault, vbUseDefault, vbUseDefault)
    'Format(localeforce(j, i), "#0.#####")
    If j Mod 6 = 1 Then
        If fMax < Abs(.TextMatrix(i, j)) Then fMax =
            Abs(Round((.TextMatrix(i, j)), 3))
    End If
    If j Mod 6 = 3 Then
        If fzmax < Abs(.TextMatrix(i, j)) Then fzmax =
            Abs(Round((.TextMatrix(i, j)), 3))
    End If
    If j Mod 6 = 5 Then
        If mmax < Abs(.TextMatrix(i, j)) Then mmax =
            Abs(Round((.TextMatrix(i, j)), 3))
        If mMinY > Abs(.TextMatrix(i, j)) Then mMinY =
            Abs(Round((.TextMatrix(i, j)), 3))
    End If
    If j Mod 6 = 0 Then
        If mmax2 < Abs(.TextMatrix(i, j)) Then mmax2 =
            Abs(Round((.TextMatrix(i, j)), 3))
        If mMinZ > Abs(.TextMatrix(i, j)) Then mMinZ =
            Abs(Round((.TextMatrix(i, j)), 3))
    End If
    If j Mod 6 = 2 Then
        If fyMax < Abs(.TextMatrix(i, j)) Then fyMax =
            Abs(Round((.TextMatrix(i, j)), 3))
    End If
Next j
MainForm.ListFrame.TextMatrix(i, 13) = mmax
MainForm.ListFrame.TextMatrix(i, 14) = mmax2
MainForm.ListFrame.TextMatrix(i, 26) = mmax
MainForm.ListFrame.TextMatrix(i, 27) = mmax2

```

```

If mmax < mmax2 Then mmax = mmax2
    mMin = Sqr((mMinY ^ 2) + ((mMinZ ^ 2)))
    MainForm.ListFrame.TextMatrix(i, 11) = fMax
    MainForm.ListFrame.TextMatrix(i, 12) = mmax
    MainForm.ListFrame.TextMatrix(i, 15) = fzmax
    If fyMax > fzmax Then
        MainForm.ListFrame.TextMatrix(i, 28) = fyMax
    Else
        MainForm.ListFrame.TextMatrix(i, 28) = fzmax
    End If
    Call ElemenForces(i, 0, VY, MZ, VZ, MY, FX, Mx)
    MainForm.ListFrame.TextMatrix(i, 16) = Abs(Mx)
    Call ElemenForces(i, 2.5, VY, MZ, VZ, MY, FX, Mx)
    MainForm.ListFrame.TextMatrix(i, 21) = Abs(Mx)
    Call ElemenForces(i, 5, VY, MZ, VZ, MY, FX, Mx)
    MainForm.ListFrame.TextMatrix(i, 17) = Abs(Mx)

fMax = 0
mmax = 0
mmax2 = 0
fzmax = 0
fyMax = 0
mMin = 99999999999#
mMinY = 99999999999#
mMinZ = 99999999999#
Next i
End With

No = 0
For i = 1 To jn
    j1 = 6 * i - 5
    j2 = 6 * i - 4
    j3 = 6 * i - 3
    j4 = 6 * i - 2

```

```

j5 = 6 * i - 1
j6 = 6 * i
njl = jrl(j1) + jrl(j2) + jrl(j3) + jrl(j4) + jrl(j5) + jrl(j6)
If njl <> 0 Then
    No = No + 1
    With MainForm.ListSupportReaction
        .TextMatrix(No, 0) = i
        .TextMatrix(No, 1) = Format(globalforce(j1), "#0.#####")
        .TextMatrix(No, 2) = Format(globalforce(j2), "#0.#####")
        .TextMatrix(No, 3) = Format(globalforce(j3), "#0.#####")
        .TextMatrix(No, 4) = Format(globalforce(j4), "#0.#####")
        .TextMatrix(No, 5) = Format(globalforce(j5), "#0.#####")
        .TextMatrix(No, 6) = Format(globalforce(j6), "#0.#####")
    End With
End If
Next i
End Sub

Prosedur penataan format tabel pada jendela utama SFAP
Sub tableformat()
On Error Resume Next
With MainForm.ListMaterial
    .Cols = 6
    .ColWidth(-1) = 1500
    .ColWidth(0) = 495
    .ColAlignment(-1) = flexAlignRightCenter
    .ColAlignment(0) = flexAlignCenterCenter
    .ColAlignment(1) = flexAlignCenterCenter
    .TextMatrix(0, 0) = "No."
    .TextMatrix(0, 1) = "Name"
    .TextMatrix(0, 2) = "E" & Space(16)
    .TextMatrix(0, 3) = "G" & Space(16)
    .TextMatrix(0, 4) = "F'C"
    .TextMatrix(0, 5) = "B"
    .Rows = jm + 1
    For i = 1 To jm

```

```

.TextMatrix(i, 0) = i
Next i
End With

With MainForm.ListFrameSect
.Cols = 13
.ColWidth(-1) = 1500
.ColWidth(0) = 495
.ColWidth(8) = 0
.ColWidth(10) = 0
.ColWidth(11) = 0
.ColWidth(12) = 0
.ColAlignment(-1) = flexAlignRightCenter
.ColAlignment(0) = flexAlignCenterCenter
.ColAlignment(1) = flexAlignCenterCenter
.ColAlignment(7) = flexAlignCenterCenter
.TextMatrix(0, 0) = "No"
.TextMatrix(0, 1) = "Name"
.TextMatrix(0, 2) = "Area" & Space(12)
.TextMatrix(0, 3) = "Shr Area" & Space(10)
.TextMatrix(0, 4) = "I3" & Space(15)
.TextMatrix(0, 5) = "I2" & Space(15)
.TextMatrix(0, 6) = "J1" & Space(15)
.TextMatrix(0, 7) = "Material"
.TextMatrix(0, 9) = "Section Type"
.TextMatrix(0, 10) = "BorR"
.TextMatrix(0, 11) = "D"
.Rows = jsp + 1
For i = 1 To jsp
    .TextMatrix(i, 0) = i
Next i
End With

```

With MainForm.ListNode

```

.Cols = 4
If jn >= 18 Then
    .ColWidth(-1) = (.width - 780) / 3
Else
    .ColWidth(-1) = (.width - 510) / 3
End If
.ColWidth(0) = 495
.ColAlignment(-1) = flexAlignRightCenter
.ColAlignment(0) = flexAlignCenterCenter
.TextMatrix(0, 0) = "No."
.TextMatrix(0, 1) = "X" & Space(13)
.TextMatrix(0, 2) = "Y" & Space(13)
.TextMatrix(0, 3) = "Z" & Space(13)
.Rows = jn + 1
For i = 1 To jn
    .TextMatrix(i, 0) = i
Next i
End With

```

With MainForm.ListFrame

```

.Cols = 32
.ColWidth(-1) = 1500
.ColWidth(0) = 495
.ColWidth(1) = 795
.ColWidth(2) = 795
.ColWidth(6) = 500
.ColWidth(7) = 0
.ColWidth(8) = 0
.ColWidth(9) = 0
.ColWidth(10) = 0
.ColWidth(11) = 0
.ColWidth(12) = 0
.ColWidth(13) = 0
.ColWidth(14) = 0

```

```

    .ColWidth(15) = 0
    .ColWidth(16) = 0
    .ColWidth(17) = 0
    .ColWidth(18) = 0
    .ColWidth(19) = 0
    .ColWidth(20) = 0
    .ColWidth(21) = 0
    .ColWidth(22) = 0
    .ColWidth(23) = 0
    .ColWidth(24) = 0
    .ColWidth(25) = 0
    .ColWidth(26) = 0
    .ColWidth(27) = 0
    .ColWidth(28) = 0
    .ColWidth(29) = 0
    .ColWidth(30) = 0
    .ColWidth(31) = 0
    .ColAlignment(-1) = flexAlignRightCenter
    .ColAlignment(0) = flexAlignCenterCenter
    .ColAlignment(1) = flexAlignCenterCenter
    .ColAlignment(2) = flexAlignCenterCenter
    .ColAlignment(4) = flexAlignCenterCenter
    .TextMatrix(0, 0) = "No."
    .TextMatrix(0, 1) = "Node 1"
    .TextMatrix(0, 2) = "Node 2"
    .TextMatrix(0, 3) = "Length" & Space(11)
    .TextMatrix(0, 4) = "Rot"
    .TextMatrix(0, 5) = "Section Properties"
    .TextMatrix(0, 6) = "Section Id"
    .Rows = jf + 1
    For i = 1 To jf
        .TextMatrix(i, 0) = i
    Next i
End With

```

With MainForm.ListRestraint

```

.Cols = 8
If js >= 18 Then
    .ColWidth(-1) = (.width - 495) / 7
Else
    .ColWidth(-1) = (.width - 525) / 7
End If
.ColWidth(0) = 495
.ColWidth(1) = 713
.ColAlignment(-1) = flexAlignCenterCenter
.TextMatrix(0, 0) = "No."
.TextMatrix(0, 1) = "Node"
.TextMatrix(0, 2) = "Trans X"
.TextMatrix(0, 3) = "Trans Y"
.TextMatrix(0, 4) = "Trans Z"
.TextMatrix(0, 5) = "Rot X"
.TextMatrix(0, 6) = "Rot Y"
.TextMatrix(0, 7) = "Rot Z"
.Rows = js + 1
For i = 1 To js
    .TextMatrix(i, 0) = i
Next i
End With

```

With MainForm.ListJointLoad

```

.Cols = 8
If jl >= 18 Then
    .ColWidth(-1) = (.width - 495) / 7
Else
    .ColWidth(-1) = (.width - 525) / 7
End If
.ColWidth(0) = 495
.ColWidth(1) = 713
.ColAlignment(-1) = flexAlignCenterCenter
.TextMatrix(0, 0) = "No."

```

```

.TextMatrix(0, 1) = "Node"      .mengaturJarakTitikAwal = 0 / 
.TextMatrix(0, 2) = "P X"        .titik = (0,0)
.TextMatrix(0, 3) = "P Y"        .titik = (1,0)
.TextMatrix(0, 4) = "P Z"        .titik = (0,1)
.TextMatrix(0, 5) = "M X"        .titik = (1,-1)
.TextMatrix(0, 6) = "M Y"        .titik = (0,-1)
.TextMatrix(0, 7) = "M Z"        .titik = (-1,0)
.Rows = jl + 1                 .titik = (0,0)
For i = 1 To jl                .titik = (0,0)
    .TextMatrix(i, 0) = i        .titik = (0,0)
    Next i                      .titik = (0,0)
End With                        .titik = (0,0)

With MainForm.ListBoxLoad
    .Cols = 5
    If jl >= 18 Then
        .ColWidth(-1) = (.width - 495) / 4
    Else
        .ColWidth(-1) = (.width - 525) / 4
    End If
    .ColWidth(0) = 495
    .ColWidth(1) = 713
    .ColAlignment(-1) = flexAlignCenterCenter
    .TextMatrix(0, 0) = "No."
    .TextMatrix(0, 1) = "Frame"
    .TextMatrix(0, 2) = "Q X"
    .TextMatrix(0, 3) = "Q Y"
    .TextMatrix(0, 4) = "Q Z"
    .Rows = fl + 1
    For i = 1 To fl
        .TextMatrix(i, 0) = i
        Next i
    End With

```

With MainForm.ListDisplacement

```

.Cols = 7
.ColWidth(-1) = 2000
.ColWidth(0) = 713
.ColAlignment(-1) = flexAlignRightCenter
.ColAlignment(0) = flexAlignCenterCenter
.TextMatrix(0, 0) = "Node"
.TextMatrix(0, 1) = "Trans X" & Space(15)
.TextMatrix(0, 2) = "Trans Y" & Space(15)
.TextMatrix(0, 3) = "Trans Z" & Space(15)
.TextMatrix(0, 4) = "Rot X" & Space(17)
.TextMatrix(0, 5) = "Rot Y" & Space(17)
.TextMatrix(0, 6) = "Rot Z" & Space(17)
.Rows = jn + 1

```

End With

With MainForm.ListElementForces

```

.Cols = 13
.ColWidth(-1) = 2000
.ColWidth(0) = 713
.ColAlignment(-1) = flexAlignRightCenter
.ColAlignment(0) = flexAlignCenterCenter
.TextMatrix(0, 0) = "Frame"
.TextMatrix(0, 1) = "fx1" & Space(18)
.TextMatrix(0, 2) = "fy1" & Space(18)
.TextMatrix(0, 3) = "fz1" & Space(18)
.TextMatrix(0, 4) = "mx1" & Space(18)
.TextMatrix(0, 5) = "my1" & Space(18)
.TextMatrix(0, 6) = "mz1" & Space(18)
.TextMatrix(0, 7) = "fx2" & Space(18)
.TextMatrix(0, 8) = "fy2" & Space(18)
.TextMatrix(0, 9) = "fz2" & Space(18)
.TextMatrix(0, 10) = "mx2" & Space(18)
.TextMatrix(0, 11) = "my2" & Space(18)
.TextMatrix(0, 12) = "mz2" & Space(18)

```

```

.Rows = jf + 1
End With
With MainForm.ListBeamReinforcement
    .Cols = 28
    .ColWidth(-1) = 2000
    .ColWidth(0) = 713
    .ColWidth(1) = 0
    .ColWidth(2) = 0
    .ColWidth(7) = 0
    .ColWidth(8) = 0
    .ColWidth(13) = 0
    .ColWidth(14) = 0
    .ColWidth(19) = 0
    .ColWidth(20) = 0
    .ColWidth(21) = 0
    .ColAlignment(-1) = flexAlignRightCenter
    .ColAlignment(0) = flexAlignCenterCenter
    .TextMatrix(0, 0) = "Frame"
    .TextMatrix(0, 1) = "n Tulangan Tarik"
    .TextMatrix(0, 2) = "n Tulangan Tekan"
    .TextMatrix(0, 3) = "n Tulangan Tarik Tengah"
    .TextMatrix(0, 4) = "n Tulangan Tekan Tengah"
    .TextMatrix(0, 5) = "Mu Tengah"
    .TextMatrix(0, 6) = "Phi Mn Tengah"
    .TextMatrix(0, 7) = "n Tulangan Tarik"
    .TextMatrix(0, 8) = "n Tulangan Tekan"
    .TextMatrix(0, 9) = "n Tulangan Tarik Kiri"
    .TextMatrix(0, 10) = "n Tulangan Tekan Kiri"
    .TextMatrix(0, 11) = "Mu Kiri"
    .TextMatrix(0, 12) = "Phi Mn Kiri"
    .TextMatrix(0, 13) = "n Tulangan Tarik"
    .TextMatrix(0, 14) = "n Tulangan Tekan"
    .TextMatrix(0, 15) = "n Tulangan Tarik Kanan"
    .TextMatrix(0, 16) = "n Tulangan Tekan Kanan"

```

```

.TextMatrix(0, 17) = "Mu Kanan"
.TextMatrix(0, 18) = "Phi Mn Kanan"
.TextMatrix(0, 19) = "B"
.TextMatrix(0, 20) = "Ld Tarik"
.TextMatrix(0, 21) = "Ld Tekan"
.Rows = 1
End With

```

With MainForm.ListColumnReinforcement

```

.Cols = 5
.ColWidth(-1) = 2000
.ColWidth(0) = 713
.ColWidth(1) = 0
.ColWidth(2) = 0
.ColAlignment(-1) = flexAlignRightCenter
.ColAlignment(0) = flexAlignCenterCenter
.TextMatrix(0, 0) = "Frame"
.TextMatrix(0, 1) = "n Tulangan Tarik"
.TextMatrix(0, 2) = "n Tulangan Tekan"
.TextMatrix(0, 3) = "n Tulangan Tarik"
.TextMatrix(0, 4) = "n Tulangan Tekan"
.Rows = 1
End With

```

With MainForm.ListSupportReaction

```

.Cols = 7
.ColWidth(-1) = 2000
.ColWidth(0) = 713
.ColAlignment(-1) = flexAlignRightCenter
.ColAlignment(0) = flexAlignCenterCenter
.TextMatrix(0, 0) = "Node"
.TextMatrix(0, 1) = "FX" & Space(18)
.TextMatrix(0, 2) = "FY" & Space(18)
.TextMatrix(0, 3) = "FZ" & Space(18)
.TextMatrix(0, 4) = "MX" & Space(18)

```

```

.TextMatrix(0, 5) = "MY" & Space(18)
.TextMatrix(0, 6) = "MZ" & Space(18)
.Rows = js + 1
End With
End Sub

```

Prosedur tampilkan parameter struktur

Sub structureparam()

On Error Resume Next

With MainForm

```
.Text1.text = xfile
```

```
.Text2.text = jn
```

```
.Text3.text = jf
```

```
.Text4.text = js
```

```
.Text5.text = jl
```

```
.Text6.text = Title
```

```
.Text7.text = fl
```

End With

End Sub

Sub formsetting(enableordisable As Boolean)

With MainForm

```
.mnTools.Enabled = enableordisable
```

```
.SSTab3.Enabled = enableordisable
```

```
.SSTab1.Enabled = enableordisable
```

```
.TextElev.Enabled = enableordisable
```

```
.TextPlan.Enabled = enableordisable
```

```
.TextX.Enabled = enableordisable
```

```
.TextY.Enabled = enableordisable
```

```
.TextZoom.Enabled = enableordisable
```

```
.TextDeformFactor.Enabled = enableordisable
```

```
.CmdElevMin.Enabled = enableordisable
```

```
.CmdElevPlus.Enabled = enableordisable
```

```
.CmdPlanMin.Enabled = enableordisable
```

```
.CmdPlanPlus.Enabled = enableordisable
```

```
.CmdXMin.Enabled = enableordisable
```

```
.CmdXPlus.Enabled = enableordisable
```

```

.CmdYMin.Enabled = enableordisable
.CmdYPlus.Enabled = enableordisable
.CmdZoomMin.Enabled = enableordisable
.CmdZoomPlus.Enabled = enableordisable
.CheckDeform.Enabled = enableordisable

```

End With

End Sub

Fungsi export ke MS Excell

```

Function export2excell(tablename As String, ByVal row As Integer, ByVal col As Integer, tabletoexport As Object)

```

```
    objWorkbook.Worksheets.Add
```

```
    objWorkbook.Worksheets(1).Name = tablename
```

```
    For i = 0 To row
```

```
        For j = 0 To col
```

```
            objWorkbook.Worksheets(1).Cells(i + 1, j + 1) =
```

```
            tabletoexport.TextMatrix(i, j)
```

```
        Next j
```

```
    Next i
```

```
    objExcel.Application.Visible = True
```

End Function

Fungsi tampilkan progress bar

```

Function progress(progresslabel As String, ByVal maxval As Double, ByVal curval As Double)

```

```
    FormLoading.Caption = Space(1) & progresslabel
```

```
    FormLoading.ProgressBar1.max = maxval
```

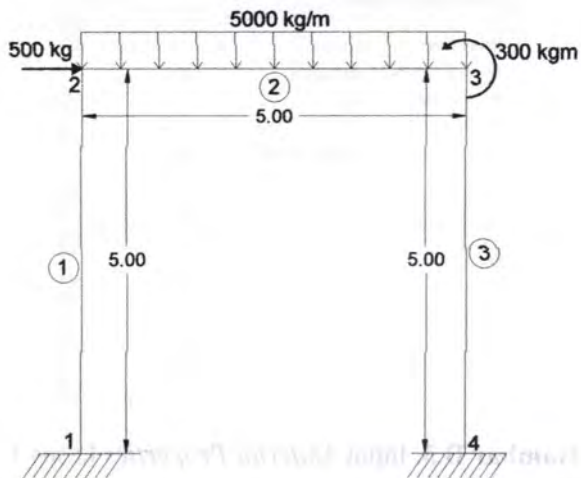
```
    FormLoading.ProgressBar1.Value = curval
```

End Function

Lampiran D

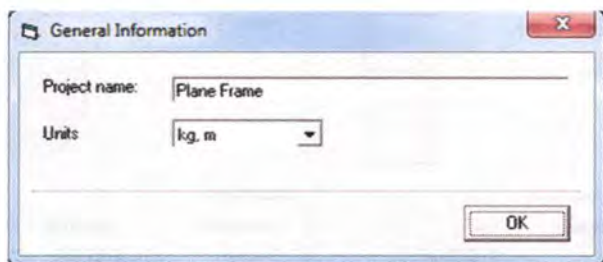
GAMBAR PROSES INPUT DAN OUTPUT BEBERAPA STUDI KASUS

Studi Kasus 1 dengan SFAP 2011

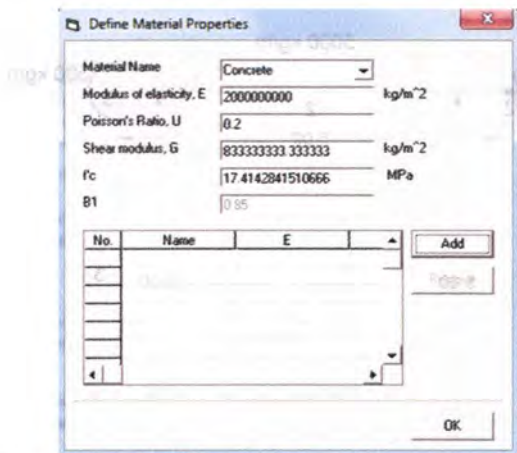
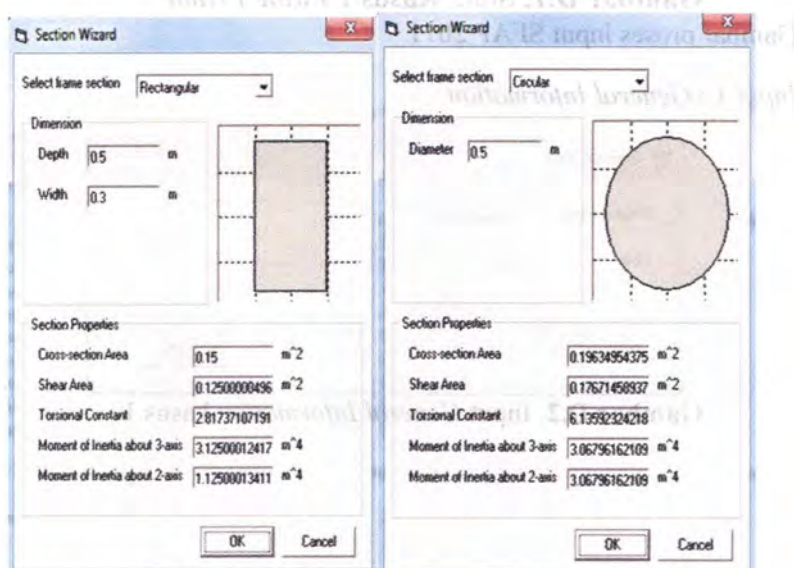


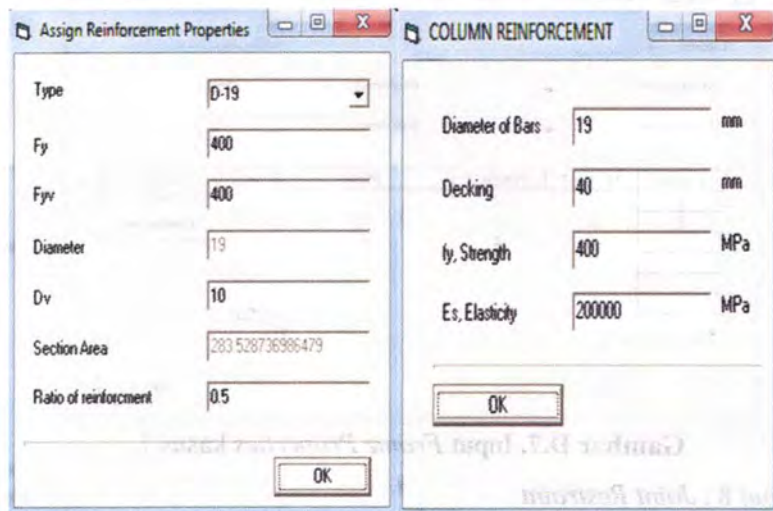
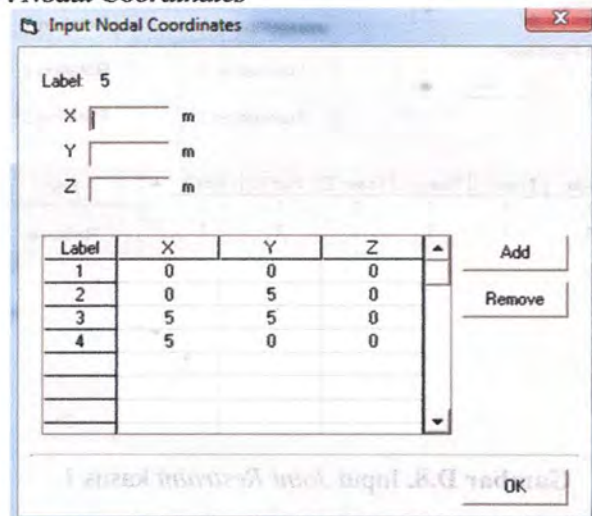
Gambar D.1. Studi Kasus 1 *Plane Frame*
Gambar proses input SFAP 2011

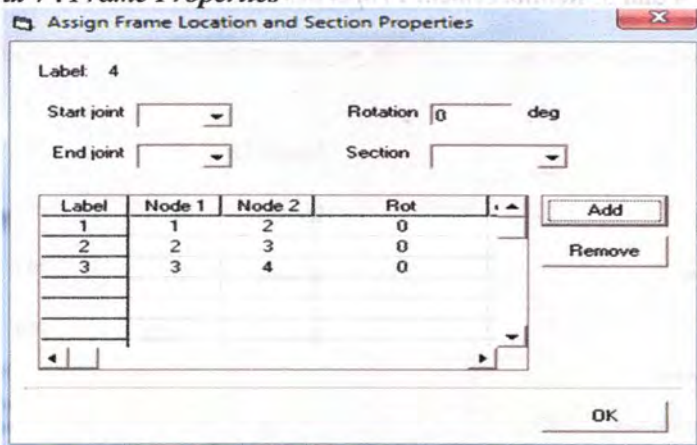
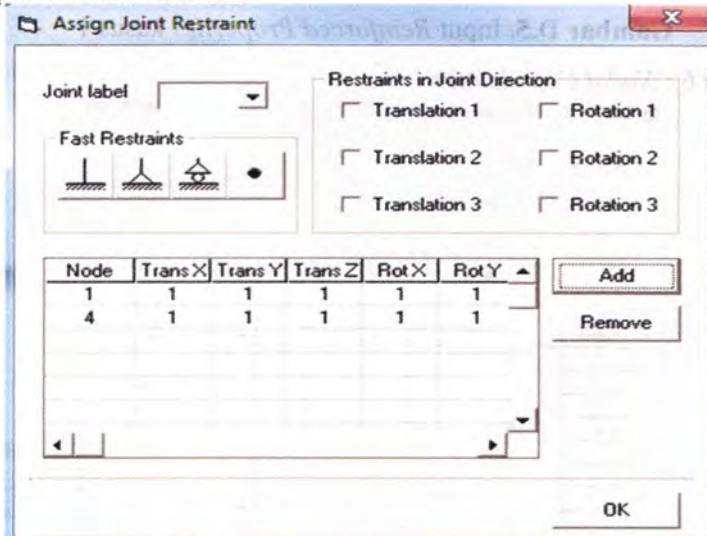
Input 1 : General Information

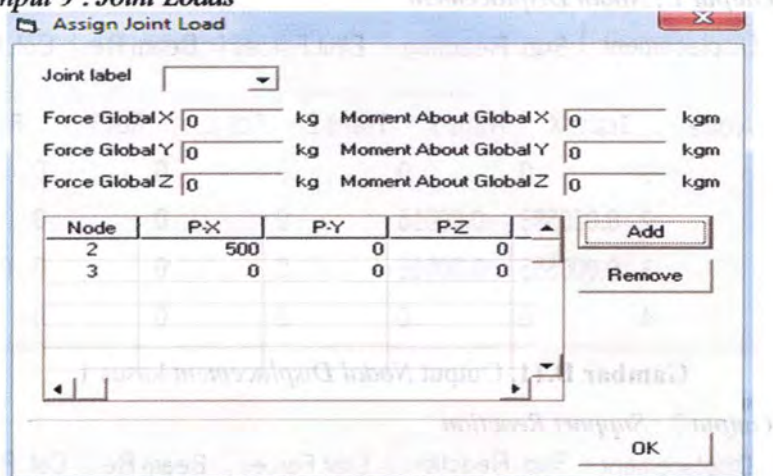
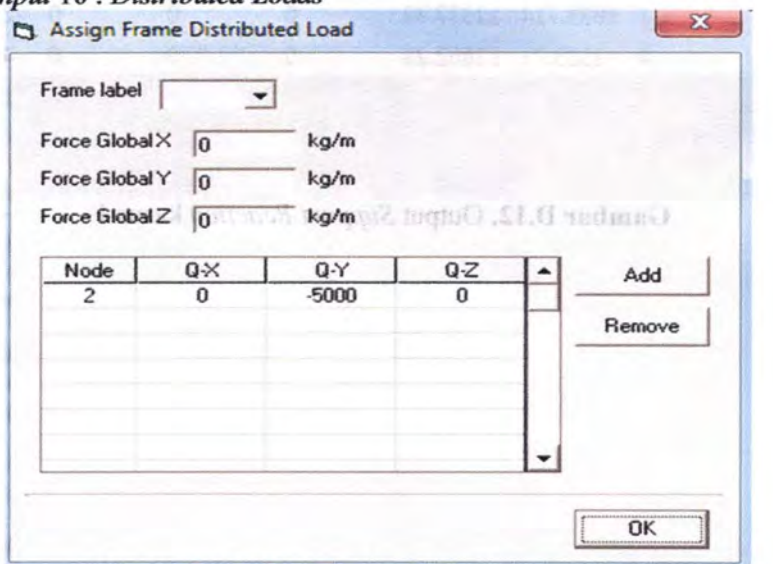


Gambar D.2. Input *General Information* kasus 1

Input 2 : Material Properties**Gambar D.3. Input Material Properties kasus 1****Input 3 : Section Properties****Gambar D.4. Input Section Properties kasus 1****Lampiran D**

Input 4 dan 5: Reinforcement Properties**Gambar D.5. Input Reinforced Properties kasus 1****Input 6 : Nodal Coordinates****Gambar D.6. Input Nodal Coordinates kasus 1**

Input 7 : Frame Properties**Gambar D.7. Input Frame Properties kasus 1****Input 8 : Joint Restraint****Gambar D.8. Input Joint Restraint kasus 1**

Input 9 : Joint Loads**Gambar D.9. Input Joint Loads kasus 1*****Input 10 : Distributed Loads*****Gambar D.10. Input Distributed Loads kasus 1**

Output 1 : Nodal Displacement

| Displacement | Sup. Reaction | Elmt Forces | Beam Re- | Col. Re- |
|--------------|---------------|-------------|----------|----------|
|--------------|---------------|-------------|----------|----------|

| Node | Trans X | Trans Y | Trans Z | Rot X | Rot Y | Rot Z |
|------|----------|----------|---------|-------|-------|------------|
| 1 | 0 | 0 | 0 | 0 | 0 | 0 |
| 2 | 0.000593 | -0.00016 | | 0 | 0 | 0 -0.0015 |
| 3 | 0.000555 | -0.00016 | | 0 | 0 | 0 0.001388 |
| 4 | 0 | 0 | 0 | 0 | 0 | 0 |

Gambar D.11. Output Nodal Displacement kasus 1*Output 2 : Support Reaction*

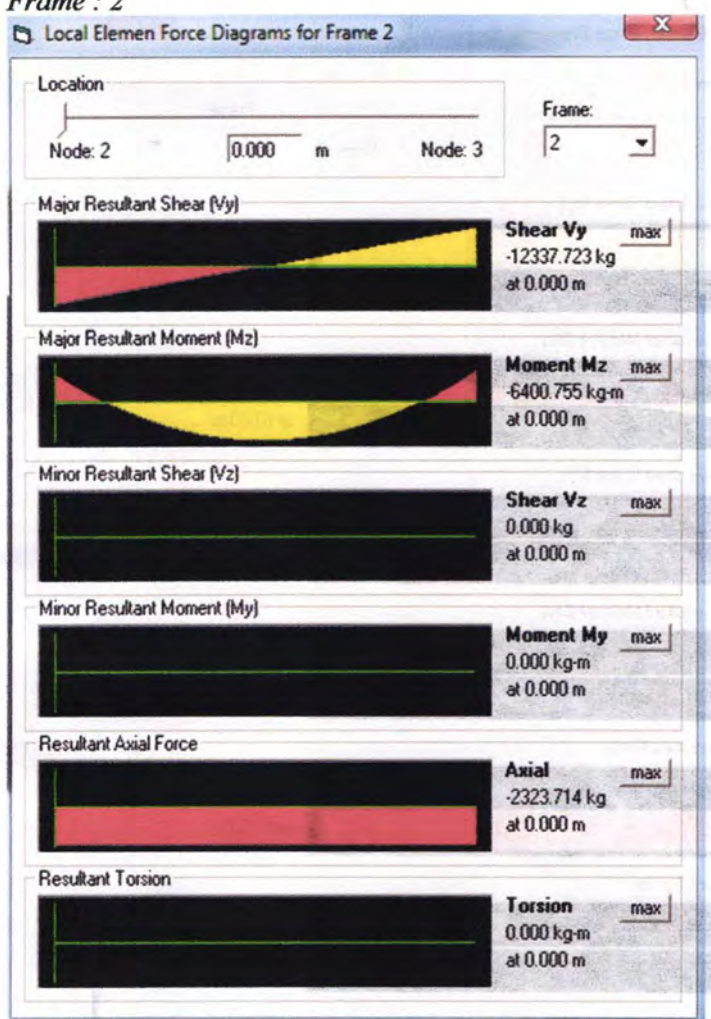
| Displacement | Sup. Reaction | Elmt Forces | Beam Re- | Col. Re- |
|--------------|---------------|-------------|----------|----------|
|--------------|---------------|-------------|----------|----------|

| Node | FX | FY | FZ | MX | MY | MZ |
|------|----------|----------|----|----|----|------------|
| 1 | 1823.714 | 12337.72 | | 0 | 0 | 0 -2717.82 |
| 4 | -2323.71 | 12662.28 | | 0 | 0 | 0 4106.43 |

Gambar D.12. Output Support Reaction kasus 1

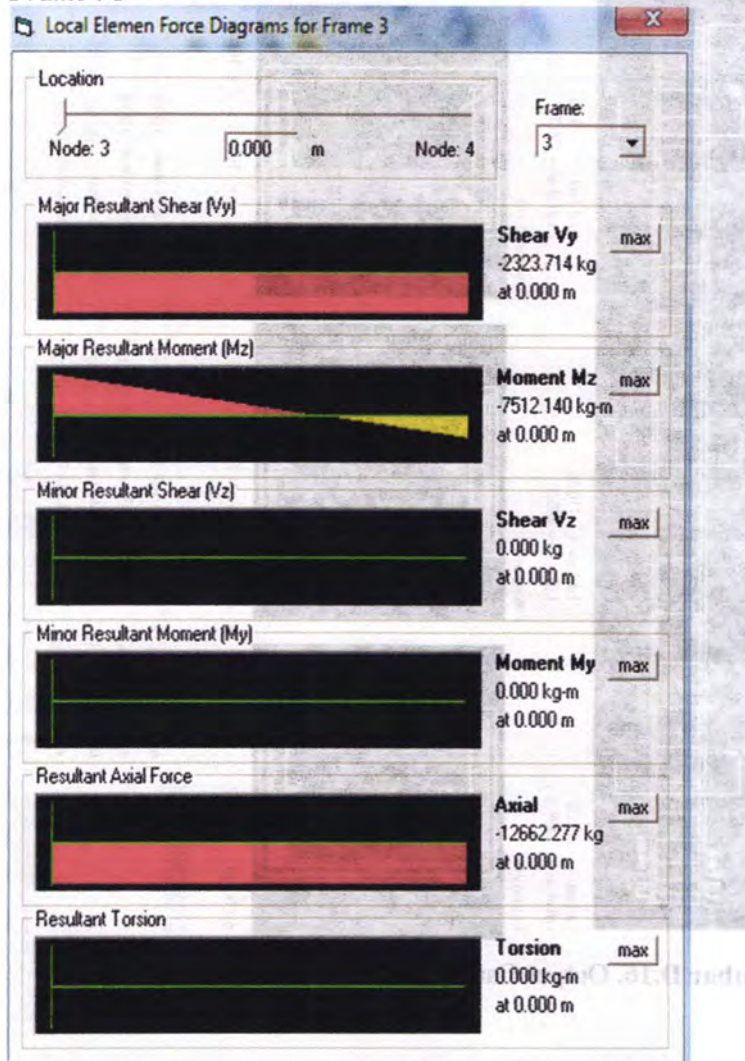
*Output 3 : Elemen Forces**Frame : 1***Gambar D.13.** Output Element Force frame 1 kasus 1

Frame : 2

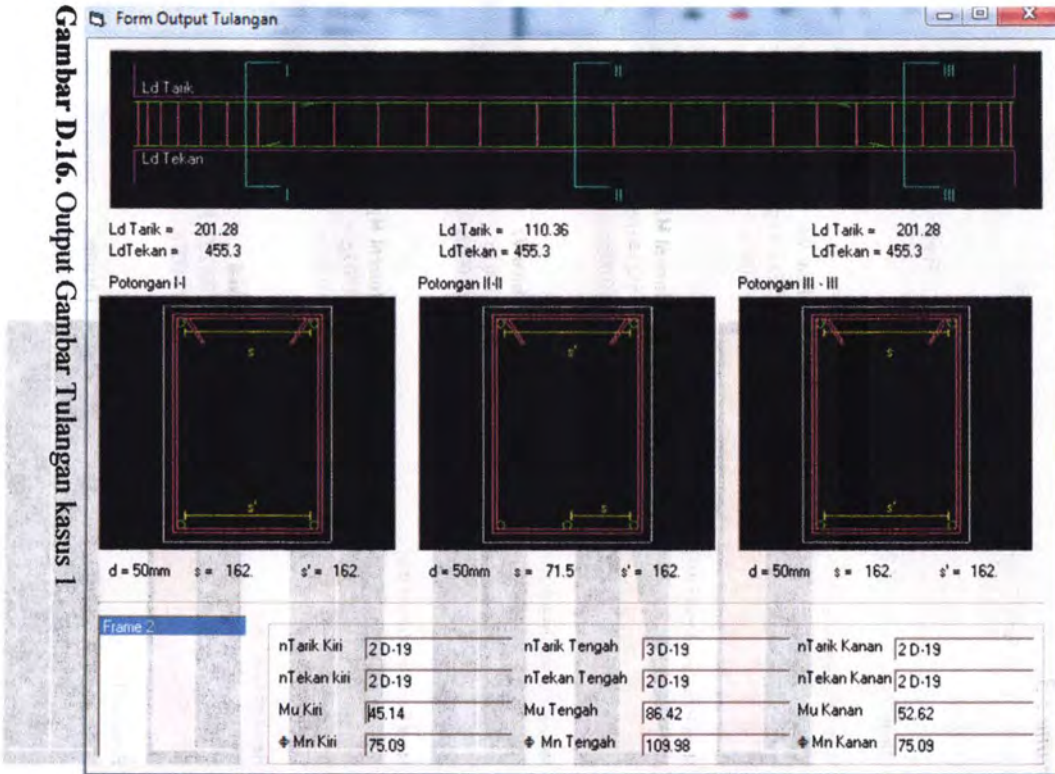


Gambar D.14. Output Element Force frame 2 kasus 1

Frame : 3



Gambar D.15. Output Element Force frame 3 kasus 1

Output 4 : Beam Reinforcement**Gambar D.16. Output Gambar Tulangan kasus 1**

Studi Kasus 1 dengan SAP 2000

Output 1 : Nodal Displacement

Displacements

| Joint Text | Output Case Text | Case Type Text | U1 m | U2 m | U3 m | R1 Radians | R2 Radians | R3 Radians |
|------------|------------------|----------------|----------|------|-----------|------------|------------|------------|
| 1 | COMB1 | Combination | 0 | 0 | 0 | 0 | 0 | 0 |
| 2 | COMB1 | Combination | 0.000593 | 0 | -0.000157 | 0 | 0.001501 | 0 |
| 3 | COMB1 | Combination | 0 | 0 | 0 | 0 | 0 | 0 |
| 4 | COMB1 | Combination | 0.000555 | 0 | -0.000161 | 0 | -0.001388 | 0 |

Gambar D.17. Output Nodal Displacement kasus 1 (SAP 2000)

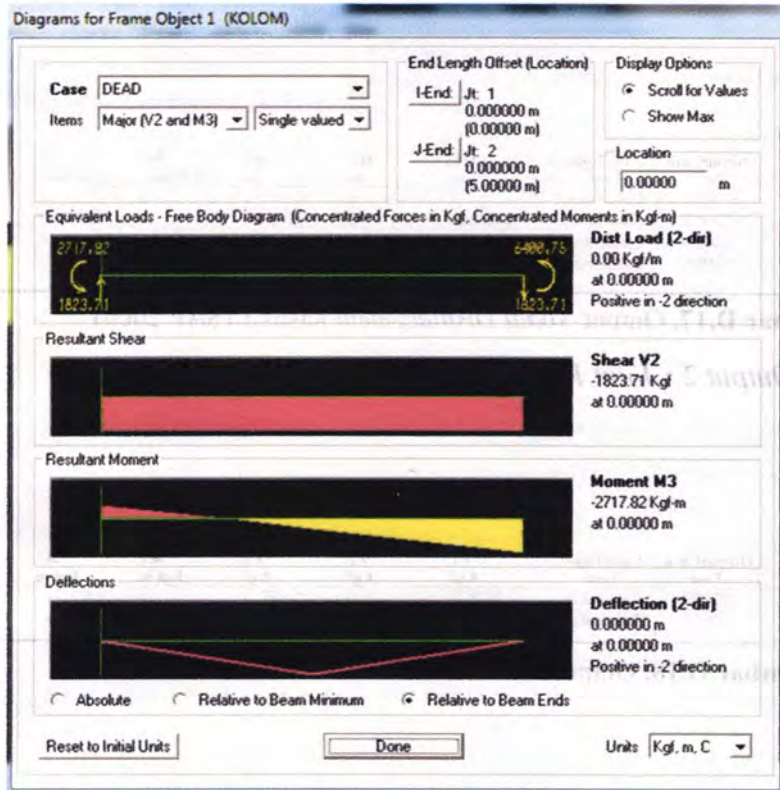
Output 2 : Joint Reaction

actions

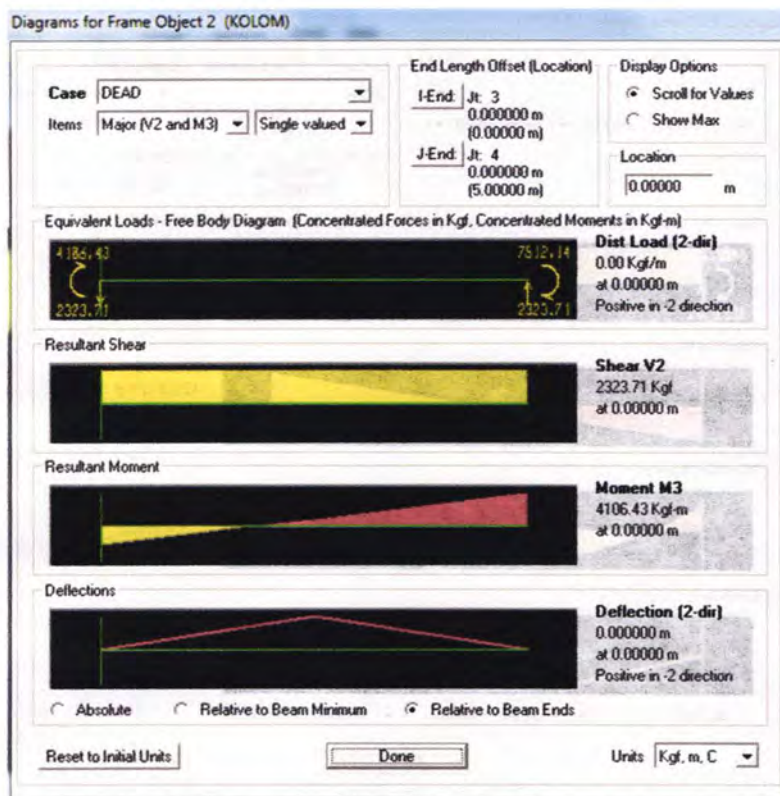
| Joint Text | Output Case Text | Case Type Text | F1 Kgf | F2 Kgf | F3 Kgf | M1 Kgf-m | M2 Kgf-m | M3 Kgf-m |
|------------|------------------|----------------|----------|--------|----------|----------|----------|----------|
| 1 | COMB1 | Combination | 1823.71 | 0 | 12337.72 | 0 | 2717.82 | 0 |
| 3 | COMB1 | Combination | -2323.71 | 0 | 12662.28 | 0 | -4106.43 | 0 |

Gambar D.18. Output Joint Reaction kasus 1 (SAP 2000)

Output 3 : Element Forces
Frame : 1

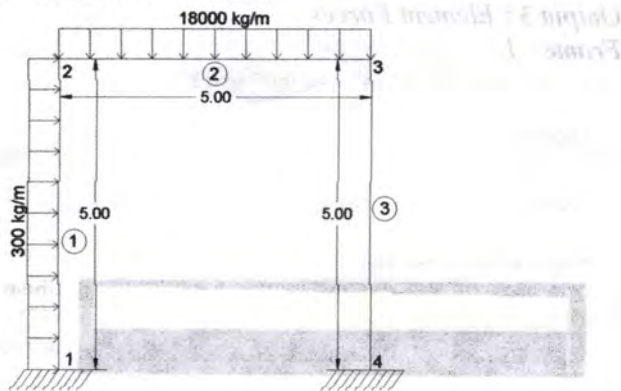


Gambar D.19. Output Element Force frame 1 kasus 1 (SAP 2000)

Frame : 3

Gambar D.21. Output Element Force frame 3 kasus 1 (SAP 2000)

Studi Kasus 2 dengan SFAP 2011



Gambar D.22. Studi Kasus 2 *Plane Frame*

Output 1 : Nodal Displacement

Displacement | Sup. Reaction | Elmt Forces | Beam Re- | Col. Re- |

| Node | Trans X | Trans Y | Trans Z | Rot X | Rot Y | Rot Z |
|------|----------|----------|---------|-------|-------|----------|
| 1 | 0 | 0 | 0 | 0 | 0 | 0 |
| 2 | 0.000899 | -0.00057 | 0 | 0 | 0 | -0.00516 |
| 3 | 0.000771 | -0.00058 | 0 | 0 | 0 | 0.005007 |
| 4 | 0 | 0 | 0 | 0 | 0 | 0 |

Gambar D.23. Output Nodal Displacement kasus 2

Output 2 : Support Reaction

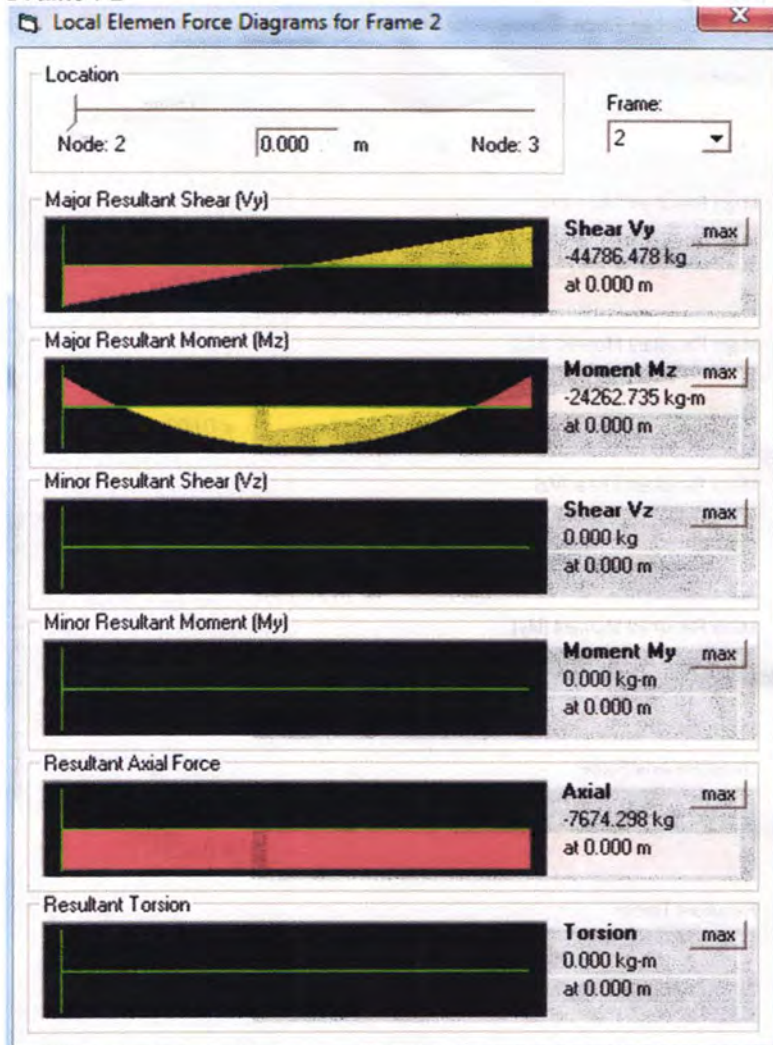
Displacement | Sup. Reaction | Elmt Forces | Beam Re- | Col. Re- |

| Node | FX | FY | FZ | MX | MY | MZ |
|------|----------|----------|----|----|----|------------|
| 1 | 6174.298 | 44786.48 | | 0 | 0 | 0 -10358.8 |
| 4 | -7674.3 | 45213.52 | | 0 | 0 | 0 13041.14 |

Gambar D.24. Output Support Reaction kasus 2

*Output 3 : Element Forces**Frame : 1***Gambar D.25.** Output *Element Forces frame 1* kasus 2

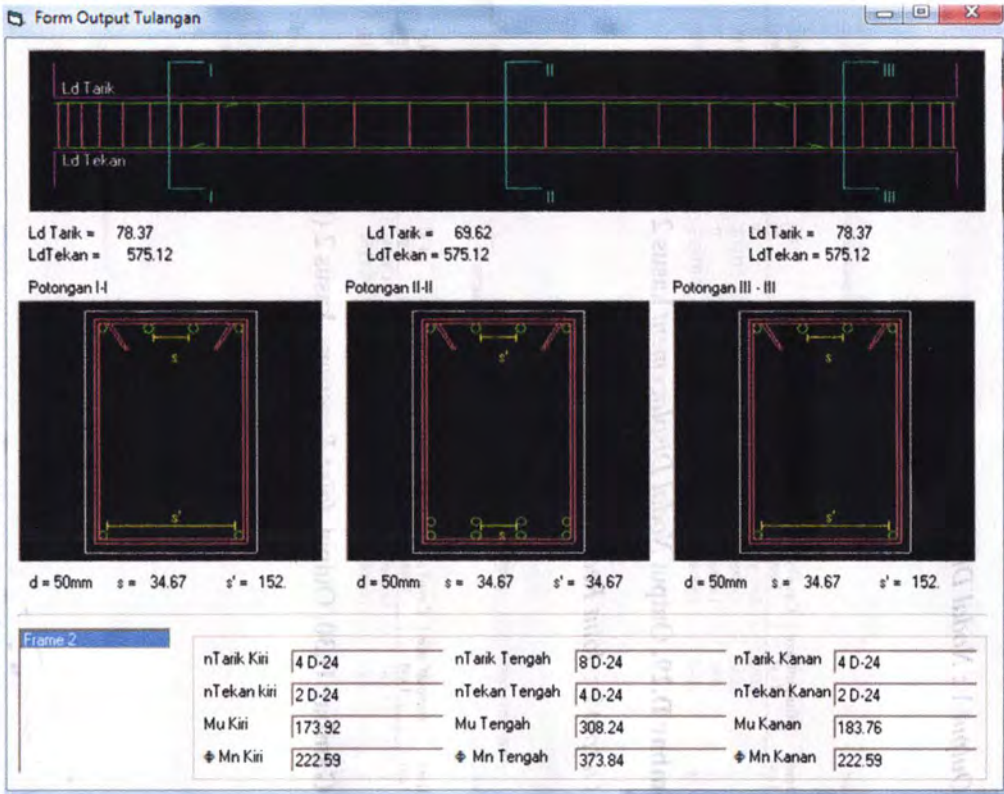
Frame : 2



Gambar D.26. Output Element Forces frame 2 kasus 2



Gambar D.27. Output Element Forces frame 3 kasus 2



Gambar D.28. Output Gambar Tulangan kasus 2

Studi Kasus 2 dengan SAP 2000

Output 1 : Nodal Displacement

Joint Displacements

File View Format-Filter-Sort Select Options

Units: As Noted

Joint Displacements

| | Joint Text | OutputCase Text | CaseType Text | U1 m | U2 m | U3 m | R1 Radians | R2 Radians | R3 Radians |
|---|------------|-----------------|---------------|----------|------|-----------|------------|------------|------------|
| ▶ | 1 | DEAD | LinStatic | 0 | 0 | 0 | 0 | 0 | 0 |
| | 2 | DEAD | LinStatic | 0.000899 | 0 | -0.00057 | 0 | 0.005156 | 0 |
| | 3 | DEAD | LinStatic | 0 | 0 | 0 | 0 | 0 | 0 |
| | 4 | DEAD | LinStatic | 0.000771 | 0 | -0.000576 | 0 | -0.005007 | 0 |

Gambar D.29. Output Nodal Displacement kasus 2 (SAP 2000)

Output 2 : Joint Reactions

Joint Reactions

File View Format-Filter-Sort Select Options

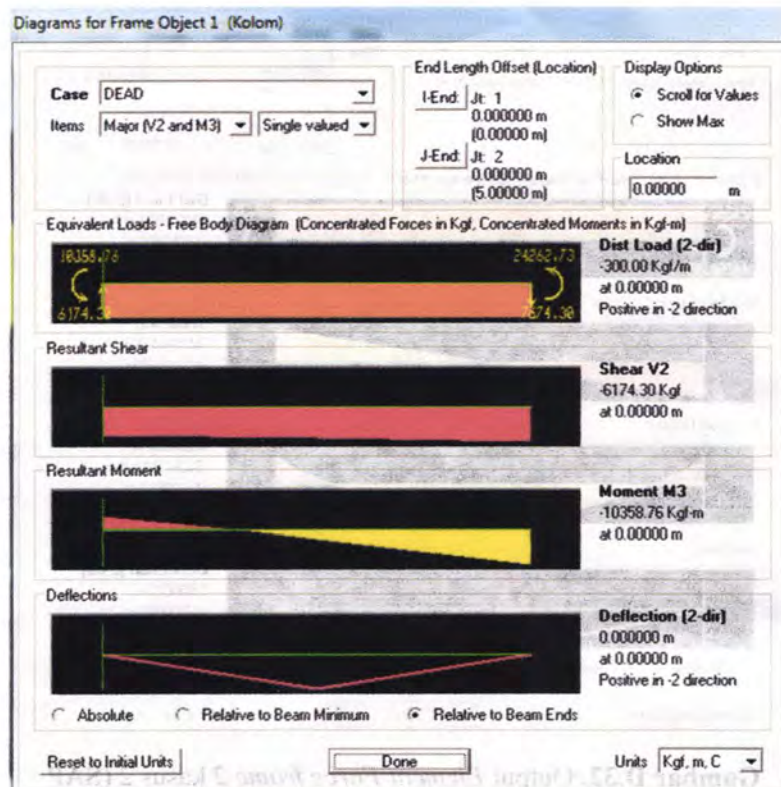
Units: As Noted

Joint Reactions

| | Joint Text | OutputCase Text | CaseType Text | F1 Kgf | F2 Kgf | F3 Kgf | M1 Kgf-m | M2 Kgf-m | M3 Kgf-m |
|---|------------|-----------------|---------------|---------|--------|----------|----------|-----------|----------|
| ▶ | 1 | DEAD | LinStatic | 6174.3 | 0 | 44786.48 | 0 | 10358.76 | 0 |
| | 3 | DEAD | LinStatic | -7674.3 | 0 | 45213.52 | 0 | -13041.14 | 0 |

Gambar D.30. Output Joint Reactions kasus 2 (SAP 2000)

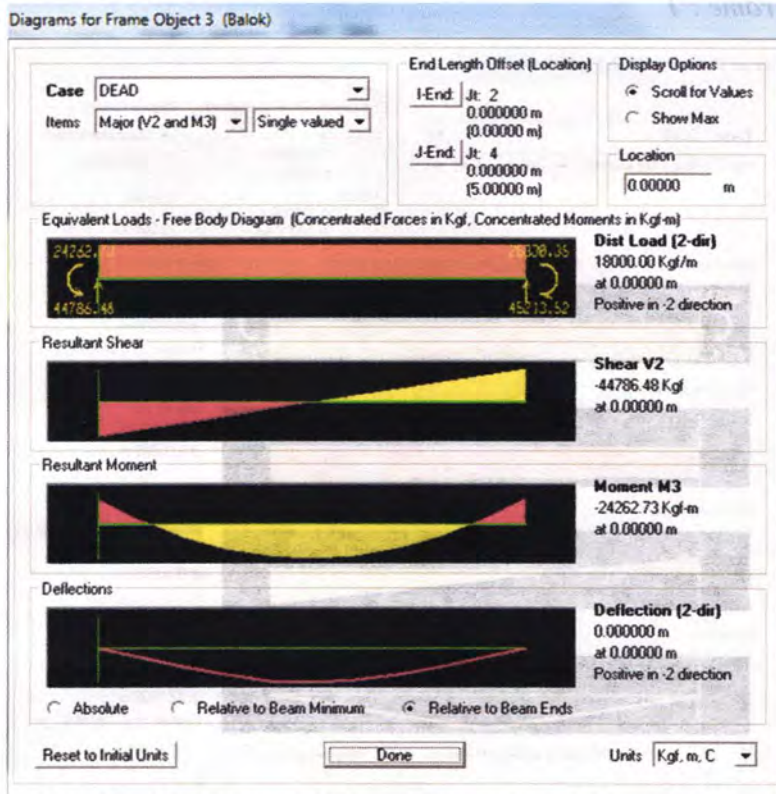
Output 3 : Element Forces
Frame : 1



Gambar D.31. Output Element Force frame 1 kasus 2 (SAP 2000)



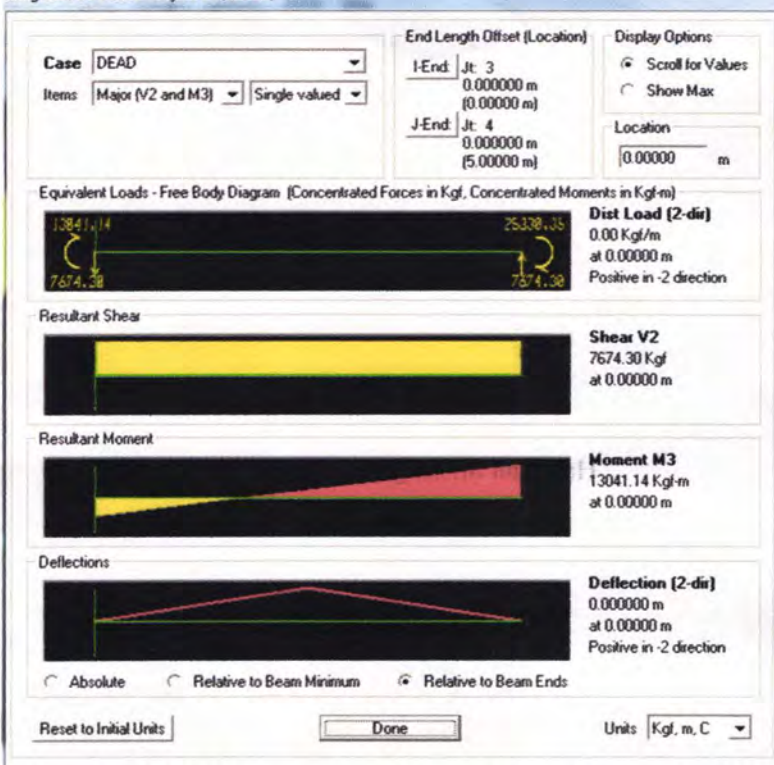
Frame : 2



Gambar D.32. Output Element Force frame 2 kasus 2 (SAP 2000)

Frame : 3

Diagrams for Frame Object 2 (Kolom)

**Gambar D.33.** Output *Element Force frame 3* kasus 2 (SAP 2000)

PROGRAM S-1 JURUSAN TEKNIK SIPIL FTSP - ITS
LEMBAR KEGIATAN ASISTENSI TUGAS AKHIR

Jurusan Teknik Sipil Lt.2, Kampus ITS Sukolilo, Surabaya 601111

Telp.031-5946094, Fax.031-5947284



| | |
|-------------------|---------------------------------------------------------------------------------------------------------------|
| NAMA PEMBIMBING | TAVIO, ST, MT., PhD |
| NAMA MAHASISWA | VINCENTIUS ARIFF WICAKSONO |
| NRP | 3107 100 081 |
| JUDUL TUGAS AKHIR | PENGEMBANGAN PERANGKAT LUNAK MENGGUNAKAN METODA ELEMENT HINGGA UNTUK PERANCANGAN LENTUR BALOK BETON BERTULANG |
| TANGGAL PROPOSAL | 8 FEBUARI 2011 |
| NO. SP-MMTA | 244 / I 2.3.2 / PP/2011 |

| NO | TANGGAL | KEGIATAN | | PARAF ASISTE |
|----|---------------|------------------------------------------------------------------|--------------------------|--------------|
| | | REALISASI | RENCANA MINGGU DEPAN | |
| 1. | 18 Maret 2011 | Perencanaan layout program | Revisi & Melanjutkan | F- |
| 2. | 21 Maret 2011 | Konsultasi pengajaran analisa struktur dengan Metoda Matriks 3D. | Mulai pembuat flowchart. | F- |
| 3. | 23 Maret 2011 | Pengacitan flowchart mulai pengajaran menentu acc. Program | | T- |

| | | | |
|-----|-----------------------------------------------------------------------------------------------------------------------|-----------------------------------|-----|
| | Tan variabel yg digunakan & output yg dihasilkan | | |
| 4. | 29 Maret 2011 Acc. Program Analisa Struktur. | Melanjutkan & Revisi | FE- |
| 5. | 31 Maret 2011 Acc. Program Analisa Struktur. | Melanjutkan & Revisi | FE- |
| 6. | 4 April 2011 Acc. Program Analisa Struktur. | Melanjutkan & Revisi | FE- |
| 7. | 11 April 2011 Acc. Program Analisa Struktur & Study literature. fasus ^x -Space Frame dan perhitungan fasus | Revisi | FE- |
| 8. | 15 April 2011 Study fasus perhitungan lentur balok dari berberapa bentuk penampang beton. | Melanjutkan | FE |
| 9. | 18 April 2011 Study fasus dgn penampang tulangan ganda & sistem unified. | Melanjutkan | FE- |
| 10. | 22 April 2011 Acc. Program Analisa Struktur dilanjutkan dgn. flowchart Lentur Balok. | Revisi tampilan analisis struktur | FE |
| 11. | 25 April 2011 Acc. Penulisan laporan Bab II & III. | Revisi Laporan - | FE- |
| 12. | 29 April 2011 Acc. Program Lentur Balok | Melanjutkan & Revisi | FE |
| 13. | 10 Mei 2011 Acc. Penulisan laporan II & III | Revisi Laporan. | FE |
| 14. | 17 Mei 2011 Acc. Program Lentur Balok | Melanjutkan & Revisi | FE |
| 15. | 24 Mei 2011 Acc. Program Lentur Balok. | Melanjutkan & Revisi | FE- |

Form AK/TA-04

rev01

| | |
|-------------------|----------------------------|
| NAMA PEMBIMBING | : TAVIO, ST, MT, PhD |
| NAMA MAHASISWA | : VINCENTUS ARIF WICAKRONO |
| NRP | : 3107 100 081. |
| JUDUL TUGAS AKHIR | : |
| TANGGAL PROPOSAL | : |
| NO. SP-MMTA | : |

| NO | TANGGAL | KEGIATAN | | PARAF ASISTE |
|-----|-------------|--------------------------------|--------------------------------------------|--------------|
| | | REALISASI | RENCANA MINGGU DEPAN | |
| 16. | 31 May 2011 | Acc. Tampilan Output Program. | Revisi Tampilan output. | /= |
| 17. | 3 Juni 2011 | Acc. Penulisan Laporan Bab IV. | Revisi Penulisan Laporan. | /= |
| 18. | 8 Juni 2011 | Presentasi hasil Program | Revisi Tampilan Output & Penambahan Combo. | /= |

| | | | | |
|-----|--------------|-----------------------------------------------|---------|----|
| 19. | 13 Juni 2011 | Ace. Penulisan laporan & hasil reuni program. | Revisi | F. |
| 20 | 17 Juni 2011 | Ace. Penulisan laporan Bab V. | Selesai | F. |

PROGRAM S-1 JURUSAN TEKNIK SIPIL FTSP - ITS
LEMBAR KEGIATAN ASISTENSI TUGAS AKHIR

Jurusan Teknik Sipil Lt.2, Kampus ITS Sukolilo, Surabaya 601111

Telp.031-5946094, Fax.031-5947284



| | |
|-------------------|--------------------------------------------------------------------------------------------------------------|
| NAMA PEMBIMBING | DATA IRANATA, ST, MT, PhD |
| NAMA MAHASISWA | VINCENTIUS ARIF WICAFSONO |
| NRP | 3107 100 081 |
| JUDUL TUGAS AKHIR | PENGEMBANGAN PERANGKAT LUNAF MENGGUNAKAN METODA ELEMEN HINGGA UNTUK PERANCANGAN CENTUR BALOK BETON BERTULANG |
| TANGGAL PROPOSAL | 8 Februari 2011 |
| NO. SP-MMTA | 244 / I2.3.2 /PP /2011 |

| NO | TANGGAL | KEGIATAN | | PARAF ASISTE |
|----|---------------|------------------------------------------------|-------------------------------------------------|--------------------------------------------------------------------------------------------------------------------------------------------------------------------------------|
| | | REALISASI | RENCANA MINGGU DEPAN | |
| 1. | 18 Maret 2011 | Study Kasus kantilever dengan hitungan manual. | Study Kasus plane frame dengan hitungan manual. |  |
| 2. | 21 Maret 2011 | Study Kasus plane frame dgn hitungan manual | Study Kasus space frame dgn hitungan manual |   |

| | | | | |
|-----|---------------|-----------------------------------------------------------------------------------|----------------------------------------|---|
| 1. | 24 Maret 2011 | titik temu program dengan flowchart. | Memulai pembuatan program. | ✓ |
| 4. | 28 Maret 2011 | Acc. Program Analisa Struktur | Melanjutkan. | ✓ |
| 5. | 31 Maret 2011 | Acc. Program Analisa Struktur. | Koreksi & Melanjutkan. | ✓ |
| 6. | 4 April 2011 | Acc. Program Analisa Struktur. | Koreksi (Menambahkan struktur ketorsi) | ✓ |
| 7. | 8 April 2011 | Acc. Program Analisa Struktur. | Koreksi & Melanjutkan. | ✓ |
| 8. | 15 April 2011 | Acc. Program Analisa Struktur & verifikasi dgn SAP 2000 (Untuk tesis Plane Frame) | Melanjutkan dgn. kasus Space Frame | ✓ |
| 9. | 22 April 2011 | Acc. Program Analisa Struktur & verifikasi dgn SAP 2000 (Untuk tesis Space frame) | Penulisan laporan | ✓ |
| 10. | 25 April 2011 | Penulisan tinjauan pustaka & flowchart Metodologi | Melanjutkan. | ✓ |
| 11. | 29 April 2011 | Penulisan laporan bab 1 - 5 | Selesai | ✓ |

PROGRAM S-1 JURUSAN TEKNIK SIPIL FTSP - ITS
LEMBAR KEGIATAN ASISTENSI TUGAS AKHIR

Jurusan Teknik Sipil Lt.2, Kampus ITS Sukolilo, Surabaya 60111

Telp.031-5946094, Fax.031-5947284



| | |
|-------------------|----------------------------------------------------------------------------------------------------------------|
| NAMA PEMBIMBING | : Ir. IMAN WIMBADI, MS |
| NAMA MAHASISWA | : VINCENTIUS ARIF WICAFSONO |
| NRP | : 3107100 081. |
| JUDUL TUGAS AKHIR | : PENGEMBANGAN PERANGKAT LUNAS MENGGUNAKAN METODE ELEMEN HINGGA UNTUK PERANCANGAN LENTUR BALOK BETON BERTULANG |
| TANGGAL PROPOSAL | : 8 February 2011 |
| NO. SP-MMTA | : 244 / I2.3.2 /PP/2011 |

| NO | TANGGAL | KEGIATAN | | PARAF ASISTE |
|----|---------------|-----------------------------------------|--------------------------|--------------|
| | | REALISASI | RENCANA MINGGU DEPAN | |
| 1. | 20 April 2011 | Konsultasi Analisa Lentur Balok. | Menyelesaikan flowchart. | W |
| 2. | 29 April 2011 | Acc. program Lentur Balok. | Revisi & Melanjutkan | W |
| - | 12 Mei 2011 | Acc. & Pengerecan program Lentur dengan | Revisi & Melanjutkan | W |
| | | | | W |

| | | | |
|----|--------------|---------------------------------------------------|-------------------------|
| | | merdeka wirausaha. | |
| 4. | 24 Mei 2011 | Penulisan Laporan Bab. III & IV. | Persiapan & Melanjutkan |
| 5. | 8 Juni 2011 | Presentasi Hasil Program | Persiapan Output. |
| 6. | 13 Juni 2011 | Acc. Penulisan laporan & hasil persiapan program. | W |

BIODATA PENULIS



Penulis dilahirkan di Surabaya pada tanggal 20 April 1989 dengan nama lengkap Vincentius Arif Wicaksono. Penulis telah menempuh pendidikan yaitu SDK Santa Clara Surabaya, SMPK Santa Clara Surabaya, dan SMAK St. Louis I Surabaya. Setelah lulus dari SMA penulis diterima di jurusan Teknik Sipil FTSP ITS Surabaya melalui jalur Seleksi Penerimaan Mahasiswa Baru (SPMB) dan terdaftar dengan NRP 3107100081 pada tahun 2007.

Di Jurusan Teknik Sipil ini penulis mengambil Bidang Studi Struktur. Selama kuliah penulis pernah mengikuti berbagai kegiatan seminar. Penulis sempat aktif di beberapa kegiatan Seminar yang diselenggarakan oleh Jurusan. Penulis juga pernah mengikuti beberapa kompetisi yang diadakan di ITS, seperti Lomba Beton Mutu Tinggi dan LKTB Fiber Concrete. Apabila pembaca ingin berkorespondensi dengan penulis, dapat melalui email: coolnedved89@gmail.com.